

МИНИСТЕРСТВО НАУКИ И ВЫСШЕГО ОБРАЗОВАНИЯ РОССИЙСКОЙ ФЕДЕРАЦИИ

федеральное государственное бюджетное образовательное учреждение высшего образования «РОССИЙСКИЙ ГОСУДАРСТВЕННЫЙ ГИДРОМЕТЕОРОЛОГИЧЕСКИЙ УНИВЕРСИТЕТ»

Кафедра метеорологии, климатологии и охраны атмосферы

ВЫПУСКНАЯ КВАЛИФИКАЦИОННАЯ РАБОТА

(магистерская диссертация)

| На тему | «Термический режим Российской Арктики |
|----------------|---|
| | и его климатические изменения» |
| Исполнитель | Самсоненкова Полина Игоревна |
| | (фамилия, имя, отчество) |
| Руководитель _ | доктор технических наук, старший научный сотрудник, профессор (ученая степень, ученое звание) |
| | Лобанов Владимир Алексеевич |
| | (фамилия, имя, отчество) |
| «К защите допу | скаю» |
| Заведующий ка | |
| | (нолинев.) |
| 59 | кандидат физико-математических наук, доцент |
| | (ученая степень, ученое знание) |
| | Сероухова Ольга Станиславовна |
| | (фамилия, имя, отчество) |

«15» 06 2022 г.

| Введение |
|---|
| Глава 1. Физико-географическое описание района исследования5 |
| 1.1.Географические особенности территории5 |
| 1.2. Климат района исследований6 |
| 1.3. Пункты наблюдений и информация8 |
| 1.4. Методика исследований12 |
| Глава 2. Оценка качества данных и пространственные закономерности в стационарных условиях |
| 2.1.Оценка однородности и стационарности эмпирических |
| распределений14 |
| 2.1.1 Оценка однородности и стационарности температуры |
| воздуха18 |
| 2.1.2 Оценка однородности и стационарности продолжительности |
| солнечного сияния |
| 2.2. Восстановление пропусков и приведение непродолжительных рядов к |
| многолетнему периоду27 |
| 2.2.1 Восстановление пропусков и приведение непродолжительных |
| рядов температуры воздуха к многолетнему периоду28 |
| 2.2.2 Восстановление пропусков и приведение непродолжительных |
| |
| рядов продолжительности солнечного сияния к многолетнему периоду |
| 2.3.Пространственные климатические закономерности температур |
| воздуха |
| |
| 2.4. Пространственные климатические закономерности |
| продолжительности солнечного сияния |
| Глава 3. Оценка проявлений климатических изменений температуры |
| воздуха |
| 3.1. Теоретические положения |
| 3.2. Результаты моделирования временных рядов в пунктах |
| наблюдений48 |
| 3.3. Пространственные обобщения показателей нестационарности56 |
| 3.4. Сравнение современного потепления Арктики с потеплением 1920-50 |
| годов |
| Глава 4. Оценка проявлений климатических изменений продолжительности |
| солнечного сияния85 |
| 4.1. Результаты моделирования временных рядов в пунктах |
| наблюдений45 |
| 4.2. Пространственные обобщения показателей нестационарности49 |
| • • |
| Глава 5. Термический режим российской Арктики |
| 5.1 Связь между температурой и продолжительностью солнечного сияния |
| Заключение |
| Литература |
| тиилильние/9 |

Введение

Погода - это постоянно меняющееся состояние атмосферы, характеризующееся определенным набором метеорологических элементов в данное время, момент или период времени в данной области. Определение климата основано на концепции погоды и усреднении погодных условий, установленных за многолетний период.

Магистерская диссертация посвящена актуальной теме — Термический режим Российской Арктики и его климатические изменения.

Термический режим определяется обменом тепла между атмосферным воздухом и окружающей средой закономерным, колебанием температуры в атмосфере и других параметров. Исследование термического режима в данной работе осуществляется с помощью информации о среднемесячной температуре воздуха и продолжительности солнечного сияния. Также описывается взаимосвязь между этими двумя показателями. На основе этих данных будут определены климатические изменения термического режима на выбранной территории.

Проблема изменение климата в настоящее время является актуальной темой для многих сфер жизни. Изучение проявлений изменений теплового режима на региональном уровне является популярной задачей.

Для того чтобы решить поставленную задачу, необходимо выполнить следующие виды работ:

- собрать информацию о среднемесячной температуре воздуха на 49 метеостанциях в Российской Арктике, которые равномерно распределены по всей территории;
- собрать информацию о среднемесячной продолжительности солнечного сияния воздуха на 49 метеостанциях на территории российской Арктики, которые равномерно распределены по территории;

- создать базу данных долгосрочных рядов среднемесячных показателей температуры за двенадцать месяцев для 49 метеостанций;
- создать базу данных долгосрочных рядов среднемесячных показателей продолжительности солнечного сияния за двенадцать месяцев для 49 метеостанций;
- оценить качество данных, их единообразие и свести данные к одному многолетнему периоду наблюдения;
- провести моделирование долгосрочных рядов стационарными и нестационарными моделями;
- провести пространственное обобщение полученных показателей нестационарности;
 - для сравнения потепления в разные периоды;
- оценить взаимосвязь между температурой и продолжительностью солнечного сияния;
- определить климатические изменения выбранных параметров и сделать вывод об изменении теплового режима Российской Арктики.

При выполнении работы используются следующие математические и статистические методы:

- статистические критерии оценки однородности эмпирических распределений по Диксону и Смирнову-Граббсу;
- статистические критерии Фишера и Стьюдента для оценки стационарности отклонений и средних значений временных рядов;
- методика восстановления зазоров и удлинения коротких рядов рядамианалоги;
 - нестационарные линейные модели изменения тренда и шага;
- методы пространственной интерполяции для отображения показателей нестационарности; [1,2,3]

Глава 1. Физико-географическое описание района исследования.

1.1 Географические особенности территории

Арктика представляет собой единую физико-географическую область Земли, прилегающую к Северному полюсу и включающую окраины континентов Евразии и Северной Америки, почти весь Северный Ледовитый океан с островами (за исключением прибрежных островов Норвегии), а также прилегающие части Атлантического и Тихого океанов. Принято считать, что арктические регионы начинаются за Полярным кругом.

Хотя большая часть Арктики занята океаном, ее акватория не игнорируется. Большая часть Арктики занята российским сектором, который включает в себя такие острова, как Земля Франца-Иосифа, Новая Земля, Северная Земля, а также Новосибирские острова и остров Врангеля. Как правило, российская Арктика и полярные регионы этих стран представляют собой тундру, царство вечной мерзлоты.

По особенностям рельефа в Арктике выделяют: шельф с островами континентального происхождения и прилегающими окраинами континентов и Арктический бассейн. Площадь шельфа занята окраинными морями — Баренцевым, Карским, Лаптевых, Восточно-Сибирским и Чукотским. Рельеф суши Российской Арктики в основном равнинный; местами, особенно на островах, гористый. Центральная часть — Арктический бассейн, область глубоководных бассейнов (до 5527 м) и подводных хребтов. Самая высокая точка Арктики - гора Гунбьорн (Гренландия). [1,3,4]

1.2 Климат района

Климат Арктического бассейна в первую очередь определяется отсутствием или полным отсутствием солнечной радиации зимой и очень

большим притоком радиации летом. Годовой радиационный баланс поверхности арктических морей в целом положительный; отрицательный баланс наблюдается только на Гренландском плато. Тем не менее, летние температуры низкие, потому что радиация расходуется на таяние снега и льда, а температура поверхности и воздуха остается близкой к 0° . К влиянию радиационных условий присоединяется сильное влияние общей циркуляции атмосферы.

В Арктическом бассейне интенсивная циклоническая активность наблюдается во все сезоны года. Циклоны возникают на арктических фронтах, а также проникают в Арктику из более низких широт, где они развиваются на полярных фронтах. Повышенное давление преобладает в течение всего года над высокогорным плато Гренландии. Но в остальной части Арктики разделение значительно меняется от месяца к месяцу, и антициклонические системы обнаруживаются на средних картах на относительно небольших площадях в разных частях океана, а зимой над Аляской и над северо-восточной Азией. Облачный покров в Арктическом бассейне, как правило, большой, а ветры сильные. Среднемесячные температуры в Арктическом бассейне колеблются от -40°С зимой до 0°С летом.

Исходя из особенностей циркуляции атмосферы в различных частях Арктики, можно выделить четыре основных климатических региона: Атлантический, Сибирский, Тихоокеанский. Различия в этих областях в основном связаны с зимним периодом. Зимой Атлантический регион находится под влиянием Атлантики, преобладает западный перенос, что определяет более теплую зиму по сравнению с другими районами Арктики. Температура воздуха в январе колеблется с запада на восток до -8 °C в Баренцевом море -30 °C на востоке Карского моря. Суровость погодных условий в холодный период зависит от скорости ветра. Наблюдаются сильные метели с южными ветрами. Высота снежного покрова на материке достигает 40 см.

Сибирский регион Арктики зимой находится в основном под влиянием арктического антициклона. Зима в основном ясная и холодная. Средние температуры самого холодного месяца составляют около -35°C, а на побережье

материка -38°C. Однако из-за более слабых ветров и относительной сухости воздуха тепловые ощущения не больше, чем в Атлантическом регионе, где температура в южной части Шпицбергена составляет примерно -15°C. Влияние атлантических явлений ослабевает в районе Северной Земли. Характерной особенностью зимы на побережье является общее снижение температуры внутри страны, что заметно при южных ветрах.

Особенности ледового режима летом определяются выносом холодного азиатского воздуха в зимние месяцы. Большой ледяной покров этого района обусловлен, помимо особенностей циркуляции воды, также резкой антициклоничностью погоды зимой, которая снижает температуру в море Лаптевых и в Восточно-Сибирском море. Например, средняя температура июля в районе Чаунской бухты составляет около 5°C, а на той же широте в Варде (Норвегия) 10°C.

Соотношение температур между океаном и континентом меняет знак ближе к лету. В середине июля температурный контраст между морем и сушей становится более острым, что связано с потеплением северной части континента, что способствует развитию циклонической активности на арктическом фронте.

В сентябре южные и юго-западные ветры сменяют преобладающие летом северные и северо-восточные ветры, это связано с началом формирования континентального антициклона.

Тихоокеанский регион Арктики включает в себя в основном Чукотское море. Зимой этот район находится под влиянием Алеутской впадины. В районе Берингова пролива воздействие Тихого океана ощущается наиболее сильно, и юго-восточные ветры иногда приносят кратковременную оттепель. На западе района (мыс Шмидта, остров Врангеля) во время зимнего потепления дневная температура держится на уровне -10°. Средний уровень температуры намного выше, чем в Сибирском Арктическом регионе. Тихоокеанская ветвь Арктического фронта лежит в районе Алеутской впадины, на широте около 60°, циклоны этой ветви смещаются в основном на Аляску, но лишь некоторые из

них попадают в Чукотское море, над которым они перемещают свою северную более холодную часть.

Влияние Северного Ледовитого и Тихого океанов летом снижает возможное повышение температуры примерно на . Абсолютный максимум Врангеля не достигает 20°, в других местах той же широты на западе, например, в низовьях реки Лены, он приближается к 30°.

Осадки в Тихоокеанском регионе в основном связаны с западными и югозападными циклонами. Они получают увеличение из-за большой арктической территории и увеличения температурного контраста над Чукотским морем. Количество осадков невелико, но вероятность осадков почти в два раза выше, чем в остальной части Арктики. [5,6]

Арктики - уникальный регион формирования Территория ДЛЯ температурного режима. Климат этой местности формируется при гораздо меньшем притоке тепла от Солнца, чем климат неполярных регионов. Жара арктического региона определяется адвективным теплом, океанскими течениями и воздушными потоками из низких географических широт. Количество адвективного тепла в Арктике зависит от глобальных процессов циркуляции океана и атмосферы. Также считается, что Арктика наиболее чувствительна к изменениям количества парниковых газов в атмосфере, таких как водяной пар, углекислый газ, метан и другие, а также к количеству облаков. [7]

1.3 Пункты наблюдений

Для анализа теплового режима Российской Арктики было взято 49 станций. Геоинформационный слой координат метеостанций, сформированный в ГИС MapInfo, отражается на карте расположения метеостанций на территории (рис.1.1). Это указывает на то, что область покрыта наблюдениями довольно равномерно.

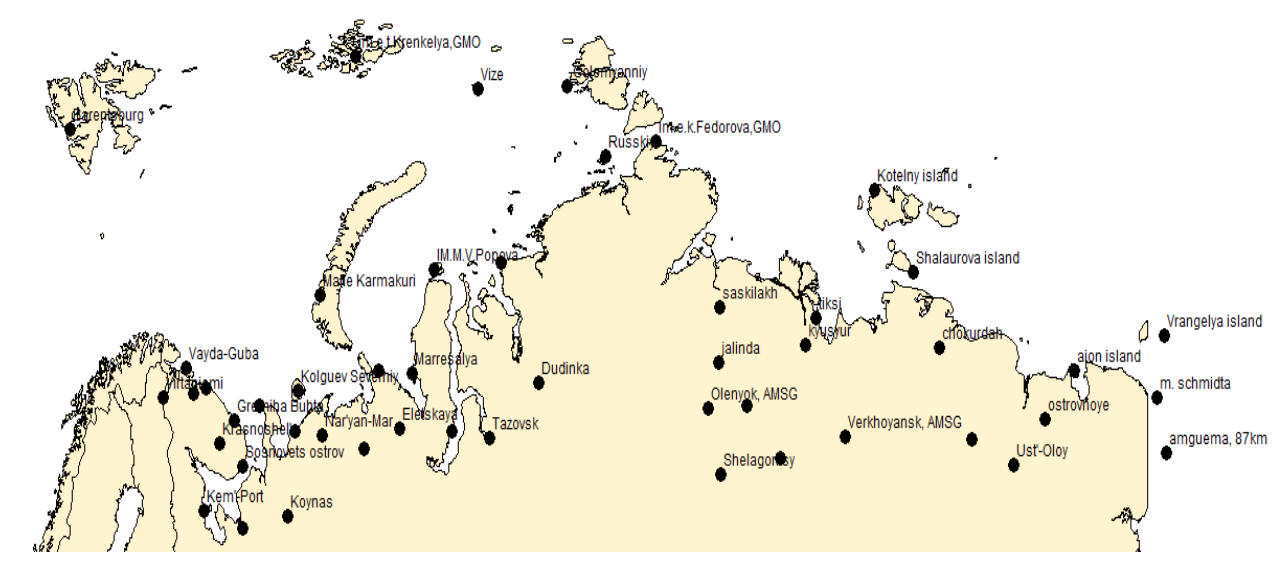


Рисунок 1.1. Метеостанции на территории российской Арктики.

Для анализа термического режима в работе использовались данные температуры, а также данные о продолжительности солнечного сияния.

Таблица 1.1 – наблюдения за температурой на 49 метеорологических станциях на территории российской Арктики.

| Код | Название | Период | кол-во лет | Ширта | Долгота |
|-------|---------------------|-------------|------------|-------|---------|
| 20046 | Им.Э.Т.Кренкеля,ГМ0 | 1957 - 2019 | 63 | 80,60 | 58,10 |
| 20069 | Визе | 1945 - 2019 | 75 | 79,50 | 77.0 |
| 20087 | Голомянный | 1930 - 2017 | 88 | 79,60 | 90,60 |
| 20107 | Баренцбург | 1940 - 2018 | 79 | 78,10 | 14,20 |
| 20289 | Русский | 1935 - 1998 | 64 | 77,20 | 96,60 |
| 20292 | Им.Е.К.Федорова,ГМО | 1932 - 2019 | 88 | 77,70 | 104,30 |
| 20667 | Им.М.В.Попова | 1940 - 2017 | 78 | 73,30 | 70,10 |
| 20674 | Диксон | 1916 - 2019 | 104 | 73,50 | 80,40 |
| 20744 | Малые Кармакулы | 1876 - 2019 | 144 | 72,40 | 52,70 |
| 21432 | 0. Котельный | 1933 - 2019 | 86 | 76,0 | 137,90 |
| 21647 | 0. Шалаурова | 1928 - 2004 | 77 | 73,20 | 143,90 |
| 21802 | Саскылах | 1935 - 2018 | 84 | 72,0 | 114,10 |
| 21824 | Тикси | 1932 - 2018 | 87 | 71,60 | 128,90 |
| 21908 | Жилинда | 1942 - 2018 | 77 | 70,10 | 114,0 |
| 21921 | Кюсюр | 1909 - 2018 | 110 | 70,70 | 127,00 |
| 21946 | Чокурдах | 1939 - 2019 | 81 | 70,60 | 147,9 |
| 21982 | 0. Врангеля | 1926 - 2019 | 94 | 71,0 | -178,5 |
| 22003 | Вайда-Губа | 1913 - 2018 | 106 | 69,90 | 32,0 |
| 22028 | Териберка | 1889 - 2018 | 130 | 69,20 | 35,10 |
| 22095 | Колгуев Северный | 1933 - 2017 | 85 | 69,10 | 49,20 |

| | | T | 1 | | 1 |
|-------|-----------------|-------------|-----|--------|---------|
| 22101 | Виртаниеми | 1954 - 2018 | 65 | 68,90 | 28,40 |
| 22113 | Мурманск | 1918 - 2019 | 102 | 69,0 | 33,10 |
| 22140 | Гремиха Бухта | 1895 - 2017 | 123 | 68,10 | 39,50 |
| 22165 | Канин Нос | 1915 - 2019 | 105 | 68,60 | 43,30 |
| 22235 | Краснощелье | 1932 - 2018 | 87 | 67,30 | 37,10 |
| 22292 | Индига | 1923 - 2018 | 96 | 67,70 | 48,70 |
| 22355 | Сосновец остров | 1862 - 2018 | 157 | 66,50 | 40,70 |
| 22520 | Кемь-порт | 1863 - 2018 | 156 | 64,980 | 34,80 |
| 22550 | Архангельск | 1813 - 2019 | 207 | 64,40 | 40,70 |
| 22583 | Койнас | 1912 - 2018 | 107 | 64,80 | 47,60 |
| 23022 | Амдерма | 1934 - 2018 | 85 | 69,80 | 61,70 |
| 23032 | Марресаля | 1940 - 2017 | 78 | 69,70 | 66,80 |
| 23074 | Дудинка | 1906 - 2012 | 107 | 69,40 | 86,20 |
| 23205 | Нарьян-Мар | 1926 - 2019 | 94 | 67,60 | 53,0 |
| 23219 | Хоседа-Хард | 1931 - 2016 | 86 | 67,10 | 59,40 |
| 23220 | Елецкая | 1955 - 2018 | 64 | 67,80 | 64,80 |
| 23242 | Новый Порт | 1951 - 2018 | 68 | 67,70 | 72,90 |
| 23256 | Тазовск | 1932 - 2018 | 87 | 67,50 | 78,70 |
| 24125 | Оленек АМСГ | 1935 - 2019 | 85 | 68,50 | 112,40 |
| 24136 | Сухана | 1938 - 2018 | 81 | 68,620 | 118,330 |
| 24266 | Верхоянск, АМСГ | 1886 - 2019 | 134 | 67,550 | 133,380 |
| 24329 | Шелагонцы | 1940 - 2019 | 80 | 66,250 | 114,280 |
| 24343 | Жиганск | 1935 - 2019 | 85 | 66,770 | 123,40 |
| 25042 | 0. Айон | 1939 - 2018 | 80 | 69,80 | 168,70 |
| 25138 | Островное | 1933 - 2018 | 86 | 68,120 | 164,160 |
| 25173 | М. Шмидта | 1932 - 2013 | 82 | 68,90 | -179,40 |
| 25206 | Среднеколымск | 1887 - 2018 | 132 | 67,450 | 153,0 |
| 25325 | Усть-Олой | 1936 - 2018 | 82 | 66,550 | 159,420 |
| 25372 | Амгуема, 87км | 1951 - 1995 | 45 | 67,0 | -178,90 |

Таблица 1.2 – наблюдения за продолжительностью солнечного сияния на 49 метеорологических станциях на территории российской Арктики.

| Код | Название | Период | кол-во лет | Ширта | Долгота |
|-------|--------------|-------------|------------|-------|---------|
| 20046 | Кренкеля ГМО | 1961 - 2019 | 53 | 80,60 | 58,10 |
| 20069 | Визе | 1961 - 2019 | 52 | 79,50 | 77.0 |
| 20087 | Голомянный | 1966 - 2019 | 50 | 79,60 | 90,60 |
| 20107 | Баренцбург | 1961 - 2019 | 58 | 78,10 | 14,20 |
| 20289 | Русский | 1961 - 1995 | 34 | 77,20 | 96,60 |

| | | | _ | 1 | |
|-------|---------------------|-------------|----|--------|---------|
| 20292 | Им.Е.К.Федорова ГМО | 1961 - 2019 | 55 | 77,70 | 104,30 |
| 20667 | Им.М.В.Попова | 1961 - 2019 | 44 | 73,30 | 70,10 |
| 20674 | Диксон | 1961 - 2019 | 57 | 73,50 | 80,40 |
| 20744 | Малые Кармакулы | 1961 - 2019 | 54 | 72,40 | 52,70 |
| 21432 | 0. Котельный | 1940 - 2019 | 64 | 76,0 | 137,90 |
| 21647 | 0. Шалаурова | 1939 - 2000 | 43 | 73,20 | 143,90 |
| 21802 | Саскылах | 1961 - 2019 | 55 | 72,0 | 114,10 |
| 21824 | Тикси | 1961 - 2019 | 31 | 71,60 | 128,90 |
| 21908 | Жилинда | 1966 - 2019 | 54 | 70,10 | 114,0 |
| 21921 | Кюсюр | 1961 - 2000 | 40 | 70,70 | 127,00 |
| 21946 | Чокурдах | 1959 - 2017 | 58 | 70,60 | 147,9 |
| 21982 | 0. Врангеля | 1961 - 2019 | 59 | 71,0 | -178,5 |
| 22003 | Вайда-Губа | 1961 - 2019 | 58 | 69,90 | 32,0 |
| 22028 | Териберка | 1983 - 2019 | 36 | 69,20 | 35,10 |
| 22095 | Колгуев Северный | 1967 - 2019 | 51 | 69,10 | 49,20 |
| 22101 | Виртаниеми | 1961 - 2019 | 54 | 68,90 | 28,40 |
| 22113 | Мурманск | 1961 - 2019 | 58 | 69,0 | 33,10 |
| 22140 | Гремиха Бухта | 1985 - 2017 | 32 | 68,10 | 39,50 |
| 22165 | Канин Нос | 1966 - 2019 | 53 | 68,60 | 43,30 |
| 22235 | Краснощелье | 1961 - 2019 | 58 | 67,30 | 37,10 |
| 22292 | Индига | 1946 - 2019 | 65 | 67,70 | 48,70 |
| 22355 | Сосновец остров | 1950 - 2019 | 65 | 66,50 | 40,70 |
| 22520 | Кемь-порт | 1930 - 2019 | 86 | 64,980 | 34,80 |
| 22550 | Архангельск | 1931 - 2019 | 76 | 64,40 | 40,70 |
| 22583 | Койнас | 1961 - 2019 | 59 | 64,80 | 47,60 |
| 23022 | Амдерма | 1961 - 2019 | 54 | 69,80 | 61,70 |
| 23032 | Марресаля | 1967 - 2019 | 49 | 69,70 | 66,80 |
| 23074 | Дудинка | 1957 - 2012 | 53 | 69,40 | 86,20 |
| 23205 | Нарьян-Мар | 1949 - 2019 | 71 | 67,60 | 53,0 |
| 23219 | Хоседа-Хард | 1950 - 2016 | 67 | 67,10 | 59,40 |
| 23220 | Елецкая | 1961 - 2019 | 59 | 67,80 | 64,80 |
| 23242 | Новый Порт | 1961 - 2019 | 59 | 67,70 | 72,90 |
| 23256 | Тазовск | 1961 - 2019 | 59 | 67,50 | 78,70 |
| 24125 | Оленек АМСГ | 1941 - 2015 | 71 | 68,50 | 112,40 |
| 24136 | Сухана | 1961 - 2019 | 59 | 68,620 | 118,330 |
| 24266 | Верхоянск, АМСГ | 1934 - 2019 | 74 | 67,550 | 133,380 |
| 24329 | Шелагонцы | 1957 - 2019 | 63 | 66,250 | 114,280 |
| 24343 | Жиганск | 1943 - 2019 | 72 | 66,770 | 123,40 |
| 25042 | 0. Айон | 1969 - 2019 | 49 | 69,80 | 168,70 |
| | 0. ДИОП | | | 35,50 | |

| 25138 | Островное | 1959 - 2019 | 61 | 68,120 | 164,160 |
|-------|---------------|-------------|----|--------|---------|
| 25173 | М. Шмидта | 1961 - 1993 | 33 | 68,90 | -179,40 |
| 25206 | Среднеколымск | 1961 - 1997 | 37 | 67,450 | 153,0 |
| 25325 | Усть-Олой | 1942 - 2013 | 32 | 66,550 | 159,420 |
| 25372 | Амгуема | 1950 - 1995 | 46 | 67,0 | -178,90 |

Метаданные и многолетние ряды были импортированы в компьютер для расчетов, и в результате была создана региональная база данных климатических данных. При анализе информационных особенностей сформированной базы данных, представленных в табл.1.1, видно, что продолжительность наблюдений колеблется в широких пределах от 45 лет на метеостанции Амгуэма, 87 км, до 207 лет на метеостанции Архангельск и составляет в среднем 86 лет. Из таблицы 1.2 следует, что продолжительность наблюдений продолжительности солнечного сияния составляет в среднем 50 лет, при этом минимум 12 лет на станции Тикси и 56 лет на станции Кемь-Порт. [1]

1.4 Методика

Первым пунктом выпускной квалификационной работы является сбор информации о среднемесячной температуре воздуха метеостанций в Российской Арктике, которые равномерно распределены по всей территории. Затем мы создаем базу данных долгосрочных рядов среднемесячных показателей температуры за двенадцать месяцев на 49 выбранных метеостанциях.

Аналогичные действия выполняются для сбора информации о продолжительности солнечного сияния и формирования новой базы данных для тех же 49 выбранных метеостанций.

На следующем этапе работы оценивается качество данных, оценивается их однородность и ряды сводятся к многолетнему периоду примерно одинаковой продолжительности.

Следующий этап методологии связан со статистическим моделированием долгосрочных рядов и их аппроксимацией стационарной моделью выборки и

двумя нестационарными моделями: линейным трендом и ступенчатым изменением среднего значения с вычислением показателей нестационарности.

Далее проводится пространственное обобщение показателей нестационарности и разницы температурных норм, полученных за предыдущий и последующие периоды по отношению к году ступенчатого изменения температуры.

Кроме того, рассматривается вопрос о возможности выявления известного потепления 1920-40 годов в Арктике и сравнения его с современным антропогенным потеплением.

Статистическое моделирование долгосрочных рядов продолжительности солнечного сияния также выполняется и аппроксимируется стационарной моделью выборки и двумя нестационарными моделями: линейным трендом и ступенчатыми изменениями среднего значения с вычислением нестационарных показателей.

Проведено пространственное обобщение показателей нестационарности и разницы в нормах продолжительности солнечного сияния, полученных для предыдущего и последующих периодов по отношению к году изменения шага.

Оценивается взаимосвязь между продолжительностью солнечного сияния и температурой воздуха.

Результатом работы является вывод о климатическом изменении этих параметров и теплового режима в целом. [1,3]

Глава 2. Оценка качества данных и пространственные закономерности в стационарных условиях.

2.1 Оценка однородности и стационарности

Первым этапом исследования является оценка однородности эмпирических распределений метеорологических характеристик. Оно может быть нарушено из-за резкого отклонения от эмпирического распределения максимальных и минимальных значений. Оценка однородности рядов наблюдений по метеорологическим характеристикам проводится на основе генетического и статистического анализа исходных данных наблюдений. Генетический анализ заключается В выявлении физических причин, вызывающих неоднородность исходных данных наблюдений. Для оценки статистической значимости однородности используется критерий Диксона и Смирнова-Граббса. Вот три основные причины неоднородности эмпирических распределений метеорологических характеристик:

- резко отклоняющиеся метеорологические значения могут иметь особые условия формирования, например, образованные тайфунами, ураганами и т.д.;
- экстремальное событие имеет более редкую вероятность возникновения, чем та, которая определяется эмпирической формулой для короткой серии наблюдений, когда экстремальное событие включено в общую последовательность наблюдений;
- из-за значительной погрешности измерения может появиться резкое отклонение значения.

При оценке однородности сначала сомнительные экстремумы, резко отклоняющиеся от эмпирического распределения, проверяются по статистическим критериям, и если однородность нарушена, ее причина определяется на основе генетического анализа.

Статистика критериев Диксона рассчитывается на основе эмпирических данных по следующим формулам:

а) для максимального члена выборки, ранжированного в порядке возрастания (Y_n) :

$$DI_n = (Y_n - Y_{n-1})/(Y_n - Y_1)$$
 (1)

$$D2_n = (Y_n - Y_{n-1})/(Y_n - Y_2)$$
 (2)

$$D3_n = (Y_n - Y_{n-2})/(Y_n - Y_2)$$
(3)

$$D4_n = (Y_n - Y_{n-2})/(Y_n - Y_3) \tag{4}$$

$$D5_n = (Y_n - Y_{n-2})/(Y_n - Y_1)$$
 (5)

б) для минимального члена ранжированной в возрастающем порядке выборки (Y_I) :

$$D1_1 = (Y_1 - Y_2)/(Y_1 - Y_n) \tag{6}$$

$$D2_{1}=(Y_{1}-Y_{2})/(Y_{1}-Y_{n-1})$$
 (7)

$$D3_{1}=(Y_{1}-Y_{3})/(Y_{1}-Y_{n-1})$$
 (8)

$$D4_1 = (Y_1 - Y_3)/(Y_1 - Y_{n-2})$$
 (9)

$$D5_{1}=(Y_{1}-Y_{3})/(Y_{1}-Y_{n})$$
 (10)

где $Y_1 < Y_2 < ... < Y_n$; n - объем выборки.

Статистика критерия Смирнова-Граббса для тах члена ранжированной последовательности (Y_n) рассчитывается по формуле:

$$G_n = (Y_n - Y_{cp})/\sigma_y \tag{11}$$

и для $\min (Y_1)$:

$$G_I = (Y_{cp} - Y_I)/\sigma_v \tag{12}$$

где Ycp, σ_y - среднее значение и среднеквадратическое отклонение анализируемой выборки, определяемые по формулам:

$$Y_{cp} = \sum Y_i / n \tag{13}$$

$$\sigma^2_y = \Sigma (Y_i - Y_{cp})^2 / (n-1) \tag{14}$$

где σ^2_{ν} – дисперсия.

Оценка однородности по критериям производится путем сравнения расчетного значения статистики критериев, полученной из эмпирических данных, с критическим значением из таблиц. В этом случае уровень значимости (а) обычно устанавливается равным 5%, что соответствует принятию нулевой гипотезы однородности с вероятностью 95%, размер выборки (п). В результате гипотеза однородности может быть принята, если вычисленное статистическое значение меньше соответствующего критического.

Стационарность средних значений и дисперсий для последовательных частей ряда оценивается с использованием критериев Стьюдента и Фишера, которые также обобщаются для особенностей гидрометеорологической информации. Анализ в соответствии с этими критериями проводится после оценки отсутствия резко отклоняющихся экстремумов, которые существенно влияют на средние значения и дисперсию.

Для оценки стационарности дисперсий и средних, соответственно, согласно критериям Фишера и Стьюдента, временной ряд разделяют на две или более подвыборок одинаковой или разной длины, и желательно связать границы разбиения с датами предполагаемого нарушения стационарности. Для каждой подвыборки вычисляются значения средних (Ycpj) и дисперсий (σ2j), которые используются для получения расчетных значений статистики Фишера:

$$F = \sigma_{j}^{2} / \sigma_{j+1}^{2} \tag{15}$$

при $\sigma^2_j > \sigma^2_{j+1}$, где σ^2_j , σ^2_{j+1} - соответственно дисперсии двух следующих друг за другом подвыборок (j и j+1) объемом \mathbf{n}_1 и \mathbf{n}_2 .

Уровень значимости F-распределения для нормальных распределений независимых случайных величин: $\alpha = 5$ %.

Для оценки стационарности двух средних значений последовательных подвыборок используется значение статистики критерия Стьюдента, которая определяется по формуле:

$$t = \frac{Y_{\text{cp1}} - Y_{\text{cp2}}}{\sqrt{n_1 \sigma_1^2 + n_2 \sigma_2^2}} \sqrt{\frac{n_1 n_2 (n_1 + n_2 - 2)}{n_1 + n_2}}$$
(16)

где $Y_{\rm cp1}$, $Y_{\rm cp2}$, σ_1^2 , σ_2^2 — средние значения и дисперсии двух последовательных выборок; n_1 , n_2 — объемы выборок.

Оценка стационарности по критерию Стьюдента также осуществляется путем сравнения расчетных и критических значений статистики. Если вычисленное значение меньше критического значения при заданном уровне значимости, гипотеза однородности (стационарности) не отвергается. [8]

2.1.1 Оценка однородности и стационарности температуры воздуха.

При анализе термического режима российской Арктики в данной работе использовались многолетние данные рядов температуры воздуха, которые подверглись оценке однородности и стационарности.

Вывод о принятии гипотезы однородности и стационарности для четырех месяцев, каждого сезона года (январь, апрель, июль, октябрь) представлен в таблице 2.1.

Таблица 2.1. — Результаты оценки однородности и стационарности среднемесячных температур воздуха по критериям Диксона (д), Фишера (ф) и Стьюдента (ст) на метеостанциях Российской Арктики.

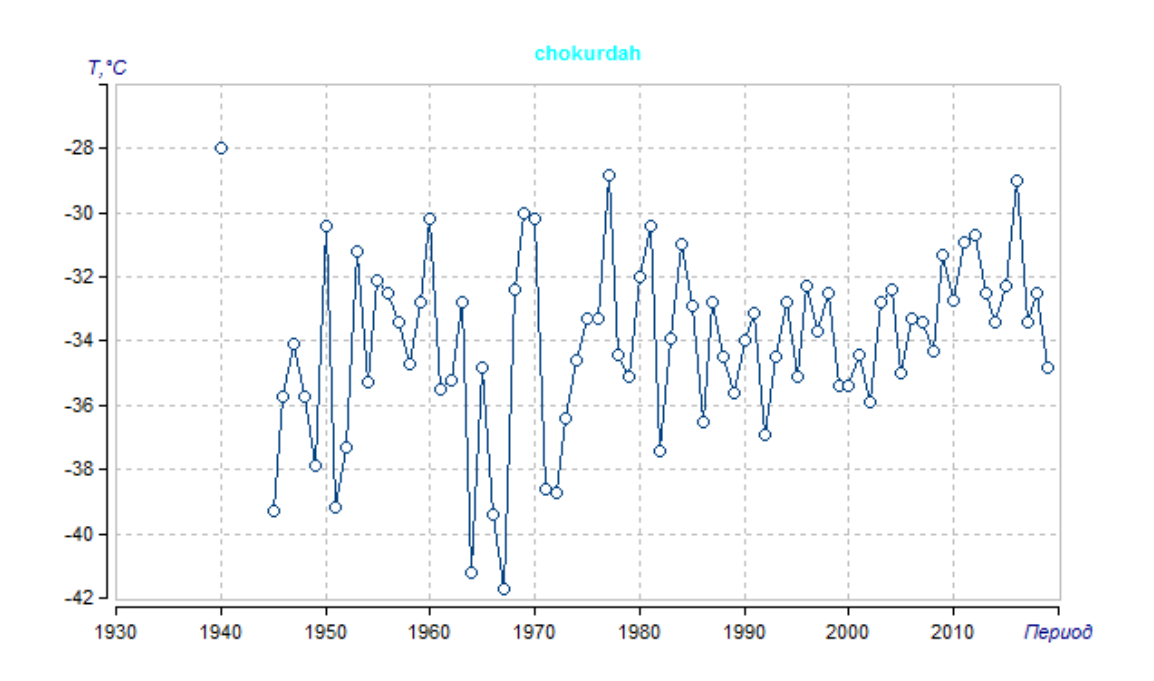
| | | | январь | | | июль | | гол |
|-------|---------------------|---|--------|--------|---|------|--------|----------------|
| код | название | Д | ф | ст | Д | ф | ст | год |
| 20046 | Кренкеля ГМ0 | + | + | (+)4,8 | + | + | + | |
| 20069 | Визе | + | + | + | + | - | + | |
| 20087 | Голомянный | + | + | + | + | - | + | |
| 20107 | Баренцбург | + | + | (-)2,7 | + | - | - | |
| 20289 | Русский | + | (-)2,4 | + | + | - | (+)3,7 | |
| 20292 | Им.Е.К.Федорова ГМО | + | + | + | - | + | + | 1944,1956,1976 |
| 20667 | Им.М.В.Попова | + | + | + | + | + | + | |
| 20674 | Диксон | + | + | + | + | + | + | |
| 20744 | Малые Кармакулы | + | + | + | + | + | + | |
| 21432 | 0. Котельный | + | + | (-)2,8 | + | + | + | |
| 21647 | 0. Шалаурова | + | + | + | + | + | + | |
| 21802 | Саскылах | + | + | + | + | + | + | |
| 21824 | Тикси | + | + | + | + | + | + | |
| 21908 | Жилинда | + | + | + | + | + | + | |

| 21946 Чокурдах | 21921 | Кюсюр | + | + | + | + | + | + | |
|---|-------|-----------------|--------|--------|--------|--------|--------|--------|----------------|
| 21982 О. Врангеля + | | • | - | - | + | + | + | + | 1967,1964,1945 |
| 22003 Вайда-Губа + | | **** | + | + | + | + | - | - | |
| 20228 Териберка | | | + | + | + | + | + | + | |
| 22095 Колгуев Северный + | | | + | + | + | + | + | + | |
| 22101 Виртаниеми | | • | + | + | - | | + | | |
| 22113 Мурманск | | · | + | + | - | + | + | + | |
| 22140 Гремиха Бухта + + - + + + + + + + | | | _ | + | - | + | + | + | 1968,1985,2016 |
| 22165 Канин Нос | | •• | + | + | - | + | + | (+)4 | |
| 22235 Краснощелье - (+)4,7 + + (+)4,1 + 1968,1985,2016 | | • | + | + | + | + | + | + | |
| 22292 Индига + <td< td=""><td></td><td> Краснощелье</td><td>-</td><td>(+)4,7</td><td>+</td><td>+</td><td>(+)4,1</td><td>+</td><td>1968,1985,2016</td></td<> | | Краснощелье | - | (+)4,7 | + | + | (+)4,1 | + | 1968,1985,2016 |
| 22355 Сосновец остров + | | • | + | + | + | + | + | + | |
| 22520 Кемь-порт + | 22355 | | + | + | + | + | + | - | |
| 22550 Архангельск + | 22520 | • • | + | + | + | + | + | + | |
| 23022 Амдерма + + + + + + + + + + + 23032 Марресаля + (-)2,3 + + + + + + + + + + + + + + + + + + + | 22550 | · | + | + | + | + | + | + | |
| 23032 Марресаля + (-)2,3 + | 22583 | Койнас | + | + | + | + | + | + | |
| 23074 Дудинка + + + + + + + + + + + 23205 Нарьян-Мар + + + + + + + + + + + + + + + + + + + | 23022 | Амдерма | + | + | + | + | + | + | |
| 23205 Нарьян-Мар + | 23032 | Марресаля | + | (-)2,3 | + | + | + | + | |
| 23205 Нарьян-Мар + | 23074 | | + | + | + | + | + | + | |
| 23220 Елецкая + + + + + + + + + + + + + + + + + + + | 23205 | Нарьян-Мар | + | + | + | + | + | + | |
| 23242 Новый Порт + - | 23219 | Хоседа-Хард | + | + | + | + | + | + | |
| 23256 Тазовск + + + + - <t< td=""><td>23220</td><td>Елецкая</td><td>+</td><td>+</td><td>+</td><td>+</td><td>(+)3,1</td><td>+</td><td></td></t<> | 23220 | Елецкая | + | + | + | + | (+)3,1 | + | |
| 24125 Оленек АМСГ + + + - - - - 24136 Сухана + (+)3,4 + + - - - 24266 Верхоянск, АМСГ + + - + - - - 24329 Шелагонцы (-)2,1 + (+)4,1 + - - - 24343 Жиганск + | 23242 | Новый Порт | + | + | + | + | + | + | |
| 24136 Сухана + (+)3,4 + + - - - 24266 Верхоянск, АМСГ + + + + - - - 24329 Шелагонцы (-)2,1 + (+)4,1 + - - - 24343 Жиганск + | 23256 | Тазовск | + | + | + | + | - | - | |
| 24266 Верхоянск, АМСГ + + - + - - 24329 Шелагонцы (-)2,1 + (+)4,1 + - - 24343 Жиганск + <td>24125</td> <td>Оленек АМСГ</td> <td>+</td> <td>+</td> <td>-</td> <td>+</td> <td>-</td> <td>-</td> <td></td> | 24125 | Оленек АМСГ | + | + | - | + | - | - | |
| 24329 Шелагонцы (-)2,1 + (+)4,1 + - - 24343 Жиганск + + + + + + + + + + + + + + + + + + + - | 24136 | Сухана | + | (+)3,4 | + | + | ı | ı | |
| 24343 Жиганск + <t< td=""><td>24266</td><td>Верхоянск, АМСГ</td><td>+</td><td>+</td><td>-</td><td>+</td><td>1</td><td>1</td><td></td></t<> | 24266 | Верхоянск, АМСГ | + | + | - | + | 1 | 1 | |
| 25042 0. Айон (+)4,8 (+)4,8 + (+)4,4 + (-)2,3 25138 Островное (+)4,1 (-)2,1 + + + (+)4,2 25173 М. Шмидта (+)4,5 - + + + (+)4,3 25206 Среднеколымск (+)3,7 + - + + (+)4,3 25325 Усть-Олой - (+)3,9 + + + + 1950,1950,1996 25372 Амгуема + + + + + + 1967,1970,1994 код название д ф ст д ф ст 20046 Кренкеля ГМО + + + + + + + 20069 Визе (+)4.3 + + + + + + + | 24329 | Шелагонцы | (-)2,1 | + | (+)4,1 | + | ı | ı | |
| 25138 Островное (+)4,1 (-)2,1 + + + (+)4,2 25173 М. Шмидта (+)4,5 - + + + (+)4,3 25206 Среднеколымск (+)3,7 + - + + (+)4,3 25325 Усть-Олой - (+)3,9 + + + - 1950,1950,1996 25372 Амгуема + + + + + + 1967,1970,1994 код название д ф ст д ф ст 20046 Кренкеля ГМО + + + + + + + + 20069 Визе (+)4.3 + <t< td=""><td>24343</td><td>Жиганск</td><td>+</td><td>+</td><td>+</td><td>+</td><td>+</td><td>+</td><td></td></t<> | 24343 | Жиганск | + | + | + | + | + | + | |
| 25173 М. Шмидта (+)4,5 - + + + (+)4,3 25206 Среднеколымск (+)3,7 + - + + (+)4,3 25325 Усть-Олой - (+)3,9 + + + - 1950,1950,1996 25372 Амгуема + + + + + 1967,1970,1994 код название д ф ст д ф ст 20046 Кренкеля ГМО + + + + + + 20069 Визе (+)4,3 + + + + + | 25042 | 0. Айон | (+)4,8 | (+)4,8 | + | (+)4,4 | + | (-)2,3 | |
| 25206 Среднеколымск (+)3,7 + - + + (+)4,3 25325 Усть-Олой - (+)3,9 + + + - 1950,1950,1996 25372 Амгуема + + + + + + 1967,1970,1994 код название д ф ст д ф ст 20046 Кренкеля ГМО + + + + + + 20069 Визе (+)4,3 + + + + + | 25138 | Островное | (+)4,1 | (-)2,1 | + | + | + | (+)4,2 | |
| 25325 Усть-Олой - (+)3,9 + + + - 1950,1950,1996 25372 Амгуема + + + + + + 1967,1970,1994 код название д ф ст д ф ст 20046 Кренкеля ГМО + + + + + + 20069 Визе (+)4.3 + + + + + | 25173 | М. Шмидта | (+)4,5 | - | + | + | + | (+)4,3 | |
| 25372 Амгуема + + + + + + 1967,1970,1994 код название д ф ст д ф ст 20046 Кренкеля ГМО + + + + + + 20069 Визе (+)4.3 + + + + + | 25206 | | (+)3,7 | + | - | + | + | (+)4,3 | |
| код название д ф ст д ф ст д ф ст 20046 Кренкеля ГМО + + + + - + 20069 Визе (+)4.3 + + + + + | 25325 | Усть-Олой | - | (+)3,9 | + | + | + | - | 1950,1950,1996 |
| код название д ф ст д ф ст 20046 Кренкеля ГМО + + + + - + 20069 Визе (+)4.3 + + + + + | 25372 | Амгуема | + | | + | - | | | 1967,1970,1994 |
| 20046 Кренкеля ГМО + + + + - + 20069 Визе (+)4.3 + + + + + | кол | название | п | _ | ст | п | | | год |
| 20069 Визе (+)4.3 + + + + + | | | | | | | | | |
| | | • | (+)4.3 | + | + | + | + | + | |
| | 20087 | Голомянный | + | + | + | + | + | + | |

| 20107 | Баренцбург | + | + | + | + | + | - | |
|-------|---------------------|--------|--------|--------|--------|---|---|----------------|
| 20289 | Русский | + | + | + | + | + | + | |
| 20292 | Им.Е.К.Федорова ГМО | + | + | + | + | + | + | |
| 20667 | Им.М.В.Попова | + | + | + | (+)4.5 | + | + | 1976,1989,1977 |
| 20674 | Диксон | (-)2.9 | + | + | + | + | + | |
| 20744 | Малые Кармакулы | + | + | + | + | + | + | |
| 21432 | 0. Котельный | + | + | - | + | + | + | |
| 21647 | 0. Шалаурова | + | + | - | + | + | + | |
| 21802 | Саскылах | + | + | - | + | + | + | |
| 21824 | Тикси | + | + | - | + | + | + | |
| 21908 | Жилинда | + | + | - | + | + | + | |
| 21921 | Кюсюр | + | + | - | + | + | + | |
| 21946 | Чокурдах | + | + | (+)3,7 | + | + | - | 2000,1961,1984 |
| 21982 | 0. Врангеля | + | + | + | + | + | + | |
| 22003 | Вайда-Губа | + | + | + | + | + | + | |
| 22028 | Териберка | + | + | + | + | + | + | |
| 22095 | Колгуев Северный | + | + | + | + | 1 | + | |
| 22101 | Виртаниеми | + | (+)4.7 | + | + | - | + | |
| 22113 | Мурманск | + | + | + | (+)4.1 | - | + | 1965,2003,2019 |
| 22140 | Гремиха Бухта | + | + | + | + | - | + | |
| 22165 | Канин Нос | + | (+)4.1 | + | + | - | + | |
| 22235 | Краснощелье | (+)4.8 | + | + | + | - | + | |
| 22292 | Индига | + | + | + | + | + | + | |
| 22355 | Сосновец остров | (+)4.9 | + | + | + | + | + | |
| 22520 | Кемь-порт | (+)3.0 | + | + | + | + | + | |
| 22550 | Архангельск | (+)3.4 | (+)3.8 | + | + | + | + | |
| 22583 | Койнас | + | + | + | + | + | + | |
| 23022 | Амдерма | - | + | + | + | + | + | 1997,1987,1971 |
| 23032 | Марресаля | + | + | + | + | + | + | |
| 23074 | Дудинка | + | - | - | + | + | + | |
| 23205 | Нарьян-Мар | + | - | - | - | + | + | 202,1979,1949 |
| 23219 | Хоседа-Хард | + | - | - | + | + | - | |
| 23220 | Елецкая | (+)4.3 | + | + | + | + | + | |
| 23242 | Новый Порт | + | + | + | + | + | + | |
| 23256 | Тазовск | + | + | + | + | + | + | |
| 24125 | Оленек АМСГ | + | + | (+)3,3 | + | - | + | |
| 24136 | Сухана | + | + | (-)2,3 | + | - | + | |
| 24266 | Верхоянск, АМСГ | + | + | + | + | - | + | |
| 24329 | Шелагонцы | + | + | - | + | + | + | |

| 24343 | Жиганск | - | - | (+)3,2 | + | + | + | 1963,2006,1951 |
|-------|---------------|--------|---|---------|---|--------|--------|----------------|
| 25042 | 0. Айон | (-)2,2 | - | (+)3,04 | + | + | - | |
| 25138 | Островное | + | - | (+)3,5 | + | (+)3,8 | (-)2,8 | |
| 25173 | М. Шмидта | + | + | + | + | + | + | |
| 25206 | Среднеколымск | + | + | + | + | (+)4,0 | + | |
| 25325 | Усть-Олой | + | + | (+)4,9 | + | + | + | |
| 25372 | Амгуема | (+)3,1 | + | + | + | + | + | |

В таблице 2.1 знак "+" указывает на заключение о принятии гипотезы однородности и стационарности, а знак "-" указывает на отклонение. Если вычисленное значение статистики критерия близко к критическому, но превышает его, то в таблице также отображается уровень значимости, соответствующий вычисленному значению критерия. В этом случае вывод о принятии или отклонении гипотезы однородности и стационарности сомнителен и заключен в квадратные скобки. Знак "(+)" ставится, если уровень значимости, соответствующий вычисленному значению статистики критерия, составляет менее 5%, но больше или равен 3%. Знак "(-)", если уровень значимости составляет менее 3%, но более 1%. Знак "+" ставится, если уровень значимости, соответствующий вычисленному значению статистики критерия, равен или превышает 5%. Мы ставим знак "-", если он равен или меньше 1%, т.е. в этих случаях нулевая гипотеза либо достаточно надежно принимается, либо надежно отвергается. [1] Примеры нестационарных рядов показаны нарис.2.1



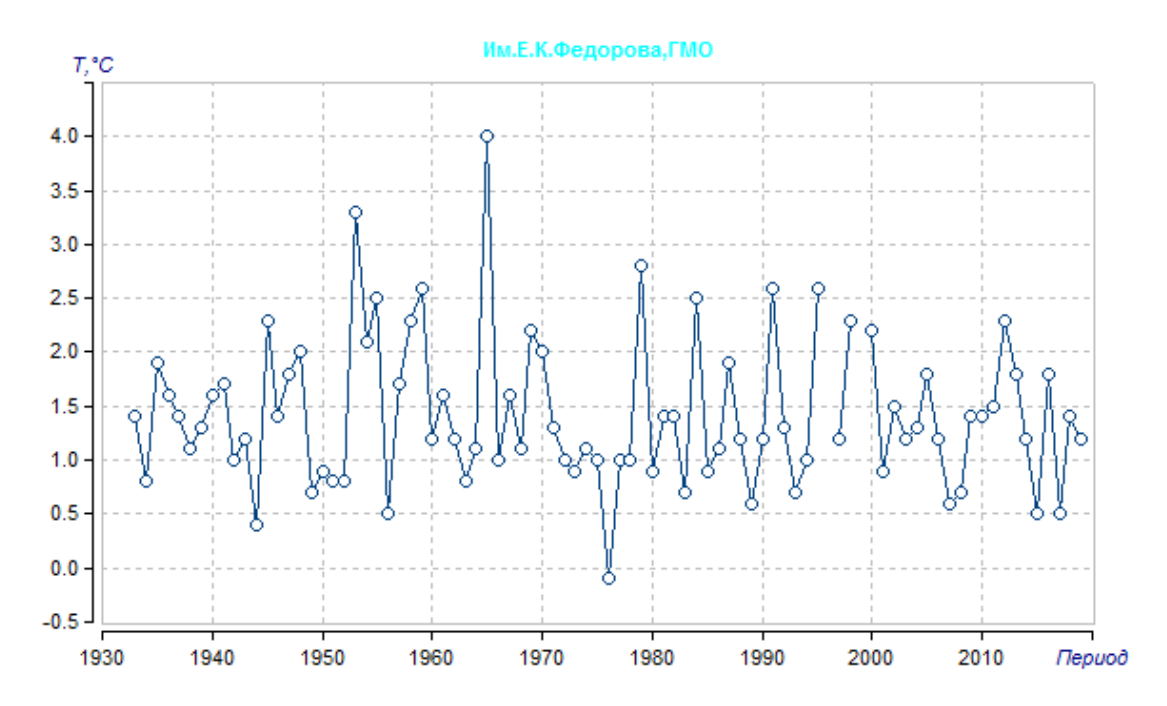


Рис.2.1. Примеры нестационарных рядов температуры воздуха в июле на метеостанциях Чокурдах в январе и Им.Е.К.Федорова,ГМО в июле Российской Арктики.

При анализе результатов оценки стационарности и однородности данных можно сделать вывод, что российский Арктический регион в основном содержит однородные ряды наблюдений, и выявленная нестационарность будет исследована в дальнейшем на основе статистических моделей временных рядов.

2.1.2 Оценка однородности и стационарности продолжительности солнечного сияния.

Для оценки теплового режима в работе также использовались данные о продолжительности солнечного сияния за три сезона года (январь, апрель, июль), которые также оценивались на однородность и стационарность.

Вывод о принятии гипотезы однородности и стационарности за три месяца (январь, апрель, июль) представлен в таблице 2.2.

Таблица 2.2. – Результаты оценки однородности и стационарности среднемесячной продолжительности солнечного сияния за три сезона года по критериям Диксона (д), Фишера (ф) и Стьюдента (ст) на метеостанциях Российской Арктики.

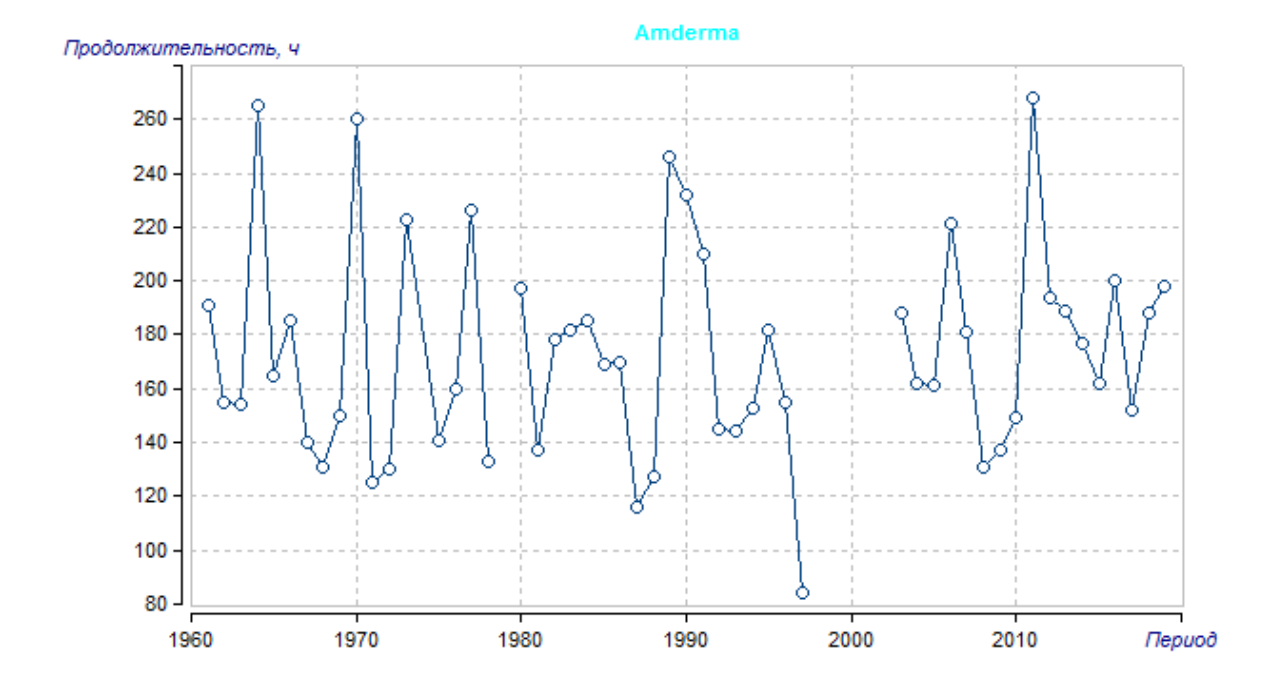
| 740 W | Waapayyya | | январь | | T0 T |
|-------|---------------------|--------|----------|--------|------|
| код | название | Д | ф | ст | год |
| 20046 | Кренкеля ГМО | Н | ет данны | ЫX | |
| 20069 | Визе | + | + | + | |
| 20087 | Голомянный | + | + | + | |
| 20107 | Баренцбург | + | - | - | |
| 20289 | Русский | + | - | + | |
| 20292 | Им.Е.К.Федорова ГМО | + | + | + | |
| 20667 | Им.М.В.Попова | + | + | + | |
| 20674 | Диксон | + | (+)4.3 | + | |
| 20744 | Малые Кармакулы | + | + | + | |
| 21432 | 0. Котельный | + | + | + | |
| 21647 | 0. Шалаурова | + | + | (-)2.9 | |
| 21802 | Саскылах | + | + | (+)4.8 | |
| 21824 | Тикси | + | + | + | |
| 21908 | Жилинда | + | + | + | |
| 21921 | Кюсюр | (+)3.5 | (-)2.4 | + | |
| 21946 | Чокурдах | + | + | + | |
| 21982 | 0. Врангеля | + | + | + | |
| 22003 | Вайда-Губа | + | + | + | |
| 22028 | Териберка | + | + | + | |
| 22095 | Колгуев Северный | + | + | + | |
| 22101 | Виртаниеми | + | + | + | |
| 22113 | Мурманск | + | + | + | |
| 22140 | Гремиха Бухта | + | (-)2.2 | + | |
| 22165 | Канин Нос | + | + | + | |

| Индига | T | Т | ' | | | | |
|---|---|---|---|---|---|---|---|
| Сосновец остров | + | + | + | | | | |
| Кемь-порт | + | + | + | | | | |
| Архангельск | + | + | + | | | | |
| Койнас | + | + | + | | | | |
| Амдерма | + | + | + | | | | |
| | + | + | - | | | | |
| Дудинка | + | + | + | | | | |
| | + | + | + | | | | |
| | + | + | + | | | | |
| | + | + | + | | | | |
| | + | + | + | | | | |
| Тазовск | + | + | (+)3.6 | | | | |
| Оленек АМСГ | + | + | (+)3.2 | | | | |
| | + | + | + | | | | |
| · | + | + | + | | | | |
| | + | (+)4.5 | + | | | | |
| | + | + | (+)4.2 | | | | |
| | + | + | + | | | | |
| | + | + | + | | | | |
| · | + | + | + | | | | |
| Среднеколымск | + | + | + | | | | |
| Усть-Олой | + | + | + | | | | |
| Амгуема | + | + | + | | | | |
| | | опропі | | • | июль | | БОЛ |
| HODBOHHA | | апрель | | | | | |
| название | Д | ф | ст | Д | ф | СТ | год |
| название Кренкеля ГМО | + | | ст + | Д + | ф - | + | ТОД |
| | | ф | | | | | ТОД |
| Кренкеля ГМО Визе | + | ф + | + | + | - | + | ТОД |
| Кренкеля ГМО Визе Голомянный | + (+)4.3 | ф + + | + + | + | + | + | ТОД |
| Кренкеля ГМО Визе Голомянный Баренцбург | + (+)4.3 | ф + + | + + + | + + + + | + + | + + + | ТОД |
| Кренкеля ГМО Визе Голомянный Баренцбург Русский | + (+)4.3 + + | ф + + + + | + + + + + | + + + + + | + + + | + + + + - | ТОД |
| Кренкеля ГМО Визе Голомянный Баренцбург Русский Им.Е.К.Федорова ГМО | + (+)4.3 + + + | ф + + + + + | + + + + + + | + + + + + + | + + + + | + + + + - + + | ТОД |
| Кренкеля ГМО Визе Голомянный Баренцбург Русский Им.Е.К.Федорова ГМО Им.М.В.Попова | + (+)4.3 + + + + | ф + + + + + + | + + + + + + + | + + + + + + | + + + + + | + + + + + + + | ТОД |
| Кренкеля ГМО Визе Голомянный Баренцбург Русский Им.Е.К.Федорова ГМО Им.М.В.Попова Диксон | + (+)4.3 + + + + | ф + + + + + + + | + + + + + + + | + + + + + + (+)4.5 | - + + + + + | + + + + + + + | ТОД |
| Кренкеля ГМО Визе Голомянный Баренцбург Русский Им.Е.К.Федорова ГМО Им.М.В.Попова | + (+)4.3 + + + + + (-)2.9 | ф + + + + + + + | + + + + + + + + | + + + + + + (+)4.5 | - + + + + + | + + + + + + + + | ТОД |
| Кренкеля ГМО Визе Голомянный Баренцбург Русский Им.Е.К.Федорова ГМО Им.М.В.Попова Диксон Малые Кармакулы | + (+)4.3 + + + + + (-)2.9 | ф + + + + + + + | + + + + + + + + + + | + + + + + (+)4.5 + | + + + + + + + + | + + + - + + + + | ТОД |
| Кренкеля ГМО Визе Голомянный Баренцбург Русский Им.Е.К.Федорова ГМО Им.М.В.Попова Диксон Малые Кармакулы О. Котельный | + (+)4.3 + + + + (-)2.9 + (+)4.2 | ф + + + + + + + + | + + + + + + + + + | + + + + + (+)4.5 + | - + + + + + + | + + + + + + + + | ТОД |
| | Сосновец остров Кемь-порт Архангельск Койнас Амдерма Марресаля Дудинка Нарьян-Мар Хоседа-Хард Елецкая Новый Порт Тазовск Оленек АМСГ Сухана Верхоянск, АМСГ Шелагонцы Жиганск О. Айон Островное М. Шмидта Среднеколымск Усть-Олой | Сосновец остров Кемь-порт Архангельск Койнас Амдерма Марресаля Дудинка Нарьян-Мар Хоседа-Хард Елецкая Новый Порт Тазовск Оленек АМСГ Сухана Верхоянск, АМСГ Шелагонцы Жиганск О. Айон Островное М. Шмидта Среднеколымск Усть-Олой + | Сосновец остров + + Кемь-порт + + Архангельск + + Койнас + + Амдерма + + Марресаля + + Дудинка + + Нарьян-Мар + + Хоседа-Хард + + Елецкая + + Новый Порт + + Тазовск + + Оленек АМСГ + + Сухана + + Верхоянск, АМСГ + + Шелагонцы + + Жиганск + + О. Айон + + Островное + + М. Шмидта + + Среднеколымск + + Усть-Олой + + Амгуема + + | Сосновец остров + | Сосновец остров + | Сосновец остров + | Сосновец остров + |

Краснощелье

| 21908 | Жилинда | + | + | + | + | + | + | |
|-------|------------------|--------|--------|---|--------|---|---|----------------|
| 21921 | Кюсюр | + | + | + | + | + | + | |
| 21946 | Чокурдах | + | + | + | (+)4.9 | + | + | |
| 21982 | 0. Врангеля | + | + | - | + | + | + | |
| 22003 | Вайда-Губа | + | + | + | + | + | + | |
| 22028 | Териберка | + | + | + | + | + | + | |
| 22095 | Колгуев Северный | + | + | + | + | + | + | |
| 22101 | Виртаниеми | + | (+)4.7 | + | + | + | + | |
| 22113 | Мурманск | + | + | + | (+)4.1 | + | + | |
| 22140 | Гремиха Бухта | + | + | + | + | + | + | |
| 22165 | Канин Нос | + | (+)4.1 | + | + | + | + | |
| 22235 | Краснощелье | (+)4.8 | + | + | + | + | + | |
| 22292 | Индига | + | + | + | + | + | + | |
| 22355 | Сосновец остров | (+)4.9 | + | + | + | + | + | |
| 22520 | Кемь-порт | (+)3.0 | + | + | + | + | + | |
| 22550 | Архангельск | (+)3.4 | (+)3.8 | + | + | + | + | |
| 22583 | Койнас | + | + | + | + | + | + | |
| 23022 | Амдерма | - | + | + | + | + | + | 1997,1987,1971 |
| 23032 | Марресаля | + | + | + | + | + | + | |
| 23074 | Дудинка | + | + | + | + | + | + | |
| 23205 | Нарьян-Мар | + | + | + | - | + | + | 2002,1979,1949 |
| 23219 | Хоседа-Хард | + | + | + | + | + | - | |
| 23220 | Елецкая | (+)4.3 | + | + | - | + | - | |
| 23242 | Новый Порт | + | + | + | - | + | + | |
| 23256 | Тазовск | + | + | + | + | + | - | |
| 24125 | Оленек АМСГ | + | + | + | - | + | - | |
| 24136 | Сухана | + | + | + | - | + | + | |
| 24266 | Верхоянск, АМСГ | + | + | + | - | + | + | |
| 24329 | Шелагонцы | + | + | + | - | + | + | |
| 24343 | Жиганск | + | + | + | + | + | + | |
| 25042 | 0. Айон | + | + | + | - | + | + | |
| 25138 | Островное | + | + | + | - | + | + | |
| 25173 | М. Шмидта | + | + | + | - | + | + | |
| 25206 | Среднеколымск | + | + | + | - | + | + | |
| 25325 | Усть-Олой | + | + | + | + | + | + | |
| 25372 | Амгуема | + | + | + | - | + | + | |

В таблице 2.1 знак "+" указывает на заключение о принятии гипотезы однородности и стационарности, а знак "-" указывает на отклонение. Если вычисленное значение статистики критерия близко к критическому, но превышает его, то в таблице также отображается уровень значимости, соответствующий вычисленному значению критерия. В этом случае вывод о принятии или отклонении гипотезы однородности и стационарности сомнителен и заключен в квадратные скобки. Знак "(+)" ставится, если уровень значимости, соответствующий вычисленному значению статистики критерия, составляет менее 5%, но больше или равен 3%. Знак "(-)", если уровень значимости составляет менее 3%, но более 1%. Знак "+" ставится, если уровень значимости, соответствующий вычисленному значению статистики критерия, равен или превышает 5%. Мы ставим знак "-", если он равен или меньше 1%, т.е. в этих случаях нулевая гипотеза либо достаточно надежно принимается, либо надежно отвергается. [1] Примеры нестационарных рядов показаны нарис.2.2



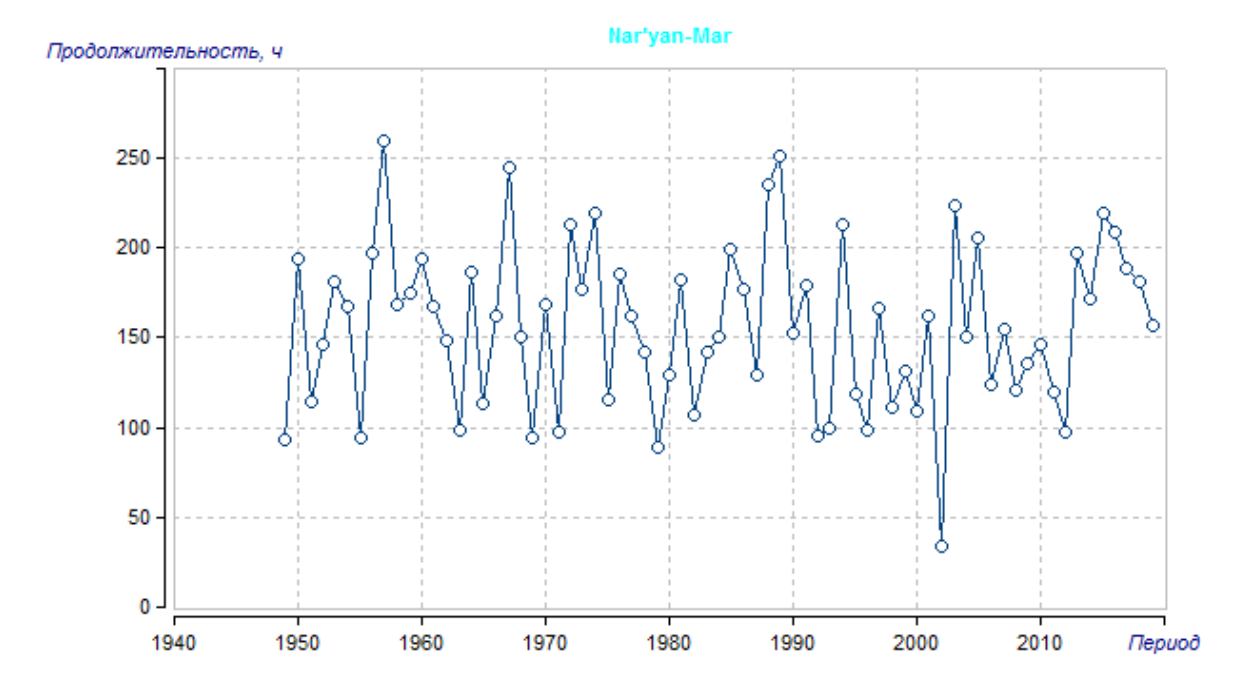


Рис.2.2. Примеры нестационарных рядов продолжительности солнечного сияния на метеостанциях Амдерма в апреле и Нарьян-Мар в июле Российской Арктики.

При анализе результатов оценки стационарности и однородности данных можно сделать вывод, что российский Арктический регион в основном содержит однородные ряды наблюдений по продолжительности солнечного сияния, и выявленная нестационарность будет исследована в дальнейшем на основе статистических моделей временных рядов.

2,2 Восстановление пропусков и приведение непродолжительных рядов к многолетнему периоду

Восстановление пропущенных наблюдений и сведение ряда к многолетнему периоду основано на построении уравнений регрессии в данном случае с тремя предполагаемыми аналогами, которые имеют как более длительный период наблюдения, так и данные наблюдений за те годы, которые были пропущены на рассматриваемой станции.

Последовательность приведения к многолетнему периоду следующая: все уравнения, удовлетворяющие условиям эффективности, располагаются в

порядке убывания коэффициентов корреляции, затем погодные значения метеорологических характеристик данной точки восстанавливаются за период совместных наблюдений в аналогичных точках по уравнению с наибольшим значение коэффициента корреляции, на следующем шаге используются уравнения регрессии, коэффициенты корреляции которых меньше, чем у предыдущего, но больше, чем у кого-либо другого. Постепенное восстановление типичных значений метеорологической характеристики продолжается до тех пор, пока не будут использованы все уравнения регрессии, удовлетворяющие условиям эффективности. Уравнение множественной линейной регрессии, по которому осуществляется восстановление, имеет следующий вид:

$$Y = k_0 + k_1 Y_1 + k_2 Y_2 + \dots + k_i Y_i + \dots + k_l Y_l$$
 (17)

где Y — значения метеорологической характеристики в приводимом пункте; Y_j — значения метеорологической характеристики в пунктах-аналогах; k_0 — свободный член; k_j — коэффициенты уравнения регрессии при $j=1,\,2,...,\,l;\,l$ — число пунктов-аналогов.

Для эффективного уравнения связи рассматриваемого пункта с аналогами использовались следующие условия:

$$n' \ge 6-10$$

n'— число совместных лет наблюдений в проводимом пункте и пунктах аналогах равно 10, т.к. количество пунктов аналогов было выбрано 3 (n' \geq 6 при одном пункте аналоге);

$$R \ge R_{\kappa p}$$

R — коэффициент парной или множественной корреляции между значениями гидрометеорологической величины в приводимом пункте и их значениями в пунктах-аналогах,; $R_{\kappa p}$ — критическое значение коэффициента парной или множественной корреляции (было взято значение равное 0,85);

$$k/\sigma_k \ge B_{\kappa p}$$

k — коэффициенты уравнения регрессии; σ_k — средняя квадратическая погрешность коэффициента уравнения регрессии; $B_{\kappa p}$ —критическое значение отношения k/σ_k , задается $\geq 2,0$. [1,8]

2.2.1 Восстановление и удлиннение кратковременных температурных рядов до многолетнего периода.

Серия температур воздуха, взятых в этой работе, имела пробелы и была недолговечной. После оценки однородности и стационарности температурные ряды для определенных месяцев каждого сезона пропускались через программу восстановления проходов и удлинения рядов в программном пакете ГИДРАВЛИЧЕСКИХ РАСЧЕТОВ.

Результаты восстановления данных и приведения кратковременных рядов температур воздуха к многолетнему периоду приведены в таблице 2.3 за 4 месяца (январь, апрель, июль, октябрь) для каждого сезона года.

Таблица 2.3 — Результаты восстановления и приведения кратковременных рядов температур воздуха к многолетнему периоду.

| | | январь | | | |
|-------|-----------------------|--------|--------|------------------|----------|
| Код | Наименование | факт. | восст. | к-т | кол-во |
| Код | Паименование | факт. | восст. | корреляции | аналогов |
| | Кренкеля ГМО | 55 | 98 | 0.878- | 16 |
| 20046 | препкели пио | | | 0.9810 | |
| 20060 | Визе | 74 | 102 | 0.855- 0.9609 | 13 |
| 20069 | | | | 0.886- | |
| 20087 | Голомянный | 80 | 102 | 0.0975 | 12 |
| 20107 | Баренцбург | 73 | 74 | 0.9056 | 3 |
| | D | 62 | 102 | 0.910- | 11 |
| 20289 | Русский | 02 | 102 | 00.969 | 11 |
| | Им.Е.К.Федорова | 87 | 102 | 0.8905- | 8 |
| 20292 | ГМ0 | 07 | 102 | 0.9302 | 0 |
| | Им.М.В.Попова | 70 | 123 | 0.861- | 15 |
| 20667 | VIIVI.IVI.D.I IOIIOBa | | | 0.0969 | |
| 20674 | Диксон | 102 | 111 | 0.9008 | 3 |
| | Малые Кармакулы | 118 | 123 | 0.885- | 7 |
| 20744 | | | | 00.952 | |
| 21432 | 0. Котельный | 79 | 91 | 0,09-0,95 | 7 |
| 21647 | 0. Шалаурова | 73 | 91 | 0,940-0,971 | 8 |
| 21802 | Саскылах | 81 | 87 | 0,904-0,976 | 9 |
| | Тикси | 85 | 102 | 0,8960- | 4 |
| 21824 | | | 102 | 0,9330 | ' |
| 21908 | Жилинда | 76 | 102 | 0,867-0,987 | 8 |

| | | | | 0,938- | |
|-------|------------------|-----|-----|-------------------|----|
| 21921 | Кюсюр | 99 | 102 | 0,9046 | 4 |
| 21946 | Чокурдах | 76 | 123 | 0,896- 00,969 | 4 |
| 21982 | 0. Врангеля | 91 | 92 | 00,913 | 3 |
| 22003 | Вайда-Губа | 86 | 148 | 0.8560- 0.9780 | 15 |
| 22028 | Териберка | 127 | 164 | 0.888- 0.9085 | 12 |
| 22095 | Колгуев Северный | 82 | 125 | 0.862-0.973 | 10 |
| 22101 | Виртаниеми | 64 | 164 | 0.8903- 0.9808 | 11 |
| 22113 | Мурманск | 100 | 164 | 0.916- 0.0992 | 10 |
| 22140 | Гремиха Бухта | 117 | 204 | 0.8710- 0.9650 | 17 |
| 22165 | Канин Нос | 102 | 156 | 0.855- 0.9057 | 14 |
| 22235 | Краснощелье | 86 | 204 | 0.887- 0.9750 | 13 |
| 22292 | Индига | 127 | 164 | 0.888- 0.9085 | 12 |
| 22355 | Сосновец остров | 82 | 125 | 0.862-0.973 | 10 |
| 22520 | Кемь-порт | 64 | 164 | 0.893-0.988 | 11 |
| 22550 | Архангельск | 100 | 164 | 0.916-0.992 | 10 |
| 22583 | Койнас | 117 | 204 | 0.871-0.965 | 17 |
| 23022 | Амдерма | 84 | 125 | 0.853-0.976 | 15 |
| 23032 | Марресаля | 77 | 125 | 0.8570- 0.953 | 15 |
| 23074 | Дудинка | 99 | 112 | 0.856- 0.9702 | 12 |
| 23205 | Нарьян-Мар | 93 | 129 | 0.869- 0.0972 | 12 |
| 23219 | Хоседа-Хард | 85 | 125 | 0.8690- 0.985 | 15 |
| 23220 | Елецкая | 63 | 126 | 0.911- 0.9090 | 11 |
| 23242 | Новый Порт | 67 | 113 | 0.906-0.986 | 20 |
| 23256 | Тазовск | 82 | 113 | 0.868-0.975 | 15 |
| 24125 | 0ленек АМСГ | 82 | 84 | 0,9305 | 3 |
| 24136 | Сухана | 79 | 102 | 0,888- 0,0969 | 11 |
| 24329 | Верхоянск, АМСГ | 75 | 87 | 0,8740-0,95 | 8 |
| 24343 | Шелагонцы | 83 | 91 | 0,893-0,896 | 5 |
| 25042 | Жиганск | 74 | 91 | 0,86-0,9720 | 8 |
| 25138 | 0. Айон | 83 | 86 | 0,883-0,948 | 5 |
| 25173 | 0стровное | 79 | 93 | 0,892-0,965 | 9 |

| 25206 М. Шмидта 122 123 0,898 3 25372 Усть-Олой 44 92 0,894-0,924 7 Кол Наименование факт. восст. к-т корреляции кол-во корреляции 20046 Кренкеля ГМО 55 95 0.893-0.973 10 20069 Визе 71 81 0.860-0.948 4 20087 Голомянный 75 84 0.905-0.947 11 20107 Баренцбург 72 86 0.861-0.875 15 20289 Русский 60 87 0.885-0.913 12 20667 ГМО 66 81 0.869-0.927 13 20674 Им.М.В.Попова 100 103 0.890-0.954 16 20744 Диксон 116 21 0.872-0.948 11 21432 Малые Кармакулы 81 84 0.8510 13 21802 О. Шалаурова 80 85 0,982-0.954 | | | 422 | 422 | 0.000 | _ |
|---|-------|------------------|-------|--------|-------------|-----|
| Тереворования Тереворован | | | | | | |
| Код Наименование факт. восст. к-т корреляции кол-во аналогов аналогов 20046 Кренкеля ГМО 55 95 0.893-0.973 10 20069 Визе 71 81 0.860-0.948 4 20087 Голомянный 75 84 0.905-0.947 11 20107 Баренцбург 72 86 0.861-0.875 15 20289 Русский 60 87 0.885-0.913 12 Им.Е.К.Федорова ГМО 66 81 0.869-0.927 13 20674 Им.М.В.Попова 100 103 0.890-0.954 16 20744 Диксон 116 121 0.872-0.948 11 21432 Малые Кармакулы 81 84 0.8510 13 21647 О. Котельный 75 91 0.8520 12 21802 О. Шалаурова 80 85 0,889- 18 21804 Саскылах 76 85 0,97-0,984 | | | | | | |
| Код Наименование факт. восст. к-т корреляции корреляции корреляции ванлогов аналогов 20046 Кренкеля ГМО 55 95 0.893-0.973 10 20069 Визе 71 81 0.860-0.948 4 20087 Голомянный 75 84 0.905-0.947 11 20107 Баренцбург 72 86 0.861-0.875 15 20289 Русский 60 87 0.885-0.913 12 им.Е.К.Федорова ГМО 66 81 0.869-0.927 13 20674 Им.М.В.Попова 100 103 0.890-0.954 16 20744 Диксон 116 121 0.872-0.948 11 21432 Малые Кармакулы 81 84 0.8510 13 21802 О. Шалаурова 80 85 0.982-0.944 18 21802 О. Шалаурова 80 85 0.970-0.984 17 21908 Тикси 98 131 0.866-0.966< | 25372 | усть-илои | | 92 | 0,894-0,924 | / |
| Код Наименование факт. восст. корреляции аналогов 20046 Кренкеля ГМО 55 95 0.893-0.973 10 20069 Визе 71 81 0.860-0.948 4 20087 Голомянный 75 84 0.905-0.947 11 20107 Баренцбург 72 86 0.861-0.875 15 20289 Русский 60 87 0.885-0.913 12 им.Е.К.Федорова гМО 66 81 0.869-0.927 13 20674 Им.В.Попова 100 103 0.890-0.954 16 20744 Диксон 116 121 0.872-0.948 11 21432 Малые Кармакулы 81 84 0.8510 13 21647 О. Котельный 75 91 0.8520 12 21802 О. Шалаурова 80 85 0.97-0.984 17 21908 Тикси 98 131 0.866-0.966 16 <td></td> <td></td> <td>Т</td> <td></td> <td></td> <td></td> | | | Т | | | |
| 20069 Визе 71 81 0.860-0.948 4 20087 Голомянный 75 84 0.905-0.947 11 20107 Баренцбург 72 86 0.861-0.875 15 20289 Русский 60 87 0.885-0.913 12 20674 Им.Е.К.Федорова ГМО 66 81 0.869-0.927 13 20674 Им.М.В.Попова 100 103 0.890-0.954 16 20744 Диксон 116 121 0.872-0.948 11 21432 Малые Кармакулы 81 84 0,8510 13 21647 О. Котельный 75 91 0,8520 12 21802 О. Шалаурова 80 85 0,97-0,984 17 21908 Тикси 98 131 0,866-0,966 16 21921 Жилинда 76 125 0,884-0,951 15 21946 Кюсюр 81 84 0,85011 13 | Код | Наименование | факт. | восст. | | |
| 20087 Голомянный 75 84 0.905-0.947 11 20107 Баренцбург 72 86 0.861-0.875 15 20289 Русский 60 87 0.885-0.913 12 Им.Е.К.Федорова ГМО 66 81 0.869-0.927 13 20674 Им.М.В.Попова 100 103 0.890-0.954 16 20744 Диксон 116 121 0.872-0.948 11 21432 Малые Кармакулы 81 84 0.8510 13 21647 О. Котельный 75 91 0.8520 12 21802 О. Шалаурова 80 85 0,97-0,984 17 21802 О. Шалаурова 80 85 0,97-0,984 17 21908 Тикси 98 131 0.866-0,966 16 21921 Жилинда 76 125 0.884-0,951 15 21946 Кюсюр 81 84 0.85011 13 <t< td=""><td>20046</td><td>Кренкеля ГМО</td><td>55</td><td>95</td><td>0.893-0.973</td><td>10</td></t<> | 20046 | Кренкеля ГМО | 55 | 95 | 0.893-0.973 | 10 |
| 20107 Баренцбург 72 86 0.861-0.875 15 20289 Русский 60 87 0.885-0.913 12 Им.Е.К.Федорова ГМО 66 81 0.869-0.927 13 20674 Им.М.В.Попова 100 103 0.890-0.954 16 20744 Диксон 116 121 0.872-0.948 11 21432 Малые Кармакулы 81 84 0.8510 13 21647 О. Котельный 75 91 0.8520 12 21802 О. Шалаурова 80 85 0,97-0.984 17 21802 О. Шалаурова 80 85 0,97-0.984 17 21908 Тикси 98 131 0.866-0.966 16 21921 Жилинда 76 125 0.884-0.951 15 21946 Кюсюр 81 84 0.85011 13 22003 Чокурдах 83 152 0.851-0.989 113 <t< td=""><td>20069</td><td>Визе</td><td>71</td><td>81</td><td>0.860-0.948</td><td>4</td></t<> | 20069 | Визе | 71 | 81 | 0.860-0.948 | 4 |
| 20289 Русский 60 87 0.885-0.913 12 20667 ГМО 66 81 0.869-0.927 13 20674 Им.М.В.Попова 100 103 0.890-0.954 16 20744 Диксон 116 121 0.872-0.948 11 21432 Малые Кармакулы 81 84 0,8510 13 21647 О. Котельный 75 91 0,8520 12 21802 О. Шалаурова 80 85 0,889-0,9044 18 21802 О. Шалаурова 80 85 0,970-0,984 17 21908 Тикси 98 131 0,866-0,966 16 21921 Жилинда 76 125 0,884-0,951 15 21946 Кюсюр 81 84 0,85011 13 22003 Чокурдах 83 152 0.851-0.989 113 22028 О. Врангеля 127 154 0.860-0.990 11 | 20087 | Голомянный | 75 | 84 | 0.905-0.947 | 11 |
| 20667 ГМО 66 81 0.869-0.927 13 20674 Им.М.В.Попова 100 103 0.890-0.954 16 20744 Диксон 116 121 0.872-0.948 11 21432 Малые Кармакулы 81 84 0,8510 13 21647 О. Котельный 75 91 0,8520 12 21802 О. Шалаурова 80 85 0,889-0,9044 18 21824 Саскылах 76 85 0,97-0,984 17 21908 Тикси 98 131 0,866-0,966 16 21921 Жилинда 76 125 0,884-0,951 15 21946 Кюсюр 81 84 0,85011 13 22003 Чокурдах 83 152 0.851-0.989 113 22028 О. Врангеля 127 154 0.860-0.990 11 22095 Вайда-Губа 81 136 0.872-0.978 15 | 20107 | Баренцбург | 72 | 86 | 0.861-0.875 | 15 |
| 20667ГМО66810.869-0.9271320674Им.М.В.Попова1001030.890-0.9541620744Диксон1161210.872-0.9481121432Малые Кармакулы81840.85101321647О. Котельный75910.85201221802О. Шалаурова80850.9889- 0.90441821804Саскылах76850.97-0.9841721908Тикси981310.866-0.9661621921Жилинда761250.884-0.9511521946Кюсюр81840.850111322003Чокурдах831520.851-0.98911322028О. Врангеля1271540.860-0.9901122095Вайда-Губа811360.872-0.9781522101Териберка621640.873-0.9961422113Колгуев Северный1001640.99101922140Виртаниеми1131580.869-0.9591022155Мурманск1021360.870-0.9871122235Гремиха Бухта862050.934-0.9801222292Канин Нос921360.859-0.9811522355Краснощелье1231300.867-0.9541222520Индига1522020.851-0.932622550Сосновец остров <td< td=""><td>20289</td><td>Русский</td><td>60</td><td>87</td><td>0.885-0.913</td><td>12</td></td<> | 20289 | Русский | 60 | 87 | 0.885-0.913 | 12 |
| 20674Им.М.В.Попова1001030.890-0.9541620744Диксон1161210.872-0.9481121432Малые Кармакулы81840.85101321647О. Котельный75910.85201221802О. Шалаурова80850,989- 0,90441821824Саскылах76850,97-0,9841721908Тикси981310,866-0,9661621921Жилинда761250,884-0,9511521946Кюсюр81840,850111322003Чокурдах831520.851-0.98911322028О. Врангеля1271540.860-0.9901122095Вайда-Губа811360.872-0.9781522101Териберка621640.873-0.9961422113Колгуев Северный1001640.99101922140Виртаниеми1131580.869-0.9591022165Мурманск1021360.870-0.9871122235Гремиха Бухта862050.934-0.9801222292Канин Нос921360.859-0.9811522355Краснощелье1231300.867-0.9541222520Индига1522020.851-0.932622550Сосновец остров2042050.90811322583Кемь-порт< | | Им.Е.К.Федорова | | | | |
| 20744 Диксон 116 121 0.872-0.948 11 21432 Малые Кармакулы 81 84 0,8510 13 21647 О. Котельный 75 91 0,8520 12 21802 О. Шалаурова 80 85 0,889-0,9044 18 21824 Саскылах 76 85 0,97-0,984 17 21908 Тикси 98 131 0,866-0,966 16 21921 Жилинда 76 125 0,884-0,951 15 21946 Кюсюр 81 84 0,85011 13 22003 Чокурдах 83 152 0.851-0.989 113 22028 О. Врангеля 127 154 0.860-0.990 11 22095 Вайда-Губа 81 136 0.872-0.978 15 22101 Териберка 62 164 0.873-0.996 14 22113 Колгуев Северный 100 164 0.9910 19 | 20667 | ГМ0 | 66 | 81 | 0.869-0.927 | 13 |
| 21432 Малые Кармакулы 81 84 0,8510 13 21647 О. Котельный 75 91 0,8520 12 21802 О. Шалаурова 80 85 0,9044 18 21824 Саскылах 76 85 0,97-0,984 17 21908 Тикси 98 131 0,866-0,966 16 21921 Жилинда 76 125 0,884-0,951 15 21946 Кюсюр 81 84 0,85011 13 22003 Чокурдах 83 152 0.851-0.989 113 22028 О. Врангеля 127 154 0.860-0.990 11 22095 Вайда-Губа 81 136 0.872-0.978 15 22101 Териберка 62 164 0.873-0.996 14 22113 Колгуев Северный 100 164 0.9910 19 22140 Виртаниеми 113 158 0.869-0.959 10 | 20674 | Им.М.В.Попова | 100 | 103 | 0.890-0.954 | 16 |
| 21647 О. Котельный 75 91 О,8520 12 21802 О. Шалаурова 80 85 0,9044 18 21824 Саскылах 76 85 0,97-0,984 17 21908 Тикси 98 131 0,866-0,966 16 21921 Жилинда 76 125 0,884-0,951 15 21946 Кюсюр 81 84 0,850-11 13 22003 Чокурдах 83 152 0.851-0.989 113 22028 О. Врангеля 127 154 0.860-0.990 11 22095 Вайда-Губа 81 136 0.872-0.978 15 22101 Териберка 62 164 0.873-0.996 14 22113 Колгуев Северный 100 164 0.9910 19 22140 Виртаниеми 113 158 0.869-0.959 10 22235 Гремиха Бухта 86 205 0.934-0.980 12 </td <td>20744</td> <td>Диксон</td> <td>116</td> <td>121</td> <td>0.872-0.948</td> <td>11</td> | 20744 | Диксон | 116 | 121 | 0.872-0.948 | 11 |
| 21802 О. Шалаурова 80 85 0,889-0,9044 18 21824 Саскылах 76 85 0,97-0,984 17 21908 Тикси 98 131 0,866-0,966 16 21921 Жилинда 76 125 0,884-0,951 15 21946 Кюсюр 81 84 0,85011 13 22003 Чокурдах 83 152 0.851-0.989 113 22028 О. Врангеля 127 154 0.860-0.990 11 22095 Вайда-Губа 81 136 0.872-0.978 15 22101 Териберка 62 164 0.873-0.996 14 22113 Колгуев Северный 100 164 0.9910 19 22140 Виртаниеми 113 158 0.869-0.959 10 22165 Мурманск 102 136 0.870-0.987 11 22235 Гремиха Бухта 86 205 0.934-0.980 | 21432 | Малые Кармакулы | 81 | 84 | 0,8510 | 13 |
| 21802 О. Шалаурова 80 85 0,9044 18 21824 Саскылах 76 85 0,97-0,984 17 21908 Тикси 98 131 0,866-0,966 16 21921 Жилинда 76 125 0,884-0,951 15 21946 Кюсюр 81 84 0,85011 13 22003 Чокурдах 83 152 0.851-0.989 113 22028 О. Врангеля 127 154 0.860-0.990 11 22095 Вайда-Губа 81 136 0.872-0.978 15 22101 Териберка 62 164 0.873-0.996 14 22113 Колгуев Северный 100 164 0.9910 19 22140 Виртаниеми 113 158 0.869-0.959 10 22165 Мурманск 102 136 0.870-0.987 11 22235 Гремиха Бухта 86 205 0.934-0.980 12 | 21647 | 0. Котельный | 75 | 91 | 0,8520 | 12 |
| 21908 Тикси 98 131 0,866-0,966 16 21921 Жилинда 76 125 0,884-0,951 15 21946 Кюсюр 81 84 0,85011 13 22003 Чокурдах 83 152 0.851-0.989 113 22028 О. Врангеля 127 154 0.860-0.990 11 22095 Вайда-Губа 81 136 0.872-0.978 15 22101 Териберка 62 164 0.873-0.996 14 22113 Колгуев Северный 100 164 0.9910 19 22140 Виртаниеми 113 158 0.869-0.959 10 22165 Мурманск 102 136 0.870-0.987 11 22235 Гремиха Бухта 86 205 0.934-0.980 12 22355 Краснощелье 123 130 0.867-0.954 12 22520 Индига 152 202 0.851-0.932 | 21802 | 0. Шалаурова | 80 | 85 | · · | 18 |
| 21921Жилинда761250,884-0,9511521946Кюсюр81840,850111322003Чокурдах831520.851-0.98911322028О. Врангеля1271540.860-0.9901122095Вайда-Губа811360.872-0.9781522101Териберка621640.873-0.9961422113Колгуев Северный1001640.99101922140Виртаниеми1131580.869-0.9591022165Мурманск1021360.870-0.9871122235Гремиха Бухта862050.934-0.9801222292Канин Нос921360.859-0.9811522355Краснощелье1231300.867-0.9541222520Индига1522020.851-0.932622550Сосновец остров2042050.90811322583Кемь-порт1032050.923-0.9631123022Архангельск841030.854-0.937723032Койнас74880.887-0.9511423074Амдерма981040.925-0.9735 | 21824 | Саскылах | 76 | 85 | 0,97-0,984 | 17 |
| 21946Кюсюр81840,850111322003Чокурдах831520.851-0.98911322028О. Врангеля1271540.860-0.9901122095Вайда-Губа811360.872-0.9781522101Териберка621640.873-0.9961422113Колгуев Северный1001640.99101922140Виртаниеми1131580.869-0.9591022165Мурманск1021360.870-0.9871122235Гремиха Бухта862050.934-0.9801222292Канин Нос921360.859-0.9811522355Краснощелье1231300.867-0.9541222520Индига1522020.851-0.932622550Сосновец остров2042050.90811322583Кемь-порт1032050.923-0.9631123022Архангельск841030.854-0.937723032Койнас74880.887-0.9511423074Амдерма981040.925-0.9735 | 21908 | Тикси | 98 | 131 | 0,866-0,966 | 16 |
| 22003Чокурдах831520.851-0.98911322028О. Врангеля1271540.860-0.9901122095Вайда-Губа811360.872-0.9781522101Териберка621640.873-0.9961422113Колгуев Северный1001640.99101922140Виртаниеми1131580.869-0.9591022165Мурманск1021360.870-0.9871122235Гремиха Бухта862050.934-0.9801222292Канин Нос921360.859-0.9811522355Краснощелье1231300.867-0.9541222520Индига1522020.851-0.932622550Сосновец остров2042050.90811322583Кемь-порт1032050.923-0.9631123022Архангельск841030.854-0.937723032Койнас74880.887-0.9511423074Амдерма981040.925-0.9735 | 21921 | Жилинда | 76 | 125 | 0,884-0,951 | 15 |
| 22028О. Врангеля127154О.860-0.9901122095Вайда-Губа81136О.872-0.9781522101Териберка62164О.873-0.9961422113Колгуев Северный100164О.99101922140Виртаниеми113158О.869-0.9591022165Мурманск102136О.870-0.9871122235Гремиха Бухта86205О.934-0.9801222292Канин Нос92136О.859-0.9811522355Краснощелье123130О.867-0.9541222520Индига152202О.851-0.932622550Сосновец остров204205О.90811322583Кемь-порт103205О.923-0.9631123022Архангельск84103О.854-0.937723032Койнас7488О.887-0.9511423074Амдерма98104О.925-0.9735 | 21946 | Кюсюр | 81 | 84 | 0,85011 | 13 |
| 22095Вайда-Губа811360.872-0.9781522101Териберка621640.873-0.9961422113Колгуев Северный1001640.99101922140Виртаниеми1131580.869-0.9591022165Мурманск1021360.870-0.9871122235Гремиха Бухта862050.934-0.9801222292Канин Нос921360.859-0.9811522355Краснощелье1231300.867-0.9541222520Индига1522020.851-0.932622550Сосновец остров2042050.90811322583Кемь-порт1032050.923-0.9631123022Архангельск841030.854-0.937723032Койнас74880.887-0.9511423074Амдерма981040.925-0.9735 | 22003 | Чокурдах | 83 | 152 | 0.851-0.989 | 113 |
| 22101Териберка621640.873-0.9961422113Колгуев Северный1001640.99101922140Виртаниеми1131580.869-0.9591022165Мурманск1021360.870-0.9871122235Гремиха Бухта862050.934-0.9801222292Канин Нос921360.859-0.9811522355Краснощелье1231300.867-0.9541222520Индига1522020.851-0.932622550Сосновец остров2042050.90811322583Кемь-порт1032050.923-0.9631123022Архангельск841030.854-0.937723032Койнас74880.887-0.9511423074Амдерма981040.925-0.9735 | 22028 | 0. Врангеля | 127 | 154 | 0.860-0.990 | 11 |
| 22113Колгуев Северный1001640.857- 0.99101922140Виртаниеми1131580.869-0.9591022165Мурманск1021360.870-0.9871122235Гремиха Бухта862050.934-0.9801222292Канин Нос921360.859-0.9811522355Краснощелье1231300.867-0.9541222520Индига1522020.851-0.932622550Сосновец остров2042050.90811322583Кемь-порт1032050.923-0.9631123022Архангельск841030.854-0.937723032Койнас74880.887-0.9511423074Амдерма981040.925-0.9735 | 22095 | Вайда-Губа | 81 | 136 | 0.872-0.978 | 15 |
| 22113Колгуев Северный1001640.99101922140Виртаниеми1131580.869-0.9591022165Мурманск1021360.870-0.9871122235Гремиха Бухта862050.934-0.9801222292Канин Нос921360.859-0.9811522355Краснощелье1231300.867-0.9541222520Индига1522020.851-0.932622550Сосновец остров2042050.90811322583Кемь-порт1032050.923-0.9631123022Архангельск841030.854-0.937723032Койнас74880.887-0.9511423074Амдерма981040.925-0.9735 | 22101 | Териберка | 62 | 164 | 0.873-0.996 | 14 |
| 22165Мурманск1021360.870-0.9871122235Гремиха Бухта862050.934-0.9801222292Канин Нос921360.859-0.9811522355Краснощелье1231300.867-0.9541222520Индига1522020.851-0.932622550Сосновец остров2042050.90811322583Кемь-порт1032050.923-0.9631123022Архангельск841030.854-0.937723032Койнас74880.887-0.9511423074Амдерма981040.925-0.9735 | 22113 | Колгуев Северный | 100 | 164 | | 19 |
| 22235Гремиха Бухта862050.934-0.9801222292Канин Нос921360.859-0.9811522355Краснощелье1231300.867-0.9541222520Индига1522020.851-0.932622550Сосновец остров2042050.90811322583Кемь-порт1032050.923-0.9631123022Архангельск841030.854-0.937723032Койнас74880.887-0.9511423074Амдерма981040.925-0.9735 | 22140 | Виртаниеми | 113 | 158 | 0.869-0.959 | 10 |
| 22292Канин Нос921360.859-0.9811522355Краснощелье1231300.867-0.9541222520Индига1522020.851-0.932622550Сосновец остров2042050.90811322583Кемь-порт1032050.923-0.9631123022Архангельск841030.854-0.937723032Койнас74880.887-0.9511423074Амдерма981040.925-0.9735 | 22165 | Мурманск | 102 | 136 | 0.870-0.987 | 11 |
| 22355Краснощелье1231300.867-0.9541222520Индига1522020.851-0.932622550Сосновец остров2042050.90811322583Кемь-порт1032050.923-0.9631123022Архангельск841030.854-0.937723032Койнас74880.887-0.9511423074Амдерма981040.925-0.9735 | 22235 | Гремиха Бухта | 86 | 205 | 0.934-0.980 | 12 |
| 22520 Индига 152 202 0.851-0.932 6 22550 Сосновец остров 204 205 0.9081 13 22583 Кемь-порт 103 205 0.923-0.963 11 23022 Архангельск 84 103 0.854-0.937 7 23032 Койнас 74 88 0.887-0.951 14 23074 Амдерма 98 104 0.925-0.973 5 | 22292 | Канин Нос | 92 | 136 | 0.859-0.981 | 15 |
| 22550 Сосновец остров 204 205 0.9081 13 22583 Кемь-порт 103 205 0.923-0.963 11 23022 Архангельск 84 103 0.854-0.937 7 23032 Койнас 74 88 0.887-0.951 14 23074 Амдерма 98 104 0.925-0.973 5 | 22355 | Краснощелье | 123 | 130 | 0.867-0.954 | 12 |
| 22583 Кемь-порт 103 205 0.923-0.963 11 23022 Архангельск 84 103 0.854-0.937 7 23032 Койнас 74 88 0.887-0.951 14 23074 Амдерма 98 104 0.925-0.973 5 | 22520 | Индига | 152 | 202 | 0.851-0.932 | 6 |
| 23022 Архангельск 84 103 0.854-0.937 7 23032 Койнас 74 88 0.887-0.951 14 23074 Амдерма 98 104 0.925-0.973 5 | 22550 | Сосновец остров | 204 | 205 | 0.9081 | 13 |
| 23032 Койнас 74 88 0.887-0.951 14 23074 Амдерма 98 104 0.925-0.973 5 | 22583 | Кемь-порт | 103 | 205 | 0.923-0.963 | 11 |
| 23074 Амдерма 98 104 0.925-0.973 5 | 23022 | Архангельск | 84 | 103 | 0.854-0.937 | 7 |
| | 23032 | Койнас | 74 | 88 | 0.887-0.951 | 14 |
| 23205 Марресаля 93 123 0.917-0.968 9 | 23074 | Амдерма | 98 | 104 | 0.925-0.973 | 5 |
| | 23205 | Марресаля | 93 | 123 | 0.917-0.968 | 9 |

| 20046 Кренкеля ГМО 39 4 0.856-0.867 16 20069 Визе 44 10 0.891-0.931 91 20087 Голомянный 41 12 0.941 11 20107 Баренцбург 56 2 0.883-0.931 16 20289 Русский 32 26 0.898-0.949 13 20292 ГМО 48 1 0.9050 13 20667 Им.М.В.Попова 37 25 0.863-0.959 12 20674 Диксон 55 2 0.856-0.891 6 20744 Малые Кармакулы 48 10 0.938 3 21432 О. Котельный 60 10 0.916 3 21647 О. Шалаурова 42 20 0.873-0.916 8 21802 Саскылах 52 60 0.871-0.955 10 21824 Тикси 31 28 0.868-0.964 8 | | | | | | |
|--|-------|---------------------------------------|--------|--------|-------------|--------------------|
| 23242 Хоседа-Хард 67 86 0.855-0.944 14 | 23219 | Дудинка | 82 | 122 | 0.860-0.995 | 12 |
| 23256 Елецкая 80 104 0.888-0.947 9 | 23220 | Нарьян-Мар | 64 | 123 | 0.878-0.988 | 15 |
| 24125 Новый Порт 80 85 0,96-0,979 5 24136 Тазовск 80 99 0,865-0,98 7 24266 Оленек АМСГ 79 81 0,925-0,975 11 24329 Сухана 129 131 0,94-0,943 5 24343 Верхоянск, АМСГ 77 85 0,887-0,915 7 25042 Шелагонцы 76 84 0,892-0,908 8 25138 Жиганск 83 124 0,868-0,938 8 25206 О. Айон 124 125 0,903 3 25325 Островное 70 84 0,883-0,901 6 25372 М. Шмидта 44 82 0,861-0,921 9 Код Наименование факт. восст. к-т корреляции аналогов 20046 Кренкеля ГМО 39 4 0.856-0.867 16 20069 Визе 44 10 0.891-0.931 | 23242 | Хоседа-Хард | 67 | 86 | 0.855-0.944 | 14 |
| 24136 Тазовск 80 99 0,865-0,98 7 | 23256 | Елецкая | 80 | 104 | 0.888-0.947 | 9 |
| 24266 Оленек АМСГ 79 81 0,925-0,975 11 24329 Сухана 129 131 0,94-0,943 5 24343 Верхоянск, АМСГ 77 85 0,887-0,915 7 25042 Шелагонцы 76 84 0,892-0,908 8 25138 Жиганск 83 124 0,868-0,938 8 25206 0. Айон 124 125 0,903 3 25325 Островное 70 84 0,883-0,901 6 25372 М. Шмидта 44 82 0,861-0,921 9 Код Наименование факт. восст. к-т корреляции аналогов 20046 Кренкеля ГМО 39 4 0.856-0.867 16 20069 Визе 44 10 0.891-0.931 91 20074 Голомянный 41 12 0.941 11 20107 Баренцбург 56 2 0.883- | 24125 | Новый Порт | 80 | 85 | 0,96-0,979 | 5 |
| 24329 Сухана 129 131 0,94-0,943 5 24343 Верхоянск, АМСГ 77 85 0,887-0,915 7 25042 Шелагонцы 76 84 0,892-0,908 8 25138 Жиганск 83 124 0,868-0,938 8 25206 О. Айон 124 125 0,903 3 25325 Островное 70 84 0,883-0,901 6 25372 М. Шмидта 44 82 0,861-0,921 9 апрель Код Наименование факт. восст. к-т кол-во аналогов 20046 Кренкеля ГМО 39 4 0.856-0.867 16 2 206867 16 2 0.891-0.931 91 11 20107 Баренцбург 56 2 0.883-0.931 16 2 0.883-0.931 16 2 0.898-0.949 13 3 2 26 0.898-0.949 13 < | 24136 | Тазовск | 80 | 99 | 0,865-0,98 | 7 |
| 24343 Верхоянск, АМСГ 77 85 0,887-0,915 7 25042 Шелагонцы 76 84 0,892-0,908 8 25138 Жиганск 83 124 0,868-0,938 8 25206 0. Айон 124 125 0,903 3 25325 0стровное 70 84 0,883-0,901 6 6 6 6 6 6 6 6 6 | 24266 | 0ленек АМСГ | 79 | 81 | 0,925-0,975 | 11 |
| 25042 Шелагонцы 76 84 0,892-0,908 8 | 24329 | Сухана | 129 | 131 | 0,94-0,943 | 5 |
| 25138 Жиганск 83 124 0,868-0,938 8 25206 О. Айон 124 125 0,903 3 25325 Островное 70 84 0,883-0,901 6 25372 М. Шмидта 44 82 0,861-0,921 9 апрель Код Наименование факт. восст. к-т корреляции аналогов аналог | 24343 | Верхоянск, АМСГ | 77 | 85 | 0,887-0,915 | 7 |
| 25206 О. Айон 124 125 0,903 3 25325 Островное 70 84 0,883-0,901 6 25372 М. Шмидта 44 82 0,861-0,921 9 жол варты выст. Код Наименование факт. восст. корреляции варты вар | 25042 | Шелагонцы | 76 | 84 | 0,892-0,908 | 8 |
| 25325 Островное 70 84 0,883-0,901 6 25372 М. Шмидта 44 82 0,861-0,921 9 варень код к-т корреляции аналогов | 25138 | Жиганск | 83 | 124 | 0,868-0,938 | 8 |
| 25372 М. Шмидта 44 82 0,861-0,921 9 9 1 1 1 1 1 1 1 | 25206 | 0. Айон | 124 | 125 | 0,903 | 3 |
| Код Наименование факт. восст. корреляции аналогов аналогов 20046 Кренкеля ГМО 39 4 0.856-0.867 16 20069 Визе 44 10 0.891-0.931 91 91 12 20087 Голомянный 41 12 0.941 11 11 20107 Баренцбург 56 2 0.883-0.931 16 16 20289 Русский 32 26 0.898-0.949 13 13 14 20292 ГМО 48 1 0.9050 13 16 20292 ГМО 48 1 0.9050 13 20667 Им.М.В.Попова 37 25 0.863-0.959 12 20674 Диксон 55 2 0.856-0.891 6 20744 Малые Кармакулы 48 10 0.938 3 21432 0. Котельный 60 10 0.916 3 21647 0. Шалаурова 42 20 0.873-0.916 8 21802 Саскылах 52 60 0.871-0.955 10 21824 Тикси 31 28 0.868-0.964 8 21908 Жилинда 54 5 0.932 3 21921 Кюсюр 40 17 0.873-0.884 9 21946 Чокурдах 51 4 0.909 3 21982 0. Врангеля 56 1 0.918 3 22003 Вайда-Губа 56 2 0.909-0.943 4 22028 Териберка 35 34 0.886-0.987 11 22095 Колгуев Северный 43 30 0.869-0.974 15 30 30 30 30 30 30 30 3 | 25325 | Островное | 70 | 84 | 0,883-0,901 | 6 |
| Код Наименование факт. восст. к-т корреляции корреляции аналогов | 25372 | М. Шмидта | 44 | 82 | 0,861-0,921 | 9 |
| Код Наименование факт. восст. корреляции аналогов 20046 Кренкеля ГМО 39 4 0.856-0.867 16 20069 Визе 44 10 0.891-0.931 91 20087 Голомянный 41 12 0.941 11 20107 Баренцбург 56 2 0.883-0.931 16 20289 Русский 32 26 0.898-0.949 13 20292 ГМО 48 1 0.9050 13 20667 Им.М.В.Попова 37 25 0.863-0.959 12 20674 Диксон 55 2 0.856-0.891 6 20744 Малые Кармакулы 48 10 0.938 3 21432 О. Котельный 60 10 0.916 3 21802 Саскылах 52 60 0.871-0.955 10 21824 Тикси 31 28 0.868-0.964 8 | 1 | | апрель |) | | |
| 20040Визе44100.891-0.9319120087Голомянный41120.9411120107Баренцбург5620.883-0.9311620289Русский32260.898-0.9491320292ГМО4810.90501320667Им.М.В.Попова37250.863-0.9591220674Диксон5520.856-0.891620744Малые Кармакулы48100.938321432О. Котельный60100.916321647О. Шалаурова42200.873-0.916821802Саскылах52600.871-0.9551021824Тикси31280.868-0.964821908Жилинда5450.932321921Кюсюр40170.873-0.884921946Чокурдах5140.909321982О. Врангеля5610.918322003Вайда-Губа5620.909-0.943422028Териберка35340.886-0.9871122095Колгуев Северный43300.869-0.97415 | Код | Наименование | факт. | восст. | | кол-во аналогов |
| 20087Голомянный41120.9411120107Баренцбург5620.883-0.9311620289Русский32260.898-0.94913Им.Е.К.Федорова ГМО4810.90501320667Им.М.В.Попова37250.863-0.9591220674Диксон5520.856-0.891620744Малые Кармакулы48100.938321432О. Котельный60100.916321647О. Шалаурова42200.873-0.916821802Саскылах52600.871-0.9551021824Тикси31280.868-0.964821908Жилинда5450.932321921Кюсюр40170.873-0.884921946Чокурдах5140.909321982О. Врангеля5610.918322003Вайда-Губа5620.909-0.943422028Териберка35340.886-0.9871122095Колгуев Северный43300.869-0.97415 | 20046 | Кренкеля ГМО | 39 | 4 | 0.856-0.867 | 16 |
| 20107Баренцбург5620.883-0.9311620289Русский32260.898-0.94913Им.Е.К.Федорова ГМО4810.90501320667Им.М.В.Попова37250.863-0.9591220674Диксон5520.856-0.891620744Малые Кармакулы48100.938321432О. Котельный60100.916321647О. Шалаурова42200.873-0.916821802Саскылах52600.871-0.9551021824Тикси31280.868-0.964821908Жилинда5450.932321921Кюсюр40170.873-0.884921946Чокурдах5140.909321982О. Врангеля5610.918322003Вайда-Губа5620.909-0.943422028Териберка35340.886-0.9871122095Колгуев Северный43300.869-0.97415 | 20069 | Визе | 44 | 10 | 0.891-0.931 | 91 |
| 20289Русский32260.898-0.9491320292Им.Е.К.Федорова ГМО4810.90501320667Им.М.В.Попова37250.863-0.9591220674Диксон5520.856-0.891620744Малые Кармакулы48100.9383214320. Котельный60100.9163216470. Шалаурова42200.873-0.916821802Саскылах52600.871-0.9551021824Тикси31280.868-0.964821908Жилинда5450.932321921Кюсюр40170.873-0.884921946Чокурдах5140.9093219820. Врангеля5610.918322003Вайда-Губа5620.909-0.943422028Териберка35340.886-0.9871122095Колгуев Северный43300.869-0.97415 | 20087 | Голомянный | 41 | 12 | 0.941 | 11 |
| 20292Им.Е.К.Федорова ГМО4810.90501320667Им.М.В.Попова37250.863-0.9591220674Диксон5520.856-0.891620744Малые Кармакулы48100.9383214320. Котельный60100.9163216470. Шалаурова42200.873-0.916821802Саскылах52600.871-0.9551021824Тикси31280.868-0.964821908Жилинда5450.932321921Кюсюр40170.873-0.884921946Чокурдах5140.9093219820. Врангеля5610.918322003Вайда-Губа5620.909-0.943422028Териберка35340.886-0.9871122095Колгуев Северный43300.869-0.97415 | 20107 | Баренцбург | 56 | 2 | 0.883-0.931 | 16 |
| 20292ГМО4810.90301320667Им.М.В.Попова37250.863-0.9591220674Диксон5520.856-0.891620744Малые Кармакулы48100.938321432О. Котельный60100.916321647О. Шалаурова42200.873-0.916821802Саскылах52600.871-0.9551021824Тикси31280.868-0.964821908Жилинда5450.932321921Кюсюр40170.873-0.884921946Чокурдах5140.909321982О. Врангеля5610.918322003Вайда-Губа5620.909-0.943422028Териберка35340.886-0.9871122095Колгуев Северный43300.869-0.97415 | 20289 | Русский | 32 | 26 | 0.898-0.949 | 13 |
| 20674 Диксон 55 2 0.856-0.891 6 20744 Малые Кармакулы 48 10 0.938 3 21432 0. Котельный 60 10 0.916 3 21647 0. Шалаурова 42 20 0.873-0.916 8 21802 Саскылах 52 60 0.871-0.955 10 21824 Тикси 31 28 0.868-0.964 8 21908 Жилинда 54 5 0.932 3 21921 Кюсюр 40 17 0.873-0.884 9 21946 Чокурдах 51 4 0.909 3 21982 0. Врангеля 56 1 0.918 3 22003 Вайда-Губа 56 2 0.909-0.943 4 22028 Териберка 35 34 0.886-0.987 11 22095 Колгуев Северный 43 30 0.869-0.974 15 | 20292 | • • • | 48 | 1 | 0.9050 | 13 |
| 20674Диксон5520.856-0.891620744Малые Кармакулы48100.938321432О. Котельный60100.916321647О. Шалаурова42200.873-0.916821802Саскылах52600.871-0.9551021824Тикси31280.868-0.964821908Жилинда5450.932321921Кюсюр40170.873-0.884921946Чокурдах5140.909321982О. Врангеля5610.918322003Вайда-Губа5620.909-0.943422028Териберка35340.886-0.9871122095Колгуев Северный43300.869-0.97415 | 20667 | Им.М.В.Попова | 37 | 25 | 0.863-0.959 | 12 |
| 20744Малые Кармакулы48100.9383214320. Котельный60100.9163216470. Шалаурова42200.873-0.916821802Саскылах52600.871-0.9551021824Тикси31280.868-0.964821908Жилинда5450.932321921Кюсюр40170.873-0.884921946Чокурдах5140.9093219820. Врангеля5610.918322003Вайда-Губа5620.909-0.943422028Териберка35340.886-0.9871122095Колгуев Северный43300.869-0.97415 | | Диксон | 55 | 2 | 0.856-0.891 | 6 |
| 21432О. Котельный60100.916321647О. Шалаурова42200.873-0.916821802Саскылах52600.871-0.9551021824Тикси31280.868-0.964821908Жилинда5450.932321921Кюсюр40170.873-0.884921946Чокурдах5140.909321982О. Врангеля5610.918322003Вайда-Губа5620.909-0.943422028Териберка35340.886-0.9871122095Колгуев Северный43300.869-0.97415 | | • • | 48 | 10 | 0.938 | 3 |
| 21647О. Шалаурова42200.873-0.916821802Саскылах52600.871-0.9551021824Тикси31280.868-0.964821908Жилинда5450.932321921Кюсюр40170.873-0.884921946Чокурдах5140.909321982О. Врангеля5610.918322003Вайда-Губа5620.909-0.943422028Териберка35340.886-0.9871122095Колгуев Северный43300.869-0.97415 | | · · · · · · · · · · · · · · · · · · · | 60 | 10 | 0.916 | 3 |
| 21824 Тикси 31 28 0.868-0.964 8 21908 Жилинда 54 5 0.932 3 21921 Кюсюр 40 17 0.873-0.884 9 21946 Чокурдах 51 4 0.909 3 21982 0. Врангеля 56 1 0.918 3 22003 Вайда-Губа 56 2 0.909-0.943 4 22028 Териберка 35 34 0.886-0.987 11 22095 Колгуев Северный 43 30 0.869-0.974 15 | | 0. Шалаурова | 42 | 20 | 0.873-0.916 | 8 |
| 21908 Жилинда 54 5 0.932 3 21921 Кюсюр 40 17 0.873-0.884 9 21946 Чокурдах 51 4 0.909 3 21982 0. Врангеля 56 1 0.918 3 22003 Вайда-Губа 56 2 0.909-0.943 4 22028 Териберка 35 34 0.886-0.987 11 22095 Колгуев Северный 43 30 0.869-0.974 15 | | Саскылах | 52 | 60 | 0.871-0.955 | 10 |
| 21921 Кюсюр 40 17 0.873-0.884 9 21946 Чокурдах 51 4 0.909 3 21982 0. Врангеля 56 1 0.918 3 22003 Вайда-Губа 56 2 0.909-0.943 4 22028 Териберка 35 34 0.886-0.987 11 22095 Колгуев Северный 43 30 0.869-0.974 15 | | Тикси | 31 | 28 | 0.868-0.964 | 8 |
| 21921Кюсюр40170.873-0.884921946Чокурдах5140.9093219820. Врангеля5610.918322003Вайда-Губа5620.909-0.943422028Териберка35340.886-0.9871122095Колгуев Северный43300.869-0.97415 | | Жилинда | 54 | 5 | 0.932 | 3 |
| 21940 10курдих 21982 0. Врангеля 56 1 0.918 3 22003 Вайда-Губа 56 2 0.909-0.943 4 22028 Териберка 35 34 0.886-0.987 11 22095 Колгуев Северный 43 30 0.869-0.974 15 | 21921 | Кюсюр | 40 | 17 | 0.873-0.884 | 9 |
| 22003 Вайда-Губа 56 2 0.909-0.943 4 22028 Териберка 35 34 0.886-0.987 11 22095 Колгуев Северный 43 30 0.869-0.974 15 | 21946 | Чокурдах | 51 | 4 | 0.909 | 3 |
| 22003 Вайда-Губа 56 2 0.909-0.943 4 22028 Териберка 35 34 0.886-0.987 11 22095 Колгуев Северный 43 30 0.869-0.974 15 | 21982 | 0. Врангеля | 56 | 1 | 0.918 | 3 |
| 22028 Териберка 35 34 0.886-0.987 11 22095 Колгуев Северный 43 30 0.869-0.974 15 | | Вайда-Губа | 56 | 2 | 0.909-0.943 | 4 |
| 22095 Колгуев Северный 43 30 0.869-0.974 15 | | | 35 | 34 | 0.886-0.987 | 11 |
| 52 5 0.077.0.000 | | • | 43 | 30 | 0.869-0.974 | 15 |
| 22101 виртаниеми 33 3 0.077-0.336 3 | 22101 | Виртаниеми | 53 | 5 | 0.877-0.938 | 9 |
| 22113 Мурманск 58 1 0.872 3 | | · | 58 | 1 | 0.872 | 3 |

| 22140 | Гремиха Бухта | 26 | 43 | 0.883-0.974 | 13 |
|-------|------------------------|---------|--------|-------------|----------|
| 22165 | Канин Нос | 49 | 20 | 0.864-0.936 | 15 |
| 22235 | Краснощелье | 57 | 11 | 0.874-0.918 | 9 |
| 22292 | Индига | 60 | 13 | 0.904-0.977 | 16 |
| 22355 | Сосновец остров | 59 | 12 | 0.871-0.948 | 18 |
| 22520 | Кемь-порт | 77 | 5 | 0.864-0.910 | 4 |
| 22550 | Архангельск | 67 | 13 | 0.877-0.911 | 8 |
| 23022 | Койнас | 48 | 11 | 0.886-0.944 | 15 |
| 23032 | Амдерма | 45 | 9 | 0.888-0.945 | 13 |
| 23074 | Марресаля | 46 | 14 | 0.853-0.942 | 11 |
| 23219 | Дудинка | 64 | 5 | 0.888-0.931 | 8 |
| 23220 | Нарьян-Мар | 57 | 13 | 0.872-0.923 | 17 |
| 23242 | Хоседа-Хард | 56 | 2 | 0.878-0.921 | 61 |
| 24125 | Елецкая | 57 | 18 | 0.881-0.912 | 15 |
| 24329 | Новый Порт | 62 | 4 | 0.850-0.917 | 17 |
| 24343 | Тазовск | 68 | 4 | 0.886-0.936 | 19 |
| 25173 | Оленек АМСГ | 33 | 26 | 0.974 | 14 |
| 25206 | Сухана | 36 | 17 | 0.951-0.980 | 5 |
| 25325 | Верхоянск, АМСГ | 27 | 32 | 0.974-0.985 | 9 |
| 25372 | Шелагонцы | 44 | 11 | 0.862-0.927 | 9 |
| 20072 | 27. 2 | октябрі |)) | | |
| Код | Наименование | факт. | восст. | к-т | кол-во |
| Код | Паименование | φακι. | восст. | корреляции | аналогов |
| 20046 | Кренкеля ГМО | 39 | 4 | 0.856-0.867 | 6 |
| 20069 | Визе | 44 | 10 | 0.891-0.931 | 9 |
| 20087 | Голомянный | 41 | 12 | 0.941 | 11 |
| 20107 | Баренцбург | 56 | 2 | 0.883-0.931 | 6 |
| 20289 | Русский | 32 | 26 | 0.898-0.949 | 13 |
| 20292 | Им.Е.К.Федорова ГМО | 48 | 1 | 0.905 | 3 |
| 20667 | Им.М.В.Попова | 37 | 25 | 0.863-0.959 | 12 |
| 20674 | Диксон | 55 | 2 | 0.856-0.891 | 6 |
| 20744 | Малые Кармакулы | 48 | 1 | 0.938 | 3 |
| 21432 | 0. Котельный | 60 | 1 | 0.916 | 3 |
| 21647 | 0. Шалаурова | 42 | 20 | 0.873-0.916 | 8 |
| 21802 | Саскылах | 52 | 6 | 0.871-0.955 | 10 |
| 21824 | Тикси | 31 | 28 | 0.868-0.964 | 8 |
| 21908 | Жилинда | 54 | 5 | 0.932 | 3 |
| 21921 | Кюсюр | 40 | 17 | 0.873-0.884 | 9 |
| 21946 | Чокурдах | 51 | 4 | 0.909 | 3 |
| | **** | 1 | 1 | | |

| | | F.C | 1 | 0.010 | 2 |
|-------|------------------|-----|----|-------------|----|
| 21982 | 0. Врангеля | 56 | 1 | 0.918 | 3 |
| 22003 | Вайда-Губа | 56 | 2 | 0.909-0.943 | 4 |
| 22028 | Териберка | 35 | 34 | 0.886-0.987 | 11 |
| 22095 | Колгуев Северный | 43 | 30 | 0.869-0.974 | 15 |
| 22101 | Виртаниеми | 53 | 5 | 0.877-0.938 | 9 |
| 22113 | Мурманск | 58 | 1 | 0.872 | 3 |
| 22140 | Гремиха Бухта | 26 | 43 | 0.883-0.974 | 13 |
| 22165 | Канин Нос | 49 | 20 | 0.864-0.936 | 15 |
| 22235 | Краснощелье | 57 | 11 | 0.874-0.918 | 9 |
| 22292 | Индига | 60 | 13 | 0.904-0.977 | 16 |
| 22355 | Сосновец остров | 59 | 12 | 0.871-0.948 | 18 |
| 22520 | Кемь-порт | 77 | 5 | 0.864-0.910 | 4 |
| 22550 | Архангельск | 67 | 13 | 0.877-0.911 | 8 |
| 23022 | Койнас | 48 | 11 | 0.886-0.944 | 15 |
| 23032 | Амдерма | 45 | 9 | 0.888-0.945 | 13 |
| 23074 | Марресаля | 46 | 14 | 0.853-0.942 | 11 |
| 23219 | Дудинка | 64 | 5 | 0.888-0.931 | 18 |
| 23220 | Нарьян-Мар | 57 | 13 | 0.872-0.923 | 71 |
| 23242 | Хоседа-Хард | 56 | 2 | 0.878-0.921 | 6 |
| 24125 | Елецкая | 57 | 18 | 0.881-0.912 | 15 |
| 24329 | Новый Порт | 62 | 4 | 0.850-0.917 | 17 |
| 24343 | Тазовск | 68 | 4 | 0.886-0.936 | 19 |
| 25173 | Оленек АМСГ | 33 | 26 | 0.974 | 14 |
| 25206 | Сухана | 36 | 17 | 0.951-0.980 | 5 |
| 25325 | Верхоянск, АМСГ | 27 | 32 | 0.974-0.985 | 9 |
| 25372 | Шелагонцы | 44 | 11 | 0.862-0.927 | 9 |

Из данных таблицы 2.3 было выявлено, что с помощью процедуры восстановления проходов и приведения рядов температур воздуха к многолетнему периоду среднее количество лет наблюдений увеличилось:

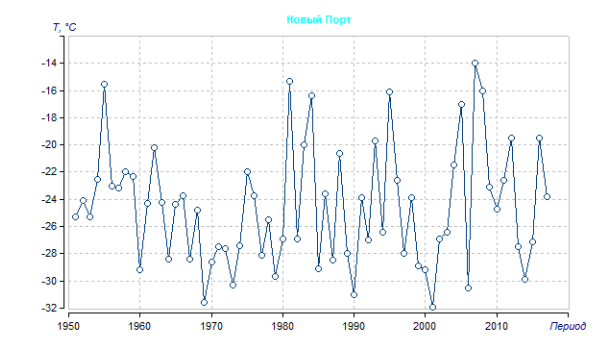
В январе с 84 до 120, в течение 36 лет.

В апреле с 82 до 104 лет, в течение 22 лет.

В июле с 89 до 117, в течение 28 лет.

В октябре, с 77 по 97 год, в течение 20 лет.

Сравнение наблюдения и восстановления рядов показано на рис.2.3



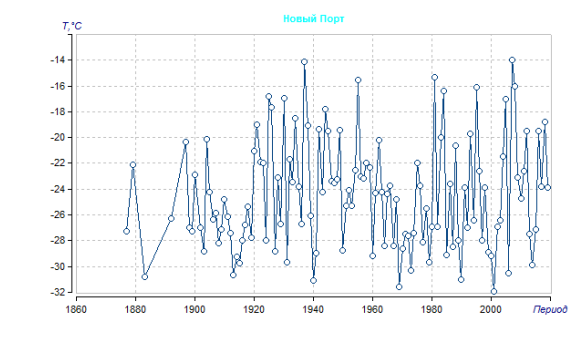


Рис 2.3. Исходный (левый) и восстановленный (правый) многолетние ряды температуры апреля на метеостанции Новый порт.

2.2.2 Восстановление пропусков и приведение непродолжительных рядов продолжительности солнечного сияния к многолетнему периоду.

Ряды продолжительности солнечного сияния, взятые для данной работы, также имели пропуски и были непродолжительными. После оценки однородности и стационарности ряды продолжительности солнечного сияния за определенные месяцы каждого сезона были пропущены через программу восстановления пропусков и удлинения рядов в программном комплексе ГИДРОРАСЧЕТЫ.

Результаты восстановления данных и удлиннения продолжительности коротких периодов солнечного сияния до многолетнего периода показаны в таблице 2.4 за 3 месяца (январь, апрель, июль).

Таблица 2.4 — Результаты восстановления пропусков и приведения коротких рядов продолжительности солнечного сияния к многолетнему периоду.

| | январь | | | | | | | | |
|-------|--------------|-------|--------|-------------|----------|--|--|--|--|
| T.0 | •• | Кол- | Кол- | к-т | кол-во | | | | |
| Код | Наименование | ВО | ВО | корреляции | аналогов | | | | |
| | | факт. | восст. | | | | | | |
| 20069 | Кренкеля ГМО | 48 | 14 | 0.766-0.870 | 12 | | | | |
| 20087 | Визе | 36 | 25 | 0.711-0.926 | 17 | | | | |
| 20107 | Голомянный | 49 | 10 | 0.803-0.934 | 12 | | | | |

| 20289 | Баренцбург | 33 | 26 | 0.893-0.924 | 7 |
|-------|------------------------|----|-----|-------------|----|
| 20292 | Русский | 38 | 23 | 0.705-0.940 | 14 |
| 20667 | Им.Е.К.Федорова ГМ0 | 41 | 18 | 0.779-0.903 | 11 |
| 20674 | Им.М.В.Попова | 52 | 7 | 0.761-0.880 | 14 |
| 20744 | Диксон | 51 | 4 | 0.719-0.844 | 6 |
| 21432 | Малые Кармакулы | 54 | 5 | 0.773 | 6 |
| 21647 | 0. Котельный | 40 | 20 | 0.794-0.930 | 14 |
| 21802 | 0. Шалаурова | 53 | 7 | 0.702-0.935 | 11 |
| 21824 | Саскылах | 30 | 34 | 0.706-0.994 | 14 |
| 21908 | Тикси | 52 | 15 | 0.798-0.930 | 8 |
| 21921 | Жилинда | 39 | 23 | 0.702-0.917 | 12 |
| 21946 | Кюсюр | 55 | 3 | 0.814-0.896 | 5 |
| 22003 | Чокурдах | 54 | 5 | 0.736-0.926 | 9 |
| 22028 | 0. Врангеля | 36 | 24 | 0.774-0.942 | 10 |
| 22095 | Вайда-Губа | 46 | 21 | 0.707-0.910 | 13 |
| 22101 | Териберка | 53 | 5 | 0.838-0.890 | 6 |
| 22113 | Колгуев Северный | 58 | 1 | 0.968 | 3 |
| 22140 | Виртаниеми | 31 | 32 | 0.785-0.984 | 13 |
| 22165 | Мурманск | 53 | 6 | 0.764-0.929 | 7 |
| 22235 | Гремиха Бухта | 58 | 12 | 0.824-0.856 | 6 |
| 22292 | Канин Нос | 61 | 11 | 0.908-0.945 | 11 |
| 22355 | Краснощелье | 55 | 11 | 0.806-0.888 | 11 |
| 22520 | Индига | 76 | 6 | 0.876-0.883 | 6 |
| 22550 | Сосновец остров | 69 | 10 | 0.775-0.854 | 6 |
| 22583 | Кемь-порт | 59 | 16 | 0.716-0.769 | 4 |
| 23022 | Архангельск | 52 | 17 | 0.746-0.952 | 11 |
| 23032 | Койнас | 48 | 11 | 0.779-0.874 | 10 |
| 23074 | Амдерма | 49 | 13 | 0.819-0.912 | 16 |
| 23205 | Марресаля | 66 | 9 | 0.723-0.892 | 19 |
| 23219 | Дудинка | 66 | 3 | 0.895 | 30 |
| 23220 | Нарьян-Мар | 59 | 10 | 0.778 | 20 |
| 23242 | Хоседа-Хард | 58 | 11 | 0.707-0.871 | 80 |
| 23256 | Елецкая | 58 | 11 | 0.701-0.933 | 10 |
| 24125 | Новый Порт | 62 | 8 | 0.726-0.862 | 11 |
| 24136 | Тазовск | 59 | 3 | 0.738 | 12 |
| 24329 | Оленек АМСГ | 60 | 2 | 0.817-0.869 | 15 |
| 24343 | Сухана | 62 | 3 | 0.8740 | 13 |
| 25042 | Верхоянск, АМСГ | 48 | 11 | 0.820-0.865 | 14 |
| 25138 | Шелагонцы | 57 | 6 | 0.702-0.908 | 3 |
| 23130 | шелагопцы | L | I - | L | |

| 25173 | Жиганск | 33 | 37 | 0.709-0.962 | 13 |
|----------------|-------------------------------|------------|---------|-------------|---------|
| 25206 | 0. Айон | 37 | 26 | 0.789-0.970 | 13 |
| 25325 | Островное | 29 | 35 | 0.783-0.964 | 15 |
| 25372 | Амгуема | 46 | 24 | 0.7960.952 | 9 |
| | | апрелн | • | | |
| Код | Наименование | Кол- | Кол- | К-т | Кол-во |
| | | BO | ВО | корреляции | аналого |
| 20046 | 1/ FN40 | факт 49 | 8 | 0.726.0.024 | 14 |
| 20046 | Кренкеля ГМО | | | 0.736-0.924 | |
| 20069 | Визе | 47 | 11 | 0.714-0.944 | 12 |
| 20087 | Голомянный | 39 | 29 | 0.778-0.962 | 13 |
| 20107 | Баренцбург | 58 | 1 | 0.710 | 3 |
| 20289 | Русский | 33 | 25 | 0.769-0.877 | 12 |
| 20292 | Им.Е.К.Федорова | 50 | 8 | 0.730-0.873 | 18 |
| 20667 | rmo | 39 | 20 | 0.813-0.947 | 16 |
| 20674 | Им.М.В.Попова | | 4 | 0.813-0.947 | 9 |
| 20744 | Диксон | 55 52 | 5 | 0.830-0.921 | 9 |
| | Малые Кармакулы 0. Котельный | | _ | | |
| 21432 | 0. Шалаурова | 60 | 3 | 0.734-0.800 | 7 |
| 21647 | Саскылах | 41 | 21 | 0.728-0.937 | 8 |
| 21802 21824 | Тикси | 53 31 | 6 | 0.822-0.969 | 8 |
| 21908 | Жилинда | 54 | 28 6 | 0.896909 | 16 6 |
| 21908 | | 40 | 31 | 0.739-0.903 | 19 |
| 21946 | Кюсюр | 47 | 13 | 0.724-0.901 | 19 |
| 21940 | Чокурдах | 55 | 10 | 0.714-0.909 | 13 |
| | 0. Врангеля | | | | |
| 22003 | Вайда-Губа | 58 | 10 | 0.939 | 13 |
| 22028 | Териберка | 36 | 31 | 0.747-0.943 | 13 |
| 22095 | Колгуев Северный | 44 | 24 | 0.806-0.955 | 15 |
| 22101 | Виртаниеми | 53 | 60 | 0.854-0.880 | 6 |
| 22113 | Мурманск | 58 | 10 | 0.968 | 3 |
| 22140 | Гремиха Бухта | 29 | 43 | 0.776-0.987 | 13 |
| 22165 | Канин Нос | 53 | 20 | 0.764-0.933 | 7 |
| 22235 | Краснощелье | 58 | 30 | 0.725-0.884 | 8 |
| 22292 | Индига | 62 | 11 | 0.876-0.971 | 9 |
| 22355 | Сосновец остров | 57 | 31 | 0.753-0.972 | 14 |
| 22520 | Кемь-порт | 76 | 12 | 0.831-0.922 | 8 |
| 23022 | Архангельск | 68 | 20 | 0.843-0.898 | 8 |
| 23032 | Койнас | 59 | 21 | 0.715-0.853 | 6 |
| 23074 | Амдерма | 52 | 7 | 0.917-0.947 | 6 |

| 23205 | Марресаля | 46 | 16 | 0.727-0.898 | 14 |
|----------------|--------------------------------------|-------|-------------|-------------|----------|
| 23219 | Дудинка | 48 | 14 | 0.806-0.937 | 12 |
| 23220 | Нарьян-Мар | 64 | 9 | 0.783-0.868 | 2 |
| 23242 | Хоседа-Хард | 64 | 6 | 0.775-0.963 | 8 |
| 23256 | Елецкая | 57 | 13 | 0.729-0.862 | 4 |
| 24125 | Новый Порт | 56 | 3 | 0.799-0.918 | 8 |
| 24136 | Тазовск | 59 | 17 | 0.815-0.877 | 11 |
| 24329 | Оленек АМСГ | 59 | 17 | 0.719-0.801 | 13 |
| | | | | | 13 |
| 24343 | Сухана | 71 | 20 | 0.767 | |
| 25042 | Верхоянск, АМСГ | 62 | 10 | 0.8040 | 3 |
| 25138 | Шелагонцы | 65 | 50 | 0.706-0.796 | 7 |
| 25173 | Жиганск | 47 | 12 | 0.803-0.961 | 6 |
| 25206 | 0. Айон | 59 | 3 | 0.831-0.941 | 3 |
| 25325 | Островное | 33 | 27 | 0.726-0.951 | 8 |
| 25372 | Амгуема | 37 | 24 | 0.721-0.951 | 11 |
| 23022 | Архангельск | 27 | 36 | 0.841-0.933 | 13 |
| 23032 | Койнас | 44 | 25 | 0.851-0.920 | 8 |
| | | Июль | | | |
| | | Кол- | Кол- | к-т | кол-во |
| Код | Наименование | ВО | ВО | корреляции | аналогов |
| 20045 | II DEIG ENG | факт. | восст. 4 | 0.856-0.867 | 6 |
| 20046 | Им.Э.Т.Кренкеля,ГМО | 44 | 10 | 0.830-0.867 | 9 |
| 20069 | Визе | 41 | 12 | 0.891-0.931 | 11 |
| 20087 | Голомянный | 56 | 2 | 0.883-0.931 | 6 |
| 20107 20289 | Баренцбург | 32 | 26 | 0.898-0.949 | 13 |
| | Русский | 48 | 1 | 0.905 | 3 |
| 20292 20667 | Им.Е.К.Федорова,ГМО Им.М.В.Попова | 37 | 25 | 0.863-0.959 | 12 |
| 20674 | Диксон | 55 | 2 | 0.856-0.891 | 6 |
| 20744 | Малые Кармакулы | 48 | 10 | 0.938 | 3 |
| 21432 | О. Котельный | 60 | 10 | 0.916 | 13 |
| 21647 | О. Шалаурова | 42 | 20 | 0.873-0.916 | 18 |
| 21802 | Саскылах | 52 | 6 | 0.871-0.955 | 10 |
| 21824 | Тикси | 31 | 28 | 0.868-0.964 | 8 |
| 21908 | Жилинда | 54 | 5 | 0.932 | 13 |
| 21921 | Кюсюр | 40 | 17 | 0.873-0.884 | 19 |
| 21946 | Чокурдах | 51 | 40 | 0.909 | 3 |
| 21982 | О. Врангеля | 56 | 10 | 0.918 | 3 |
| 22003 | Вайда-Губа | 56 | 20 | 0.909-0.943 | 4 |
| 22028 | Териберка | 35 | 34 | 0.886-0.987 | 11 |
| 22095 | Колгуев Северный | 43 | 30 | 0.869-0.974 | 15 |
| 22101 | Виртаниеми | 53 | 50 | 0.877-0.938 | 9 |
| | | | | | |

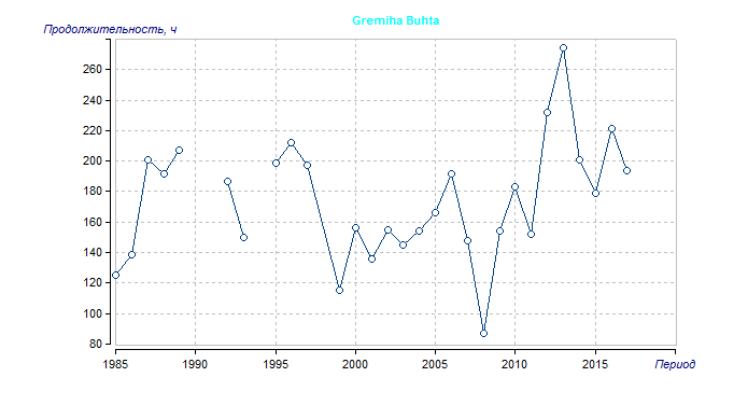
| 22113 | Мурманск | 58 | 10 | 0.8720 | 3 |
|-------|-----------------|----|----|-------------|----|
| 22140 | Гремиха Бухта | 26 | 43 | 0.883-0.974 | 13 |
| 22165 | Канин Нос | 49 | 20 | 0.864-0.936 | 15 |
| 22235 | Краснощелье | 57 | 11 | 0.874-0.918 | 9 |
| 22292 | Индига | 60 | 13 | 0.904-0.977 | 16 |
| 22355 | Сосновец остров | 59 | 12 | 0.871-0.948 | 18 |
| 22520 | Кемь-порт | 77 | 5 | 0.864-0.910 | 4 |
| 22550 | Архангельск | 67 | 13 | 0.877-0.911 | 8 |
| 23022 | Амдерма | 48 | 11 | 0.886-0.944 | 15 |
| 23032 | Марресаля | 45 | 9 | 0.888-0.945 | 13 |
| 23074 | Дудинка | 46 | 14 | 0.853-0.942 | 11 |
| 23219 | Хоседа-Хард | 64 | 5 | 0.888-0.931 | 18 |
| 23220 | Елецкая | 57 | 13 | 0.872-0.923 | 17 |
| 23242 | Новый Порт | 56 | 2 | 0.878-0.921 | 16 |
| 24125 | Оленек, АМСГ | 57 | 18 | 0.881-0.912 | 15 |
| 24329 | Шелагонцы | 62 | 40 | 0.850-0.917 | 17 |
| 24343 | Жиганск | 68 | 40 | 0.886-0.936 | 9 |
| 25173 | М. Шмидта | 33 | 26 | 0.9740 | 4 |
| 25206 | Среднеколымск | 36 | 17 | 0.951-0.980 | 5 |
| 25325 | Усть-Олой | 27 | 32 | 0.974-0.985 | 9 |
| 25372 | Амгуема, 87км | 44 | 11 | 0.862-0.927 | 9 |

Из данных таблицы 2.4 было выявлено, что при использовании процедуры восстановления пропусков и приведения ряда продолжительности солнечного сияния к многолетнему периоду среднее количество лет наблюдений увеличилось:

В январе с 50 до 63 лет, в течение 13 лет.

В апреле, с 51 до 65 лет, в течение 14 лет.

В июле, с 49 до 61 года, в течение 12 лет.



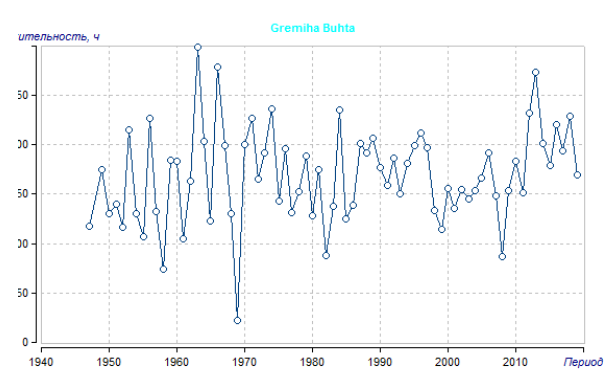


Рис 2.4 Исходный (первый график) и восстановленный (второй график) многолетние ряды продолжительности солнечного сияния апреля на метеостанции Гремиха Бухта.

2.3 Пространственные климатические закономерности температур воздуха.

Результатом расчетов в стационарных условиях является пространственная интерполяционная модель средней температуры для холодного и теплого сезонов года. Данные о средней температуре за январь, апрель, июль и октябрь на каждой станции представлены в таблице 2.5.

Таблица 2.5 – Среднемесячные температуры воздуха.

| Код станции | Название | Широта | Долгота | Январь | Апрель | Июль | Октябрь |
|----------------|---------------------|--------|---------|--------|--------|------|---------|
| 20046 | Им.Э.Т.Кренкеля,ГМО | 80,6 | 58,1 | -23,6 | -18,2 | 0,7 | -10,0 |
| 20069 | Визе | 79,5 | 77 | -25,2 | -19,5 | 0,5 | -10,1 |
| 20087 | Голомянный | 79,6 | 90,6 | -27,7 | -20,3 | 0,7 | -11,1 |
| 20107 | Баренцбург | 78,1 | 14,2 | -11,9 | -10,0 | 5,9 | -4,2 |
| 20289 | Русский | 77,2 | 96,6 | -28,5 | -20,8 | 1,3 | -9,5 |
| 20292 | Им.Е.К.Федорова,ГМО | 77,7 | 104,3 | -28,7 | -20,4 | 1,4 | -11,1 |
| 20667 | Им.М.В.Попова | 73,3 | 70,1 | -23,6 | -16,6 | 4,4 | -5,5 |
| 20674 | Диксон | 73,5 | 80,4 | -25,7 | -16,9 | 4,8 | -7,3 |
| 20744 | Малые Кармакулы | 72,4 | 52,7 | -14,0 | -9,8 | 6,9 | -2,3 |
| 21432 | О. Котельный | 76 | 137,9 | -29,6 | -20,3 | 2,8 | -10,8 |
| 21647 | О. Шалаурова | 73,2 | 143,9 | -30,5 | -19,9 | 2,5 | -9,7 |
| 21802 | Саскылах | 72 | 114,1 | -34,6 | -18,5 | 11,7 | -12,6 |
| 21824 | Тикси | 71,6 | 128,9 | -31,1 | -18,2 | 7,5 | -10,4 |
| 21908 | Жилинда | 70,1 | 114 | -38,3 | -14,0 | 13,9 | -12,3 |
| 21921 | Кюсюр | 70,7 | 127,4 | -37,6 | -15,2 | 12,4 | -11,4 |
| 21946 | Чокурдах | 70,6 | 147,9 | -34,8 | -18,6 | 9,7 | -12,0 |
| 21982 | О. Врангеля | 71 | -178,5 | -22,6 | -16,6 | 2,7 | -6,6 |
| 22003 | Вайда-Губа | 69,9 | 32 | -5,5 | -1,6 | 10,3 | 2,1 |
| 22028 | Териберка | 69,2 | 35,1 | -7,9 | -2,1 | 11,3 | 1,3 |
| 22095 | Колгуев Северный | 69,1 | 49,2 | -11,5 | -6,9 | 7,2 | -0,1 |
| 22101 | Виртаниеми | 68,9 | 28,4 | -13,3 | -2,5 | 13,6 | -0,2 |
| 22113 | Мурманск | 69 | 33,1 | -10,5 | -1,6 | 12,7 | 0,6 |
| 22140 | Гремиха Бухта | 68,1 | 39,5 | -7,6 | -3,0 | 9,0 | 1,7 |

| 22165 | Канин Нос | 68,6 | 43,3 | -8,7 | -4,6 | 8,5 | 1,7 |
|-------|-----------------|-------|--------|--------|--------|--------|--------|
| 22235 | Краснощелье | 67,3 | 37,1 | -13,6 | -3,9 | 13,2 | -0,7 |
| 22292 | Индига | 67,7 | 48,7 | -14,6 | -6,0 | 10,1 | 0,1 |
| 22355 | Сосновец остров | 66,5 | 40,7 | -9,6 | -3,6 | 8,5 | 1,7 |
| 22520 | Кемь-порт | 64,98 | 34,8 | -10,8 | -0,8 | 14,1 | 2,1 |
| 22550 | Архангельск | 64,4 | 40,7 | -13,1 | -0,6 | 15,8 | 1,5 |
| 22583 | Койнас | 64,8 | 47,6 | -16,6 | -1,3 | 15,6 | -0,1 |
| 23022 | Амдерма | 69,8 | 61,7 | -18,4 | -11,2 | 7,0 | -3,0 |
| 23032 | Марресаля | 69,7 | 66,8 | -21,2 | -12,8 | 7,2 | -4,1 |
| 23074 | Дудинка | 69,4 | 86,2 | -27,7 | -14,6 | 13,5 | -7,8 |
| 23205 | Нарьян-Мар | 67,6 | 53 | -27,7 | -6,40 | 12,9 | -1,5 |
| 23219 | Хоседа-Хард | 67,1 | 59,4 | -19,9 | -7,80 | 13,2 | -3,3 |
| 23220 | Елецкая | 67,8 | 64,8 | -17,9 | -9,20 | 13,2 | -3,8 |
| 23242 | Новый Порт | 67,7 | 72,9 | -24,5 | -13,10 | 11,9 | -4,8 |
| 23256 | Тазовск | 67,5 | 78,7 | -26,3 | -13,20 | 13,9 | -6,30 |
| 24125 | Оленек, АМСГ | 68,5 | 112,4 | -38,10 | -11,90 | 14,90 | -11,20 |
| 24136 | Сухана | 68,62 | 118,33 | -41,70 | -12,10 | 14,90 | -11,50 |
| 24266 | Верхоянск, АМСГ | 67,55 | 133,38 | -47,20 | -12,70 | 15,50 | -14,10 |
| 24329 | Шелагонцы | 66,25 | 114,28 | -40,50 | -11,50 | 14,90 | -10,80 |
| 24343 | Жиганск | 66,77 | 123,4 | -38,50 | -10,40 | 16,10 | -10,0 |
| 25042 | О. Айон | 69,8 | 168,7 | -27,70 | -18,30 | 5,00 | -9,0 |
| 25138 | Островное | 68,12 | 164,16 | -34.00 | -13,40 | 13,40 | -11,10 |
| 25173 | М. Шмидта | 68,9 | -179,4 | -24,80 | -17,50 | 4,30 | -7,60 |
| 25206 | Среднеколымск | 67,45 | 153 | -36,80 | -13,90 | 13,900 | -10,80 |
| 25325 | Усть-Олой | 66,55 | 159,42 | -33,50 | -17,01 | 12,30 | -13,10 |
| 25372 | Амгуема, 87км | 67 | -178,9 | -26,10 | -17,81 | 10,50 | -9,40 |

По данным о среднемесячной температуре строятся пространственные распределения, показанные на рисунках 2.5-2.8:

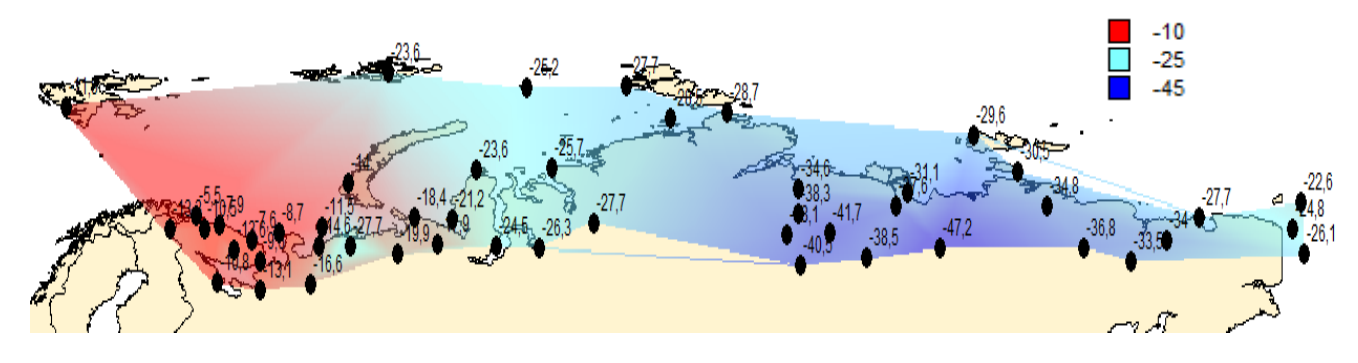


Рис 2.5 Пространственная модель средних многолетних температур в январе (MapInfo)

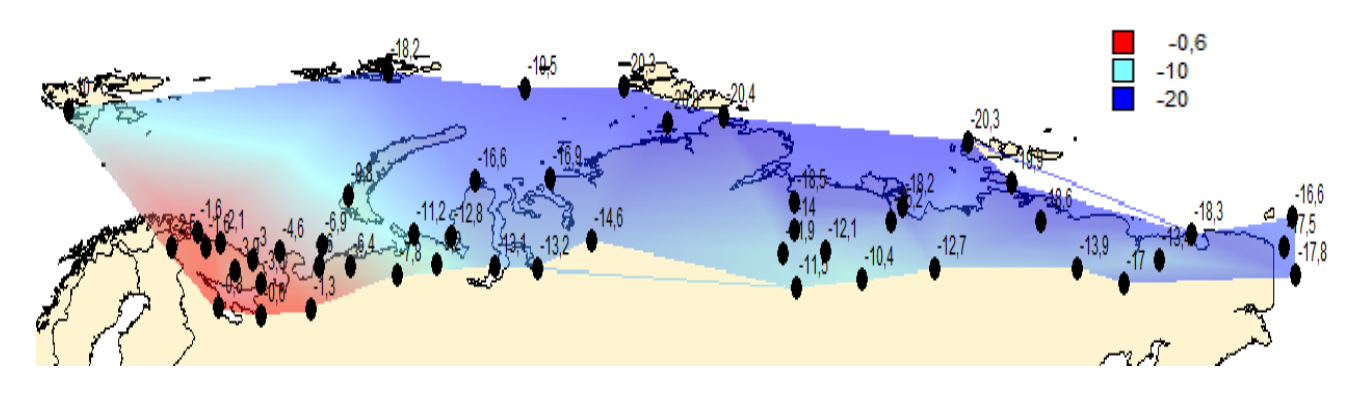
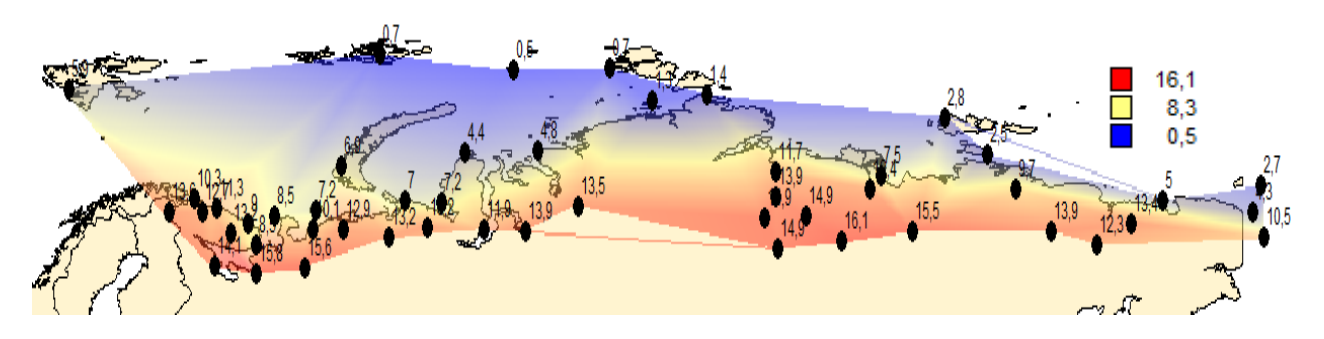
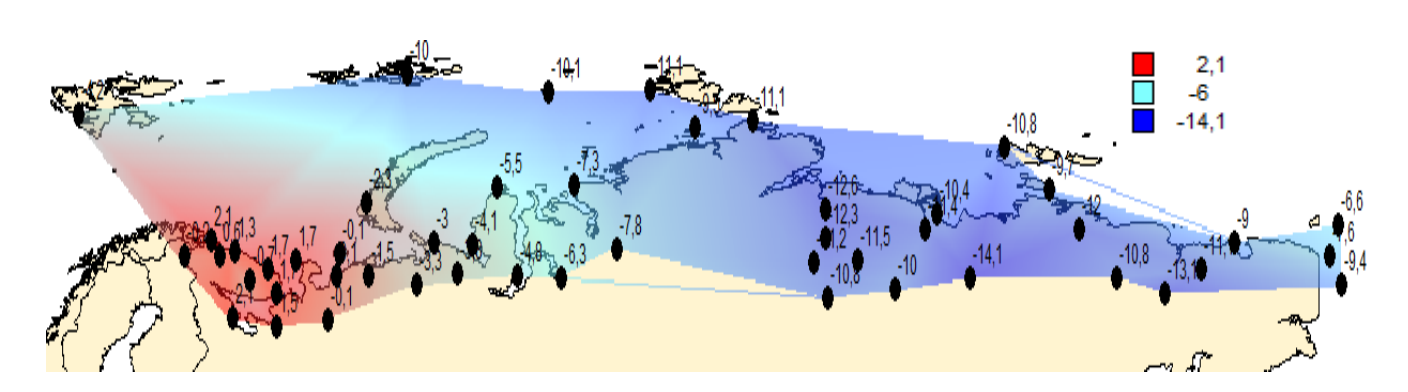


Рис.2,6 Пространственная модель средних многолетних температур в апреле (MapInfo)



Рис,2,7 Пространственная модель средних многолетних температур в июле (MapInfo)



Рис,2,8 Пространственная модель средних многолетних температур в октябре (MapInfo).

Из рисунков следует, что наиболее хорошо зональное распределение температур выражено в июле, когда тепло на юге, а холод на севере. В остальные месяцы четко прослеживается распределение, обусловленное западным переносом, тепло на западной части российской Арктики, а холод на востоке.

2.4 Пространственные климатические закономерности продолжительности солнечного сияния.

Результатом расчетов в стационарных условиях является пространственная интерполяционная модель средней продолжительности солнечного сияния для холодного и теплого сезонов года. Данные о средней продолжительности солнечного сияния за январь, апрель и июль на каждой станции представлены в таблице 2.6.

Таблица 2.6 – Среднемесячная продолжительность солнечного сияния.

| Код | Название | Широта | Долгота | Январь | Апрель | Июль |
|-------|---------------------|--------|---------|--------|--------|-------|
| 20046 | Им.Э.Т.Кренкеля,ГМО | 80,6 | 58,1 | 0 | 229,6 | 99,3 |
| 20069 | Визе | 79,5 | 77 | 2,7 | 176,6 | 79,2 |
| 20087 | Голомянный | 79,6 | 90,6 | 2,6 | 265,1 | 114,8 |
| 20107 | Баренцбург | 78,1 | 14,2 | 11,1 | 198,2 | 127,6 |
| 20289 | Русский | 77,2 | 96,6 | 2,6 | 276,8 | 115,8 |
| 20292 | Им.Е.К.Федорова,ГМО | 77,7 | 104,3 | 6,7 | 217,6 | 95,5 |
| 20667 | Им.М.В.Попова | 73,3 | 70,1 | 20,3 | 166,6 | 115,3 |
| 20674 | Диксон | 73,5 | 80,4 | 21,0 | 178,7 | 126,6 |
| 20744 | Малые Кармакулы | 72,4 | 52,7 | 21,8 | 185,8 | 148,5 |
| 21432 | О. Котельный | 76 | 137,9 | 7,4 | 198,8 | 109,5 |
| 21647 | О. Шалаурова | 73,2 | 143,9 | 20,2 | 198,6 | 124,9 |
| 21802 | Саскылах | 72 | 114,1 | 16,5 | 223,9 | 166,0 |
| 21824 | Тикси | 71,6 | 128,9 | 39,7 | 181,3 | 120,3 |
| 21908 | Жилинда | 70,1 | 114 | 38,1 | 276,5 | 194,8 |
| 21921 | Кюсюр | 70,7 | 127,4 | 51,2 | 330,6 | 221,5 |
| 21946 | Чокурдах | 70,6 | 147,9 | 38,4 | 274,0 | 175,7 |
| 21982 | О. Врангеля | 71 | -178,5 | 54,2 | 179,3 | 119,3 |
| 22003 | Вайда-Губа | 69,9 | 32 | 21,1 | 186,6 | 155,0 |
| 22028 | Териберка | 69,2 | 35,1 | 40,8 | 182,0 | 174,2 |
| 22095 | Колгуев Северный | 69,1 | 49,2 | 29,0 | 164,6 | 121,9 |
| 22101 | Виртаниеми | 68,9 | 28,4 | 41,4 | 204,4 | 159,2 |
| 22113 | Мурманск | 69 | 33,1 | 38,5 | 195,0 | 158,9 |
| 22140 | Гремиха Бухта | 68,1 | 39,5 | 23,7 | 168,9 | 161,5 |
| 22165 | Канин Нос | 68,6 | 43,3 | 23,0 | 159,4 | 132,9 |
| 22235 | Краснощелье | 67,3 | 37,1 | 49,1 | 194,4 | 162,4 |
| 22292 | Индига | 67,7 | 48,7 | 42,2 | 190,8 | 154,3 |
| 22355 | Сосновец остров | 66,5 | 40,7 | 40,0 | 200,0 | 161,1 |
| 22520 | Кемь-порт | 64,98 | 34,8 | 57,2 | 255,2 | 216,1 |

| | | | T | | | |
|-------|----------------|--------|---------|-------|-------|-------|
| 22550 | Архангельск | 64,4 | 40,7 | 50,4 | 248,2 | 211,0 |
| 22583 | Койнас | 64,8 | 47,6 | 41,4 | 221,8 | 173,9 |
| 23022 | Амдерма | 69,8 | 61,7 | 39,9 | 169,9 | 128,7 |
| 23032 | Марресаля | 69,7 | 66,8 | 41,4 | 164,4 | 143,9 |
| 23074 | Дудинка | 69,4 | 86,2 | 31,4 | 237,4 | 193,6 |
| 23205 | Нарьян-Мар | 67,6 | 53 | 49,7 | 192,7 | 156,3 |
| 23219 | Хоседа-Хард | 67,10 | 59,4 | 51,0 | 196,8 | 154,5 |
| 23220 | Елецкая | 67,80 | 64,8 | 52,6 | 200,2 | 157,8 |
| 23242 | Новый Порт | 67,70 | 72,9 | 52,5 | 187,6 | 174,9 |
| 23256 | Тазовск | 67,50 | 78,70 | 54,8 | 208,5 | 197,8 |
| 24125 | Оленек АМСГ | 68,50 | 112,40 | 77,3 | 279,5 | 207,0 |
| 24136 | Сухана | 68,620 | 118,330 | 72,9 | 289,4 | 209,5 |
| 24266 | Верхоянск АМСГ | 67,550 | 133,380 | 82,4 | 306,0 | 227,8 |
| 24329 | Шелагонцы | 66,250 | 114,280 | 100,3 | 259,3 | 205,1 |
| 24343 | Жиганск | 66,770 | 123,40 | 91,6 | 303,4 | 234,3 |
| 25042 | 0. Айон | 69,80 | 168,70 | 53,6 | 252,9 | 149,0 |
| 25138 | Островное | 68,120 | 164,160 | 54,7 | 327,1 | 212,3 |
| 25173 | М. Шмидта | 68,90 | -179,40 | 57,6 | 204,3 | 127,1 |
| 25206 | Среднеколымск | 67,450 | 1530 | 71,0 | 357,6 | 224,7 |
| 25325 | Усть-Олой | 66,550 | 159,402 | 81,0 | 313,0 | 183,7 |
| 25372 | Амгуема | 670 | -178,90 | 78,1 | 228,3 | 149,6 |

По расчетам о среднемесячной продолжительности солнечного сияния построены пространственные распределения, представленные на рисунках 2.9-2.11

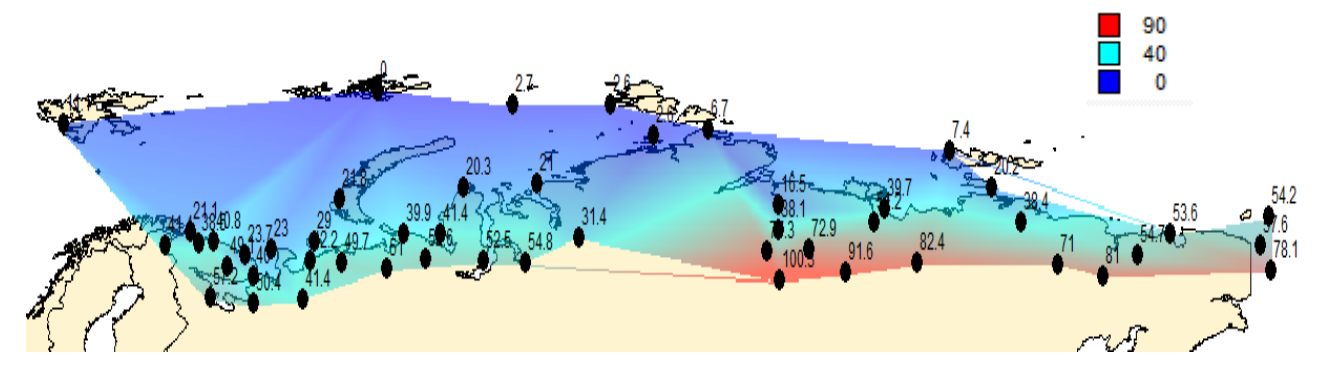


Рис2,9. Пространственная модель средней многолетней продолжительности солнечного сияния в январе (MapInfo)

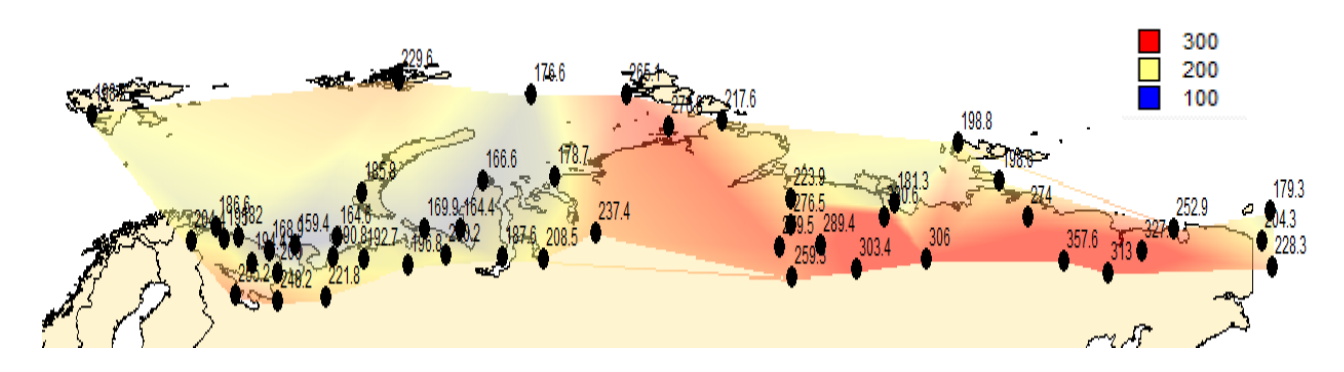


Рис 2,11 модель пространственная средней многолетней продолжительности солнечного сияния в апреле

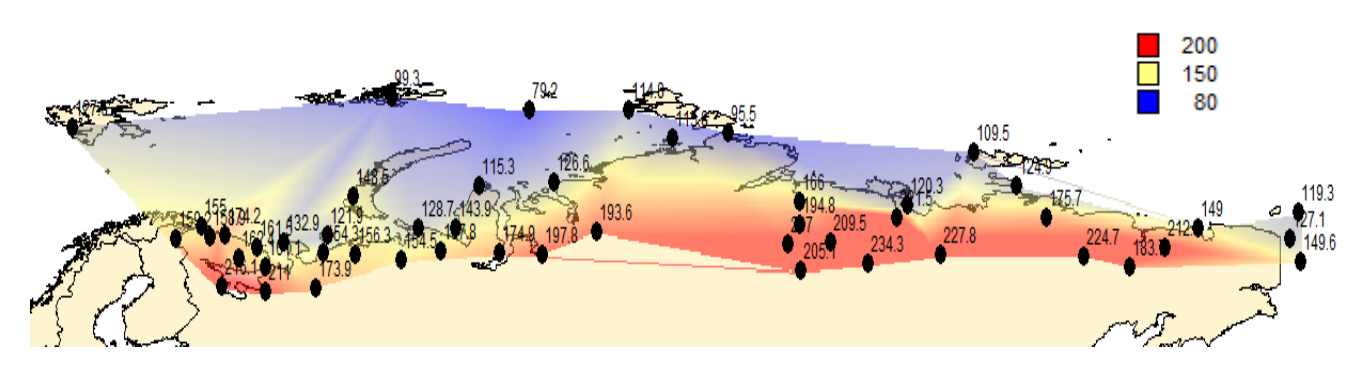


рис 2,12. Пространственная модель средней многолетней продолжительности солнечного сияния в июле

Как следует из рисунков, зональное распределение продолжительности солнечного сияния одинаково хорошо выражено как в холодное время года, в январе, так и в теплое, в июле. Наблюдается большая продолжительность солнечного сияния на юге территории, а на северной части меньше. В апреле месяце продолжительность солнечного сияния равномернее распределена по территории.

3.1 Теория

Климатическая система Земли, включая атмосферу, гидросферу, криосферу, биосферу и литосферу, нестабильна и постоянно меняется. Его изменчивость оценивается на основе большого набора показателей, который включает в себя как атмосферные характеристики (температура воздуха, осадки, давление и т.д.), так и показатели других природных сфер (уровень моря, речной сток, площадь морского льда, количество выделяемого органического углерода и т.д.), а также внешние факторы (например, колебания солнечной постоянной, параметры земной орбиты, геофизические характеристики). В то же время или период колебаний компонентов климатической значительно варьируется: от нескольких секунд для атмосферных микровихрей до сотен тысяч лет для параметров земной орбиты, что формирует сложный спектр колебаний климатических характеристик. На любом рассматриваемом временном интервале структура временного ряда может быть представлена двумя основными типами моделей: стационарными и нестационарными. В стационарной модели основные параметры временного ряда, такие как среднее значение и дисперсия, являются постоянными во времени или стационарными. Для такой ситуации можно рассчитать среднее значение за длительный период наблюдений, которое является климатической нормой. Даже в условиях современного изменения климата принято считать, что на определенных небольших отрезках временного ряда, например, продолжительностью 30 лет, колебания климатических характеристик являются квазистационарными.

Однако, помимо случайных колебаний во временных рядах климатических характеристик, могут также присутствовать нестационарные компоненты, обусловленные влиянием факторов климатической системы с большими

временными масштабами. В целом, существуют нестационарные модели трех основных типов:

- монотонные изменения в виде линейного тренда;
- циклические колебания;
- ступенчатые переходы из одного стационарного состояния в другое.

На самом деле все нестационарные изменения в природе носят циклический характер, и тренд является частью цикла процесса достаточно большого масштаба, который проявляется как линейная ветвь подъема или спада цикла на конечном рассматриваемом временном интервале.

Если предположить, что нестационарные компоненты являются реакцией климатической системы на внешние воздействия, то проявления этих воздействий могут быть двух основных типов: монотонные (трендовые или циклические колебания) и ступенчатые изменения. Механизм монотонных изменений имеет место в равновесной системе, которая почти мгновенно реагирует на направленные внешние воздействия. Механизм пошаговых изменений, или триггерный механизм, характеризует неравновесную систему, которая в течение определенного времени может нейтрализовать направленные внешние воздействия или противостоять им до тех пор, пока их совокупный эффект не выведет систему на новый уровень. Следовательно, стационарный временной ряд может быть частным случаем существования как равновесных, так и неравновесных систем. В первом случае это проявление случайных внешних воздействий, во втором – период стабильного существования, когда система еще достаточно инерционна, чтобы противостоять внешним воздействиям.

Модель линейного тренда характеризуется зависимостью рассматриваемой климатической характеристики (Y) от времени (t):

$$Y(t) = b_1 t + b_0 \tag{1}$$

где b_I , b_0 – коэффициенты уравнения регрессии, определяемые методом наименьших квадратов (МНК):

$$b_1 = \frac{\sum_{i=1}^{n} (Y_i - Y_{cp})(t_i - t_{cp})}{\sum_{i=1}^{n} (t_i - t_{cp})^2}$$
(2)

$$b_0 = Y_{cp} - b_1 t_{cp} \tag{3}$$

где Y_{cp} , t_{cp} — средние значения для рядов климатической характеристики и времени.

Статистическая значимость модели линейного тренда оценивается по статистической значимости коэффициента b1 или коэффициента корреляции R зависимости (1), который вычисляется по формуле:

$$R = \frac{\sum_{i=1}^{n} (Y_i - Y_{cp})(t_i - t_{cp})}{\sqrt{\sum_{i=1}^{n} (Y_i - Y_{cp})^2 \sum_{i=1}^{n} (t_i - t_{cp})^2}}$$
(4)

Модель пошаговых изменений аналогична двум (или нескольким) стационарным моделям для двух (или нескольких) частей временного ряда, которая характеризуется неизменностью во времени среднего значения и среднеквадратичного отклонения для каждой части ряда:

$$Sr_I(t_1) = const1, \ \sigma_I(t_1) = const1,$$
 (5)

$$Sr_2(t_2) = const2, \ \sigma_2(t_2) = const2,$$
 (6)

где Sr_1 , σ_1 — среднее значение и среднее квадратическое отклонение первой части ряда при изменении t_1 от 1 до t_n ; Sr_2 , σ_2 — среднее значение и среднее квадратическое отклонение второй части ряда при изменении t_2 от t_n +1 до n, n — объем ряда.

Момент ступеньки (*tn*) определяется визуально или на основе дополнительной информации о факторе и дате нарушения стационарности (например, изменение индекса атмосферной циркуляции, даты смены регистрирующих приборов), а также может быть определен итерациями при достижении минимального значения сумм квадратов отклонений двух частей временного ряда:

$$\sigma_1^2(n_1-1) + \sigma_2^2(n_2-1) = min,$$
 (7)

где $n_1 n_2$ – объемы каждой из двух частей временного ряда. [8]

3.2 Результаты моделирования временных рядов в пунктах наблюдений

. На основе методологии раздела 3.1 были рассчитаны характеристики стационарных и нестационарных моделей для среднемесячных температур за четыре месяца (январь, апрель, июль, октябрь) года на 49 метеостанциях с использованием программы ТІМОD. Эффективные отличия от модели стационарной выборки, статистически значимые значения критерия Фишера и коэффициенты линейной трендовой корреляции выделены в таблицах ярким цветом.

Результаты расчетов на основе моделей временных рядов за 4 месяца каждого сезона (январь, апрель, Июль, Октябрь) приведены в таблицах 3.1- 3.4, где приведены случаи нестационарных моделей при Δ>10% и статистики по критерию Фишера (Ftr. и Fst.) с уровнем значимости 5% выделены ярким цветом, а также статистически значимые коэффициенты уравнений линейного тренда R. В таблицах 3.1-3.4 также указаны: Год ст. - год перехода от одной стационарной части ряда к другой согласно модели пошаговых изменений; Год N., Год К. – годы начала и окончания наблюдений, n — количество лет наблюдений; R - коэффициент корреляции модели линейного тренда

Таблица 3.1 — Результаты расчетов по моделям временных рядов для температуры января.

| | Им.Э.Т.Кренкеля,ГМО | | | - . | - . | | | Год | | , |
|-------|---------------------|-----|-----|------------|------------|--------|-------|------|-----|------|
| Код | | Δтр | Δст | Ftr | Fst | Год ст | Год Н | К | n | R |
| 20046 | Визе | 2.3 | 8.6 | 1.05 | 1.20 | 2005 | 1877 | 2019 | 127 | 0.21 |
| 20069 | Голомянный | 2.3 | 9.2 | 1.05 | 1.21 | 2005 | 1877 | 2019 | 124 | 0.21 |
| 20087 | Баренцбург | 3.2 | 9.6 | 1.07 | 1.22 | 2005 | 1877 | 2019 | 124 | 0.25 |
| 20107 | Русский | 0.6 | 9.1 | 1.01 | 1.21 | 2005 | 1921 | 2019 | 99 | 0.11 |
| 20289 | им.Е.К.Федорова,ГМ0 | 3.8 | 7.3 | 1.08 | 1.16 | 2005 | 1877 | 2019 | 125 | 0.27 |
| 20292 | Им.М.В.Попова | 3.9 | 7.9 | 1.08 | 1.18 | 2005 | 1892 | 2019 | 121 | 0.28 |
| 20667 | Диксон | 2.4 | 5.6 | 1.05 | 1.12 | 1919 | 1877 | 2019 | 125 | 0.22 |
| 20674 | Малые Кармакулы | 2.8 | 6.0 | 1.06 | 1.13 | 1920 | 1877 | 2019 | 126 | 0.24 |
| 20744 | 0. Котельный | 1.2 | 6.1 | 1.03 | 1.13 | 1919 | 1877 | 2019 | 125 | 0.16 |
| 21432 | 0. Шалаурова | 2.1 | 6.5 | 1.04 | 1.15 | 2006 | 1929 | 2019 | 91 | 0.20 |
| 21647 | Саскылах | 1.5 | 4.3 | 1.03 | 1.09 | 2009 | 1929 | 2019 | 91 | 0.17 |

| 21802 Тикси 0.0 4.2 1.00 1.09 2005 1933 2019 8 21824 Жилинда 2.9 4.8 1.06 1.10 2005 1910 2019 10 21908 Кюсюр 1.4 5.2 1.03 1.11 2005 1910 2019 10 21921 Чокурдах 1.1 3.0 1.02 1.06 2005 1910 2019 10 21946 0. Врангеля 10.2 11.5 1.24 1.28 1920 1887 2019 12 21982 Вайда-Губа 3.4 3.8 1.07 1.08 1950 1927 2019 9 22003 Териберка 0.6 1.8 1.01 1.04 1922 1856 2019 16 | 2 0.24 2 0.17 2 0.15 |
|---|----------------------------|
| 21908 Кюсюр 1.4 5.2 1.03 1.11 2005 1910 2019 10 21921 Чокурдах 1.1 3.0 1.02 1.06 2005 1910 2019 10 21946 0. Врангеля 10.2 11.5 1.24 1.28 1920 1887 2019 12 21982 Вайда-Губа 3.4 3.8 1.07 1.08 1950 1927 2019 9 | 2 0.17 |
| 21921 Чокурдах 1.1 3.0 1.02 1.06 2005 1910 2019 10 21946 0. Врангеля 10.2 11.5 1.24 1.28 1920 1887 2019 12 21982 Вайда-Губа 3.4 3.8 1.07 1.08 1950 1927 2019 9 | 2 0.15 |
| 21946 0. Врангеля 10.2 11.5 1.24 1.28 1920 1887 2019 12 21982 Вайда-Губа 3.4 3.8 1.07 1.08 1950 1927 2019 9 | |
| 21982 Вайда-Губа 3.4 3.8 1.07 1.08 1950 1927 2019 9 | 3 0.44 |
| | |
| 22003 Териберка 0.6 1.8 1.01 1.04 1922 1856 2019 16 | 2 0.26 |
| | 4 0.11 |
| 22028 Колгуев Северный 0.9 1.8 1.02 1.04 1922 1814 2019 20 | 4 0.13 |
| 22095 Виртаниеми 0.3 1.8 1.01 1.04 1920 1814 2019 20 | 4 0.07 |
| 22101 Мурманск 0.0 1.2 1.00 1.03 1869 1856 2019 16 | 4 0.02 |
| 22113 Гремиха Бухта 0.2 0.6 1.00 1.01 1922 1814 2019 20 | 4 0.06 |
| 22140 Канин Нос 1.7 3.5 1.03 1.07 1992 1814 2019 20 | 4 0.18 |
| 22165 Краснощелье 0.5 1.9 1.01 1.04 1921 1814 2019 20 | 4 0.10 |
| 22235 Индига 0.2 0.8 1.00 1.02 1922 1814 2019 20 | 4 0.07 |
| 22292 Сосновец остров 0.1 0.8 1.00 1.02 1921 1814 2019 20 | 4 0.04 |
| 22355 Кемь-порт 0.8 1.8 1.02 1.04 1993 1814 2019 20 | 4 0.13 |
| 22520 Архангельск 0.8 1.5 1.02 1.03 1992 1814 2019 20 | 4 0.13 |
| 22550 Койнас 0.4 1.0 1.01 1.02 1993 1814 2019 20 | 4 0.09 |
| 22583 Амдерма 0.3 0.7 1.01 1.01 1839 1814 2019 20 | 4 0.07 |
| 23022 Марресаля 0.5 3.5 1.01 1.07 1920 1863 2019 12 | 9 0.10 |
| 23032 Дудинка 0.7 4.2 1.01 1.09 1920 1877 2019 12 | 6 0.12 |
| 23074 Нарьян-Мар 0.1 1.7 1.00 1.03 1917 1907 2019 11 | 3 0.04 |
| 23205 Хоседа-Хард 0.1 1.7 1.00 1.03 1917 1907 2019 11 | 3 0.04 |
| 23219 Елецкая 0.0 0.6 1.00 1.01 1963 1814 2019 20 | 4 0.02 |
| 23220 Новый Порт 1.8 4.1 1.04 1.09 1940 1868 2019 15 | - 2 0.19 |
| 23242 Тазовск 0.4 2.9 1.01 1.06 1920 1877 2019 12 | 6 0.08 |
| 23256 Оленек АМСГ 0.2 1.6 1.00 1.03 1920 1877 2019 12 | 6 0.06 |
| 24125 Сухана 7.9 8.6 1.18 1.20 2005 1936 2019 8 | 4 0.39 |
| 24136 Верхоянск, АМСГ 1.4 5.4 1.03 1.12 2005 1910 2019 10 | 2 0.17 |
| 24266 Шелагонцы 14.7 12.7 1.37 1.31 1916 1886 2019 13 | 0 .52 |
| 24329 Жиганск 0.9 5.3 1.02 1.11 2005 1933 2019 8 | 7 0.14 |
| 24343 0. Айон 2.9 5.0 1.06 1.11 1991 1929 2019 9 | 1 0.24 |
| 25042 Островное 0.4 1.8 1.01 1.04 2009 1929 2019 9 | 1 0.09 |
| 25138 М. Шмидта 0.1 1.3 1.00 1.03 1950 1933 2018 8 | 6 0.05 |
| | 3 0.13 |
| 25206 Усть-Олой 6.5 7.0 1.14 1.16 1920 1887 2019 12 | 3 0.35 |
| 25325 Амгуема, 87км 0.7 3.3 1.01 1.07 1986 1933 2018 8 | - 6 0.12 |
| 25372 Им.Э.Т.Кренкеля,ГМО 1.5 3.4 1.03 1.07 1950 1927 2019 9 | 2 0.17 |

Из результатов таблицы 3.1 следует, что из 49 серий наблюдений январских температур 2 серии с линейной моделью тренда и 2 серии с моделью ступенчатых изменений являются нестационарными при Δ >10%.Статистически значимых по критерию Фишера при уровне значимости 5% нет. Статистически значимые коэффициенты корреляции со значением R > 0,26 составляют 7 строк.

Примеры графиков временных рядов нестационарных моделей показаны на рисунке 3.1.

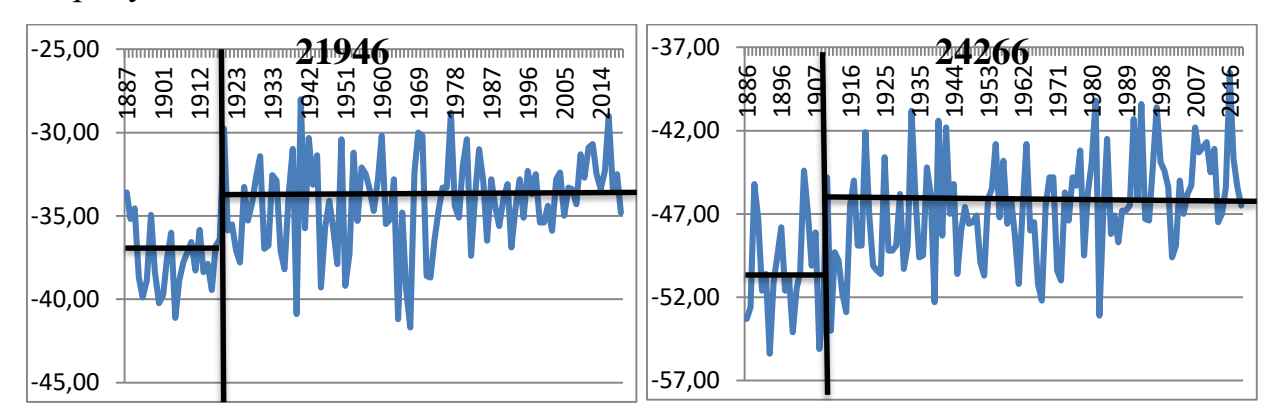


Рис 3.1 Графики временных рядов нестационарных моделей

Таблица 3.2 — Результаты расчетов по моделям временных рядов для температуры апреля.

| | FN40 | Δт | | | | Год | Год | Год | | |
|------|-------------------|-----|------|-----|-----|------|------|------|----|------|
| Код | Кренкеля,ГМО | р | Δст | Ftr | Fst | st | Н | К | n | R |
| 2004 | D | | | 1.0 | 1.1 | | | | 15 | |
| 6 | Визе | 1.9 | 6.6 | 4 | 5 | 1897 | 1868 | 2019 | 2 | 0.19 |
| 2006 | F • | | | 1.1 | 1.3 | | | | | |
| 9 | Голомянный | 6.2 | 13.6 | 4 | 4 | 2006 | 1931 | 2019 | 89 | 0.35 |
| 2008 | 5 6 | | | 1.2 | 1.3 | | | | | |
| 7 | Баренцбург | 9.3 | 13.9 | 2 | 5 | 2007 | 1931 | 2019 | 89 | 0.42 |
| 2010 | D 2 | | | 1.0 | 1.1 | | | | | |
| 7 | Русский | 3.7 | 7.7 | 8 | 7 | 2002 | 1940 | 2019 | 80 | 0.27 |
| 2028 | Им.Е.К.Федорова,Г | | | 1.2 | 1.4 | | | | 10 | |
| 9 | M0 | 8.6 | 15.4 | 0 | 0 | 2007 | 1917 | 2019 | 2 | 0.41 |
| 2029 | | | | 1.1 | 1.4 | | | | | |
| 2 | Им.М.В.Попова | 7.3 | 17.0 | 6 | 5 | 2007 | 1931 | 2019 | 89 | 0.37 |
| 2066 | _ | | | 1.0 | 1.1 | | | | 12 | |
| 7 | Диксон | 2.7 | 7.6 | 6 | 7 | 2007 | 1877 | 2019 | 6 | 0.23 |
| 2067 | NA 1/ | | | 1.0 | 1.2 | | | _ | 11 | |
| 4 | Малые Кармакулы | 2.4 | 9.3 | 5 | 2 | 2007 | 1907 | 2019 | 3 | 0.22 |

| 2074 | | | | 1.0 | 1.1 | | | | 12 | |
|------|--|-----|------|-----|-----|------|------|------|----|------|
| 4 | 0. Котельный | 2.7 | 6.9 | 6 | 5 | 2007 | 1877 | 2019 | 5 | 0.23 |
| 2143 | | | 0.0 | 1.1 | 1.6 | | | | | |
| 2 | 0. Шалаурова | 7.9 | 22.0 | 8 | 4 | 2007 | 1929 | 2019 | 91 | 0.39 |
| 2164 | | | _ | 1.1 | 1.5 | | | | | |
| 7 | Саскылах | 7.2 | 18.9 | 6 | 2 | 2007 | 1929 | 2019 | 91 | 0.37 |
| 2180 | _ | | | 1.0 | 1.2 | | | | | |
| 2 | Тикси | 2.1 | 10.6 | 4 | 5 | 2007 | 1933 | 2019 | 87 | 0.20 |
| 2182 | 117 | | | 1.0 | 1.1 | | | | 10 | |
| 4 | Жилинда | 1.8 | 7.8 | 4 | 8 | 2007 | 1910 | 2019 | 2 | 0.19 |
| 2190 | | | | 1.1 | 1.3 | | | | | |
| 8 | Кюсюр | 4.8 | 12.9 | 0 | 2 | 2007 | 1933 | 2019 | 87 | 0.31 |
| 2192 | | | | 1.0 | 1.2 | | | | 13 | |
| 1 | Чокурдах | 3.4 | 10.4 | 7 | 5 | 2007 | 1887 | 2019 | 0 | 0.26 |
| 2194 | | | | 1.0 | 1.2 | | | | 12 | |
| 6 | 0. Врангеля | 3.8 | 10.7 | 8 | 5 | 2009 | 1887 | 2019 | 3 | 0.27 |
| 2198 | | | | 1.0 | 1.2 | | | | | |
| 2 | Вайда-Губа | 2.9 | 9.5 | 6 | 2 | 1988 | 1927 | 2019 | 93 | 0.24 |
| 2200 | _ | | | 1.0 | 1.1 | | | | 20 | |
| 3 | Териберка | 3.9 | 5.6 | 8 | 2 | 1989 | 1816 | 2019 | 3 | 0.28 |
| 2202 | | | | 1.0 | 1.0 | | | | 20 | |
| 8 | Колгуев Северный | 2.0 | 4.2 | 4 | 9 | 1999 | 1816 | 2019 | 3 | 0.20 |
| 2209 | | | | 1.0 | 1.0 | | | | 13 | |
| 5 | Виртаниеми | 0.5 | 4.0 | 1 | 9 | 2007 | 1863 | 2019 | 6 | 0.10 |
| 2210 | | | | 1.1 | 1.1 | | | | 16 | |
| 1 | Мурманск | 7.8 | 6.1 | 8 | 3 | 1999 | 1856 | 2019 | 4 | 0.39 |
| 2211 | _ | | | 1.0 | 1.0 | | | | 20 | |
| 3 | Гремиха Бухта | 2.8 | 3.7 | 6 | 8 | 1989 | 1814 | 2019 | 5 | 0.24 |
| 2214 | | | | 1.0 | 1.1 | | | | 20 | |
| 0 | Канин Нос | 3.0 | 5.9 | 6 | 3 | 2000 | 1814 | 2019 | 5 | 0.24 |
| 2216 | ., | | | 1.0 | 1.1 | | | | 15 | |
| 5 | Краснощелье | 0.9 | 4.9 | 2 | 1 | 2000 | 1863 | 2019 | 7 | 0.14 |
| 2223 | ., | | | 1.0 | 1.0 | | | | 20 | |
| 5 | Индига | 2.2 | 4.2 | 4 | 9 | 1999 | 1814 | 2019 | 5 | 0.21 |
| 2229 | | | | 1.0 | 1.0 | | | | 15 | |
| 5 | Сосновец остров | 0.1 | 2.8 | 0 | 6 | 2000 | 1863 | 2019 | 7 | 0.05 |
| 2235 | | | | 1.0 | 1.0 | | | | 20 | |
| 5 | Кемь-порт | 1.6 | 3.8 | 3 | 8 | 2000 | 1814 | 2019 | 5 | 0.18 |
| 2252 | Ληνουσο στ. στ. | | | 1.0 | 1.0 | | | | 20 | |
| 0 | Архангельск | 0.9 | 2.6 | 2 | 6 | 1999 | 1816 | 2019 | 3 | 0.13 |
| 2255 | Vayuaa | | | 1.0 | 1.0 | | | | 20 | |
| 0 | Койнас | 2.6 | 3.5 | 5 | 7 | 1989 | 1814 | 2019 | 5 | 0.23 |
| 2258 | A | | | 1.0 | 1.0 | | | | 20 | |
| 3 | Амдерма | 0.9 | 1.6 | 2 | 3 | 1989 | 1814 | 2019 | 5 | 0.14 |
| 2302 | Ma:::::::::::::::::::::::::::::::::::: | | | 1.0 | 1.0 | | | | 12 | |
| 2 | Марресаля | 1.0 | 4.2 | 2 | 9 | 2007 | 1877 | 2019 | 6 | 0.14 |
| 2303 | Пипиша | | | 1.0 | 1.0 | | | | 12 | |
| 2 | Дудинка | 0.9 | 4.0 | 2 | 9 | 2007 | 1877 | 2019 | 6 | 0.13 |

| 2207 | | | 1 | 1.0 | 4.2 | | | | 4.4 | |
|------|---------------------------------------|------------|------|-----|-----|------|------|------|-----|------|
| 2307 | Нарьян-Мар | 2.0 | 0.0 | 1.0 | 1.2 | 2007 | 1007 | 2010 | 11 | 0.20 |
| 4 | ' ' | 2.0 | 9.0 | 4 | 1 | 2007 | 1907 | 2019 | 3 | 0.20 |
| 2320 | Хоседа-Хард | 0.0 | | 1.0 | 1.0 | 2007 | 4060 | 2010 | 14 | 0.00 |
| 5 | | 0.3 | 2.9 | 1 | 6 | 2007 | 1863 | 2019 | 7 | 0.08 |
| 2321 | Елецкая | | | 1.0 | 1.0 | | | | 14 | |
| 9 | Елецкал | 0.3 | 3.1 | 1 | 6 | 2007 | 1876 | 2019 | 4 | 0.08 |
| 2322 | Новый Порт | | | 1.0 | 1.0 | | | | 12 | |
| 0 | Повый Порт | 1.8 | 3.3 | 4 | 7 | 2007 | 1877 | 2019 | 7 | 0.19 |
| 2324 | Тазовск | | | 1.0 | 1.1 | | | | 11 | |
| 2 | Tasober | 2.5 | 4.6 | 5 | 0 | 2007 | 1877 | 2019 | 5 | 0.22 |
| 2325 | Оленек АМСГ | | | 1.0 | 1.1 | | | | 11 | |
| 6 | Oliehek Alvici | 1.3 | 6.3 | 3 | 4 | 2007 | 1907 | 2019 | 3 | 0.16 |
| 2412 | Converse | | | 1.1 | 1.2 | | | | | |
| 5 | Сухана | 6.0 | 11.9 | 3 | 9 | 2007 | 1936 | 2019 | 84 | 0.34 |
| 2413 | Danis ANACE | | | 1.1 | 1.2 | | | | 10 | |
| 6 | Верхоянск, АМСГ | 4.8 | 12.0 | 0 | 9 | 2007 | 1910 | 2019 | 2 | 0.31 |
| 2426 | | | | 1.0 | 1.2 | | | | 13 | |
| 6 | Шелагонцы | 3.5 | 8.9 | 7 | 1 | 2009 | 1887 | 2019 | 0 | 0.26 |
| 2432 | | | | 1.1 | 1.2 | | | | | |
| 9 | Жиганск | 5.2 | 11.3 | 1 | 7 | 2007 | 1933 | 2019 | 87 | 0.32 |
| 2434 | | | | 1.1 | 1.2 | | | | 10 | |
| 3 | 0. Айон | 4.9 | 12.1 | 1 | 9 | 2007 | 1910 | 2019 | 2 | 0.31 |
| 2504 | _ | | | 1.1 | 1.2 | | | | | |
| 2 | Островное | 4.8 | 9.7 | 0 | 3 | 2007 | 1927 | 2019 | 93 | 0.31 |
| 2513 | | | | 1.0 | 1.1 | | | | 11 | |
| 8 | М. Шмидта | 1.9 | 6.6 | 4 | 5 | 2000 | 1887 | 2018 | 9 | 0.19 |
| 2517 | • | | | 1.0 | 1.1 | | | | | |
| 3 | Среднеколымск | 2.7 | 7.0 | 6 | 6 | 1989 | 1927 | 2019 | 93 | 0.23 |
| 2520 | \ \ \ \ \ \ \ \ \ \ \ \ \ \ \ \ \ \ \ | | - | 1.0 | 1.2 | | | | 12 | |
| 6 | Усть-Олой | 4.1 | 10.3 | 9 | 4 | 2009 | 1887 | 2019 | 3 | 0.28 |
| 2532 | | † <u>-</u> | | 1.0 | 1.1 | | | | | |
| 5 | Амгуема, 87км | 1.0 | 5.1 | 2 | 1 | 1990 | 1933 | 2018 | 86 | 0.14 |
| | | 1.0 | 3.1 | | | 1330 | 1000 | 2010 | 30 | 0.17 |
| 2537 | Им.Э.Т.Кренкеля,ГМ | 1 1 | 4.0 | 1.0 | 1.1 | 1000 | 1027 | 2010 | 03 | 047 |
| 2 | 0 | 1.4 | 4.9 | 3 | 1 | 1989 | 1927 | 2019 | 93 | 0.17 |

Из результатов таблицы 3.2 следует, что из 49 серий наблюдений апрельских температур 15 серий с моделью пошаговых изменений и ни одна с моделью линейного тренда не являются нестационарными при Δ >10%.Статистически значимых по критерию Фишера при уровне значимости 5% нет. Статистически значимые коэффициенты корреляции со значением R >0,26 составляют 19 строк. Примеры графиков временных рядов нестационарных моделей показаны на рисунке 3.2.

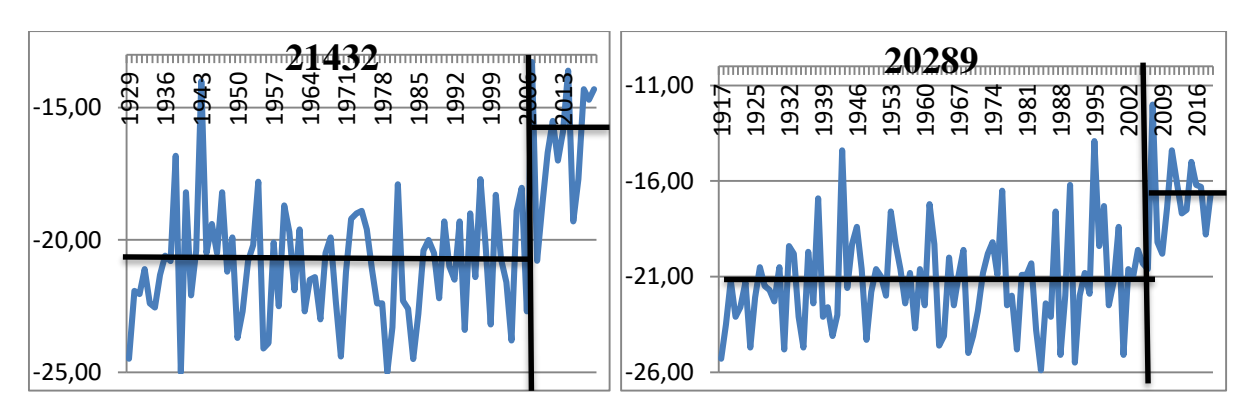


Рис 3.2 Графики временных рядов нестационарных моделей

Таблица 3.3 — Результаты расчетов по моделям временных рядов для температуры июля.

| | | 1 | 1 | 1 | | | | | 1 | |
|-------|---------------------|------|------|------|------|--------|-------|-------|-----|-------|
| Код | Им.Э.Т.Кренкеля,ГМО | ∆тр | Δст | Ftr | Fst | Год st | Год Н | Год К | n | R |
| 20046 | Визе | 0.7 | 2.8 | 1.01 | 1.06 | 1951 | 1917 | 2019 | 98 | 0.11 |
| 20069 | Голомянный | 0.0 | 0.7 | 1.00 | 1.02 | 2004 | 1931 | 2019 | 84 | 0.00 |
| 20087 | Баренцбург | 0.1 | 0.5 | 1.00 | 1.01 | 1972 | 1931 | 2019 | 84 | -0.03 |
| 20107 | Русский | 1.8 | 6.8 | 1.04 | 1.15 | 1998 | 1931 | 2018 | 86 | 0.19 |
| 20289 | им.Е.К.Федорова,ГМ0 | 0.4 | 2.2 | 1.01 | 1.05 | 1972 | 1933 | 2019 | 87 | -0.08 |
| 20292 | Им.М.В.Попова | 0.3 | 1.4 | 1.01 | 1.03 | 1971 | 1933 | 2019 | 85 | -0.07 |
| 20667 | Диксон | 6.0 | 8.8 | 1.13 | 1.20 | 2004 | 1917 | 2019 | 103 | 0.34 |
| 20674 | Малые Кармакулы | 1.9 | 6.9 | 1.04 | 1.15 | 2006 | 1917 | 2019 | 102 | 0.20 |
| 20744 | 0. Котельный | 4.0 | 4.0 | 1.09 | 1.09 | 1952 | 1879 | 2019 | 122 | 0.28 |
| 21432 | 0. Шалаурова | 3.2 | 4.5 | 1.07 | 1.10 | 1991 | 1933 | 2019 | 84 | 0.25 |
| 21647 | Саскылах | 0.5 | 1.9 | 1.01 | 1.04 | 1987 | 1929 | 2019 | 91 | 0.10 |
| 21802 | Тикси | 0.1 | 0.9 | 1.00 | 1.02 | 1972 | 1935 | 2019 | 85 | -0.05 |
| 21824 | Жилинда | 1.3 | 4.0 | 1.03 | 1.08 | 1988 | 1933 | 2018 | 86 | 0.16 |
| 21908 | Кюсюр | 0.1 | 1.1 | 1.00 | 1.02 | 1991 | 1935 | 2019 | 85 | 0.05 |
| 21921 | Чокурдах | 1.4 | 2.3 | 1.03 | 1.05 | 1931 | 1887 | 2019 | 131 | 0.17 |
| 21946 | 0. Врангеля | 2.7 | 4.0 | 1.06 | 1.09 | 1987 | 1887 | 2019 | 125 | 0.23 |
| 21982 | Вайда-Губа | 14.3 | 20.7 | 1.36 | 1.59 | 1999 | 1927 | 2019 | 89 | 0.52 |
| 22003 | Териберка | 2.5 | 3.2 | 1.05 | 1.07 | 1957 | 1890 | 2019 | 129 | 0.22 |
| 22028 | Колгуев Северный | 1.1 | 2.2 | 1.02 | 1.04 | 1999 | 1890 | 2019 | 129 | 0.15 |
| 22095 | Виртаниеми | 5.4 | 6.9 | 1.12 | 1.15 | 1952 | 1862 | 2019 | 127 | 0.32 |
| 22101 | Мурманск | 1.5 | 4.5 | 1.03 | 1.10 | 1913 | 1876 | 2019 | 143 | 0.17 |
| 22113 | Гремиха Бухта | 1.3 | 2.5 | 1.03 | 1.05 | 1913 | 1890 | 2019 | 129 | 0.16 |
| 22140 | Канин Нос | 1.9 | 3.1 | 1.04 | 1.06 | 1952 | 1862 | 2019 | 134 | 0.19 |
| 22165 | Краснощелье | 4.5 | 6.3 | 1.10 | 1.14 | 1952 | 1862 | 2019 | 128 | 0.30 |
| 22235 | Индига | 0.3 | 1.9 | 1.01 | 1.04 | 1998 | 1814 | 2019 | 205 | 0.08 |

| | _ | | _ | | _ | | | | | |
|-------|---------------------|-----|------|------|------|------|------|------|-----|------|
| 22292 | Сосновец остров | 5.2 | 7.2 | 1.11 | 1.16 | 1952 | 1862 | 2019 | 127 | 0.32 |
| 22355 | Кемь-порт | 1.5 | 5.7 | 1.03 | 1.12 | 2000 | 1856 | 2019 | 156 | 0.17 |
| 22520 | Архангельск | 0.7 | 3.7 | 1.01 | 1.08 | 1999 | 1866 | 2018 | 153 | 0.12 |
| 22550 | Койнас | 0.3 | 2.4 | 1.01 | 1.05 | 1998 | 1814 | 2019 | 205 | 0.08 |
| 22583 | Амдерма | 0.7 | 3.1 | 1.01 | 1.07 | 1998 | 1814 | 2019 | 205 | 0.12 |
| 23022 | Марресаля | 4.8 | 6.1 | 1.10 | 1.14 | 1951 | 1934 | 2018 | 85 | 0.31 |
| 23032 | Дудинка | 3.3 | 3.7 | 1.07 | 1.08 | 1953 | 1917 | 2019 | 102 | 0.25 |
| 23074 | Нарьян-Мар | 3.3 | 4.9 | 1.07 | 1.11 | 1953 | 1907 | 2017 | 101 | 0.26 |
| 23205 | Хоседа-Хард | 3.9 | 5.5 | 1.08 | 1.12 | 1952 | 1913 | 2019 | 107 | 0.28 |
| 23219 | Елецкая | 3.3 | 4.1 | 1.07 | 1.09 | 1952 | 1927 | 2019 | 93 | 0.25 |
| 23220 | Новый Порт | 2.3 | 4.1 | 1.05 | 1.09 | 1952 | 1927 | 2019 | 93 | 0.21 |
| 23242 | Тазовск | 4.3 | 5.5 | 1.09 | 1.12 | 2004 | 1933 | 2018 | 80 | 0.29 |
| 23256 | Оленек АМСГ | 6.0 | 7.5 | 1.13 | 1.17 | 1953 | 1907 | 2019 | 106 | 0.34 |
| 24125 | Сухана | 0.2 | 1.1 | 1.00 | 1.02 | 1996 | 1935 | 2019 | 85 | 0.06 |
| 24136 | Верхоянск, АМСГ | 0.8 | 1.9 | 1.02 | 1.04 | 1931 | 1910 | 2019 | 99 | 0.12 |
| 24266 | Шелагонцы | 2.0 | 3.9 | 1.04 | 1.08 | 1991 | 1887 | 2019 | 131 | 0.20 |
| 24329 | Жиганск | 0.5 | 2.8 | 1.01 | 1.06 | 1991 | 1935 | 2019 | 85 | 0.10 |
| 24343 | 0. Айон | 0.6 | 2.3 | 1.01 | 1.05 | 1931 | 1910 | 2019 | 99 | 0.11 |
| 25042 | Островное | 5.6 | 6.0 | 1.12 | 1.13 | 1971 | 1934 | 2017 | 84 | 0.33 |
| 25138 | М. Шмидта | 3.2 | 5.8 | 1.07 | 1.13 | 1987 | 1887 | 2018 | 124 | 0.25 |
| 25173 | Среднеколымск | 5.9 | 6.4 | 1.13 | 1.14 | 1953 | 1933 | 2013 | 80 | 0.34 |
| 25206 | Усть-Олой | 3.1 | 5.5 | 1.07 | 1.12 | 1987 | 1887 | 2019 | 125 | 0.25 |
| 25325 | Амгуема, 87км | 8.8 | 11.9 | 1.20 | 1.29 | 1971 | 1933 | 2017 | 84 | 0.41 |
| 25372 | Им.Э.Т.Кренкеля,ГМ0 | 8.4 | 9.4 | 1.19 | 1.22 | 1972 | 1933 | 2014 | 82 | 0.40 |

Из результатов таблицы 3.3 следует, что из 49 серий наблюдений июльских температур 1 серия с линейной моделью тренда и 2 серии с моделью ступенчатых изменений являются нестационарными при $\Delta>10\%$. Статистически значимых по критерию Фишера при уровне значимости 5% нет. Статистически значимые коэффициенты корреляции со значением R>0.26 составляют 14 строк. Примеры графиков временных рядов нестационарных моделей показаны на рисунке 3.3.

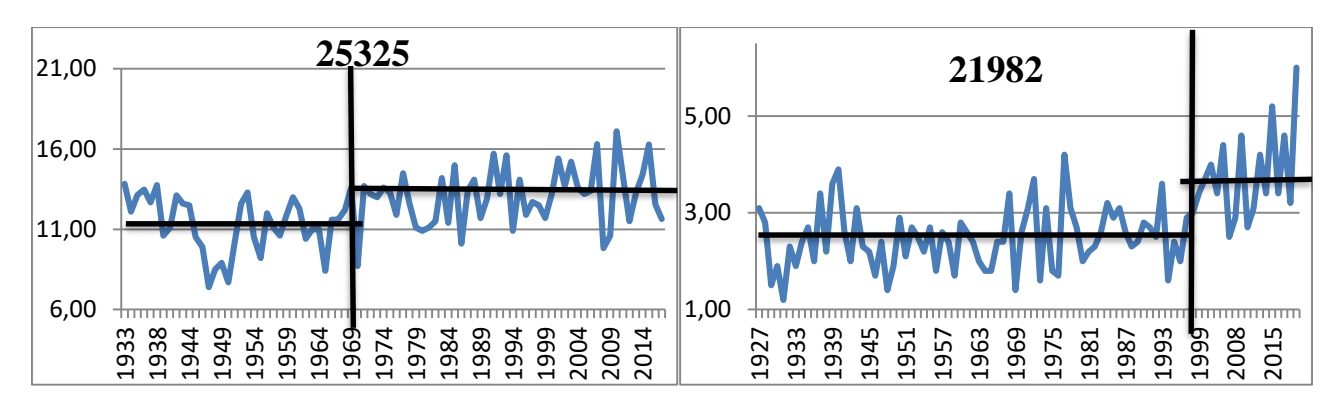


Рис 3.3 Графики временных рядов нестационарных моделей

Таблица 3.4 — Результаты расчетов по моделям временных рядов для температуры октября.

| 1 | | | | , | | | | | | |
|------|--------------------|-----|-----|-----|------|------|------|------|----|-------|
| | Им.Э.Т.Кренкеля,ГМ | | | | | Год | Год | Год | | |
| Код | 0 | ∆тр | Δст | Ftr | Fst | СТ | Н | К | n | R |
| 2004 | Divas | | 20. | 1.0 | | | | | | |
| 6 | Визе | 4.4 | 5 | 9 | 1.58 | 2007 | 1940 | 2018 | 74 | 0.29 |
| 2006 | F | | 16. | 1.0 | | | | | | |
| 9 | Голомянный | 1.0 | 6 | 2 | 1.44 | 2007 | 1930 | 2018 | 89 | 0.14 |
| 2008 | F | | 15. | 1.0 | | | | | | |
| 7 | Баренцбург | 0.6 | 1 | 1 | 1.39 | 2005 | 1930 | 2018 | 89 | 0.11 |
| 2010 | 9 | | | 1.0 | | | | | | |
| 7 | Русский | 1.0 | 5.8 | 2 | 1.13 | 2007 | 1940 | 2018 | 73 | 0.14 |
| 2028 | Им.Е.К.Федорова,ГМ | | 12. | 1.0 | | | | | | |
| 9 | 0 | 0.2 | 0 | 0 | 1.29 | 2007 | 1916 | 2018 | 94 | 0.06 |
| 2029 | | | 12. | 1.0 | | | | | | |
| 2 | Им.М.В.Попова | 0.2 | 9 | 0 | 1.32 | 2005 | 1930 | 2018 | 89 | 0.07 |
| 2066 | _ | | | 1.0 | | | | | 12 | |
| 7 | Диксон | 1.5 | 6.2 | 3 | 1.14 | 2007 | 1876 | 2018 | 5 | 0.17 |
| 2067 | | | | 1.0 | | | | | 11 | |
| 4 | Малые Кармакулы | 0.5 | 6.0 | 1 | 1.13 | 2007 | 1906 | 2018 | 3 | 0.10 |
| 2074 | 0. Котельный | | | 1.0 | | | | | 13 | |
| 4 | о. котельный | 3.2 | 6.9 | 7 | 1.15 | 2007 | 1876 | 2018 | 3 | 0.25 |
| 2143 | 0 1112 #22/2002 | | 16. | 1.0 | | | | | | |
| 2 | 0. Шалаурова | 2.3 | 2 | 5 | 1.43 | 2005 | 1929 | 2018 | 90 | 0.21 |
| 2164 | Саскылах | | 16. | 1.0 | | | | | | |
| 7 | Саскылах | 2.3 | 9 | 5 | 1.45 | 2005 | 1929 | 2018 | 89 | 0.21 |
| 2180 | Тикси | | | 1.0 | | | | | | |
| 2 | TURCU | 0.0 | 5.1 | 0 | 1.11 | 2007 | 1932 | 2018 | 87 | 0.00 |
| 2182 | Жилинда | | | 1.0 | | | | | 10 | |
| 4 | лмлипда | 0.0 | 4.5 | 0 | 1.10 | 2007 | 1909 | 2018 | 2 | 0.03 |
| 2190 | | | | 1.0 | | | | | 10 | |
| 8 | Кюсюр | 0.0 | 4.2 | 0 | 1.09 | 2007 | 1909 | 2018 | 2 | 0.02 |
| 2192 | Hamma and | | | 1.0 | | | | | 10 | |
| 1 | Чокурдах | 0.0 | 3.8 | 0 | 1.08 | 2007 | 1909 | 2018 | 2 | -0.01 |

| 2194 | | | 12. | 1.0 | | | | | 12 | |
|------|--------------------|-----|-----|-----|------|------|------|------|----|-------|
| 6 | 0. Врангеля | 3.5 | 4 | 7 | 1.30 | 2005 | 1887 | 2018 | 6 | 0.26 |
| 2198 | | | 19. | 1.1 | | | | | | |
| 2 | Вайда-Губа | 7.9 | 9 | 8 | 1.56 | 2002 | 1926 | 2018 | 93 | 0.39 |
| 2200 | | | | 1.1 | | | | | 16 | |
| 3 | Териберка | 5.7 | 6.3 | 3 | 1.14 | 1999 | 1856 | 2018 | 3 | 0.33 |
| 2202 | | | | 1.0 | | | | | 20 | |
| 8 | Колгуев Северный | 2.6 | 4.4 | 5 | 1.09 | 1999 | 1813 | 2018 | 5 | 0.22 |
| 2209 | D | | | 1.0 | | | | | 16 | |
| 5 | Виртаниеми | 2.6 | 4.8 | 6 | 1.10 | 1999 | 1856 | 2018 | 3 | 0.23 |
| 2210 | N. 4 | | | 1.0 | | | | | 20 | |
| 1 | Мурманск | 1.8 | 2.6 | 4 | 1.05 | 1996 | 1816 | 2018 | 2 | 0.19 |
| 2211 | Francisco Francis | | | 1.0 | | | | | 20 | |
| 3 | Гремиха Бухта | 1.6 | 3.0 | 3 | 1.06 | 1996 | 1816 | 2018 | 2 | 0.18 |
| 2214 | Изини Нос | | | 1.0 | | | | | 20 | |
| 0 | Канин Нос | 3.8 | 7.9 | 8 | 1.18 | 1980 | 1813 | 2018 | 5 | 0.27 |
| 2216 | Vnacuouionio | | | 1.0 | | | | | 20 | |
| 5 | Краснощелье | 1.2 | 5.1 | 2 | 1.11 | 1999 | 1813 | 2018 | 5 | 0.15 |
| 2223 | Индига | | | 1.0 | | | | | 20 | |
| 5 | индина | 1.5 | 3.1 | 3 | 1.07 | 1998 | 1813 | 2018 | 5 | 0.17 |
| 2229 | Сосновец остров | | | 1.0 | | | | | 20 | |
| 2 | сосновец остров | 0.7 | 3.3 | 1 | 1.07 | 1999 | 1813 | 2018 | 5 | 0.12 |
| 2235 | Кемь-порт | | | 1.0 | | | | | 20 | |
| 5 | пемь-порт | 2.1 | 4.4 | 4 | 1.09 | 1995 | 1813 | 2018 | 5 | 0.21 |
| 2252 | Архангельск | | | 1.0 | | | | | 20 | |
| 0 | | 2.5 | 3.8 | 5 | 1.08 | 1929 | 1813 | 2018 | 5 | 0.22 |
| 2255 | Койнас | | | 1.0 | _ | | | | 20 | _ |
| 0 | Nomice | 0.7 | 2.5 | 1 | 1.05 | 1994 | 1813 | 2018 | 5 | 0.12 |
| 2258 | Амдерма | | | 1.0 | | | | | 20 | |
| 3 | тищерии | 0.5 | 2.7 | 1 | 1.06 | 1994 | 1813 | 2018 | 5 | 0.10 |
| 2302 | Марресаля | | | 1.0 | _ | | | | 12 | |
| 2 | | 2.2 | 4.6 | 5 | 1.10 | 1999 | 1876 | 2018 | 5 | 0.21 |
| 2303 | Дудинка | | | 1.0 | | | | | 12 | |
| 2 | н унтич | 1.9 | 3.9 | 4 | 1.08 | 2001 | 1876 | 2018 | 5 | 0.20 |
| 2307 | Нарьян-Мар | | | 1.0 | | | 400- | 0015 | 11 | 0.0= |
| 4 | Taleston mak | 0.3 | 3.2 | 1 | 1.07 | 2007 | 1906 | 2018 | 3 | 0.07 |
| 2320 | Хоседа-Хард | | 2.6 | 1.0 | 4.05 | 4000 | 4040 | 2040 | 20 | 0.07 |
| 5 | | 0.2 | 2.6 | 0 | 1.05 | 1999 | 1813 | 2018 | 5 | 0.07 |
| 2321 | Елецкая | | | 1.0 | 4.00 | 4000 | 40=0 | 2215 | 13 | 0.15 |
| 9 | | 1.6 | 3.0 | 3 | 1.06 | 1999 | 1876 | 2018 | 3 | 0.18 |
| 2322 | Новый Порт | | 2.2 | 1.0 | 1.07 | 1001 | 1000 | 2040 | 15 | 0.04 |
| 0 | ···- r · | 0.1 | 3.2 | 0 | 1.07 | 1891 | 1868 | 2018 | 1 | -0.04 |
| 2324 | Тазовск | | 2.4 | 1.0 | 1.07 | 2007 | 4000 | 2040 | 13 | 0.05 |
| 2 | | 0.1 | 3.1 | 0 | 1.07 | 2007 | 1868 | 2018 | 5 | 0.05 |
| 2325 | Оленек АМСГ | | 2.0 | 1.0 | 1.00 | 2002 | 1000 | 2040 | 11 | 0.11 |
| 6 | | 0.6 | 3.0 | 1 | 1.06 | 2002 | 1906 | 2018 | 3 | 0.11 |
| 2412 | Сухана | | 2.0 | 1.0 | 1.00 | 2007 | 1000 | 2040 | 10 | 0.00 |
| 5 | - , | 0.2 | 3.8 | 0 | 1.08 | 2007 | 1909 | 2018 | 2 | 0.06 |

| 2413 | Danie allar ANACE | | | 1.0 | | | | | 10 | |
|------|--------------------|-----|-----|-----|------|------|------|------|----|-------|
| 6 | Верхоянск, АМСГ | 0.1 | 2.4 | 0 | 1.05 | 1955 | 1909 | 2018 | 2 | -0.04 |
| 2426 | | | | 1.0 | | | | | 13 | |
| 6 | Шелагонцы | 1.0 | 5.0 | 2 | 1.11 | 2005 | 1887 | 2019 | 1 | 0.14 |
| 2432 | | | | 1.0 | | | | | | |
| 9 | Жиганск | 0.3 | 3.1 | 1 | 1.07 | 2007 | 1935 | 2018 | 84 | 0.08 |
| 2434 | 0 1 V | | | 1.0 | | | | | 10 | |
| 3 | 0. Айон | 0.2 | 2.8 | 0 | 1.06 | 1952 | 1909 | 2018 | 2 | -0.07 |
| 2504 | | 10. | 21. | 1.2 | | | | | | |
| 2 | Островное | 2 | 6 | 4 | 1.63 | 2002 | 1926 | 2018 | 93 | 0.44 |
| 2513 | | | 11. | 1.1 | | | | | | |
| 8 | М. Шмидта | 5.7 | 8 | 2 | 1.28 | 2003 | 1934 | 2018 | 85 | 0.33 |
| 2517 | Среднеколымск | | 17. | 1.1 | | | | | | |
| 3 | среднеколымск | 6.8 | 5 | 5 | 1.47 | 2002 | 1926 | 2018 | 93 | 0.36 |
| 2520 | Усть-Олой | | | 1.0 | | | | | 12 | |
| 6 | усть-Олои | 3.4 | 9.9 | 7 | 1.23 | 2002 | 1887 | 2018 | 6 | 0.26 |
| 2532 | AA51/0442 97//44 | | 10. | 1.0 | | | | | | |
| 5 | Амгуема, 87км | 1.4 | 4 | 3 | 1.24 | 2002 | 1934 | 2016 | 83 | 0.17 |
| 2537 | Им.Э.Т.Кренкеля,ГМ | | 12. | 1.0 | | | | | _ | |
| 2 | 0 | 3.0 | 0 | 6 | 1.29 | 2002 | 1932 | 2014 | 83 | 0.24 |

Из результатов таблицы 3.4 следует, что из 49 серий наблюдений октябрьских температур 1 серия с линейной моделью тренда и 14 серий с моделью ступенчатых изменений являются нестационарными при Δ >10%.Статистически значимых по критерию Фишера при уровне значимости 5% нет. Статистически значимые коэффициенты корреляции со значением R > 0,26 составляют 9 строк.Примеры графиков временных рядов нестационарных моделей показаны на рис. 3.4

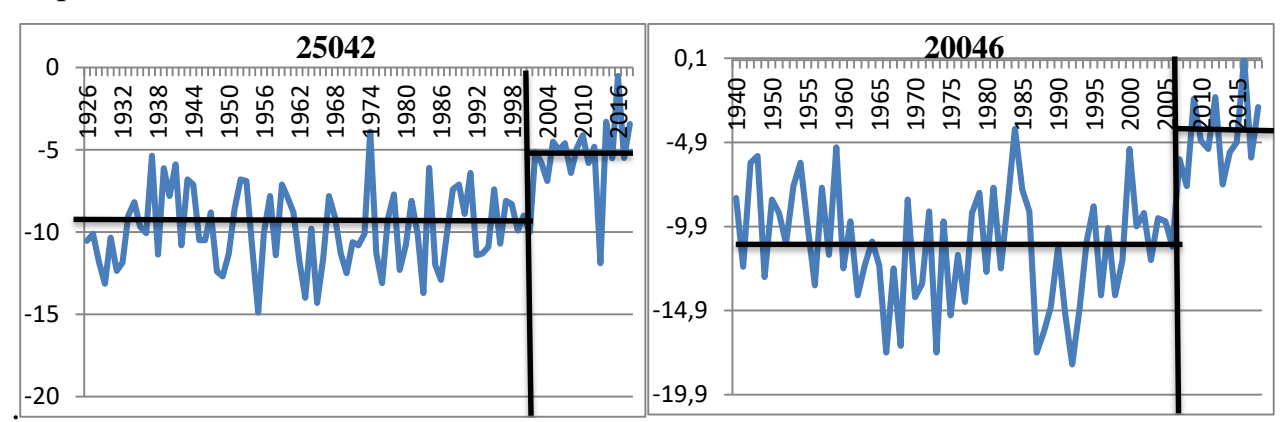


Рис 3.4. Графики временных рядов нестационарных моделей

При анализе данных таблиц за эти месяцы можно сделать вывод, что модель пошаговых изменений намного лучше модели линейного тренда, поскольку она имеет большие значения нестационарности Δ и более правильно отражает характер нестационарности, связанный с переходом от одного стационарного режима к другому.

3.3 Пространственные обобщения показателей нестационарности

Для оценки показателей нестационарности моделей линейных трендов и пошаговых изменений с использованием программы ТІМЕО 1 были взяты значения с 1960 года по последний год измерений. Именно этот период в российском Арктическом регионе связан с современным потеплением и не учитывает естественное потепление середины 20-го века.

В таблице 3.5 приведены результаты расчетов с использованием моделей временных рядов с линейным трендом (Dtr) и пошаговыми изменениями (Dst) за четыре месяца Январь (i), апрель (a), июль (i), октябрь (o). Для обобщения рассчитанных параметров были построены пространственные распределения отклонений нестационарных моделей от модели стационарной выборки в процентах (Dtr. и Dst.) и коэффициент корреляции температуры за четыре месяца, показанные на рисунках 3.5–3.8.

Таблица 3.5 - показатели нестационарности за четыре месяца.

| коп | | ота | долг ота | | Δтј | 0,% | | | Δст | 7,% | | К- | г кор | реляц | ии |
|-------|---------------------|---------|-------------|------|------|------|------|------|------|------|------|------|-------|-------|------|
| код | название | а Га | III | Я | a | И | o | Я | a | И | 0 | Я | a | И | o |
| 20046 | Им.Э.Т.Кренкеля,ГМО | 80,6 | 58,1 | 16.5 | 10.1 | 0.5 | 18.7 | 26.2 | 11.2 | 2.1 | 27.9 | 0.55 | 0.44 | -0.10 | 0.58 |
| 20069 | Визе | 79,5 | 77 | 18.6 | 12.8 | 0.0 | 18.6 | 26.9 | 17.1 | 1.1 | 29.0 | 0.58 | 0.49 | 0.00 | 0.58 |
| 20087 | Голомянный | 79,6 | 90,6 | 17.3 | 11.4 | 0.0 | 19.0 | 24.9 | 15.0 | 1.0 | 29.6 | 0.56 | 0.46 | -0.02 | 0.59 |
| 20107 | Баренцбург | 78,1 | 14,2 | 13.6 | 10.9 | 12.8 | 6.4 | 17.2 | 12.6 | 12.5 | 9.1 | 0.50 | 0.45 | 0.49 | 0.35 |
| 20289 | Русский | 77,2 | 96,6 | 12.7 | 12.7 | 0.3 | 15.0 | 19.9 | 19.2 | 3.0 | 24.8 | 0.49 | 0.49 | -0.08 | 0.53 |
| 20292 | Им.Е.К.Федорова,ГМО | 77,7 | 104,3 | 10.6 | 13.7 | 0.1 | 18.4 | 19.5 | 21.6 | 1.5 | 28.4 | 0.45 | 0.51 | -0.05 | 0.58 |
| 20667 | Им.М.В.Попова | 73,3 | 70,1 | 11.2 | 8.6 | 10.9 | 11.4 | 13.6 | 14.1 | 13.4 | 13.5 | 0.46 | 0.40 | 0.45 | 0.46 |
| 20674 | Диксон | 73,5 | 80,4 | 11.8 | 8.1 | 8.7 | 9.4 | 14.8 | 15.9 | 12.3 | 14.0 | 0.47 | 0.40 | 0.41 | 0.42 |
| 20744 | Малые Кармакулы | 72,4 | 52,7 | 8.1 | 9.7 | 0.5 | 11.1 | 16.2 | 13.7 | 2.8 | 12.7 | 0.39 | 0.43 | 0.10 | 0.46 |
| 21432 | 0. Котельный | 76 | 137,9 | 9.8 | 17.6 | 1.8 | 20.9 | 9.9 | 30.4 | 3.2 | 27.6 | 0.43 | 0.57 | 0.19 | 0.61 |
| 21647 | 0. Шалаурова | 73,2 | 143,9 | 7.5 | 19.0 | 0.3 | 22.7 | 8.4 | 27.2 | 2.0 | 31.0 | 0.38 | 0.59 | 0.08 | 0.63 |

| 21802 | Саскылах | 72 | 114,1 | 4.3 | 7.5 | 0.0 | 4.3 | 9.3 | 15.8 | 1.2 | 11.7 | 0.29 | 0.38 | 0.00 | 0.29 |
|-------|------------------|-------|--------|-----|------|------|------|------|------|------|------|-------|------|------|------|
| 21824 | Тикси | 71,6 | 128,9 | 4.4 | 5.2 | 2.1 | 7.7 | 6.7 | 11.5 | 5.4 | 12.8 | 0.29 | 0.32 | 0.00 | 0.23 |
| 21908 | Жилинда | 70,1 | 114 | 6.4 | 13.2 | 0.5 | 5.4 | 10.8 | 17.2 | 1.9 | 9.3 | 0.25 | 0.50 | 0.10 | 0.32 |
| 21921 | Кюсюр | 70,7 | 127,4 | 3.7 | 11.5 | 0.6 | 6.5 | 6.0 | 17.5 | 2.5 | 12.3 | 0.27 | 0.47 | 0.11 | 0.36 |
| 21946 | Чокурдах | 70,6 | 147,9 | 4.8 | 13.0 | 0.8 | 21.6 | 5.9 | 17.5 | 3.8 | 22.8 | 0.31 | 0.49 | 0.12 | 0.62 |
| 21982 | О. Врангеля | 71 | 182,5 | 1.9 | 21.4 | 19.3 | 21.7 | 5.0 | 24.7 | 22.0 | 26.8 | 0.19 | 0.62 | 0.59 | 0.62 |
| 22003 | Вайда-Губа | 69,9 | 32 | 1.8 | 10.7 | 0.1 | 7.0 | 5.6 | 12.5 | 2.0 | 8.7 | 0.19 | 0.45 | 0.04 | 0.37 |
| 22028 | Териберка | 69,2 | 35,1 | 0.6 | 7.5 | 0.1 | 4.5 | 3.8 | 10.6 | 2.3 | 6.7 | 0.11 | 0.38 | 0.05 | 0.30 |
| 22095 | Колгуев Северный | 69,1 | 49,2 | 2.2 | 6.4 | 1.0 | 9.2 | 5.7 | 9.6 | 4.7 | 13.3 | 0.21 | 0.35 | 0.14 | 0.42 |
| 22101 | Виртаниеми | 68,9 | 28,4 | 0.1 | 6.5 | 0.9 | 3.6 | 2.6 | 9.9 | 2.6 | 5.0 | 0.04 | 0.36 | 0.14 | 0.27 |
| 22113 | Мурманск | 69 | 33,1 | 0.3 | 5.4 | 0.3 | 3.2 | 3.2 | 7.1 | 2.1 | 5.3 | 0.08 | 0.32 | 0.08 | 0.25 |
| 22140 | Гремиха Бухта | 68,1 | 39,5 | 6.0 | 10.1 | 0.0 | 6.7 | 8.9 | 12.8 | 2.9 | 9.1 | 0.34 | 0.44 | 0.02 | 0.36 |
| 22165 | Канин Нос | 68,6 | 43,3 | 2.3 | 8.4 | 0.2 | 6.0 | 4.8 | 12.4 | 3.4 | 11.0 | 0.21 | 0.40 | 0.06 | 0.34 |
| 22235 | Краснощелье | 67,3 | 37,1 | 1.1 | 6.7 | 0.6 | 3.3 | 3.7 | 10.5 | 4.0 | 5.2 | 0.15 | 0.36 | 0.11 | 0.26 |
| 22292 | Индига | 67,7 | 48,7 | 1.5 | 4.6 | 0.9 | 7.2 | 3.2 | 8.4 | 4.1 | 10.1 | 0.17 | 0.30 | 0.13 | 0.37 |
| 22355 | Сосновец остров | 66,5 | 40,7 | 4.0 | 7.6 | 3.0 | 3.8 | 7.7 | 10.3 | 8.4 | 6.8 | 0.28 | 0.38 | 0.24 | 0.27 |
| 22520 | Кемь-порт | 64,98 | 34,8 | 3.6 | 6.4 | 2.1 | 2.7 | 6.2 | 9.3 | 7.1 | 4.8 | 0.26 | 0.35 | 0.21 | 0.23 |
| 22550 | Архангельск | 64,4 | 40,7 | 3.8 | 3.1 | 1.2 | 2.7 | 5.9 | 6.0 | 5.8 | 5.4 | 0.27 | 0.25 | 0.15 | 0.23 |
| 22583 | Койнас | 64,8 | 47,6 | 3.3 | 2.9 | 1.6 | 4.9 | 5.1 | 4.4 | 5.4 | 7.8 | 0.26 | 0.24 | 0.18 | 0.31 |
| 23022 | Амдерма | 69,8 | 61,7 | 4.2 | 4.1 | 2.8 | 7.8 | 7.9 | 8.8 | 5.4 | 9.0 | 0.29 | 0.28 | 0.24 | 0.39 |
| 23032 | Марресаля | 69,7 | 66,8 | 3.9 | 3.7 | 3.1 | 8.3 | 7.7 | 8.5 | 4.3 | 8.9 | 0.28 | 0.27 | 0.25 | 0.40 |
| 23074 | Дудинка | 69,4 | 86,2 | 2.2 | 6.8 | 1.1 | 5.3 | 5.2 | 15.2 | 3.5 | 6.9 | 0.21 | 0.36 | 0.15 | 0.32 |
| 23205 | Нарьян-Мар | 67,6 | 53 | 2.2 | 5.5 | 0.2 | 5.6 | 5.2 | 7.4 | 2.0 | 7.4 | 0.21 | 0.33 | 0.07 | 0.33 |
| 23219 | Хоседа-Хард | 67,1 | 59,4 | 0.6 | 3.7 | 1.1 | 6.3 | 1.9 | 7.5 | 3.3 | 9.0 | 0.11 | 0.27 | 0.15 | 0.35 |
| 23220 | Елецкая | 67,8 | 64,8 | 2.0 | 2.3 | 0.4 | 6.7 | 3.8 | 5.5 | 1.7 | 9.7 | 0.20 | 0.21 | 0.09 | 0.36 |
| 23242 | Новый Порт | 67,7 | 72,9 | 2.8 | 4.0 | 5.6 | 8.4 | 5.1 | 8.4 | 6.7 | 8.5 | 0.23 | 0.28 | 0.33 | 0.40 |
| 23256 | Тазовск | 67,5 | 78,7 | 2.5 | 5.5 | 1.7 | 6.8 | 4.9 | 10.8 | 3.8 | 7.7 | 0.22 | 0.33 | 0.19 | 0.36 |
| 24125 | 0ленек АМСГ | 68,5 | 112,4 | 8.9 | 10.4 | 0.5 | 5.3 | 9.8 | 14.5 | 1.5 | 9.0 | 0.41 | 0.44 | 0.10 | 0.32 |
| 24136 | Сухана | 68,62 | 118,33 | 6.9 | 16.6 | 0.5 | 1.8 | 11.0 | 16.7 | 1.8 | 6.3 | 0.36 | 0.55 | 0.10 | 0.19 |
| 24266 | Верхоянск АМСГ | 67,55 | 133,38 | 8.0 | 12.8 | 2.2 | 6.9 | 8.1 | 14.9 | 4.6 | 9.0 | 0.39 | 0.49 | 0.21 | 0.36 |
| 24329 | Шелагонцы | 66,25 | 114,28 | 5.8 | 12.0 | 1.3 | 2.2 | 9.4 | 13.9 | 3.8 | 5.2 | 0.34 | 0.48 | 0.16 | 0.21 |
| 24343 | Жиганск | 66,77 | 123,4 | 3.8 | 15.9 | 0.6 | 2.0 | 5.9 | 15.1 | 2.0 | 7.6 | 0.27 | 0.54 | 0.11 | 0.20 |
| 25042 | 0. Айон | 69,8 | 168,7 | 1.4 | 17.4 | 4.2 | 22.4 | 4.0 | 17.1 | 4.4 | 28.8 | 0.17 | 0.56 | 0.29 | 0.63 |
| 25138 | Островное | 68,12 | 164,16 | 0.4 | 13.3 | 3.6 | 14.9 | 1.1 | 13.9 | 5.2 | 14.6 | 0.09 | 0.50 | 0.27 | 0.52 |
| 25173 | М. Шмидта | 68,9 | 181,4 | 0.3 | 14.0 | 1.5 | 19.0 | 4.4 | 15.9 | 3.4 | 24.4 | 0.07 | 0.51 | 0.17 | 0.59 |
| 25206 | Среднеколымск | 67,45 | 153 | 1.7 | 12.7 | 2.4 | 18.7 | 5.4 | 17.0 | 5.3 | 16.7 | 0.19 | 0.49 | 0.22 | 0.58 |
| 25325 | Усть-Олой | 66,55 | 159,42 | 1.1 | 12.7 | 7.3 | 14.4 | 4.2 | 14.1 | 8.5 | 18.7 | -0.15 | 0.49 | 0.38 | 0.52 |
| 25372 | Амгуема | 67 | 182,9 | 0.1 | 12.4 | 4.2 | 15.3 | 2.9 | 13.5 | 5.7 | 18.4 | 0.03 | 0.48 | 0.29 | 0.53 |



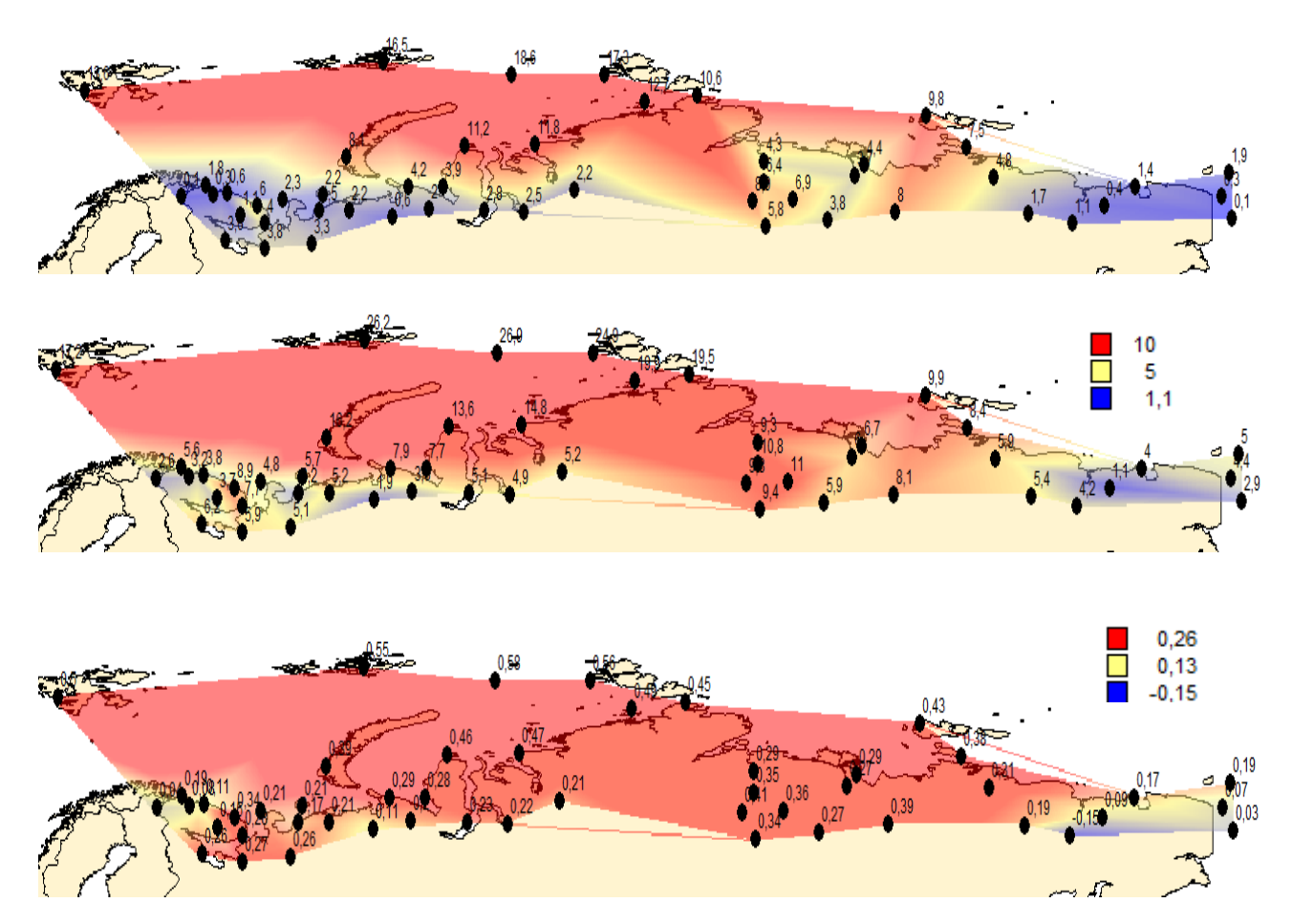
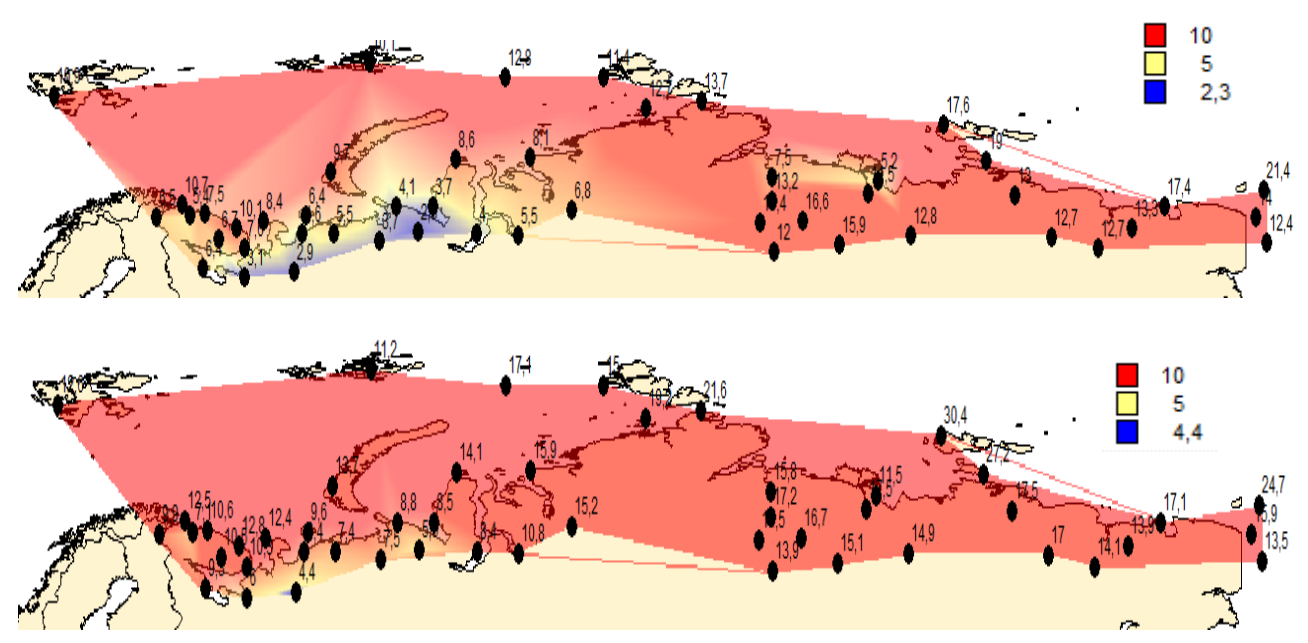


Рис
3,5 Пространственные распределения отклонений нестационарных моделей от модели стационарной выборки Δ тр. в % , Δ ст. в % и коэффициент корреляции для температуры января.



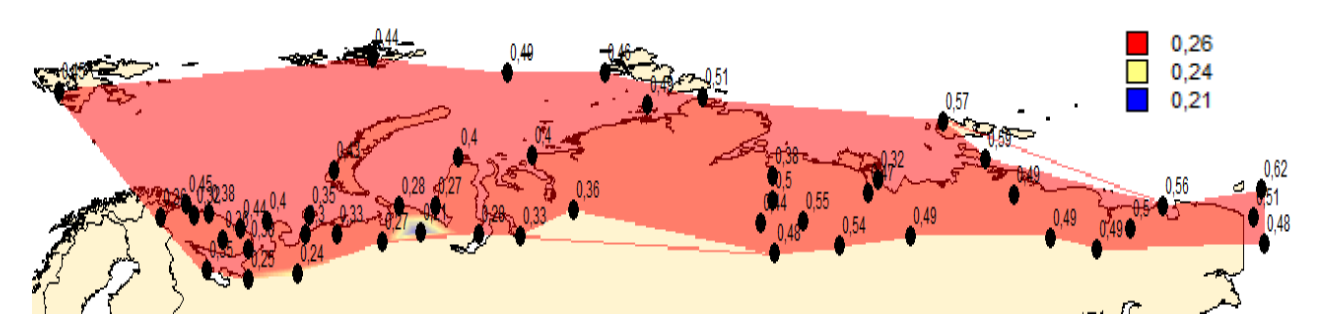


Рис3,6 Пространственные распределения отклонений нестационарных моделей от модели стационарной выборки Δ тр. в %, Δ ст. в % и коэффициента корреляции (нижний) для температуры апреля.

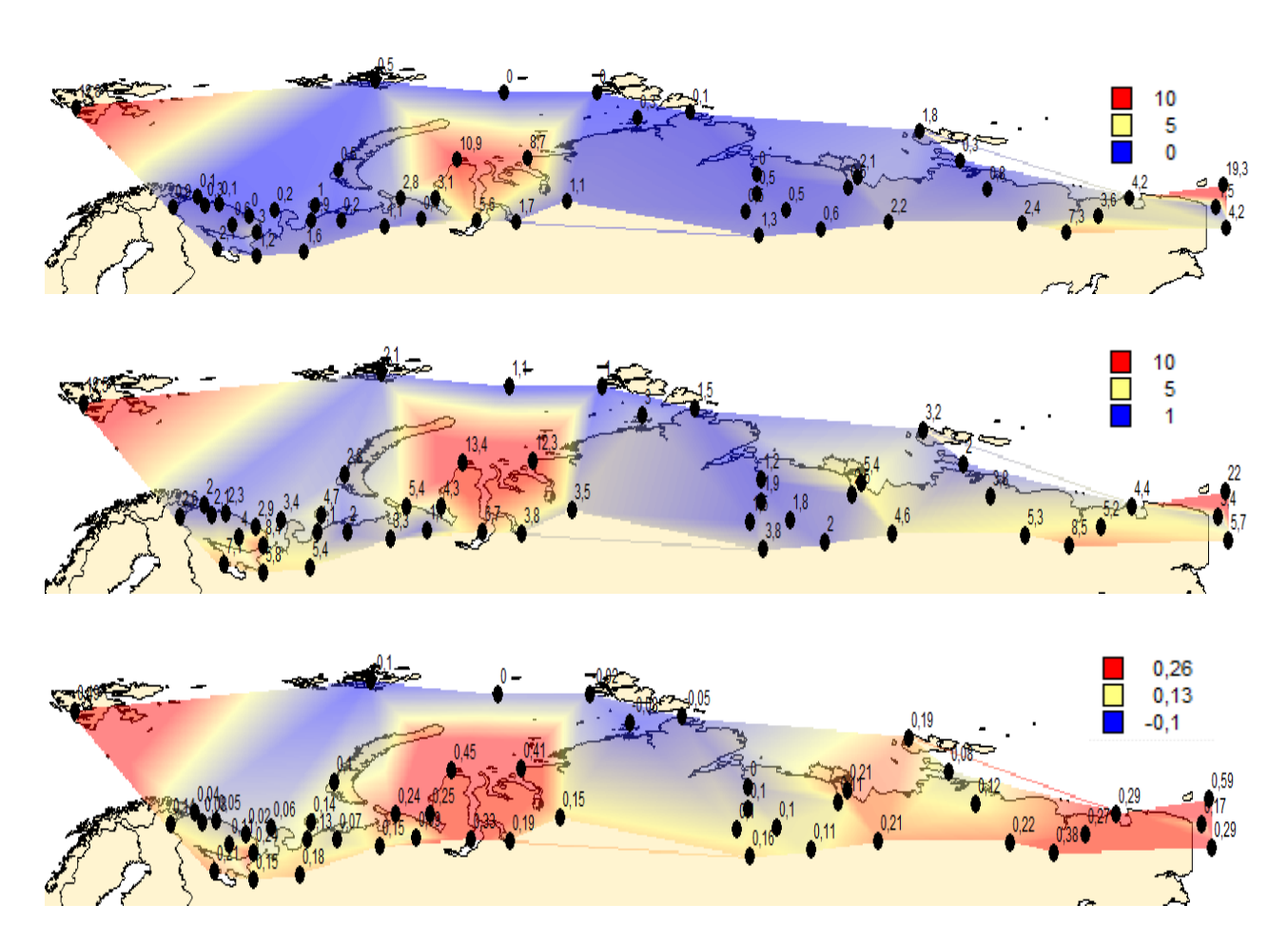


Рис3,7 Пространственные распределения отклонений нестационарных моделей от модели стационарной выборки Δ тр. в %, Δ ст. и коэффициента корреляции для температуры июля.

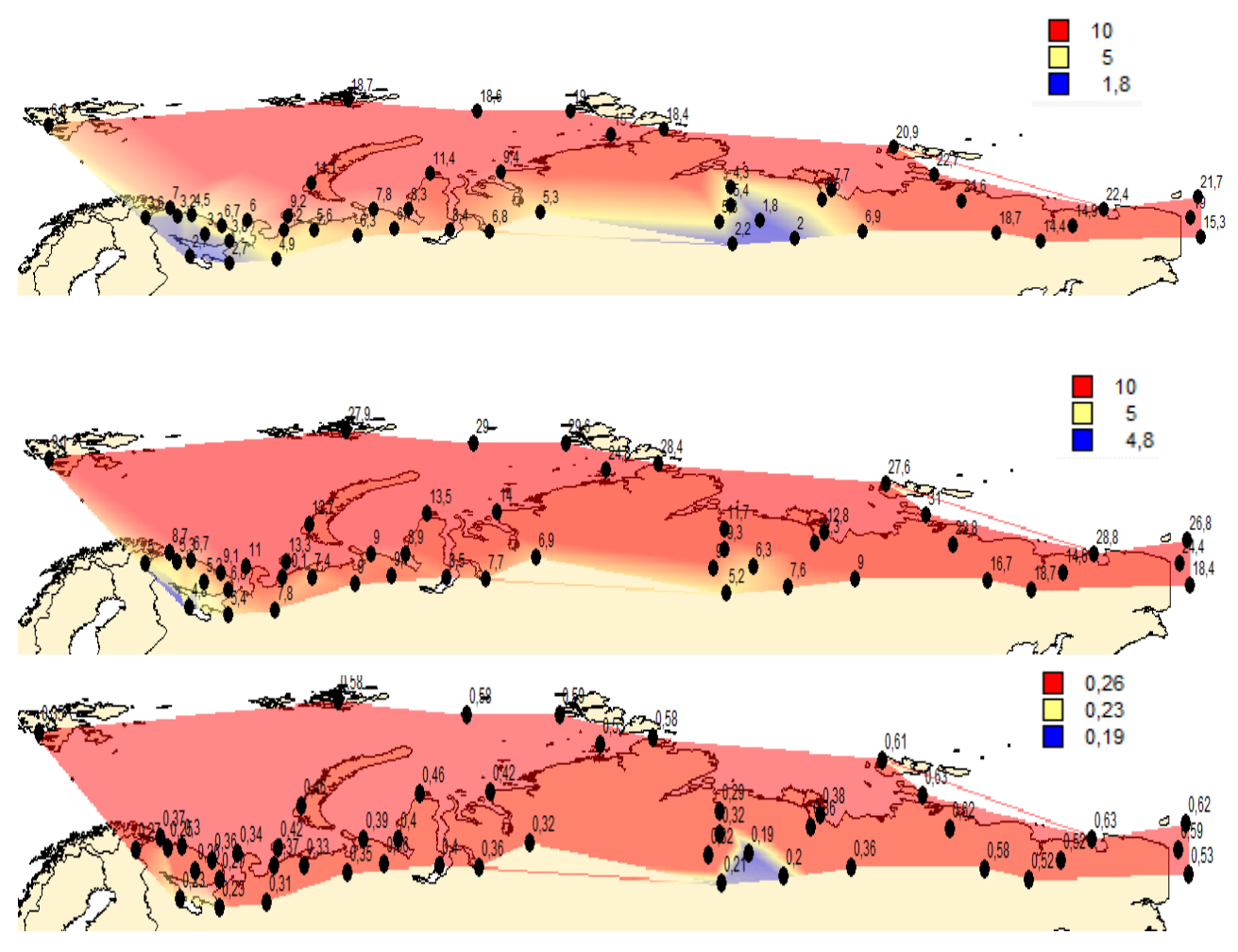


Рис3,8 Пространственные распределения отклонений нестационарных моделей от модели стационарной выборки Δ тр. в %, Δ ст. и коэффициента корреляции для температуры октября.

Исходя из данных таблицы и анализируя пространственные распределения видно, что температура на всей территории российской Арктики проявляет нестационарность во все месяцы. Также видно, что нестационарность, определенная по модели ступенчатых изменений, имеет большие по величине показатели Δ , чем по модели линейного тренда.

В январе месяце нестационарность проявляется на северной части данной территории, то есть на островах, а по побережью с западной и восточной стороны данные стационарны. Коэффициент корреляции ведет себя аналогично, высокие значения (>0.26) проявляются на всей северной и центральной части территории. Станция Визе (20069) имеет самый высокий показатель нестационарности по

модели ступенчатых изменений 26,9%, а также коэффициент корреляции равный 0,59.

В апреле наблюдается самая высокая нестационарность, которая распределяется по всей территории. Стационарность с минимальным значением 4.4% наблюдается на станции Койнас (22583), на западной части российской Арктики. Максимум наблюдается на станции о. Котельный (21432) — 30,4. Распределение значимых (>0.26) коэффициентов корреляции наблюдается также по всей территории, с максимальным значением 0.62 на станции о. Врангеля (21982). Минимальные, но близкие к значимому коэффициенты на восточной части территории в частности на станции Елецкая (23220) — 0.21.

Температура в июле месяце наиболее стационарна, нестационарность проявляется только на 4 станциях, при этом показатели невысокие. Максимальные значения наблюдаются на востоке территории — 22.0% на станции о. Врангеля (21982). Коэффициент корреляции также имеет максимальное значение на станции о. Врангеля (21982) 0.59 и распределение аналогичное показателям нестационарности.

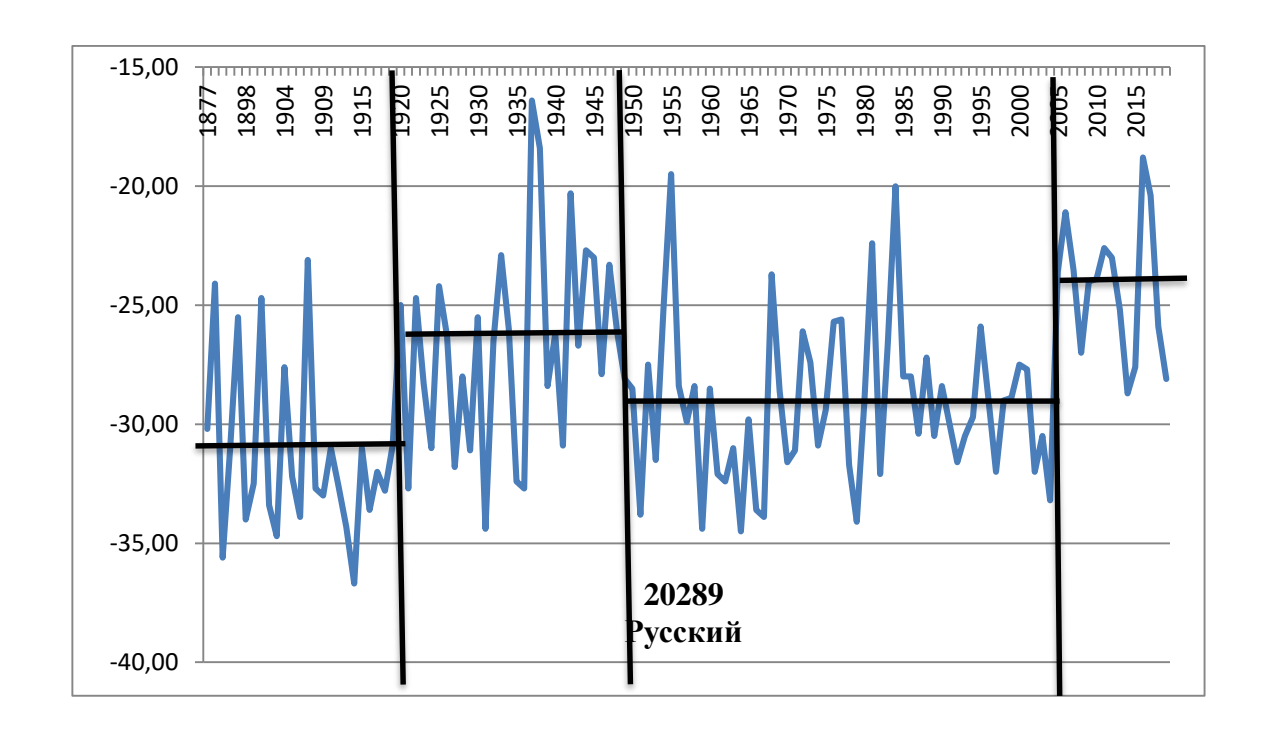
В октябре месяце, как и в апреле, нестационарность наблюдается также по всей территории, с минимальными значениями на восточном побережье 4.4% на станции Кемь-Порт (22520), а максимум — 29,6% на станции Голомянный (20087). Коэффициент корреляции имеет высокие значения, которые равномерно распределены по всей территории. Минимальные, но близкие к значимому (0.26) коэффициенты наблюдаются на юго-западе территории. Максимум — 0.63 на станции о. Шалаурова (21647).

Исходя из таких распределений в разные сезоны года, можно прийти к выводу, что современное потепление сильнее всего проявляется в переходные месяцы, то есть в апреле и октябре. В эти периоды идет перестроение с зимней циркуляции атмосферы к летней и наоборот. Также видно, что в эти месяцы меньше откликаются на потепление станции, расположенные на восточном побережье территории, это может быть связано с тем, что горы находящиеся на скандинавском полуострове препятствуют прохождению западного переноса.

В летний период современное потепление отмечается только на островах западной и восточной части региона. В зимний период потепление наблюдается также на островах западной и северной части территории российской Арктики. Причины разного локального потепления зимой и летом будут разные . Зимой — это продолжение потепления всей западной части Арктики за счет усиления западного переноса. Летом причиной может быть потепление с Тихого океана.

3.5 Сравнение современного потепления Арктики с потеплением 1920-50 годов

Чтобы определить естественное потепление 1920-50-х годов, ряды распределения среднемесячной температуры за январь, апрель, июль и октябрь были урезаны до 1960 года, так что линейные трендовые модели и пошаговые изменения не выявили современного потепления. Также для сравнения были взяты данные о современном потеплении, без учета естественного, то есть периода с 1960 года до окончания измерений. Результаты моделирования приведены в Приложении 1.



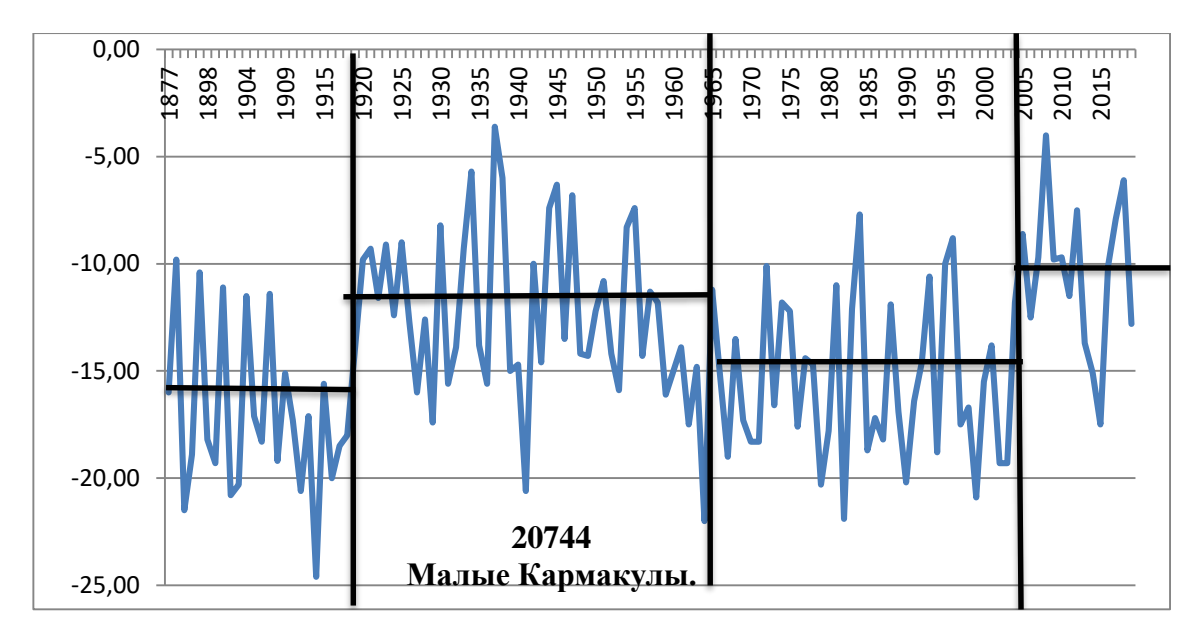


Рис3,9 графики температуры января на станциях.

Оценка раницы современного потепления и естественного потепления 1920-40 произведен расчет разницы температур по следующим формулам:

$$\Delta_{\rm I} = \bar{t}_{1920-50} - \bar{t}_{1950-2000} \tag{8}$$

$$\Delta_{\rm II} = \bar{t}_{2000-19} - \bar{t}_{1950-2000} \tag{9}$$

$$\Delta' = \Delta_{\rm II} - \Delta_{\rm I},\tag{10}$$

Где ΔI - разница между средними температурами естественного потепления Арктики 20-50-х годов и средними температурами стационарного периода, ΔII - разница между средними температурами современного потепления и средними температурами стационарного периода, Δ' - разница температур современного потепления и естественно.

Результаты расчетов представлены в таблице 3.7 за январь. Также на основе табличных данных строятся пространственные распределения ΔI , ΔII , Δ' .

Во-первых, представлено пространственное распределение различий между средними температурами естественного потепления Арктики в 20-50-е годы и средними температурами стационарного периода похолодания, т.е. ΔI . Затем пространственное распределение различий между средними

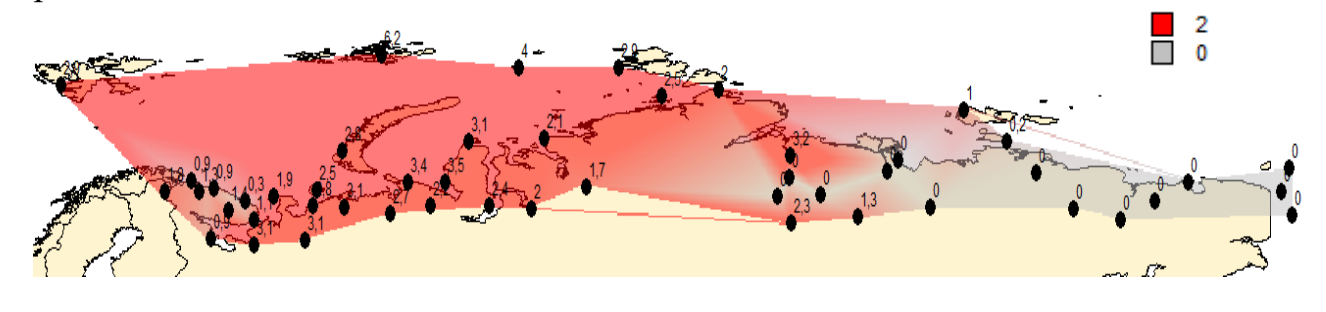
температурами современного потепления и средними температурами стационарного периода похолодания, т.е. ΔII . А на третьем рисунке показаны различия ΔII и ΔI . Предполагается, что вклад природного компонента в современное потепление такой же, как и при предыдущем естественном потеплении, и поэтому можно сделать вывод, что результирующая разница температур характеризует минимальный антропогенный вклад в современное потепление.

Таблица 3.7 — Сравнение текущего потепления Арктики в январе с потеплением 1920-40 годов.

| код | название | широта | долгота | $\Delta_{ m I}$ | $\Delta_{ m II}$ | Δ' |
|-------|---------------------|--------|---------|-----------------|------------------|------|
| 20046 | Им.Э.Т.Кренкеля,ГМО | 80,6 | 58,1 | 6,2 | 9,7 | 3,5 |
| 20069 | Визе | 79,5 | 77 | 4,0 | 8,6 | 4,6 |
| 20087 | Голомянный | 79,6 | 90,6 | 2,9 | 6,0 | 3,1 |
| 20107 | Баренцбург | 78,1 | 14,2 | 2,9 | 6,2 | 3,3 |
| 20289 | Русский | 77,2 | 96,6 | 2,5 | 5,0 | 2,5 |
| 20292 | Им.Е.К.Федорова,ГМО | 77,7 | 104,3 | 2,0 | 4,8 | 2,9 |
| 20667 | Им.М.В.Попова | 73,3 | 70,1 | 3,1 | 5,1 | 2,0 |
| 20674 | Диксон | 73,5 | 80,4 | 2,1 | 4,2 | 2,1 |
| 20744 | Малые Кармакулы | 72,4 | 52,7 | 2,8 | 4,3 | 1,4 |
| 21432 | О. Котельный | 76 | 137,9 | 1 | 2,7 | 1,7 |
| 21647 | О. Шалаурова | 73,2 | 143,9 | 0,2 | 2 | 1,8 |
| 21802 | Саскылах | 72 | 114,1 | 3,2 | 4,2 | 1 |
| 21824 | Тикси | 71,6 | 128,9 | 0 | 2,5 | 0 |
| 21908 | Жилинда | 70,1 | 114 | 0 | 4,3 | 0 |
| 21921 | Кюсюр | 70,7 | 127,4 | 0 | 2,6 | 0 |
| 21946 | Чокурдах | 70,6 | 147,9 | 0 | 1,8 | 0 |
| 21982 | О. Врангеля | 71 | 182,5 | 0 | 2 | 0 |
| 22003 | Вайда-Губа | 69,9 | 32 | 0,9 | 0,9 | 0,0 |
| 22028 | Териберка | 69,2 | 35,1 | 0,9 | 0,9 | 0 |
| 22095 | Колгуев Северный | 69,1 | 49,2 | 2,5 | 2,6 | 0,1 |
| 22101 | Виртаниеми | 68,9 | 28,4 | 1,8 | 1,2 | -0,5 |
| 22113 | Мурманск | 69 | 33,1 | 1,3 | 1,0 | -0,2 |
| 22140 | Гремиха Бухта | 68,1 | 39,5 | 0,3 | 1,6 | 1,3 |
| 22165 | Канин Нос | 68,6 | 43,3 | 1,9 | 1,7 | -0,2 |
| 22235 | Краснощелье | 67,3 | 37,1 | 1,4 | 1,0 | -0,4 |
| 22292 | Индига | 67,7 | 48,7 | 2,8 | 2,1 | -0,7 |
| 22355 | Сосновец остров | 66,5 | 40,7 | 1,1 | 1,8 | 0,7 |

| 22520 | Кемь-порт | 64,98 | 34,8 | 0,9 | 1,8 | 1,0 |
|-------|----------------|-------|--------|-----|-----|------|
| 22550 | Архангельск | 64,4 | 40,7 | 3,1 | 3,3 | 0,2 |
| 22583 | Койнас | 64,8 | 47,6 | 3,1 | 3,3 | 0,2 |
| 23022 | Амдерма | 69,8 | 61,7 | 3,4 | 3,9 | 0,4 |
| 23032 | Марресаля | 69,7 | 66,8 | 3,5 | 3,9 | 0,4 |
| 23074 | Дудинка | 69,4 | 86,2 | 1,7 | 2,2 | 0,5 |
| 23205 | Нарьян-Мар | 67,6 | 53 | 3,1 | 2,9 | -0,2 |
| 23219 | Хоседа-Хард | 67,1 | 59,4 | 2,7 | 1,2 | -1,5 |
| 23220 | Елецкая | 67,8 | 64,8 | 2,2 | 1,9 | -0,3 |
| 23242 | Новый Порт | 67,7 | 72,9 | 2,4 | 2,6 | 0,2 |
| 23256 | Тазовск | 67,5 | 78,7 | 2,0 | 2,4 | 0,3 |
| 24125 | 0ленек АМСГ | 68,5 | 112,4 | 0 | 5,5 | 0 |
| 24136 | Сухана | 68,62 | 118,33 | 0 | 3,6 | 0 |
| 24266 | Верхоянск АМСГ | 67,55 | 133,38 | 0 | 2,5 | 0 |
| 24329 | Шелагонцы | 66,25 | 114,28 | 2,3 | 4,1 | 1,8 |
| 24343 | Жиганск | 66,77 | 123,4 | 1,3 | 2,6 | 1,3 |
| 25042 | 0. Айон | 69,8 | 168,7 | 0 | 1,8 | 0 |
| 25138 | Островное | 68,12 | 164,16 | 0 | 1 | 0 |
| 25173 | М. Шмидта | 68,9 | 181,4 | 0 | 1,9 | 0 |
| 25206 | Среднеколымск | 67,45 | 153 | 0 | 1,7 | 0 |
| 25325 | Усть-Олой | 66,55 | 159,42 | 0 | 0,5 | 0 |
| 25372 | Амгуема | 67 | 182,9 | 0 | 3,2 | 0 |

Исходя из того, что естественного потепления в январе почти не наблюдалось, значения ΔI оказались очень малыми и близкими к 0°. Для удобства построения на таких станциях мы примем их равными 0. Также, при построении Δ' , на станциях, где не наблюдалось естественного потепления, разница между современным и естественным потеплением учитываться не будет, и значения также принимаются равными 0, поскольку ясно, что современное потепление отражает эту разницу. Результаты пространственного распределения показаны на рис. 3.10.



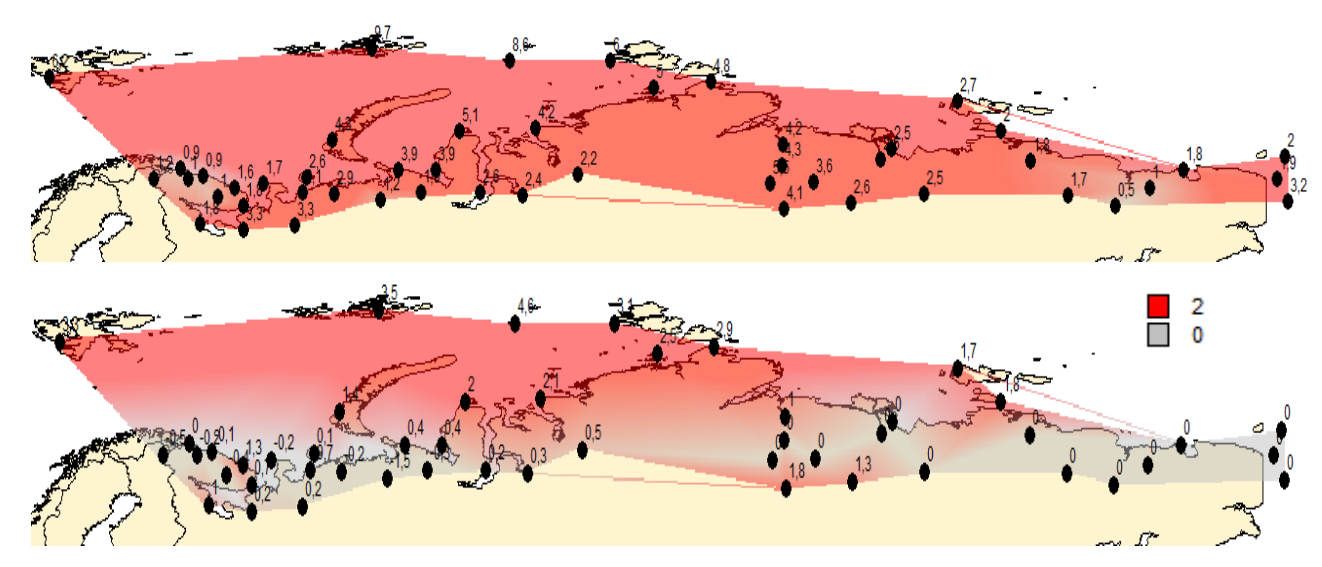
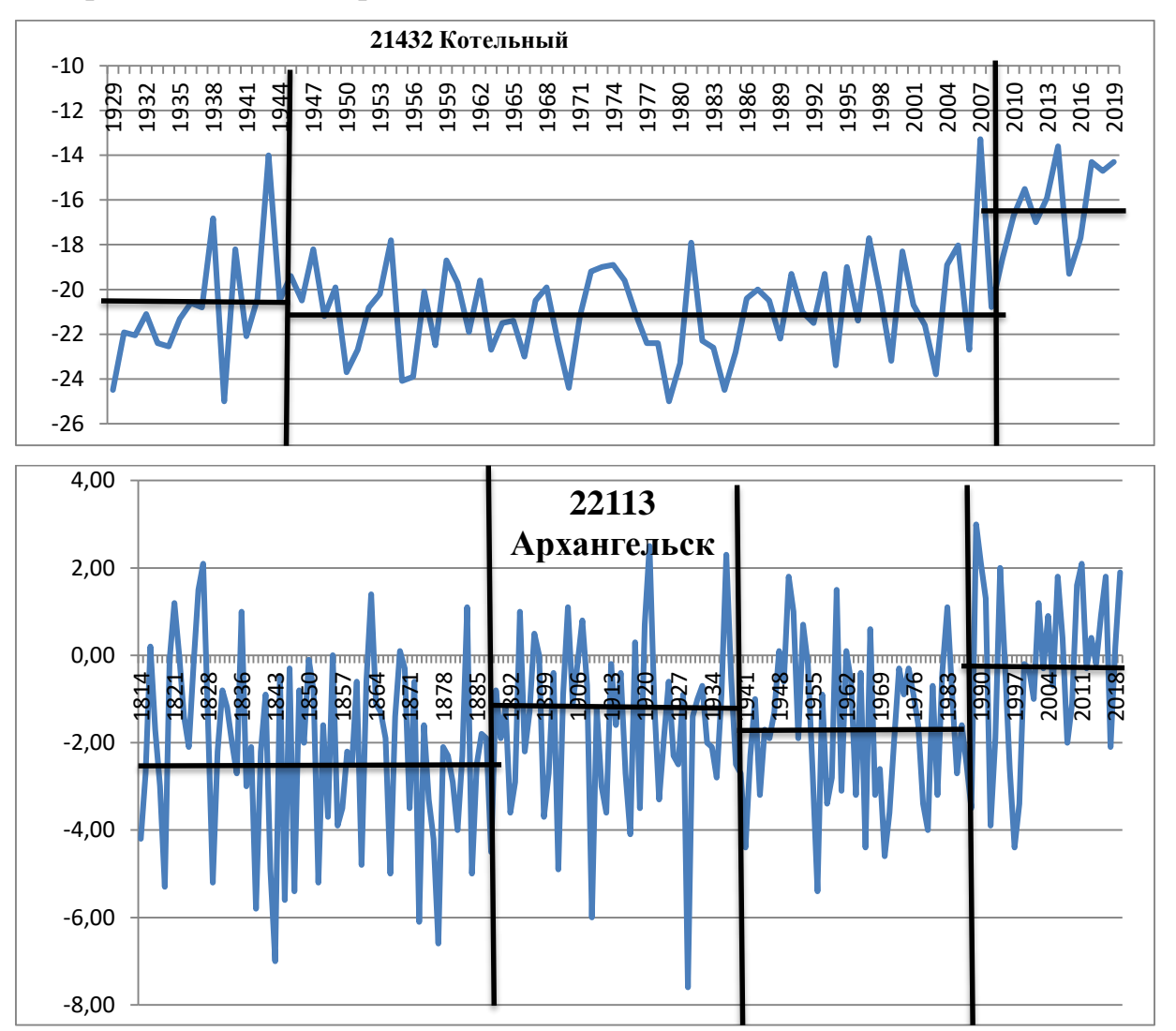


рис3,10. Пространственное распределение $\Delta_{\rm I}, \Delta_{\rm II}, \Delta'$ для температур января.

Аналогичные результаты для температуры апреля приведены в Приложении 2 и на рис.3.11 и 3.12.



Рис,11 Временные графики температуры апреля на станциях.

Таблица 3.9 — Сравнение современного потепления Арктики в апреле с потеплением прошлого века относительно холодного периода.

| код | название | широта | долгота | $\Delta_{ m I}$ | $\Delta_{ m II}$ | Δ' |
|-------|---------------------|--------|---------|-----------------|------------------|-------|
| 20046 | Им.Э.Т.Кренкеля,ГМО | 80,6 | 58,1 | 3,28 | 2.6 | -0,67 |
| 20069 | Визе | 79,5 | 77 | 0 | 4,6 | 0 |
| 20087 | Голомянный | 79,6 | 90,6 | 0 | 4,2 | 0 |
| 20107 | Баренцбург | 78,1 | 14,2 | 0,6 | 2,6 | 2,0 |
| 20289 | Русский | 77,2 | 96,6 | 0,1 | 4,5 | 4,4 |
| 20292 | Им.Е.К.Федорова,ГМО | 77,7 | 104,3 | 0,8 | 4,8 | 4,0 |
| 20667 | Им.М.В.Попова | 73,3 | 70,1 | 0 | 4,2 | 0 |
| 20674 | Диксон | 73,5 | 80,4 | 0 | 4,4 | 0 |
| 20744 | Малые Кармакулы | 72,4 | 52,7 | 0 | 3,4 | 0 |
| 21432 | 0. Котельный | 76 | 137,9 | 0,5 | 4,9 | 4,4 |
| 21647 | 0. Шалаурова | 73,2 | 143,9 | 0,5 | 4,5 | 4,0 |
| 21802 | Саскылах | 72 | 114,1 | 1,4 | 4,6 | 3,2 |
| 21824 | Тикси | 71,6 | 128,9 | 0,9 | 4,6 | 3,7 |
| 21908 | Жилинда | 70,1 | 114 | 1,0 | 4,7 | 3,7 |
| 21921 | Кюсюр | 70,7 | 127,4 | 0,3 | 4,6 | 4,3 |
| 21946 | Чокурдах | 70,6 | 147,9 | 0,1 | 4,7 | 4,6 |
| 21982 | 0. Врангеля | 71 | 182,5 | 1,2 | 2,7 | 1,5 |
| 22003 | Вайда-Губа | 69,9 | 32 | 0 | 1,7 | 0 |
| 22028 | Териберка | 69,2 | 35,1 | 0 | 1,8 | 0 |
| 22095 | Колгуев Северный | 69,1 | 49,2 | 0 | 1,8 | 0 |
| 22101 | Виртаниеми | 68,9 | 28,4 | 0 | 1,8 | 0 |
| 22113 | Мурманск | 69 | 33,1 | 0,2 | 1,6 | 1,4 |
| 22140 | Гремиха Бухта | 68,1 | 39,5 | 0 | 2,0 | 0 |
| 22165 | Канин Нос | 68,6 | 43,3 | 0 | 2.1 | 0 |
| 22235 | Краснощелье | 67,3 | 37,1 | 0,1 | 2,3 | 2,2 |
| 22292 | Индига | 67,7 | 48,7 | 0 | 2,4 | 0 |
| 22355 | Сосновец остров | 66,5 | 40,7 | 0 | 1,8 | 0 |
| 22520 | Кемь-порт | 64,98 | 34,8 | 0 | 1,9 | 0 |
| 22550 | Архангельск | 64,40 | 40,7 | 0 | 1,4 | 0 |
| 22583 | Койнас | 64,80 | 47,6 | 0 | 1,1 | 0 |
| 23022 | Амдерма | 69,80 | 61,7 | 0 | 3,6 | 0 |
| 23032 | Марресаля | 69,70 | 66,8 | 0 | 3,4 | 0 |
| 23074 | Дудинка | 69,40 | 86,2 | 0 | 5,2 | 0 |
| 23205 | Нарьян-Мар | 67,60 | 53 | 0,1 | 2,1 | 2,0 |
| 23219 | Хоседа-Хард | 67,10 | 59,4 | 0 | 3,5 | 0 |
| 23220 | Елецкая | 67,80 | 64,8 | 0 | 2,9 | 0 |
| 23242 | Новый Порт | 67,70 | 72,9 | 0 | 3,6 | 0 |
| 23256 | Тазовск | 67,50 | 78,7 | 0,7 | 5,0 | 4,3 |

| 24125 | 0ленек | 68,50 | 112,4 | 1,1 | 4,5 | 3,4 |
|-------|---------------|--------|--------|-----|-----|-----|
| 24136 | Сухана | 68,62 | 118,33 | 0,6 | 4,3 | 3,8 |
| 24266 | Верхоянск | 67,550 | 133,38 | 0,2 | 4,7 | 4,5 |
| 24329 | Шелагонцы | 66,250 | 114,28 | 1,1 | 4,2 | 3,1 |
| 24343 | Жиганск | 66,770 | 123,4 | 0,6 | 4,5 | 3,8 |
| 25042 | 0. Айон | 69,80 | 168,7 | 0,5 | 3,9 | 3,5 |
| 25138 | Островное | 68,120 | 164,16 | 1,1 | 3,4 | 2,2 |
| 25173 | М. Шмидта | 68,90 | 181,4 | 0,5 | 3,2 | 2,7 |
| 25206 | Среднеколымск | 67,450 | 153 | 0,1 | 5,0 | 4,9 |
| 25325 | Усть-Олой | 66,550 | 159,42 | 2,3 | 2,5 | 0,2 |
| 25372 | Амгуема, | 67.0 | 182,9 | 1,7 | 2,8 | 1,2 |

Результаты пространственного распределения на основе данной таблицы

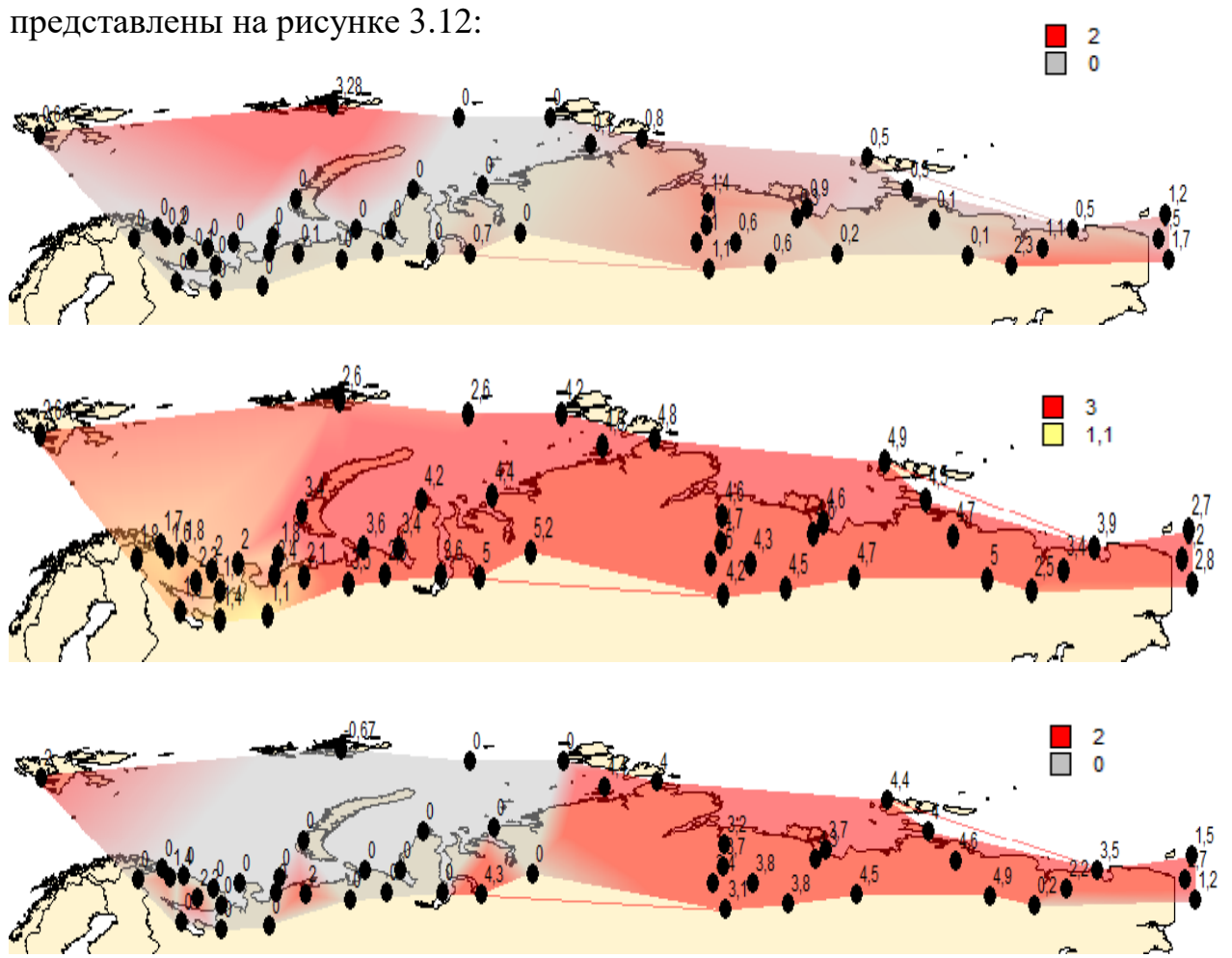


Рис3,12. Пространственное распределение $\Delta_{\rm I},~\Delta_{\rm II},~\Delta'$ для температур апреля.

Аналогичные результаты для температуры июля приведены в Приложении 3 и на рис.3.13 и 3.14.

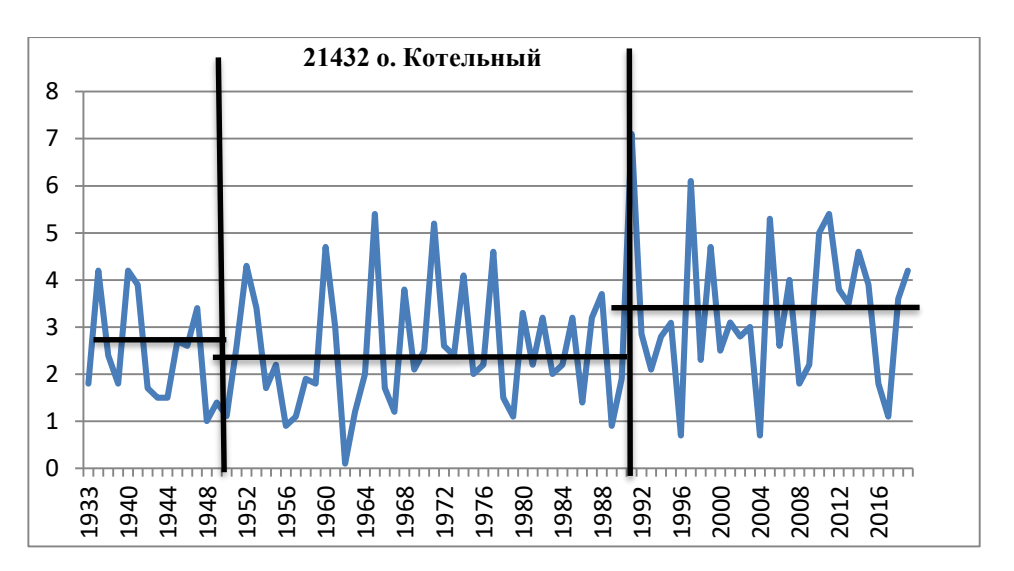


Рис3,13 Временные графики температуры июля на станциях.

Таблица 3.11 — Сравнение современного потепления Арктики в июле с потеплением прошлого века относительно холодного периода.

| код | название | широта | долгота | $\Delta_{ m I}$ | $\Delta_{ m II}$ | Δ' |
|-------|---------------------|--------|---------|-----------------|------------------|------|
| 20046 | .Кренкеля | 80,6 | 58,1 | 0,1 | 0,1 | 0,0 |
| 20069 | Визе | 79,5 | 77 | 0,0 | 0,1 | 0,0 |
| 20087 | Голомянный | 79,6 | 90,6 | 0,1 | 0,1 | 0,0 |
| 20107 | Баренцбург | 78,1 | 14,2 | 0,7 | 1,0 | 0,3 |
| 20289 | Русский | 77,2 | 96,6 | 0,0 | 0,1 | 0,0 |
| 20292 | Им.Е.К.Федорова,ГМО | 77,7 | 104,3 | 0,1 | 0,1 | 0,0 |
| 20667 | Им.М.В.Попова | 73,3 | 70,1 | 0 | 1,1 | 0 |
| 20674 | Диксон | 73,5 | 80,4 | 0,3 | 2,0 | 1,7 |
| 20744 | Малые Кармакулы | 72,4 | 52,7 | 0 | 0,4 | 0 |
| 21432 | 0. Котельный | 76 | 137,9 | 0,2 | 0,9 | 0,7 |
| 21647 | 0. Шалаурова | 73,2 | 143,9 | 0,6 | 0,5 | 0 |
| 21802 | Саскылах | 72 | 114,1 | 0 | 0 | 0 |
| 21824 | Тикси | 71,6 | 128,9 | 1 | 1,2 | 0,2 |
| 21908 | Жилинда | 70,1 | 114 | 0,5 | 0,7 | 0,2 |
| 21921 | Кюсюр | 70,7 | 127,4 | 0 | 0,7 | 0 |
| 21946 | Чокурдах | 70,6 | 147,9 | 0 | 1 | 0 |
| 21982 | 0. Врангеля | 71 | 182,5 | 0 | 1,3 | 0 |
| 22003 | Вайда-Губа | 69,9 | 32 | 0 | 0,9 | 0 |
| 22028 | Териберка | 69,2 | 35,1 | 0,7 | 1,3 | 0,6 |
| 22095 | Колгуев Северный | 69,1 | 49,2 | 0 | 1,2 | 0 |
| 22101 | Виртаниеми | 68,9 | 28,4 | 1,3 | 1,0 | -0,3 |
| 22113 | Мурманск | 69 | 33,1 | 0,3 | 1,1 | 0,8 |
| 22140 | Гремиха Бухта | 68,1 | 39,5 | 0 | 1,0 | 0 |
| 22165 | Канин Нос | 68,6 | 43,3 | 0 | 1,2 | 0 |

| 22235 | Краснощелье | 67,3 | 37,1 | 0,0 | 1,3 | 0 |
|-------|-----------------|-------|--------|-----|-----|-----|
| 22292 | Индига | 67,7 | 48,7 | 0 | 1,6 | 0,6 |
| 22355 | Сосновец остров | 66,5 | 40,7 | 0 | 1,3 | 0 |
| 22520 | Кемь-порт | 64,98 | 34,8 | 0 | 1,2 | 0 |
| 22550 | Архангельск | 64,4 | 40,7 | 0,1 | 1,6 | 1,5 |
| 22583 | Койнас | 64,8 | 47,6 | 0 | 1,4 | 0 |
| 23022 | Амдерма | 69,8 | 61,7 | 0 | 1,4 | 0 |
| 23032 | Марресаля | 69,7 | 66,8 | 0 | 0,8 | 0 |
| 23074 | Дудинка | 69,4 | 86,2 | 0 | 1,2 | 0 |
| 23205 | Нарьян-Мар | 67,6 | 53 | 0 | 1,6 | 0 |
| 23219 | Хоседа-Хард | 67,1 | 59,4 | 0 | 1,3 | 0 |
| 23220 | Елецкая | 67,8 | 64,8 | 0 | 0,4 | 0 |
| 23242 | Новый Порт | 67,7 | 72,9 | 0,0 | 1,7 | 0 |
| 23256 | Тазовск | 67,5 | 78,7 | 0 | 0,5 | 0 |
| 24125 | Оленек, АМСГ | 68,5 | 112,4 | 0,7 | 0,8 | 0,1 |
| 24136 | Сухана | 68,62 | 118,33 | 0 | 0,6 | 0 |
| 24266 | Верхоянск, АМСГ | 67,55 | 133,38 | 0,4 | 1,7 | 1,3 |
| 24329 | Шелагонцы | 66,25 | 114,28 | 0,9 | 1,1 | 0,2 |
| 24343 | Жиганск | 66,77 | 123,4 | 0 | 0,6 | 0 |
| 25042 | 0. Айон | 69,8 | 168,7 | 0 | 1,4 | 0 |
| 25138 | 0стровное | 68,12 | 164,16 | 0,8 | 1,6 | 0,8 |
| 25173 | М. Шмидта | 68,9 | 181,4 | 0 | 0,9 | 0 |
| 25206 | Среднеколымск | 67,45 | 153 | 0 | 1,4 | 0 |
| 25325 | Усть-Олой | 66,55 | 159,42 | 1,9 | 2,4 | 0,5 |
| 25372 | Амгуема | 67 | 182,9 | 0 | 1,1 | 0 |

Исходя из того, что естественного потепления в январе почти не наблюдалось, значения ΔI оказались очень малыми и близкими к 0°. Для удобства построения на таких станциях мы примем их равными 0. Также, при построении Δ' , на станциях, где не наблюдалось естественного потепления, разница между современным и естественным потеплением учитываться не будет, и значения также принимаются равными 0, поскольку ясно, что современное потепление отражает эту разницу. Результаты пространственного распределения показаны на рис. 3.14:

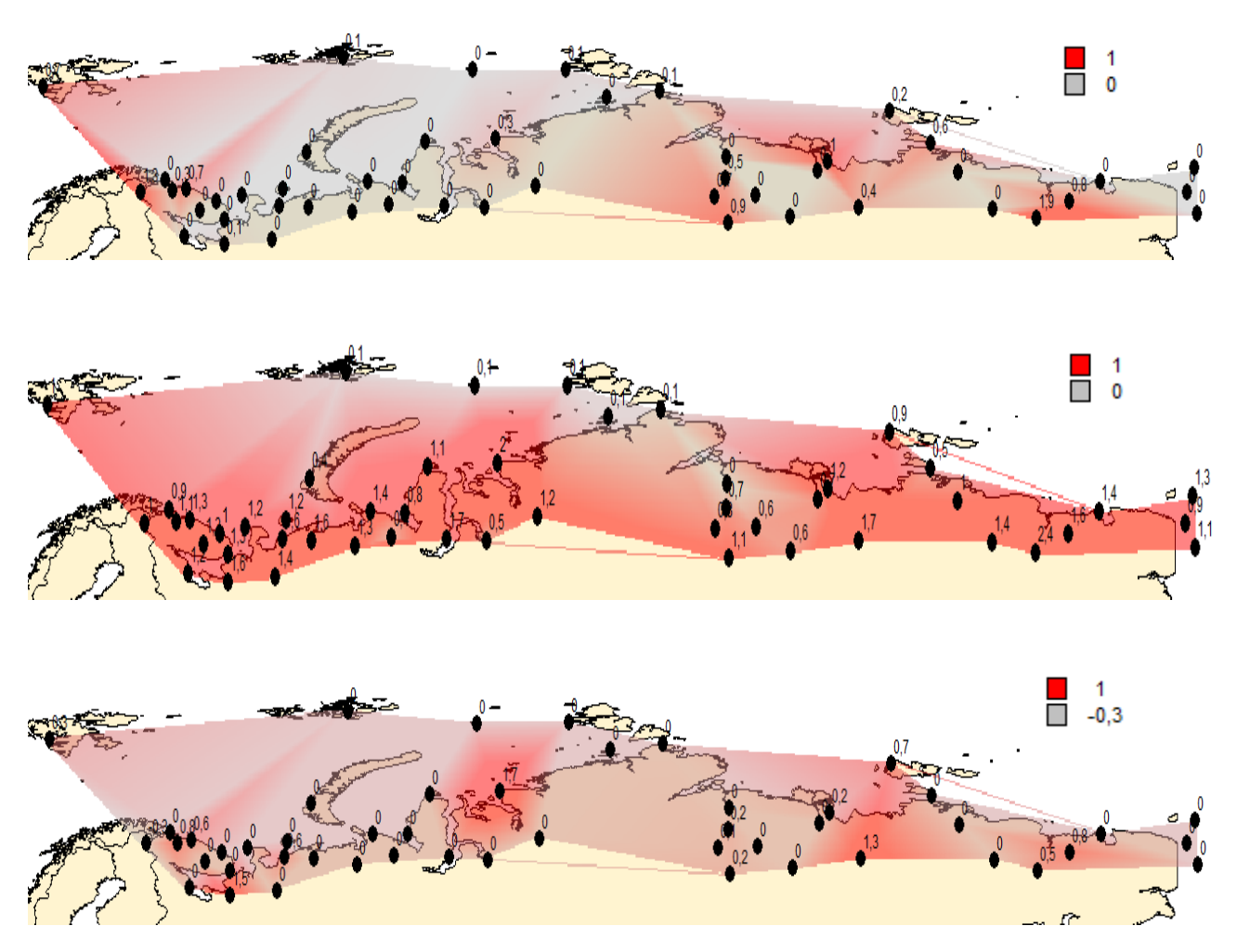
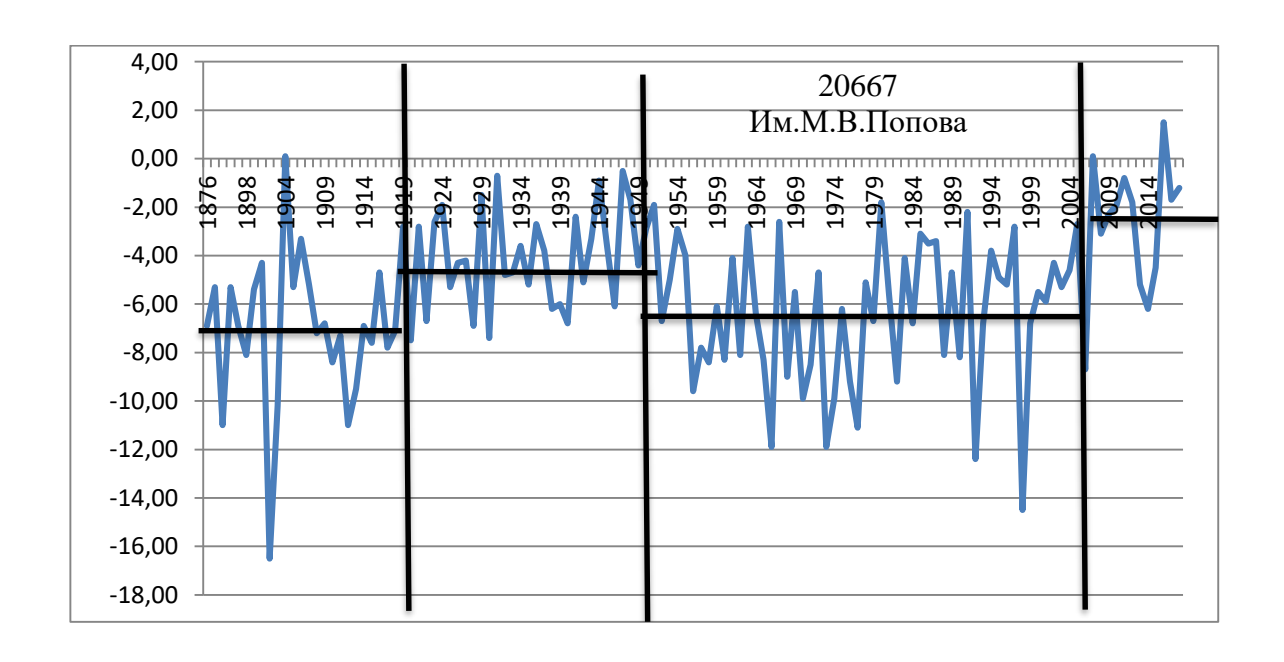


Рис3,14. распределение $\Delta_{I},\,\Delta_{II},\,\Delta'$ для температур июля.

Аналогичные результаты для температуры октября приведены в Приложении 4 и на рис.3.15 и 3.16.



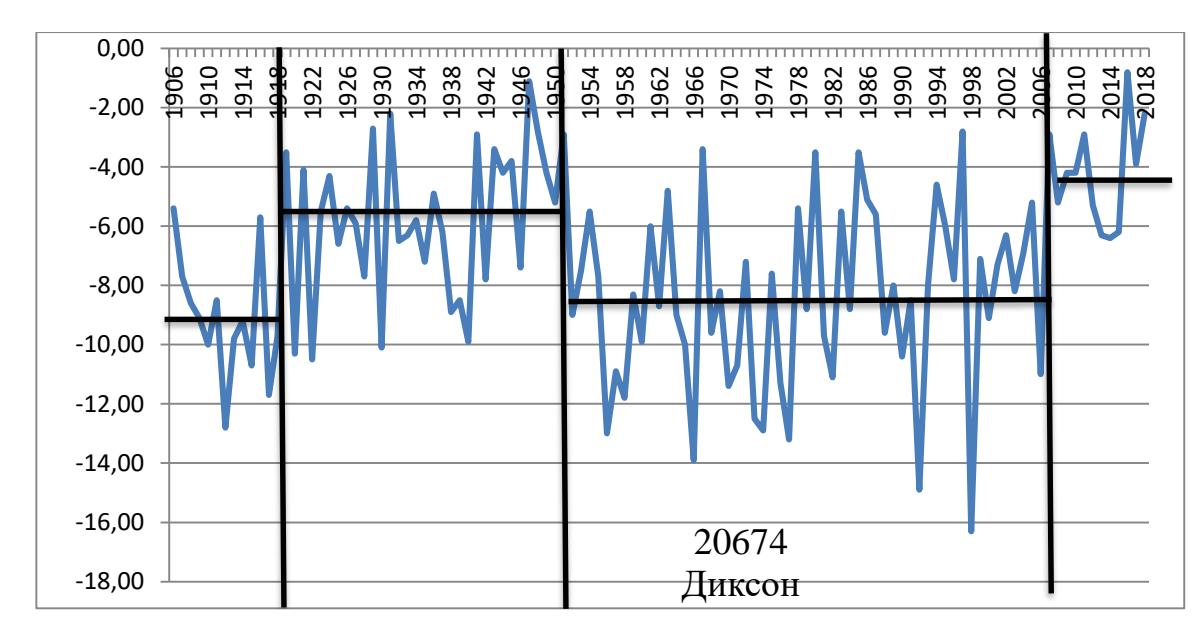


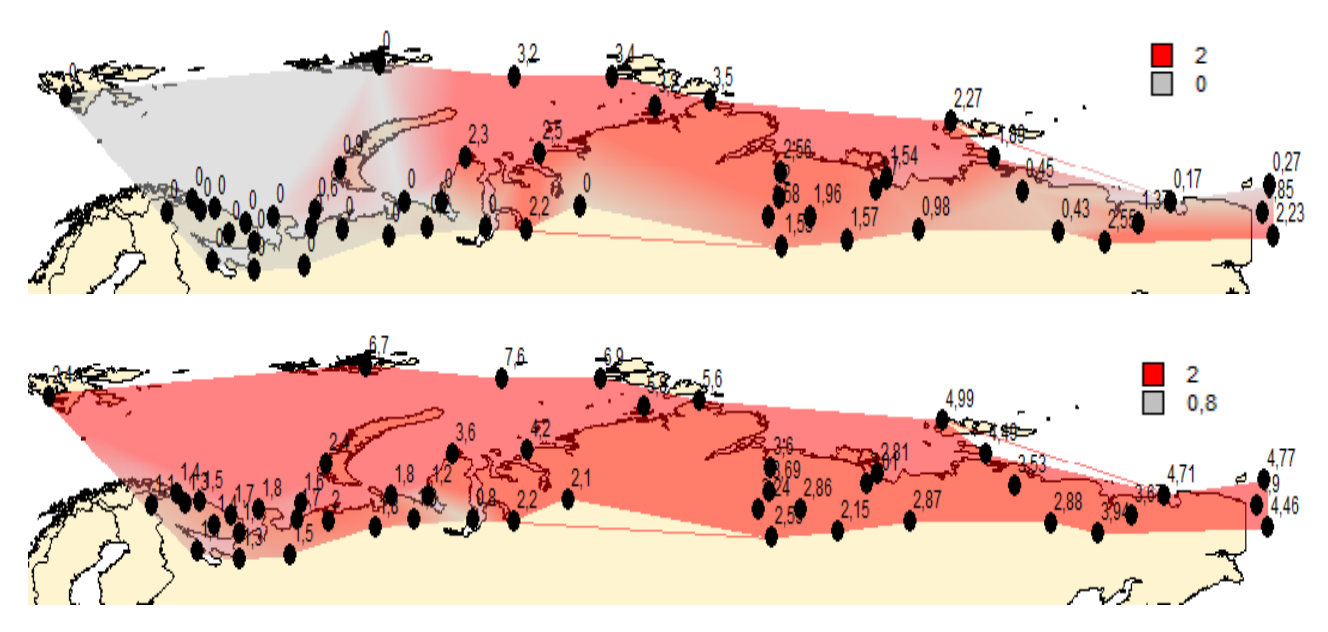
Рис 3,14графики температуры октября на станциях.

Таблица 3.13 — Сравнение современного потепления Арктики в октябре с потеплением прошлого века относительно холодного периода.

| код | название | широта | долгота | $\Delta_{ m I}$ | $\Delta_{ m II}$ | Δ' |
|-------|---------------------|--------|---------|-----------------|------------------|------|
| 20046 | Кренкеля, | 80,6 | 58,1 | 0 | 6,7 | 0 |
| 20069 | Визе | 79,5 | 77 | 3,2 | 7,6 | 4,4 |
| 20087 | Голомянный | 79,6 | 90,6 | 3,4 | 6,9 | 3,6 |
| 20107 | Баренцбург | 78,1 | 14,2 | 0 | 2,4 | 0 |
| 20289 | Русский | 77,2 | 96,6 | 3,2 | 5,8 | 2,6 |
| 20292 | Им.Е.К.Федорова,ГМО | 77,7 | 104,3 | 3,5 | 5,6 | 2,1 |
| 20667 | Им.М.В.Попова | 73,3 | 70,1 | 2,3 | 3,6 | 1,3 |
| 20674 | Диксон | 73,5 | 80,4 | 2,5 | 4,2 | 1,6 |
| 20744 | Малые Кармакулы | 72,4 | 52,7 | 0,9 | 2,4 | 1,5 |
| 21432 | 0. Котельный | 76 | 137,9 | 2,27 | 4,99 | 2,72 |
| 21647 | 0. Шалаурова | 73,2 | 143,9 | 1,89 | 4,49 | 2,6 |
| 21802 | Саскылах | 72 | 114,1 | 2,56 | 3,60 | 1,04 |
| 21824 | Тикси | 71,6 | 128,9 | 1,54 | 2,81 | 1,27 |
| 21908 | Жилинда | 70,1 | 114 | 2,00 | 3,69 | 1,69 |
| 21921 | Кюсюр | 70,7 | 127,4 | 1,70 | 3,01 | 1,31 |
| 21946 | Чокурдах | 70,6 | 147,9 | 0,45 | 3,53 | 3,08 |
| 21982 | 0. Врангеля | 71 | 182,5 | 0,27 | 4,77 | 4,5 |
| 22003 | Вайда-Губа | 69,9 | 32 | 0 | 1,4 | 0 |
| 22028 | Териберка | 69,2 | 35,1 | 0 | 1,5 | 0 |
| 22095 | Колгуев Северный | 69,1 | 49,2 | 0,6 | 1,6 | 1,0 |
| 22101 | Виртаниеми | 68,9 | 28,4 | 0 | 1,1 | 0 |
| 22113 | Мурманск | 69 | 33,1 | 0 | 1,3 | 0 |

| | | | | • | , | • |
|-------|-----------------|----------|--------|------|------|-------|
| 22140 | Гремиха Бухта | 68,1 | 39,5 | 0 | 1,7 | 0 |
| 22165 | Канин Нос | 68,6 | 43,3 | 0 | 1,8 | 0 |
| 22235 | Краснощелье | 67,3 | 37,1 | 0 | 1,4 | 0 |
| 22292 | Индига | 67,7 | 48,7 | 0 | 1,7 | 0 |
| 22355 | Сосновец остров | 66,5 | 40,7 | 0 | 1,4 | 0 |
| 22520 | Кемь-порт | 64,98 | 34,8 | 0 | 1,1 | 0 |
| 22550 | Архангельск | 64,4 | 40,7 | 0 | 1,3 | 0 |
| 22583 | Койнас | 64,8 | 47,6 | 0 | 1,5 | 0 |
| 23022 | Амдерма | 69,8 | 61,7 | 0 | 1,8 | 0 |
| 23032 | Марресаля | 69,7 | 66,8 | 0 | 1,2 | 0 |
| 23074 | Дудинка | 69,4 | 86,2 | 0 | 2,1 | 0 |
| 23205 | Нарьян-Мар | 67,6 | 53 | 0 | 2,0 | 0 |
| 23219 | Хоседа-Хард | 67,1 | 59,4 | 0 | 1,8 | 0 |
| 23220 | Елецкая | 67,8 | 64,8 | 0,2 | 1,8 | 1,6 |
| 23242 | Новый Порт | 67,7 | 72,9 | 0 | 0,8 | 0 |
| 23256 | Тазовск | 67,5 | 78,7 | 2,2 | 2,2 | 0 |
| 24125 | Оленек, | 68,5 | 112,4 | 1,58 | 3,24 | 1,66 |
| 24136 | Сухана | 68,62 | 118,33 | 1,96 | 2,86 | 0,9 |
| 24266 | Верхоянск | 67,55 | 133,38 | 0,98 | 2,87 | 1,89 |
| 24329 | Шелагонцы | 66,25 | 114,28 | 1,53 | 2,59 | 1,06 |
| 24343 | Жиганск | 66,77 | 123,4 | 1,57 | 2,15 | 0,58 |
| 25042 | 0. Айон | 69,8 | 168,7 | 0,17 | 4,71 | 4,54 |
| 25138 | Островное | 68,12 | 164,16 | 1,37 | 3,67 | 2,3 |
| 25173 | М. Шмидта | 68,9 | 181,4 | 0,85 | 4,90 | 4,05 |
| 25206 | Среднеколымск | 67,45 | 153 | 0,43 | 2,88 | 2,45 |
| 25325 | Усть-Олой | 66,55 | 159,42 | 2,55 | 3,94 | 1,39 |
| 25372 | Амгуема | 67 | 182,9 | 2,23 | 4,46 | 2,23 |
| D | · | <u> </u> | · | | | 2 16. |

Результаты пространственного распределения представлены на рисунке 3.16:



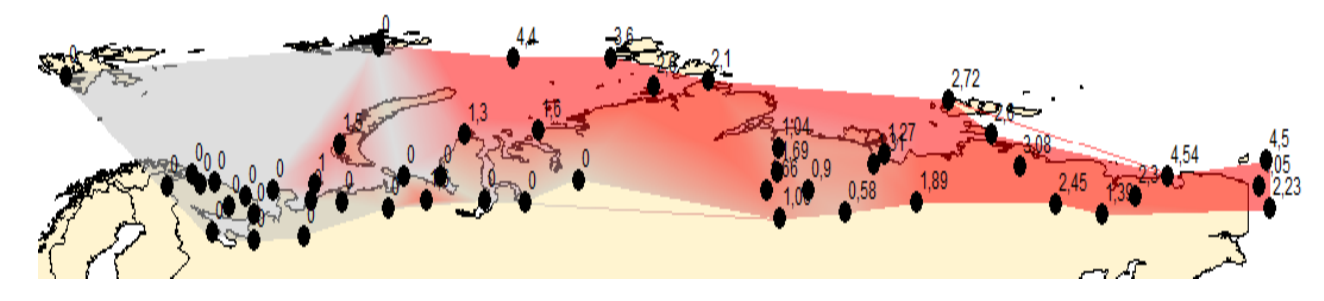


Рис3,14распределение $\Delta_{\rm I}$, $\Delta_{\rm II}$, Δ' для температур октября.

Проанализировав расчеты и пространственные распределения температуры за 4 месяца, можно сделать вывод о том, что современное потепление наблюдается по всей территории во все сезоны года. Естественное потепление 1920-40 годов наблюдается также во все месяцы, но оно менее выражено.

В январе естественное потепление наблюдается на западной территории региона с максимумом разницы 6,2° на станции Им.Э.Т.Кренкеля,ГМО (20046), значения на остальных станциях изменяются в пределах 2-3°. Современное потепление наблюдается уже на всей территории с максимальным значением равным 9,7° на станции Им.Э.Т.Кренкеля,ГМО (20046). Также можно увидеть, что значения распределяются с запада на восток, с максимальными значениями на западе. Разница между естественным и современным потеплением видна также на западе данной территории с максимальным значением 4,6 на станции Визе (20069).

В апреле естественное потепление наблюдается в основном на северозападе региона, на островах и побережья, а также на островах восточной части. Максимальная разница наблюдается на станшии Им.Э.Т.Кренкеля,ГМО (20046) со значением 3,3°, при этом остальные значения варьируются В пределах 1-2°. Современное потепление распространяется уже на всей территории со значениями от 2° на восточной части до 5° на западной. Максимальное значение 5° наблюдается на нескольких станциях – Тазовск(23256), Среднеколымск (25206). Разница между потеплениями хорошо выражена на восточной части территории с максимумом 4,9 на станции Среднеколымск (25206).

В июле месяце естественное потепление почти не проявлялось, значения меньше 1°, максимум 1,3° на станции Виртаниеми (22101). Современной потепление распространяется по всей территории, на значения также в пределах 1-2°, максимум на станции Усть-Олой (25325) - 2,4°. Разница между потеплениями также плохо выражена, значения меньше 1°.

В октябре естественное потепление наблюдается на восточной части, с максимумом 3,5° на станции Им.Е.К.Федорова,ГМО (20292), значения разницы варьируются в пределах 1-2°. Современное потепление наблюдается на всей территории, причем высокие значения в пределах 5° находятся на восточной части и убывают к западу и составляют 1-2°. Максимум 7,6° на станции Визе (20069). Разница между потеплениями хорошо выражена на восточной части региона, изменяется в пределах 2-4°, с максимумом 4,5° на станции о. Врангеля (21982).

Видно, что распределение потеплений по территории в выбранные месяцы не одинаково. Зимой, в январе, потепление хорошо выражено на западной части, а в переходные месяцы, в апреле и октябре, потепление наблюдается на востоке территории. Также можно отметить, что потепление в зимний период распространилось дальше на восток, по сравнению с естественным, это говорит об усилении западного переноса, который влияет уже на более восточные территории. В апреле и октябре наблюдались высокие значения как естественного, так и современного потепления, в эти периоды происходит перестроение циркуляции атмосферы от зимнего периода к летнему и наоборот. Можно прийти к выводу, что в этот период атмосфера неустойчива и сильнее подвержена изменениям температурного режима. В летние месяцы изменения не так заметны, так как в этот период данный регион находится под воздействием стационарного сибирского антициклона.

Также можно сделать вывод, оценив различия между современным и естественным потепление 1920-40г, о том, что эта разница является

минимальным антропогенным вкладом в современное потепление. И в среднем составляет 2-4°.

Глава 4. Оценка проявлений климатических изменений продолжительности солнечного сияния

4.1. Результаты моделирования временных рядов в пунктах наблюдений

На основе методологии раздела 3.1 были рассчитаны характеристики стационарных и нестационарных моделей для среднемесячной продолжительности солнечного сияния в течение трех месяцев (январь, апрель, июль) года на 49 метеостанциях с использованием программы ТІМОD. Эффективные отличия от модели стационарной выборки, статистически значимые значения критерия Фишера и коэффициенты линейной трендовой корреляции выделены в таблицах ярким цветом.

Результаты расчетов на основе моделей временных рядов за 3 месяца каждого сезона (январь, апрель, июль) показаны в таблицах 4.1- 4.4, где приведены случаи нестационарных моделей при △>10% и статистики по критерию Фишера (Ftr. и Fst.) при уровне значимости 5% выделены ярким цветом, а также статистически значимые коэффициенты уравнений линейного тренда R. В таблицах 4.1-4.4 также указаны: Год ст. - год перехода от одной стационарной части ряда к другой согласно модели пошаговых изменений; Год N., Год К. — годы начала и окончания наблюдений, п — количество лет наблюдений; R - коэффициент корреляции модели линейного тренда.

Таблица 4.1 — Результаты расчетов по моделям временных рядов для продолжительности солнечного сияния в январе.

| Код | Им.Э.Т.Кренкеля,ГМ 0 | Δтр | Δст | Ftr | Fst | Год ст | Год Н | Год К | n | R |
|-----------|-------------------------|-----|-----|----------|------|-----------|----------|----------|--------|-------|
| 2004 | Визе | 1.0 | 5.9 | 1.0 | 1.13 | 1985 | 1958 | 2019 | 6 2 | -0.14 |
| 2006 9 | Голомянный | 0.1 | 2.8 | 1.0 0 | 1.06 | 1969 | 1958 | 2019 | 6 1 | 0.03 |
| 2008 | Баренцбург | 6.0 | 8.1 | 1.8 3 | 3.71 | 1985 | 1961 | 2019 | 5 9 | -0.67 |
| 2010 | Русский | 0.6 | 3.8 | 1.0 1 | 1.08 | 1971 | 1961 | 2019 | 5 9 | 0.11 |

| 2028 | Им.Е.К.Федорова,ГМ | 1.2 | 1.6 | 1.0 | 1 10 | 1005 | 1050 | 2010 | 6 | 0.16 |
|-----------|--------------------|----------|----------|----------|------|------|------|------|--------|-------|
| 2029 | 0 | 1.3 | 4.6 | 1.0 | 1.10 | 1985 | 1958 | 2019 | 5 | -0.16 |
| 2 | Им.М.В.Попова | 0.8 | 2.4 | 2 | 1.05 | 2008 | 1961 | 2019 | 9 | 0.13 |
| 2066 7 | Диксон | 0.1 | 2.8 | 1.0 0 | 1.06 | 1971 | 1961 | 2019 | 5 9 | -0.04 |
| 2067 4 | Малые Кармакулы | 1.7 | 3.6 | 1.0 | 1.08 | 1984 | 1962 | 2019 | 5 5 | -0.18 |
| 2074 | 0. Котельный | 0.2 | 5.9 | 1.0 0 | 1.13 | 1967 | 1940 | 2019 | 5 9 | -0.06 |
| 2143 | 0. Шалаурова | 4.7 | 11. 8 | 1.1 0 | 1.28 | 1979 | 1939 | 2019 | 6 0 | -0.30 |
| 2164 7 | Саскылах | 5.8 | 19. 6 | 1.1 | 1.55 | 1973 | 1960 | 2019 | 6 0 | -0.34 |
| 2180 | Тикси | 11. 9 | 18. 9 | 1.2 9 | 1.52 | 1999 | 1948 | 2019 | 6 4 | 0.47 |
| 2182 | Жилинда | 4.3 | 13. 6 | 1.0 | 1.34 | 2008 | 1952 | 2019 | 6 7 | 0.29 |
| 2190 8 | Кюсюр | 12. 9 | 25. 2 | 1.3 | 1.79 | 1999 | 1958 | 2019 | 6 2 | 0.49 |
| 2192 | Чокурдах | 0.2 | 4.4 | 1.0 | 1.10 | 2003 | 1961 | 2019 | 5 8 | 0.06 |
| 2194 | 0. Врангеля | 3.6 | 5.7 | 1.0 | 1.12 | 2005 | 1961 | 2019 | 5 | -0.27 |
| 2198 | Вайда-Губа | 3.2 | 7.1 | 1.0 | 1.16 | 1996 | 1961 | 2019 | 5 9 | 0.25 |
| 2200 | Териберка | 3.2 | 7.1 | 1.0 | 1.10 | 1770 | 1701 | 2017 | 6 | 0.23 |
| 3 | Териоерка | 0.2 | 3.0 | 0 | 1.06 | 1999 | 1960 | 2019 | 0 | 0.07 |
| 2202 8 | Колгуев Северный | 2.6 | 3.6 | 1.0 | 1.08 | 1991 | 1952 | 2019 | 6 7 | -0.23 |
| 2209 5 | Виртаниеми | 0.4 | 4.1 | 1.0 | 1.09 | 2005 | 1961 | 2019 | 5 8 | 0.09 |
| 2210 1 | Мурманск | 10. 2 | 12. 8 | 1.2 4 | 1.32 | 1979 | 1961 | 2019 | 5 9 | 0.44 |
| 2211 | Гремиха Бухта | 3.8 | 5.3 | 1.0 8 | 1.11 | 1995 | 1955 | 2019 | 6 | 0.27 |
| 2214 | Канин Нос | 1.6 | 6.4 | 1.0 | 1.14 | 1980 | 1961 | 2019 | 5 9 | 0.18 |
| 2216 5 | Краснощелье | 0.4 | 2.1 | 1.0 1 | 1.04 | 1962 | 1950 | 2019 | 7 0 | 0.09 |
| 2223 5 | Индига | 2.3 | 9.1 | 1.0 | 1.21 | 2001 | 1948 | 2019 | 7 2 | 0.22 |
| 2229 | Сосновец остров | 0.3 | 2.8 | 1.0 | 1.06 | 2005 | 1951 | 2019 | 6 | -0.07 |
| 2235 | Кемь-порт | 0.3 | 3.8 | 1.0 | 1.08 | 1953 | 1931 | 2019 | 8 2 | 0.08 |
| 2252 | Архангельск | 1.3 | 4.4 | 1.0 | 1.09 | 1963 | 1931 | 2019 | 7 9 | 0.16 |
| 2255 | Койнас | 0.0 | 2.0 | 1.0 | 1.04 | 1962 | 1931 | 2019 | 7 5 | 0.01 |

| 2258 | Амдерма | 0.0 | 1.1 | 1.0 | 1.02 | 2009 | 1951 | 2019 | 6 9 | 0.01 |
|-----------|--------------------|-----|----------|----------|------|------|------|------|--------|-------|
| 2302 | N 4 | 0.0 | 1.1 | 1.0 | 1.02 | 2009 | 1931 | 2019 | 5 | 0.01 |
| 2 | Марресаля | 0.9 | 4.2 | 2 | 1.09 | 1994 | 1961 | 2019 | 9 | 0.13 |
| 2303 | Дудинка | 0.4 | 3.8 | 1.0 1 | 1.08 | 1972 | 1958 | 2019 | 6 2 | -0.09 |
| 2307 4 | Нарьян-Мар | 5.4 | 9.9 | 1.1 | 1.23 | 1997 | 1931 | 2019 | 7 5 | 0.32 |
| 2320 5 | Хоседа-Хард | 0.0 | 1.3 | 1.0 0 | 1.03 | 1997 | 1951 | 2019 | 6 9 | -0.03 |
| 2321 | Елецкая | 0.1 | 2.3 | 1.0 | 1.05 | 2007 | 1951 | 2019 | 6 9 | 0.03 |
| 2322 | Новый Порт | 0.2 | 4.1 | 1.0 | 1.09 | 1997 | 1951 | 2019 | 6 9 | 0.07 |
| 2324 | Тазовск | 2.8 | 12. 0 | 1.0 | 1.29 | 1997 | 1951 | 2019 | 6 | 0.24 |
| 2325 | Оленек АМСГ | 1.5 | 4.0 | 1.0 | 1.08 | 1983 | 1942 | 2018 | 7 | 0.17 |
| 2412 | Сухана | 6.9 | 18. 9 | 1.1 | 1.52 | 2004 | 1958 | 2019 | 6 2 | 0.36 |
| 2413 | Верхоянск, АМСГ | 0.2 | 2.9 | 1.0 | 1.06 | 1972 | 1934 | 2019 | 7 2 | 0.07 |
| 2426 | Шелагонцы | 3.5 | 7.9 | 1.0 | 1.18 | 2009 | 1958 | 2019 | 6 2 | 0.26 |
| 2432 | Жиганск | 6.1 | 13. 1 | 1.1 | 1.32 | 1999 | 1955 | 2019 | 6 | 0.34 |
| 2434 | 0. Айон | 0.1 | 2.0 | 1.0 | 1.04 | 1977 | 1961 | 2019 | 5 | -0.04 |
| 2504 2 | Островное | 0.7 | 1.9 | 1.0 | 1.04 | 1966 | 1943 | 2019 | 6 3 | -0.12 |
| 2513 8 | М. Шмидта | 0.7 | 2.3 | 1.0 | 1.05 | 1967 | 1950 | 2019 | 7 0 | -0.08 |
| 2517 | Среднеколымск | 0.2 | 1.8 | 1.0 | 1.04 | 1986 | 1943 | 2019 | 6 | 0.06 |
| 2520 | Усть-Олой | 3.3 | 6.8 | 1.0 | 1.15 | 1967 | 1943 | 2019 | 6 4 | -0.25 |
| 2532 | Амгуема, 87км | | | 1.0 | | | | | 7 | |
| 2537 | Им.Э.Т.Кренкеля,ГМ | 0.1 | 2.7 | 1.0 | 1.06 | 2000 | 1950 | 2019 | 6 | 0.05 |
| 2337 | 0 | 1.0 | 5.9 | 2 | 1.13 | 1985 | 1958 | 2019 | 2 | -0.14 |

Из результатов таблицы 4.1 следует, что из 49 серий наблюдений продолжительности январского солнечного сияния 2 серии с линейной моделью тренда и 9 серий с моделью ступенчатых изменений являются нестационарными при Δ >10%.Статистически значимых по критерию Фишера при уровне значимости 5% нет.

Примеры графиков временных рядов нестационарных моделей показаны на рис. 4.1.

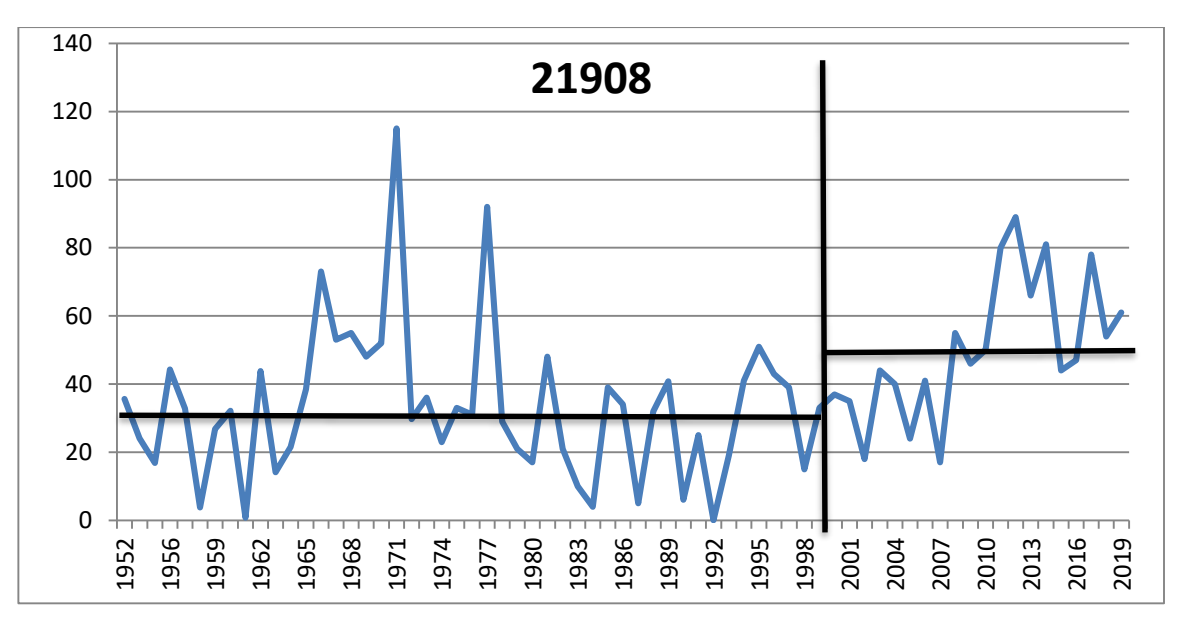


Рис4,1 График временного ряда нестационарной модели

Таблица 4.2 — Результаты расчетов по моделям временных рядов для продолжительности солнечного сияния в апреле.

| | T | | | | | | 1 | | | |
|-------|---------------------|-----|------|------|------|--------|-------|-------|----|-------|
| Код | Им.Э.Т.Кренкеля,ГМ0 | ∆тр | Δст | Ftr | Fst | Год ст | Год Н | Год К | n | R |
| 20046 | Визе | 0.7 | 2.2 | 1.01 | 1.04 | 2004 | 1961 | 2019 | 57 | -0.12 |
| 20069 | Голомянный | 2.0 | 5.8 | 1.04 | 1.13 | 1979 | 1961 | 2019 | 58 | 0.20 |
| 20087 | Баренцбург | 0.5 | 3.3 | 1.01 | 1.07 | 1985 | 1950 | 2019 | 68 | 0.10 |
| 20107 | Русский | 0.0 | 2.2 | 1.00 | 1.05 | 2007 | 1961 | 2019 | 59 | -0.02 |
| 20289 | Им.Е.К.Федорова,ГМО | 0.1 | 1.4 | 1.00 | 1.03 | 2009 | 1961 | 2019 | 58 | 0.04 |
| 20292 | Им.М.В.Попова | 4.9 | 10.8 | 1.10 | 1.26 | 1999 | 1961 | 2019 | 58 | -0.31 |
| 20667 | Диксон | 4.5 | 7.7 | 1.10 | 1.17 | 1971 | 1961 | 2019 | 59 | -0.30 |
| 20674 | Малые Кармакулы | 1.4 | 5.0 | 1.03 | 1.11 | 2000 | 1961 | 2019 | 59 | -0.16 |
| 20744 | 0. Котельный | 0.0 | 1.4 | 1.00 | 1.03 | 1994 | 1961 | 2019 | 57 | 0.00 |
| 21432 | 0. Шалаурова | 1.0 | 3.4 | 1.02 | 1.07 | 2009 | 1940 | 2019 | 63 | -0.14 |
| 21647 | Саскылах | 3.9 | 4.6 | 1.08 | 1.10 | 1973 | 1939 | 2019 | 62 | 0.28 |
| 21802 | Тикси | 8.1 | 9.4 | 1.18 | 1.22 | 1994 | 1961 | 2019 | 59 | -0.39 |
| 21824 | Жилинда | 0.6 | 2.7 | 1.01 | 1.06 | 1996 | 1961 | 2019 | 59 | 0.11 |
| 21908 | Кюсюр | 0.0 | 5.0 | 1.00 | 1.11 | 2006 | 1947 | 2019 | 60 | 0.01 |
| 21921 | Чокурдах | 0.5 | 1.5 | 1.01 | 1.03 | 1979 | 1941 | 2019 | 71 | -0.10 |
| 21946 | 0. Врангеля | 0.3 | 3.4 | 1.01 | 1.07 | 1971 | 1960 | 2019 | 60 | 0.07 |
| 21982 | Вайда-Губа | 7.7 | 9.2 | 1.17 | 1.21 | 2008 | 1961 | 2019 | 56 | -0.38 |
| 22003 | Териберка | 0.1 | 3.4 | 1.00 | 1.07 | 1979 | 1961 | 2019 | 59 | -0.05 |
| 22028 | Колгуев Северный | 1.2 | 4.5 | 1.03 | 1.10 | 1963 | 1953 | 2019 | 67 | 0.16 |
| 22095 | Виртаниеми | 3.7 | 7.0 | 1.08 | 1.16 | 1975 | 1952 | 2019 | 68 | -0.27 |
| 22101 | Мурманск | 0.1 | 1.9 | 1.00 | 1.04 | 1982 | 1961 | 2019 | 59 | -0.04 |

| Гремиха Бухта | 1.6 | 6.5 | 1.03 | 1.14 | 2009 | 1961 | 2019 | 59 | 0.18 |
|---------------------|--|--|---|---|--|--|---|---|---|
| Канин Нос | 1.7 | 3.7 | 1.03 | 1.08 | 2009 | 1947 | 2019 | 72 | 0.18 |
| Краснощелье | 0.6 | 4.3 | 1.01 | 1.09 | 1998 | 1947 | 2019 | 73 | -0.11 |
| Индига | 1.4 | 3.7 | 1.03 | 1.08 | 1959 | 1931 | 2019 | 88 | 0.16 |
| Сосновец остров | 0.0 | 0.6 | 1.00 | 1.01 | 1960 | 1947 | 2019 | 73 | 0.02 |
| Кемь-порт | 2.9 | 4.2 | 1.06 | 1.09 | 1953 | 1931 | 2019 | 88 | 0.24 |
| Архангельск | 1.6 | 4.4 | 1.03 | 1.09 | 1959 | 1931 | 2019 | 88 | 0.18 |
| Койнас | 2.4 | 5.5 | 1.05 | 1.12 | 1959 | 1931 | 2019 | 88 | 0.22 |
| Амдерма | 0.9 | 2.7 | 1.02 | 1.06 | 1953 | 1931 | 2019 | 80 | 0.13 |
| Марресаля | 0.0 | 1.2 | 1.00 | 1.02 | 2006 | 1961 | 2019 | 59 | -0.02 |
| Дудинка | 0.0 | 0.8 | 1.00 | 1.02 | 1975 | 1958 | 2019 | 62 | 0.00 |
| Нарьян-Мар | 6.8 | 9.3 | 1.15 | 1.22 | 1989 | 1958 | 2019 | 62 | -0.36 |
| Хоседа-Хард | 2.4 | 3.5 | 1.05 | 1.07 | 2003 | 1947 | 2019 | 73 | 0.22 |
| Елецкая | 0.1 | 1.1 | 1.00 | 1.02 | 1975 | 1950 | 2019 | 70 | -0.04 |
| Новый Порт | 0.4 | 2.1 | 1.01 | 1.04 | 1995 | 1950 | 2019 | 70 | 0.09 |
| Тазовск | 4.8 | 6.0 | 1.10 | 1.13 | 1974 | 1961 | 2019 | 59 | -0.31 |
| Оленек АМСГ | 0.4 | 2.0 | 1.01 | 1.04 | 1960 | 1941 | 2019 | 76 | 0.09 |
| Сухана | 2.2 | 3.6 | 1.05 | 1.08 | 1963 | 1941 | 2019 | 76 | 0.21 |
| Верхоянск, АМСГ | 0.2 | 1.9 | 1.00 | 1.04 | 1959 | 1934 | 2019 | 73 | 0.06 |
| Шелагонцы | 1.8 | 3.8 | 1.04 | 1.08 | 1999 | 1957 | 2019 | 63 | 0.19 |
| Жиганск | 0.1 | 2.2 | 1.00 | 1.04 | 1960 | 1943 | 2019 | 70 | 0.05 |
| 0. Айон | 0.8 | 2.8 | 1.02 | 1.06 | 1986 | 1960 | 2019 | 59 | -0.13 |
| Островное | 0.8 | 1.2 | 1.02 | 1.02 | 1984 | 1943 | 2019 | 62 | -0.13 |
| М. Шмидта | 0.0 | 0.4 | 1.00 | 1.01 | 1990 | 1960 | 2019 | 60 | 0.03 |
| Среднеколымск | 0.8 | 3.8 | 1.02 | 1.08 | 1988 | 1943 | 2019 | 61 | 0.13 |
| Усть-Олой | 1.0 | 4.5 | 1.02 | 1.10 | 1981 | 1943 | 2019 | 63 | 0.14 |
| Амгуема, 87км | 0.2 | 1.2 | 1.00 | 1.02 | 1961 | 1950 | 2019 | 69 | 0.06 |
| Им.Э.Т.Кренкеля,ГМО | 0.7 | 2.2 | 1.01 | 1.04 | 2004 | 1961 | 2019 | 57 | -0.12 |
| | Канин Нос Краснощелье Индига Сосновец остров Кемь-порт Архангельск Койнас Амдерма Марресаля Дудинка Нарьян-Мар Хоседа-Хард Елецкая Новый Порт Тазовск Оленек АМСГ Сухана Верхоянск, АМСГ Шелагонцы Жиганск О. Айон Островное М. Шмидта Среднеколымск Усть-Олой Амгуема, 87км | Канин Нос 1.7 Краснощелье 0.6 Индига 1.4 Сосновец остров 0.0 Кемь-порт 2.9 Архангельск 1.6 Койнас 2.4 Амдерма 0.9 Марресаля 0.0 Дудинка 0.0 Нарьян-Мар 6.8 Хоседа-Хард 2.4 Елецкая 0.1 Новый Порт 0.4 Тазовск 4.8 Оленек АМСГ 0.4 Сухана 2.2 Верхоянск, АМСГ 0.2 Шелагонцы 1.8 Жиганск 0.1 Ф. Айон 0.8 Островное 0.8 М. Шмидта 0.0 Среднеколымск 0.8 Усть-Олой 1.0 Амгуема, 87км 0.2 | Канин Нос1.73.7Краснощелье0.64.3Индига1.43.7Сосновец остров0.00.6Кемь-порт2.94.2Архангельск1.64.4Койнас2.45.5Амдерма0.92.7Марресаля0.01.2Дудинка0.00.8Нарьян-Мар6.89.3Хоседа-Хард2.43.5Елецкая0.11.1Новый Порт0.42.1Тазовск4.86.0Оленек АМСГ0.42.0Сухана2.23.6Верхоянск, АМСГ0.21.9Шелагонцы1.83.8Жиганск0.12.20. Айон0.82.8Островное0.81.2М. Шмидта0.00.4Среднеколымск0.83.8Усть-Олой1.04.5Амгуема, 87км0.21.2 | Канин Нос 1.7 3.7 1.03 Краснощелье 0.6 4.3 1.01 Индига 1.4 3.7 1.03 Сосновец остров 0.0 0.6 1.00 Кемь-порт 2.9 4.2 1.06 Архангельск 1.6 4.4 1.03 Койнас 2.4 5.5 1.05 Амдерма 0.9 2.7 1.02 Марресаля 0.0 1.2 1.00 Дудинка 0.0 0.8 1.00 Нарьян-Мар 6.8 9.3 1.15 Хоседа-Хард 2.4 3.5 1.05 Елецкая 0.1 1.1 1.00 Новый Порт 0.4 2.1 1.01 Тазовск 4.8 6.0 1.10 Оленек АМСГ 0.4 2.0 1.01 Сухана 2.2 3.6 1.05 Верхоянск, АМСГ 0.2 1.9 1.00 Шелагонцы 1.8 3.8 1.04 Жиганск 0.1 2.2 1.00 О. Айон 0.8 2.8 1.02 М. Шмидта 0.0 0.4 1.00 Среднеколымск 0.8 3.8 1.02 Усть-Олой 1.0 4.5 1.02 Амгуема, 87км 0.2 1.2 1.00 | Канин Нос 1.7 3.7 1.03 1.08 Краснощелье 0.6 4.3 1.01 1.09 Индига 1.4 3.7 1.03 1.08 Сосновец остров 0.0 0.6 1.00 1.01 Кемь-порт 2.9 4.2 1.06 1.09 Архангельск 1.6 4.4 1.03 1.09 Койнас 2.4 5.5 1.05 1.12 Амдерма 0.9 2.7 1.02 1.06 Марресаля 0.0 1.2 1.00 1.02 Дудинка 0.0 0.8 1.00 1.02 Нарьян-Мар 6.8 9.3 1.15 1.22 Хоседа-Хард 2.4 3.5 1.05 1.07 Елецкая 0.1 1.1 1.00 1.02 Новый Порт 0.4 2.1 1.01 1.04 Тазовск 4.8 6.0 1.10 1.04 Сухана 2.2 < | Канин Нос 1.7 3.7 1.03 1.08 2009 Краснощелье 0.6 4.3 1.01 1.09 1998 Индига 1.4 3.7 1.03 1.08 1959 Сосновец остров 0.0 0.6 1.00 1.01 1960 Кемь-порт 2.9 4.2 1.06 1.09 1953 Архангельск 1.6 4.4 1.03 1.09 1959 Койнас 2.4 5.5 1.05 1.12 1959 Амдерма 0.9 2.7 1.02 1.06 1953 Марресаля 0.0 1.2 1.00 1.02 2006 Дудинка 0.0 0.8 1.00 1.02 1975 Нарьян-Мар 6.8 9.3 1.15 1.22 1989 Хоседа-Хард 2.4 3.5 1.05 1.07 2003 Елецкая 0.1 1.1 1.00 1.02 1975 Новый Порт | Канин Нос 1.7 3.7 1.03 1.08 2009 1947 Краснощелье 0.6 4.3 1.01 1.09 1998 1947 Индига 1.4 3.7 1.03 1.08 1959 1931 Сосновец остров 0.0 0.6 1.00 1.01 1960 1947 Кемь-порт 2.9 4.2 1.06 1.09 1953 1931 Архангельск 1.6 4.4 1.03 1.09 1959 1931 Койнас 2.4 5.5 1.05 1.12 1959 1931 Амдерма 0.9 2.7 1.02 1.06 1953 1931 Марресаля 0.0 1.2 1.00 1.02 2006 1961 Дудинка 0.0 0.8 1.00 1.02 1975 1958 Нарьян-Мар 6.8 9.3 1.15 1.22 1989 1958 Хоседа-Хард 2.4 3.5 1.05 | Канин Нос 1.7 3.7 1.03 1.08 2009 1947 2019 Краснощелье 0.6 4.3 1.01 1.09 1998 1947 2019 Индига 1.4 3.7 1.03 1.08 1959 1931 2019 Сосновец остров 0.0 0.6 1.00 1.01 1960 1947 2019 Кемь-порт 2.9 4.2 1.06 1.09 1953 1931 2019 Архангельск 1.6 4.4 1.03 1.09 1959 1931 2019 Койнас 2.4 5.5 1.05 1.12 1959 1931 2019 Марерма 0.9 2.7 1.02 1.06 1953 1931 2019 Марресаля 0.0 1.2 1.00 1.02 2006 1961 2019 Дудинка 0.0 0.8 1.00 1.02 1975 1958 2019 Коседа-Хард 2.4 | Канин Нос 1.7 3.7 1.03 1.08 2009 1947 2019 72 Краснощелье 0.6 4.3 1.01 1.09 1998 1947 2019 73 Индига 1.4 3.7 1.03 1.08 1959 1931 2019 88 Сосновец остров 0.0 0.6 1.00 1.01 1960 1947 2019 73 Кемь-порт 2.9 4.2 1.06 1.09 1953 1931 2019 88 Архангельск 1.6 4.4 1.03 1.09 1959 1931 2019 88 Койнас 2.4 5.5 1.05 1.12 1959 1931 2019 88 Амдерма 0.9 2.7 1.02 1.06 1953 1931 2019 89 Дудинка 0.0 0.8 1.00 1.02 2006 1961 2019 59 Дудинка 0.0 0.8 |

Из результатов таблицы 4.2 следует, что из 49 серий наблюдений продолжительности апрельского солнечного сияния 1 серия с моделью пошаговых изменений, а также 3 серии с аналогичным значением, и ни одна в соответствии с моделью линейного тренда, не являются нестационарными при Δ >10%.Статистически значимых по критерию Фишера при уровне значимости 5% нет.

Примеры графиков временных рядов нестационарных моделей показаны на рис. 4.2.

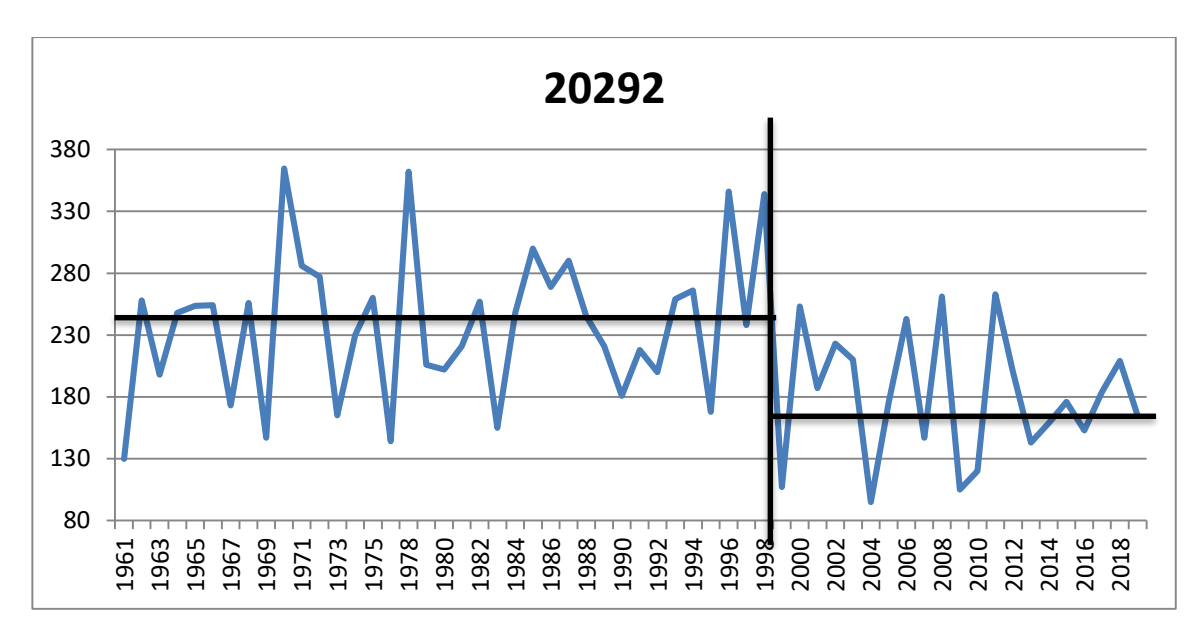


Рис4,2График временного ряда нестационарной модели

Таблица 4.3 — Результаты расчетов по моделям временных рядов для продолжительности солнечного сияния в июле.

| Код | Им.Э.Т.Кренкеля,ГМО | Δтр | Δст | Ftr | Fst | Год st | Год Н | Год К | n | R |
|-------|---------------------|-----|------|------|------|--------|-------|---------|----|-------|
| 20046 | Визе | 1.9 | 3.7 | 1.04 | 1.08 | 1996 | 1966 | 2018,00 | 43 | 0.19 |
| 20069 | Голомянный | 0.5 | 2.8 | 1.01 | 1.06 | 2005 | 1961 | 2018,00 | 54 | -0.10 |
| 20087 | Баренцбург | 0.6 | 2.8 | 1.01 | 1.06 | 2004 | 1961 | 2018,00 | 53 | -0.11 |
| 20107 | Русский | 8.3 | 15.4 | 1.19 | 1.40 | 1992 | 1961 | 2019,00 | 58 | -0.40 |
| 20289 | Им.Е.К.Федорова,ГМО | 0.0 | 0.8 | 1.00 | 1.02 | 1989 | 1961 | 2019,00 | 58 | -0.01 |
| 20292 | Им.М.В.Попова | 0.2 | 4.7 | 1.00 | 1.10 | 2001 | 1961 | 2018,00 | 49 | -0.07 |
| 20667 | Диксон | 1.7 | 3.1 | 1.04 | 1.07 | 2001 | 1957 | 2019,00 | 62 | -0.19 |
| 20674 | Малые Кармакулы | 2.9 | 4.8 | 1.06 | 1.10 | 2004 | 1961 | 2019,00 | 57 | -0.24 |
| 20744 | 0. Котельный | 0.4 | 3.1 | 1.01 | 1.07 | 1990 | 1964 | 2018,00 | 49 | -0.09 |
| 21432 | 0. Шалаурова | 0.2 | 1.4 | 1.00 | 1.03 | 1995 | 1940 | 2019,00 | 61 | 0.06 |
| 21647 | Саскылах | 1.1 | 1.6 | 1.02 | 1.03 | 1995 | 1939 | 2019,00 | 62 | 0.15 |
| 21802 | Тикси | 8.0 | 10.6 | 1.18 | 1.25 | 1991 | 1961 | 2019,00 | 58 | -0.39 |
| 21824 | Жилинда | 6.1 | 9.8 | 1.13 | 1.23 | 1991 | 1961 | 2019,00 | 59 | 0.34 |
| 21908 | Кюсюр | 1.1 | 4.0 | 1.02 | 1.09 | 1976 | 1961 | 2019,00 | 59 | -0.15 |
| 21921 | Чокурдах | 2.1 | 7.5 | 1.04 | 1.17 | 1984 | 1961 | 2018,00 | 57 | -0.21 |
| 21946 | 0. Врангеля | 0.8 | 1.2 | 1.02 | 1.03 | 1971 | 1959 | 2013,00 | 55 | 0.13 |
| 21982 | Вайда-Губа | 1.1 | 3.2 | 1.02 | 1.07 | 2005 | 1961 | 2018,00 | 57 | -0.15 |
| 22003 | Териберка | 0.2 | 1.4 | 1.00 | 1.03 | 2001 | 1961 | 2019,00 | 58 | -0.06 |
| 22028 | Колгуев Северный | 2.7 | 5.6 | 1.06 | 1.12 | 1992 | 1951 | 2019,00 | 69 | -0.23 |
| 22095 | Виртаниеми | 0.8 | 3.9 | 1.02 | 1.08 | 1992 | 1947 | 2019,00 | 73 | -0.12 |
| 22101 | Мурманск | 0.0 | 1.2 | 1.00 | 1.02 | 1999 | 1961 | 2019,00 | 58 | -0.01 |
| 22113 | Гремиха Бухта | 1.5 | 2.4 | 1.03 | 1.05 | 1979 | 1961 | 2019,00 | 59 | 0.17 |
| 22140 | Канин Нос | 4.2 | 7.2 | 1.09 | 1.16 | 1992 | 1951 | 2019,00 | 69 | -0.29 |
| 22165 | Краснощелье | 3.8 | 6.7 | 1.08 | 1.15 | 1992 | 1950 | 2019,00 | 69 | -0.27 |

| 22235 | Индига | 0.1 | 1.2 | 1.00 | 1.02 | 1998 | 1951 | 2019,00 | 68 | -0.04 |
|-------|---------------------|-----|------|------|------|------|------|---------|----|-------|
| 22292 | Сосновец остров | 0.4 | 3.4 | 1.01 | 1.07 | 1992 | 1947 | 2019,00 | 73 | -0.09 |
| 22355 | Кемь-порт | 0.9 | 2.1 | 1.02 | 1.04 | 1977 | 1943 | 2019,00 | 71 | -0.13 |
| 22520 | Архангельск | 0.0 | 1.4 | 1.00 | 1.03 | 1994 | 1930 | 2019,00 | 82 | 0.02 |
| 22550 | Койнас | 3.4 | 4.5 | 1.07 | 1.10 | 1977 | 1934 | 2019,00 | 80 | -0.26 |
| 22583 | Амдерма | 0.0 | 1.9 | 1.00 | 1.04 | 2003 | 1961 | 2019,00 | 59 | -0.01 |
| 23022 | Марресаля | 0.0 | 1.2 | 1.00 | 1.02 | 1992 | 1961 | 2019,00 | 59 | -0.03 |
| 23032 | Дудинка | 0.0 | 2.0 | 1.00 | 1.04 | 1992 | 1961 | 2019,00 | 54 | -0.02 |
| 23074 | Нарьян-Мар | 0.5 | 1.3 | 1.01 | 1.03 | 1997 | 1957 | 2018,00 | 60 | 0.10 |
| 23205 | Хоседа-Хард | 0.0 | 1.1 | 1.00 | 1.02 | 1992 | 1949 | 2019,00 | 71 | -0.03 |
| 23219 | Елецкая | 9.0 | 11.7 | 1.21 | 1.28 | 1991 | 1950 | 2019,00 | 69 | -0.41 |
| 23220 | Новый Порт | 6.0 | 7.7 | 1.13 | 1.17 | 1992 | 1950 | 2019,00 | 70 | -0.34 |
| 23242 | Тазовск | 1.5 | 2.8 | 1.03 | 1.06 | 1980 | 1961 | 2019,00 | 58 | -0.17 |
| 23256 | Оленек АМСГ | 0.4 | 1.7 | 1.01 | 1.03 | 1978 | 1961 | 2019,00 | 59 | -0.08 |
| 24125 | Сухана | 0.1 | 3.9 | 1.00 | 1.08 | 1954 | 1941 | 2019,00 | 75 | -0.04 |
| 24136 | Верхоянск, АМСГ | 1.7 | 3.2 | 1.03 | 1.07 | 1984 | 1957 | 2019,00 | 63 | -0.18 |
| 24266 | Шелагонцы | 0.8 | 2.6 | 1.02 | 1.05 | 2007 | 1934 | 2019,00 | 69 | 0.12 |
| 24329 | Жиганск | 2.6 | 5.6 | 1.05 | 1.12 | 2002 | 1943 | 2019,00 | 66 | -0.23 |
| 24343 | 0. Айон | 3.6 | 5.1 | 1.08 | 1.11 | 2004 | 1943 | 2019,00 | 72 | -0.27 |
| 25042 | Островное | 0.0 | 1.4 | 1.00 | 1.03 | 1983 | 1969 | 2019,00 | 48 | -0.01 |
| 25138 | М. Шмидта | 0.7 | 2.4 | 1.01 | 1.05 | 2002 | 1959 | 2019,00 | 58 | 0.11 |
| 25173 | Среднеколымск | 2.0 | 3.5 | 1.04 | 1.07 | 1985 | 1961 | 2019,00 | 59 | -0.20 |
| 25206 | Усть-Олой | 0.0 | 0.8 | 1.00 | 1.02 | 1980 | 1943 | 2012,00 | 53 | -0.01 |
| 25325 | Амгуема, 87км | 0.0 | 1.1 | 1.00 | 1.02 | 1980 | 1943 | 2019,00 | 59 | 0.01 |
| 25372 | Им.Э.Т.Кренкеля,ГМО | 1.5 | 3.2 | 1.03 | 1.07 | 1984 | 1950 | 2018,00 | 55 | -0.17 |

Из результатов таблицы 4.3 следует, что из 49 серий наблюдений продолжительности июльского солнечного сияния 3 серии с моделью пошаговых изменений, а также 1 серия с близким значением, и ни одна в соответствии с моделью линейного тренда, не являются нестационарными при Δ >10%.Статистически значимых по критерию Фишера при уровне значимости 5% нет.

Примеры графиков временных рядов нестационарных моделей показаны на рис. 4.3.

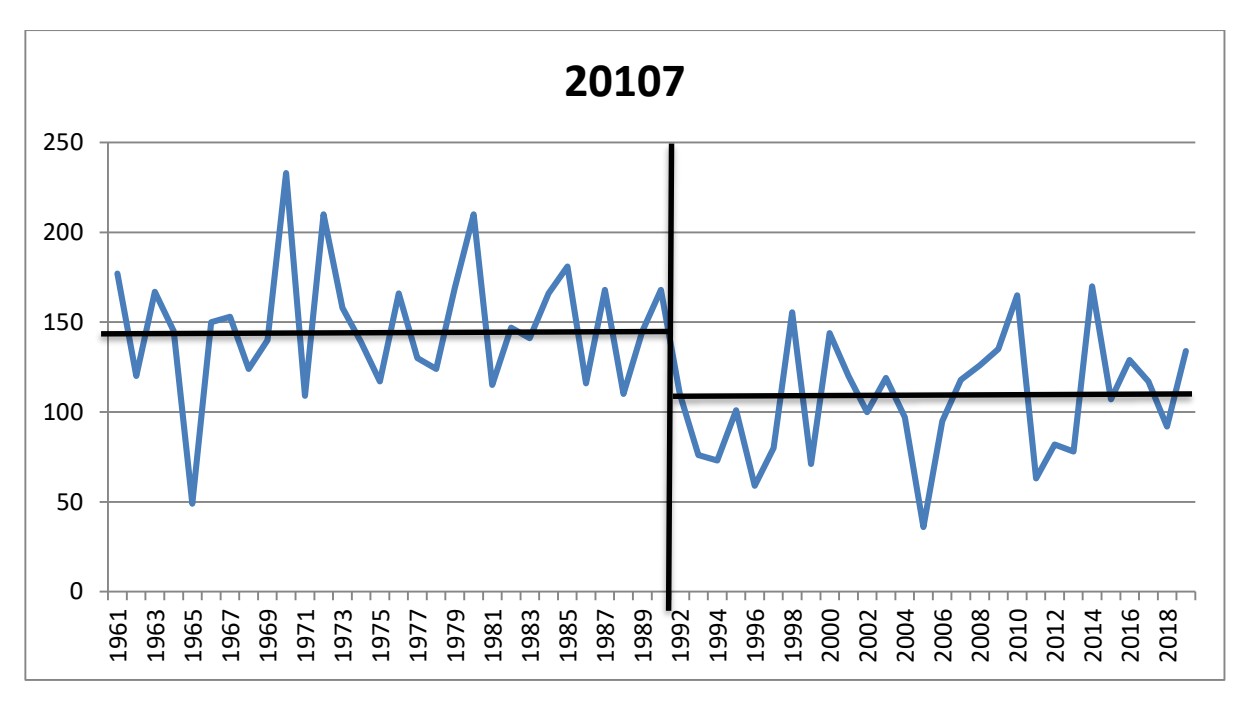


Рис 4,2 График временного ряда нестационарной модели

При анализе данных таблиц за выбранные месяцы можно сделать вывод, что модель пошаговых изменений намного лучше, чем модель линейного тренда, поскольку она имеет большие значения нестационарности Δ и более правильно отражает характер нестационарности, связанный с переходом от одного стационарного режима к еще одному.

4.2. Пространственные обобщения показателей нестационарности

Для оценки показателей нестационарности моделей линейных трендов и пошаговых изменений с использованием программы ТІМОD1 были взяты значения с 1960 года по последний год измерений. Именно этот период в российском Арктическом регионе связан с современным потеплением и не учитывает естественное потепление середины 20-го века.

В таблице 4.4 приведены результаты расчетов с использованием моделей временных рядов с линейным трендом (Dtr) и пошаговыми изменениями (Dst) за три месяца январь (я), апрель (а), июль (и). Для обобщения рассчитанных

параметров были построены пространственные распределения отклонений нестационарных моделей от модели стационарной выборки в процентах (Dtr. и Dst.) и коэффициент корреляции температуры за четыре месяца, показанные на рисунках 4.3–4.5.

Таблица 4.4 - показатели нестационарности за три месяца

| | | 1 | 1 | _ | | | | | | | | | |
|-------|------------------|--------|---------|------|-------|------|------|-------|------|-------|--------------|-------|--|
| код | название | широта | долгота | | ∆tr,% | ó | 4 | ∆st,% | • | кот | К-т реляі | ІИИ | |
| | | та | та | Я | a | И | Я | a | И | Я | a | и | |
| 20046 | .Кренкеля | 80,6 | 58,1 | 0 | 0.7 | 1.9 | 0 | 2.2 | 3.7 | 0 | -0.12 | 0.19 | |
| 20069 | Визе | 79,5 | 77 | 0.4 | 2.0 | 0.5 | 5.0 | 5.8 | 2.8 | -0.09 | 0.20 | -0.10 | |
| 20087 | Голомянный | 79,6 | 90,6 | 0.1 | 4.0 | 0.6 | 2.7 | 7.6 | 2.8 | 0.04 | 0.28 | -0.11 | |
| 20107 | Баренцбург | 78,1 | 14,2 | 6.0 | 0.0 | 8.3 | 8.1 | 2.2 | 15.4 | -0.67 | -0.02 | -0.40 | |
| 20289 | Русский | 77,2 | 96,6 | 0.6 | 0.1 | 0.0 | 3.8 | 1.4 | 0.8 | 0.11 | 0.04 | -0.01 | |
| 20292 | .Федорова | 77,7 | 104,3 | 0.8 | 4.9 | 0.2 | 4.0 | 10.8 | 4.7 | -0.13 | -0.31 | -0.07 | |
| 20667 | .Попова | 73,3 | 70,1 | 0.8 | 4.5 | 0.5 | 2.4 | 7.7 | 2.5 | 0.13 | -0.30 | -0.10 | |
| 20674 | Диксон | 73,5 | 80,4 | 0.1 | 1.4 | 2.9 | 2.8 | 5.0 | 4.8 | -0.04 | -0.16 | -0.24 | |
| 20744 | Малые Кармакулы | 72,4 | 52,7 | 1.7 | 0.0 | 0.4 | 3.6 | 1.4 | 3.1 | -0.18 | 0.00 | -0.09 | |
| 21432 | 0. Котельный | 76 | 137,9 | 0.6 | 0.8 | 1.0 | 4.1 | 3.6 | 2.4 | -0.11 | -0.12 | 0.14 | |
| 21647 | 0. Шалаурова | 73,2 | 143,9 | 8.5 | 0.6 | 0.8 | 15.1 | 1.7 | 1.4 | -0.40 | 0.11 | 0.12 | |
| 21802 | Саскылах | 72 | 114,1 | 5.8 | 8.1 | 8.0 | 19.6 | 9.4 | 10.6 | -0.34 | -0.39 | -0.39 | |
| 21824 | Тикси | 71,6 | 128,9 | 22.1 | 0.6 | 6.1 | 22.3 | 2.7 | 9.8 | 0.63 | 0.11 | 0.34 | |
| 21908 | Жилинда | 70,1 | 114 | 2.8 | 0.1 | 1.1 | 13.2 | 4.8 | 4.0 | 0.24 | -0.04 | -0.15 | |
| 21921 | Кюсюр | 70,7 | 127,4 | 13.6 | 0.0 | 2.1 | 25.5 | 1.3 | 7.5 | 0.50 | -0.03 | -0.21 | |
| 21946 | Чокурдах | 70,6 | 147,9 | 0.2 | 0.3 | 0.4 | 4.4 | 3.9 | 0.9 | 0.06 | 0.08 | 0.09 | |
| 21982 | 0. Врангеля | 71 | 182,5 | 3.6 | 7.7 | 1.1 | 5.7 | 9.2 | 3.2 | -0.27 | -0.38 | -0.15 | |
| 22003 | Вайда-Губа | 69,9 | 32 | 3.2 | 0.1 | 0.2 | 7.1 | 3.4 | 1.4 | 0.25 | -0.05 | -0.06 | |
| 22028 | Териберка | 69,2 | 35,1 | 0.2 | 0.1 | 4.8 | 3.0 | 2.4 | 7.2 | 0.07 | -0.05 | -0.31 | |
| 22095 | Колгуев Северный | 69,1 | 49,2 | 1.0 | 1.5 | 0.9 | 3.1 | 5.2 | 4.6 | -0.14 | -0.17 | -0.13 | |
| 22101 | Виртаниеми | 68,9 | 28,4 | 0.4 | 0.1 | 0.0 | 4.1 | 1.9 | 1.2 | 0.09 | -0.04 | -0.01 | |
| 22113 | Мурманск | 69 | 33,1 | 10.2 | 1.6 | 1.5 | 12.8 | 6.5 | 2.4 | 0.44 | 0.18 | 0.17 | |
| 22140 | Гремиха Бухта | 68,1 | 39,5 | 2.0 | 0.2 | 6.5 | 4.2 | 3.4 | 8.3 | 0.20 | 0.07 | -0.35 | |
| 22165 | Канин Нос | 68,6 | 43,3 | 1.6 | 2.0 | 4.1 | 6.4 | 5.6 | 6.8 | 0.18 | -0.20 | -0.28 | |
| 22235 | Краснощелье | 67,3 | 37,1 | 0.2 | 0.1 | 0.0 | 3.5 | 1.7 | 1.1 | -0.06 | -0.05 | 0.00 | |
| 22292 | Индига | 67,7 | 48,7 | 2.2 | 0.0 | 0.3 | 9.9 | 0.5 | 3.6 | 0.21 | -0.01 | -0.08 | |
| 22355 | Сосновец остров | 66,5 | 40,7 | 1.4 | 0.3 | 0.7 | 4.0 | 2.6 | 1.9 | -0.17 | 0.07 | -0.12 | |
| 22520 | Кемь-порт | 64,98 | 34,8 | 2.3 | 0.2 | 1.4 | 4.3 | 2.5 | 3.8 | -0.21 | -0.07 | 0.17 | |
| 22550 | Архангельск | 64,4 | 40,7 | 0.5 | 0.0 | 0.9 | 1.4 | 2.2 | 2.8 | -0.10 | 0.00 | -0.13 | |
| 22583 | Койнас | 64,8 | 47,6 | 2.9 | 0.0 | 0.0 | 7.4 | 1.5 | 1.9 | -0.24 | -0.02 | -0.01 | |
| 23022 | Амдерма | 69,8 | 61,7 | 0.7 | 0.0 | 0.0 | 1.8 | 1.2 | 1.2 | 0.12 | -0.02 | -0.03 | |
| 23032 | Марресаля | 69,7 | 66,8 | 0.9 | 0.2 | 0.0 | 4.2 | 2.0 | 2.0 | 0.13 | -0.06 | -0.02 | |
| 23074 | Дудинка | 69,4 | 86,2 | 0.3 | 5.2 | 0.9 | 3.9 | 8.9 | 1.6 | -0.08 | -0.32 | 0.13 | |
| 23205 | Нарьян-Мар | 67,6 | 53 | 4.4 | 2.3 | 0.0 | 9.5 | 4.1 | 1.1 | 0.29 | 0.21 | 0.00 | |
| 23219 | Хоседа-Хард | 67,1 | 59,4 | 0.3 | 0.2 | 11.0 | 2.5 | 1.6 | 12.6 | 0.08 | 0.06 | -0.46 | |

| 23220 | Елецкая | 67,8 | 64,8 | 1.2 | 2.4 | 6.4 | 3.5 | 4.1 | 7.7 | 0.16 | 0.22 | -0.35 |
|-------|---------------|-------|--------|-----|-----|-----|------|-----|-----|-------|-------|-------|
| 23242 | Новый Порт | 67,7 | 72,9 | 1.9 | 4.8 | 1.5 | 6.5 | 6.0 | 2.8 | 0.19 | -0.31 | -0.17 |
| 23256 | Тазовск | 67,5 | 78,7 | 4.6 | 1.1 | 0.4 | 13.9 | 1.2 | 1.7 | 0.30 | 0 | -0.08 |
| 24125 | Оленек | 68,5 | 112,4 | 0.0 | 0.0 | 5.9 | 2.2 | 1.3 | 6.9 | 0.03 | 0.00 | -0.34 |
| 24136 | Сухана | 68,62 | 118,33 | 4.3 | 0.7 | 2.3 | 19.3 | 3.6 | 3.9 | 0.29 | 0.12 | -0.21 |
| 24266 | Верхоянск | 67,55 | 133,38 | 0.4 | 0.2 | 1.7 | 4.5 | 1.5 | 3.6 | 0.09 | -0.06 | 0.18 |
| 24329 | Шелагонцы | 66,25 | 114,28 | 1.7 | 1.1 | 3.8 | 7.9 | 3.6 | 6.1 | 0.18 | 0.15 | -0.27 |
| 24343 | Жиганск | 66,77 | 123,4 | 4.3 | 0.1 | 4.4 | 12.0 | 1.6 | 5.6 | 0.29 | -0.05 | -0.29 |
| 25042 | 0. Айон | 69,8 | 168,7 | 0.1 | 0.7 | 0.0 | 2.0 | 2.7 | 1.4 | -0.04 | -0.12 | -0.01 |
| 25138 | Островное | 68,12 | 164,16 | 0.3 | 0.1 | 0.4 | 0.8 | 1.0 | 2.2 | -0.07 | -0.05 | 0.08 |
| 25173 | М. Шмидта | 68,9 | 181,4 | 0.0 | 0.0 | 2.0 | 1.2 | 0.9 | 3.5 | 0.00 | -0.02 | -0.20 |
| 25206 | Среднеколымск | 67,45 | 153 | 0.4 | 5.3 | 0.2 | 2.2 | 6.7 | 1.4 | 0.09 | 0.32 | 0.06 |
| 25325 | Усть-Олой | 66,55 | 159,42 | 2.9 | 2.6 | 0.5 | 4.7 | 6.3 | 2.3 | -0.24 | 0.23 | 0.10 |
| 25372 | Амгуема | 67 | 182,9 | 0.2 | 0.1 | 2.4 | 3.2 | 1.0 | 3.8 | 0.07 | -0.05 | -0.22 |

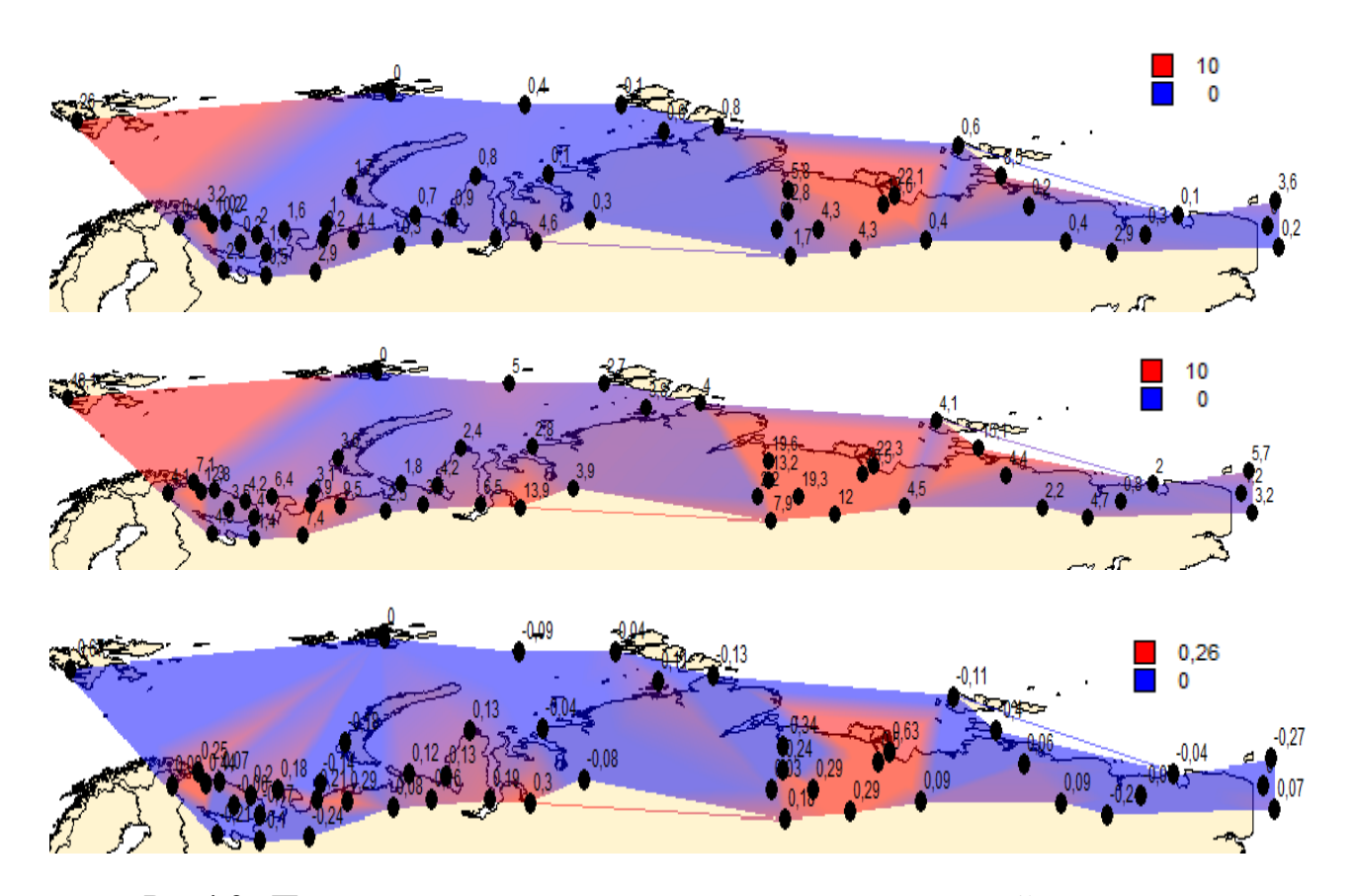


Рис4,3 Пространственные распределения отклонений нестационарных моделей от модели стационарной выборки Δ тр. в % Δ ст. в % и коэффициента корреляции для продолжительности солнечного сияния января.

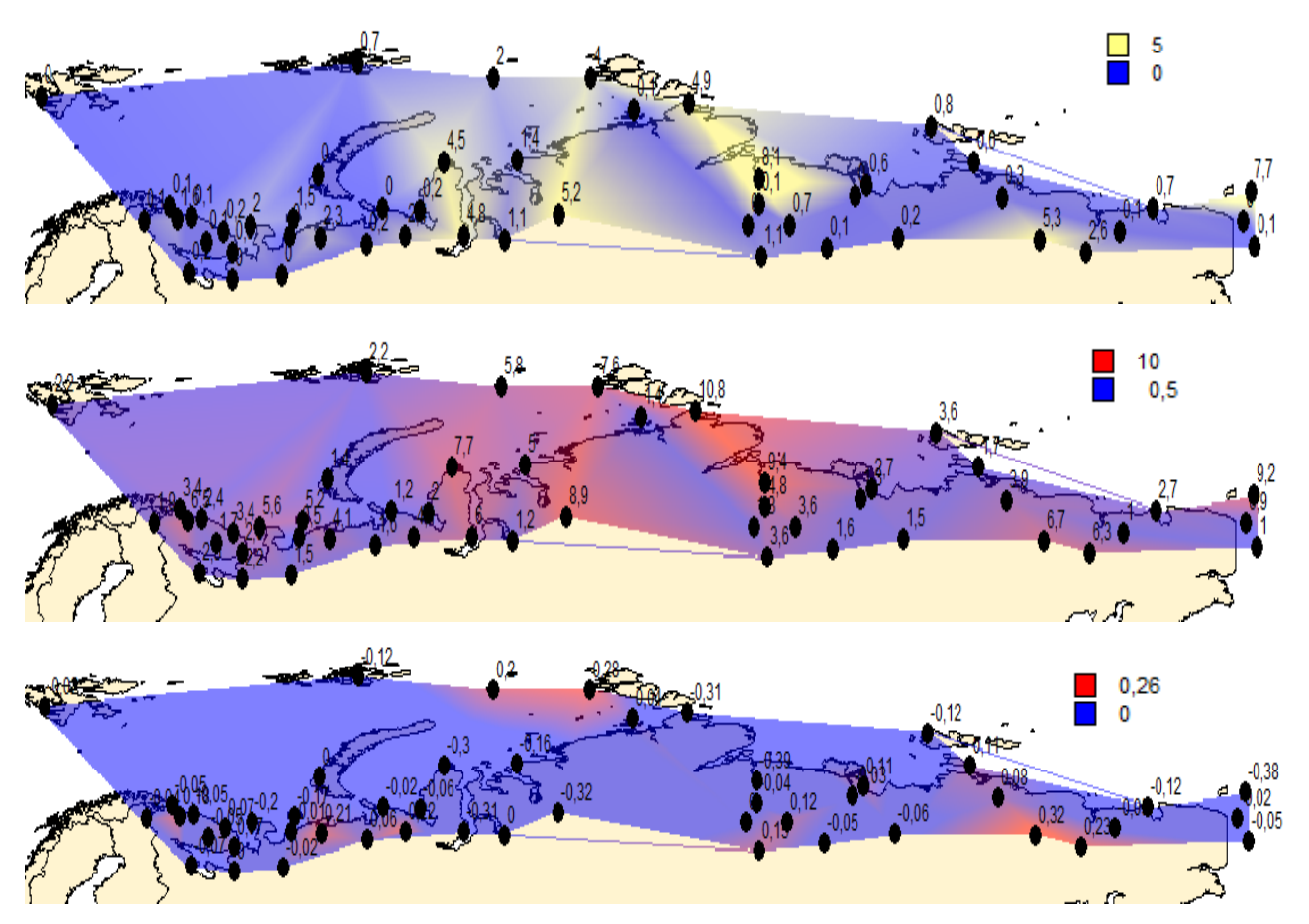
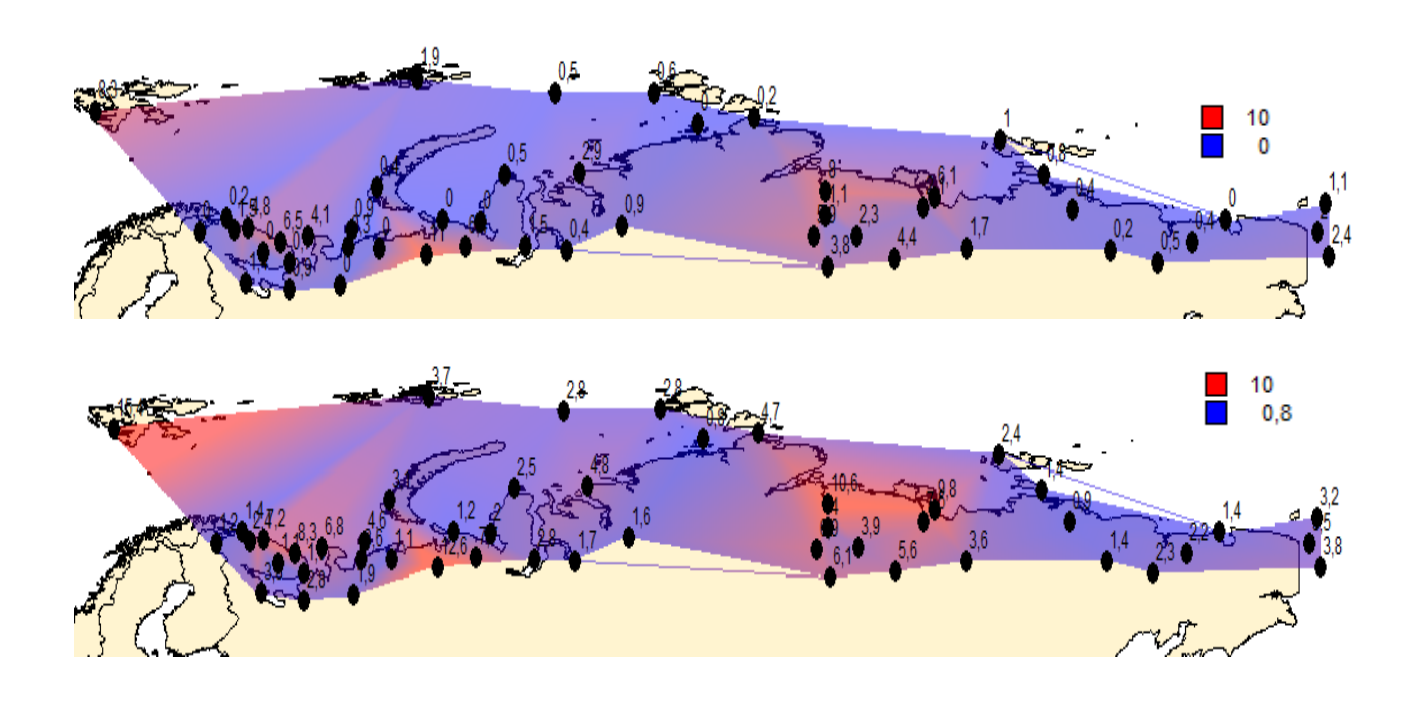
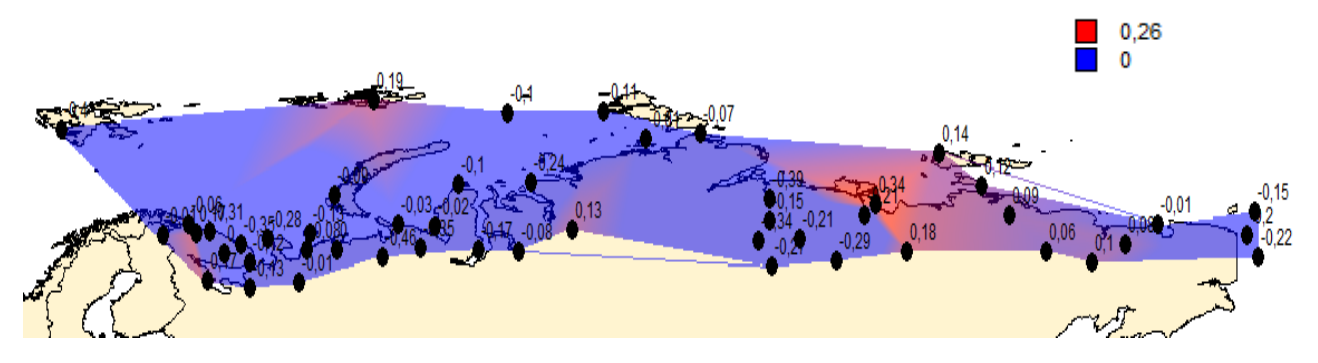


Рис 4,4 Пространственные распределения отклонений нестационарных моделей от модели стационарной выборки Δ тр. в % Δ ст. в % и коэффициента корреляции для продолжительности солнечного сияния апреля.





Анализируя данные расчетов и пространственных распределений продолжительности солнечного сияния, можно прийти к выводу, что эта характеристика ведет себя стационарно и зависит в основном от местных изменений. Это можно увидеть из пространственных распределений, где нестационарность наблюдается в выбранные месяцы над одним и тем же районом. Причем в зимние месяцы продолжительность солнечного сияния имеет тенденцию увеличения, что говорит о более ясном небе, а в весенний и летний периоды наоборот идет уменьшение продолжительности солнечного сияния, что может быть связано увеличением количества облачности над данным регионом. В целом значения нестационарности не высокие в пределах 10% за все месяцы. Распределение коэффициента корреляции повторяет распределение показателей нестационарности, и показывает значимые коэффициенты над одним районом, на северо-востоке региона за все три месяца.

По результатам проделанной работы можно сделать следующие основные выводы:

- 1. Сформирована база данных многолетних рядов среднемесячной температуры воздуха на 49 метеостанциях в российском Арктическом регионе. Станции расположены как в глубине континента, так и на побережье и островах. Такое распределение станций позволяет качественно оценить всю территорию российской Арктики. Сформирована база многолетних рядов продолжительности солнечного сияния на тех же 49 метеостанциях региона российской Арктики.
- 2. Для выбранных станций была проведена оценка качества, единообразия информации и восстановления пробелов в наблюдениях, в результате чего были получены практически непрерывные многолетние ряды температур воздуха со средней продолжительностью 90-100 лет с последним 2019 годом наблюдений, а для продолжительности солнечный свет со средним значением 60 лет.
- 3. Для холодного полугодия была проведена оценка проявлений современных климатических изменений, из которой следует, что в январе неустойчивость проявляется только на станциях, расположенных в западной части региона, в то время как в апреле неустойчивость наблюдается по всему российскому Арктическому региону. Более того, сравнивая две модели для выявления нестационарности, было обнаружено, что модель пошаговых изменений аппроксимирует временные ряды лучше, чем модель линейного тренда.

Сравнивая нынешнее потепление российской Арктики с естественным потеплением 1920-50-х годов, можно сделать вывод, что в январе повышение температуры наблюдалось только в западной части территории как раньше, так и сейчас. Более того, современное потепление занимает большую площадь, и если во время предыдущего потепления средняя температура повысилась максимум на 3°, то при современном повышении она достигает 5,5°, а разницу между ними в 2° можно отнести к минимальному антропогенному вкладу в это потепление. В апреле предыдущее потепление практически не проявило себя и

наибольшее повышение температуры составило 1° , однако нынешнее потепление затронуло всю территорию (чуть меньше, чем самый восток) и дало повышение температуры до $4,5-4,7^{\circ}$.

4. Для теплого полугодия была проведена оценка проявлений современных климатических изменений, из которой следует, что в июле месяце неустойчивость появляется только на станциях, расположенных в восточной части региона, что можно считать полностью противоположным распределение неустойчивости в январе месяце. В октябре месяце неустойчивость наблюдается в восточной части и на побережье всего региона. Также установлено, что для аппроксимации временных рядов модель пошаговых изменений более эффективна, чем трендовая модель.

Сравнивая нынешнее потепление российской Арктики с естественным потеплением 1920-50 годов, можно сделать вывод, что в июле месяце температура незначительно изменилась как при предыдущем потеплении 1920-40-50 годов, так и в наше время и максимум на 1,5 °C В октябре проявилось предыдущее потепление в западной части региона с повышением средних температур до 3 °C. Повышение средних октябрьских температур при современном потеплении уже достигает 4-5°C и наблюдается в основном на севере.

- 5. Сравнение потепления в разные сезоны также позволяет нам сделать вывод, что наибольшее современное потепление происходит в переходные сезоны года. Зимой это не так заметно в российской Арктике из-за ее самых низких температур и большой инерции местной довольно мощной криосферы. Летом потепление также не столь значительное и малозаметное, что связано с достаточно высоким континентальным нагревом континента в течение этого сезона.
- 6. Продолжительность солнечного сияния ведет себя стационарно и зависит в основном от местных изменений. Это можно увидеть из пространственных распределений, где нестационарность наблюдается в выбранные месяцы над одним и тем же районом. Причем в зимние месяцы

продолжительность солнечного сияния имеет тенденцию увеличения, что говорит о более ясном небе, а в весенний и летний периоды наоборот идет уменьшение продолжительности солнечного сияния, что может быть связано увеличением количества облачности над данным регионом. В целом значения нестационарности не высокие в пределах 10% за все месяцы.

Литература

- 1. Лобанов В. А., Методические указания по выполнению курсовой работы "Оценка современных региональных изменений климатических характеристик". Направление подготовки 280200 Прикладная гидрометеорология Профиль подготовки Магистранты. СПб.: Изд. РГГМУ, 2018. 91 с.
- 2. Дашко Н. А. Курс лекций по синоптической метеорологии, Владивосток: ДВГУ, 2005
- 3. Лобанов В.А. Лекции по климатологии. Часть 1. Общая климатология: Книга 1.: учебник. – СПб, РГГМУ, 2019. – 378 с
- 4. БЭС, статья Арктика, Большая Российская энциклопедия, 2002. 1456с.
- 5. Анисимов А. Арктика и Антарктика, А.В.К.-Тимошка, 2010. 96с.
- 6. Алисов Б.П., Берлин И.А., Михель В.М. Курс климатологии. Часть 3 Климаты земного шара, Ленинград, Гидрометеорологическое изд-во, 1954, 321 с.
- 7. Шмыркова О.О. Анализ термического режима Арктического побережья // Материалы XIV Международной студенческой научной конференции «Студенческий научный форум»
- 8. В.А. Лобанов, И.А. Смирнов, А .Е. Шадурский. Практикум по климатологии. Часть І. Учебное пособие. СПб.: РГГМУ, 2011. 145 с.
- Лобанов В.А., Смирнов И.А., Шадурский А.Е. Практикум по климатологии. Часть 2. Учебное пособие. СПб.: изд. РГГМУ, 2012 180 с.
- 10. Лобанов, В.А. Лекции по климатологии. Ч. 2. Динамика климата. Кн. 1. В 2 кн.: учебник. СПб.: РГГМУ, 2016. 332 с.
- 11. Руководитель Росгидромета А.В. Фролов. Второй оценочный доклад Росгидромета об изменениях климата и их последствиях на территории Российской Федерации., Росгидромет, 2014 г. 1008с.

Таблица 3.6 – Сравнение современного потепления Арктики с потеплением 1920-40 годов для января месяца

| Код станц ии | Период | Δτρ,% | Δст,% | Год ступенчатых изменений | Год начала измерений | Год окончания наблюден ий | Число лет | к-т корреля ции |
|--------------------|---------|-------|-------|---------------------------|-------------------------|------------------------------------|--------------|-----------------------|
| 20046 | до 1960 | 1.0 | 7.4 | 1919 | 1877 | 1960 | 68 | 0.14 |
| 20046 | c 1960 | 16.5 | 26.2 | 2005 | 1960 | 2019 | 60 | 0.55 |
| 20069 | до 1960 | 3.2 | 7.6 | 1919 | 1877 | 1960 | 65 | 0.25 |
| 20069 | c 1960 | 18.6 | 26.9 | 2005 | 1960 | 2019 | 60 | 0.58 |
| 20087 | до 1960 | 3.6 | 7.6 | 1919 | 1877 | 1960 | 65 | 0.27 |
| 20087 | c 1960 | 17.3 | 24.9 | 2005 | 1960 | 2019 | 60 | 0.56 |
| 20107 | до 1960 | 2.1 | 4.9 | 1943 | 1921 | 1960 | 40 | -0.20 |
| 20107 | c 1960 | 13.6 | 17.2 | 2005 | 1960 | 2019 | 60 | 0.50 |
| 20289 | до 1960 | 5.3 | 10.4 | 1920 | 1877 | 1960 | 66 | 0.32 |
| 20289 | c 1960 | 12.7 | 19.9 | 2005 | 1960 | 2019 | 60 | 0.49 |
| 20292 | до 1960 | 5.0 | 10.2 | 1919 | 1892 | 1960 | 62 | 0.31 |
| 20292 | c 1960 | 10.6 | 19.5 | 2005 | 1960 | 2019 | 60 | 0.45 |
| 20667 | до 1960 | 5.7 | 12.5 | 1920 | 1877 | 1960 | 66 | 0.33 |
| 20667 | c 1960 | 11.2 | 13.6 | 2005 | 1960 | 2019 | 60 | 0.46 |
| 20674 | до 1960 | 6.1 | 12.0 | 1920 | 1877 | 1960 | 67 | 0.34 |
| 20674 | c 1960 | 11.8 | 14.8 | 2005 | 1960 | 2019 | 60 | 0.47 |
| 20744 | до 1960 | 8.0 | 17.4 | 1919 | 1877 | 1960 | 66 | 0.39 |
| 20744 | c 1960 | 8.1 | 16.2 | 2004 | 1960 | 2019 | 60 | 0.39 |
| 21432 | до 1960 | 0.0 | 2.0 | 1945 | 1929 | 1960 | 32 | -0.02 |
| 21432 | c 1960 | 9.8 | 9.9 | 2006 | 1960 | 2019 | 60 | 0.43 |
| 21647 | до 1960 | 0.3 | 0.9 | 1950 | 1929 | 1960 | 32 | 0.07 |
| 21647 | c 1960 | 7.5 | 8.4 | 1975 | 1960 | 2019 | 60 | 0.38 |
| 21802 | до 1960 | 2.3 | 2.8 | 1946 | 1933 | 1960 | 28 | -0.21 |
| 21802 | c 1960 | 4.3 | 9.3 | 2005 | 1960 | 2019 | 60 | 0.29 |
| 21824 | до 1960 | 0.4 | 2.9 | 1932 | 1910 | 1960 | 43 | 0.09 |
| 21824 | c 1960 | 4.4 | 6.7 | 2005 | 1960 | 2019 | 60 | 0.29 |
| 21908 | до 1960 | 0.7 | 4.5 | 1932 | 1910 | 1960 | 43 | 0.12 |
| 21908 | c 1960 | 6.4 | 10.8 | 2005 | 1960 | 2019 | 60 | 0.35 |
| 21921 | до 1960 | 1.5 | 5.3 | 1932 | 1910 | 1960 | 43 | 0.17 |
| 21921 | c 1960 | 3.7 | 6.0 | 2005 | 1960 | 2019 | 60 | 0.27 |
| 21946 | до 1960 | 10.8 | 14.1 | 1920 | 1887 | 1960 | 64 | 0.45 |
| 21946 | c 1960 | 4.8 | 5.9 | 1975 | 1960 | 2019 | 60 | 0.31 |
| 21982 | до 1960 | 0.6 | 3.3 | 1950 | 1927 | 1960 | 34 | 0.11 |
| 21982 | c 1960 | 1.9 | 5.0 | 2008 | 1960 | 2019 | 59 | 0.19 |
| 22003 | до 1960 | 0.4 | 2.4 | 1923 | 1856 | 1960 | 105 | 0.08 |
| 22003 | c 1960 | 1.8 | 5.6 | 1991 | 1960 | 2019 | 60 | 0.19 |
| 22028 | до 1960 | 1.3 | 3.0 | 1922 | 1814 | 1960 | 145 | 0.16 |
| 22028 | c 1960 | 0.6 | 3.8 | 1991 | 1960 | 2019 | 60 | 0.11 |
| 22095 | до 1960 | 0.7 | 4.6 | 1920 | 1814 | 1960 | 145 | 0.12 |
| 22095 | c 1960 | 2.2 | 5.7 | 2004 | 1960 | 2019 | 60 | 0.21 |

| 22101 | до 1960 | 0.5 | 2.2 | 1869 | 1856 | 1960 | 105 | 0.10 |
|-------|---------|------|------|------|------|------|-----|-------|
| 22101 | c 1960 | 0.1 | 2.6 | 1988 | 1960 | 2019 | 60 | 0.04 |
| 22113 | до 1960 | 0.6 | 1.6 | 1922 | 1814 | 1960 | 145 | 0.11 |
| 22113 | c 1960 | 0.3 | 3.2 | 1988 | 1960 | 2019 | 60 | 0.08 |
| 22140 | до 1960 | 0.3 | 1.6 | 1921 | 1814 | 1960 | 145 | 0.07 |
| 22140 | c 1960 | 6.0 | 8.9 | 1992 | 1960 | 2019 | 60 | 0.34 |
| 22165 | до 1960 | 0.6 | 3.4 | 1921 | 1814 | 1960 | 145 | 0.11 |
| 22165 | c 1960 | 2.3 | 4.8 | 1992 | 1960 | 2019 | 60 | 0.21 |
| 22235 | до 1960 | 1.0 | 2.6 | 1922 | 1814 | 1960 | 145 | 0.14 |
| 22235 | c 1960 | 1.1 | 3.7 | 1992 | 1960 | 2019 | 60 | 0.15 |
| 22292 | до 1960 | 1.0 | 3.5 | 1921 | 1814 | 1960 | 145 | 0.14 |
| 22292 | c 1960 | 1.5 | 3.2 | 2004 | 1960 | 2019 | 60 | 0.17 |
| 22355 | до 1960 | 1.0 | 2.3 | 1921 | 1814 | 1960 | 145 | 0.14 |
| 22355 | c 1960 | 4.0 | 7.7 | 1993 | 1960 | 2019 | 60 | 0.28 |
| 22520 | до 1960 | 0.8 | 1.4 | 1922 | 1814 | 1960 | 145 | 0.13 |
| 22520 | c 1960 | 3.6 | 6.2 | 1988 | 1960 | 2019 | 60 | 0.26 |
| 22550 | до 1960 | 1.1 | 1.6 | 1894 | 1814 | 1960 | 145 | 0.15 |
| 22550 | c 1960 | 3.8 | 5.9 | 1992 | 1960 | 2019 | 60 | 0.27 |
| 22583 | до 1960 | 1.2 | 1.9 | 1921 | 1814 | 1960 | 145 | 0.16 |
| 22583 | c 1960 | 3.3 | 5.1 | 1992 | 1960 | 2019 | 60 | 0.26 |
| 23022 | до 1960 | 6.0 | 12.8 | 1920 | 1863 | 1960 | 70 | 0.34 |
| 23022 | c 1960 | 4.2 | 7.9 | 2004 | 1960 | 2019 | 60 | 0.29 |
| 23032 | до 1960 | 6.8 | 14.5 | 1920 | 1877 | 1960 | 67 | 0.36 |
| 23032 | c 1960 | 3.9 | 7.7 | 2004 | 1960 | 2019 | 60 | 0.28 |
| 23074 | до 1960 | 2.0 | 5.0 | 1920 | 1907 | 1960 | 54 | 0.20 |
| 23074 | c 1960 | 2.2 | 5.2 | 1980 | 1960 | 2019 | 60 | 0.21 |
| 23205 | до 1960 | 2.0 | 5.0 | 1920 | 1907 | 1960 | 54 | 0.20 |
| 23205 | c 1960 | 2.2 | 5.2 | 1980 | 1960 | 2019 | 60 | 0.21 |
| 23219 | до 1960 | 1.4 | 3.2 | 1920 | 1814 | 1960 | 145 | 0.17 |
| 23219 | c 1960 | 0.6 | 1.9 | 1981 | 1960 | 2019 | 60 | 0.11 |
| 23220 | до 1960 | 0.0 | 3.5 | 1878 | 1868 | 1960 | 93 | -0.01 |
| 23220 | c 1960 | 2.0 | 3.8 | 1981 | 1960 | 2019 | 60 | 0.20 |
| 23242 | до 1960 | 4.2 | 9.6 | 1920 | 1877 | 1960 | 67 | 0.29 |
| 23242 | c 1960 | 2.8 | 5.1 | 2004 | 1960 | 2019 | 60 | 0.23 |
| 23256 | до 1960 | 2.2 | 6.0 | 1920 | 1877 | 1960 | 67 | 0.21 |
| 23256 | c 1960 | 2.5 | 4.9 | 1981 | 1960 | 2019 | 60 | 0.22 |
| 24125 | до 1960 | 0.9 | 1.5 | 1950 | 1936 | 1960 | 25 | -0.14 |
| 24125 | c 1960 | 8.9 | 9.8 | 2005 | 1960 | 2019 | 60 | 0.41 |
| 24136 | до 1960 | 0.4 | 4.2 | 1932 | 1910 | 1960 | 43 | 0.08 |
| 24136 | c 1960 | 6.9 | 11.0 | 2005 | 1960 | 2019 | 60 | 0.36 |
| 24266 | до 1960 | 10.5 | 13.1 | 1916 | 1886 | 1960 | 71 | 0.45 |
| 24266 | c 1960 | 8.0 | 8.1 | 1991 | 1960 | 2019 | 60 | 0.39 |
| 24329 | до 1960 | 3.6 | 2.7 | 1943 | 1933 | 1960 | 28 | -0.27 |
| 24329 | c 1960 | 5.8 | 9.4 | 2005 | 1960 | 2019 | 60 | 0.34 |
| 24343 | до 1960 | 0.2 | 2.0 | 1939 | 1929 | 1960 | 32 | -0.06 |
| 24343 | c 1960 | 3.8 | 5.9 | 1991 | 1960 | 2019 | 60 | 0.27 |

| 25042 | до 1960 | 3.0 | 6.3 | 1950 | 1929 | 1960 | 32 | 0.24 |
|-------|---------|------|------|------|------|------|----|-------|
| 25042 | c 1960 | 1.4 | 4.0 | 2009 | 1960 | 2019 | 60 | 0.17 |
| 25138 | до 1960 | 6.1 | 8.2 | 1950 | 1933 | 1960 | 28 | 0.34 |
| 25138 | c 1960 | 0.4 | 1.1 | 2003 | 1960 | 2018 | 59 | 0.09 |
| 25173 | до 1960 | 1.8 | 6.1 | 1950 | 1927 | 1960 | 34 | 0.19 |
| 25173 | c 1960 | 0.3 | 4.4 | 2009 | 1960 | 2019 | 60 | 0.07 |
| 25206 | до 1960 | 6.0 | 8.1 | 1920 | 1887 | 1960 | 64 | 0.34 |
| 25206 | c 1960 | 1.7 | 5.4 | 1976 | 1960 | 2019 | 60 | 0.19 |
| 25325 | до 1960 | 14.5 | 14.6 | 1949 | 1933 | 1960 | 28 | 0.52 |
| 25325 | c 1960 | 1.1 | 4.2 | 1986 | 1960 | 2018 | 59 | -0.15 |
| 25372 | до 1960 | 0.9 | 3.6 | 1950 | 1927 | 1960 | 34 | 0.14 |
| 25372 | c 1960 | 0.1 | 2.9 | 2008 | 1960 | 2019 | 59 | 0.03 |

| Код станц ии | Период | Δτр,% | Δст,% | Год ступенчатых изменений | Год начала измерений | Год окончания наблюден ий | Число лет | к-т корреля ции |
|--------------------|---------|-------|-------|---------------------------------|-------------------------|------------------------------------|--------------|-----------------------|
| 20046 | до 1960 | 8.8 | 11.1 | 1897 | 1868 | 1960 | 92 | 0.41 |
| 20046 | c 1960 | 10.1 | 11.2 | 1990 | 1960 | 2019 | 60 | 0.44 |
| 20069 | до 1960 | 0.9 | 3.2 | 1943 | 1931 | 1960 | 30 | 0.14 |
| 20069 | c 1960 | 12.8 | 17.1 | 2006 | 1960 | 2019 | 60 | 0.49 |
| 20087 | до 1960 | 2.1 | 4.5 | 1943 | 1931 | 1960 | 30 | 0.20 |
| 20087 | c 1960 | 11.4 | 15.0 | 2007 | 1960 | 2019 | 60 | 0.46 |
| 20107 | до 1960 | 1.5 | 1.5 | 1950 | 1940 | 1960 | 21 | 0.17 |
| 20107 | c 1960 | 10.9 | 12.6 | 1989 | 1960 | 2019 | 60 | 0.45 |
| 20289 | до 1960 | 3.8 | 5.9 | 1943 | 1917 | 1960 | 43 | 0.27 |
| 20289 | c 1960 | 12.7 | 19.2 | 2007 | 1960 | 2019 | 60 | 0.49 |
| 20292 | до 1960 | 0.0 | 1.8 | 1943 | 1931 | 1960 | 30 | -0.01 |
| 20292 | c 1960 | 13.7 | 21.6 | 2007 | 1960 | 2019 | 60 | 0.51 |
| 20667 | до 1960 | 2.6 | 5.5 | 1943 | 1877 | 1960 | 67 | 0.23 |
| 20667 | c 1960 | 8.6 | 14.1 | 2007 | 1960 | 2019 | 60 | 0.40 |
| 20674 | до 1960 | 1.5 | 4.0 | 1932 | 1907 | 1960 | 54 | 0.17 |
| 20674 | c 1960 | 8.1 | 15.9 | 2007 | 1960 | 2019 | 60 | 0.40 |
| 20744 | до 1960 | 2.8 | 5.9 | 1943 | 1877 | 1960 | 66 | 0.24 |
| 20744 | c 1960 | 9.7 | 13.7 | 2007 | 1960 | 2019 | 60 | 0.43 |
| 21432 | до 1960 | 1.2 | 3.7 | 1940 | 1929 | 1960 | 32 | 0.15 |
| 21432 | c 1960 | 17.6 | 30.4 | 2007 | 1960 | 2019 | 60 | 0.57 |
| 21647 | до 1960 | 1.6 | 5.1 | 1940 | 1929 | 1960 | 32 | 0.18 |
| 21647 | c 1960 | 19.0 | 27.2 | 2007 | 1960 | 2019 | 60 | 0.59 |
| 21802 | до 1960 | 1.9 | 4.0 | 1948 | 1933 | 1960 | 28 | -0.19 |
| 21802 | c 1960 | 7.5 | 15.8 | 2007 | 1960 | 2019 | 60 | 0.38 |
| 21824 | до 1960 | 0.0 | 1.9 | 1950 | 1910 | 1960 | 43 | 0.01 |
| 21824 | c 1960 | 5.2 | 11.5 | 2007 | 1960 | 2019 | 60 | 0.32 |
| 21908 | до 1960 | 1.4 | 3.6 | 1950 | 1933 | 1960 | 28 | -0.17 |
| 21908 | c 1960 | 13.2 | 17.2 | 2007 | 1960 | 2019 | 60 | 0.50 |
| 21921 | до 1960 | 0.1 | 2.1 | 1950 | 1887 | 1960 | 71 | -0.05 |
| 21921 | c 1960 | 11.5 | 17.5 | 2007 | 1960 | 2019 | 60 | 0.47 |
| 21946 | до 1960 | 0.0 | 0.8 | 1906 | 1887 | 1960 | 64 | 0.03 |
| 21946 | c 1960 | 13.0 | 17.5 | 2009 | 1960 | 2019 | 60 | 0.49 |
| 21982 | до 1960 | 0.1 | 2.2 | 1938 | 1927 | 1960 | 34 | 0.03 |
| 21982 | c 1960 | 21.4 | 24.7 | 1988 | 1960 | 2019 | 60 | 0.62 |
| 22003 | до 1960 | 0.6 | 1.4 | 1930 | 1816 | 1960 | 144 | 0.11 |
| 22003 | c 1960 | 10.7 | 12.5 | 1999 | 1960 | 2019 | 60 | 0.45 |
| 22028 | до 1960 | 0.2 | 1.3 | 1828 | 1816 | 1960 | 144 | 0.07 |
| 22028 | c 1960 | 7.5 | 10.6 | 1999 | 1960 | 2019 | 60 | 0.38 |
| 22095 | до 1960 | 0.1 | 2.1 | 1936 | 1863 | 1960 | 77 | 0.04 |
| 22095 | c 1960 | 6.4 | 9.6 | 1989 | 1960 | 2019 | 60 | 0.35 |
| 22101 | до 1960 | 4.9 | 5.1 | 1878 | 1856 | 1960 | 105 | 0.31 |
| 22101 | c 1960 | 6.5 | 9.9 | 2002 | 1960 | 2019 | 60 | 0.36 |
| 22113 | до 1960 | 0.6 | 1.5 | 1889 | 1814 | 1960 | 146 | 0.11 |

| 22113 | c 1960 | 5.4 | 7.1 | 1989 | 1960 | 2019 | 60 | 0.32 |
|-------|---------|------|------|------|------|------|-----|-------|
| 22140 | до 1960 | 0.1 | 0.8 | 1947 | 1814 | 1960 | 146 | 0.04 |
| 22140 | c 1960 | 10.1 | 12.8 | 2000 | 1960 | 2019 | 60 | 0.44 |
| 22165 | до 1960 | 0.0 | 2.6 | 1873 | 1863 | 1960 | 98 | 0.01 |
| 22165 | c 1960 | 8.4 | 12.4 | 2000 | 1960 | 2019 | 60 | 0.40 |
| 22235 | до 1960 | 0.2 | 0.7 | 1894 | 1814 | 1960 | 146 | 0.07 |
| 22235 | c 1960 | 6.7 | 10.5 | 1999 | 1960 | 2019 | 60 | 0.36 |
| 22292 | до 1960 | 0.0 | 2.1 | 1873 | 1863 | 1960 | 98 | -0.01 |
| 22292 | c 1960 | 4.6 | 8.4 | 2000 | 1960 | 2019 | 60 | 0.30 |
| 22355 | до 1960 | 0.3 | 0.7 | 1881 | 1814 | 1960 | 146 | 0.07 |
| 22355 | c 1960 | 7.6 | 10.3 | 2000 | 1960 | 2019 | 60 | 0.38 |
| 22520 | до 1960 | 0.1 | 1.3 | 1829 | 1816 | 1960 | 144 | 0.04 |
| 22520 | c 1960 | 6.4 | 9.3 | 1999 | 1960 | 2019 | 60 | 0.35 |
| 22550 | до 1960 | 0.2 | 1.2 | 1903 | 1814 | 1960 | 146 | 0.07 |
| 22550 | c 1960 | 3.1 | 6.0 | 1989 | 1960 | 2019 | 60 | 0.25 |
| 22583 | до 1960 | 0.2 | 1.1 | 1903 | 1814 | 1960 | 146 | 0.07 |
| 22583 | c 1960 | 2.9 | 4.4 | 1989 | 1960 | 2019 | 60 | 0.24 |
| 23022 | до 1960 | 2.4 | 4.7 | 1936 | 1877 | 1960 | 67 | 0.22 |
| 23022 | c 1960 | 4.1 | 8.8 | 2007 | 1960 | 2019 | 60 | 0.28 |
| 23032 | до 1960 | 2.0 | 4.3 | 1936 | 1877 | 1960 | 67 | 0.20 |
| 23032 | c 1960 | 3.7 | 8.5 | 2007 | 1960 | 2019 | 60 | 0.27 |
| 23074 | до 1960 | 0.7 | 3.1 | 1932 | 1907 | 1960 | 54 | 0.12 |
| 23074 | c 1960 | 6.8 | 15.2 | 2007 | 1960 | 2019 | 60 | 0.36 |
| 23205 | до 1960 | 0.0 | 1.0 | 1936 | 1863 | 1960 | 88 | 0.02 |
| 23205 | c 1960 | 5.5 | 7.4 | 1994 | 1960 | 2019 | 60 | 0.33 |
| 23219 | до 1960 | 0.5 | 2.2 | 1943 | 1876 | 1960 | 85 | 0.10 |
| 23219 | c 1960 | 3.7 | 7.5 | 2007 | 1960 | 2019 | 60 | 0.27 |
| 23220 | до 1960 | 2.8 | 5.6 | 1932 | 1877 | 1960 | 68 | 0.23 |
| 23220 | c 1960 | 2.3 | 5.5 | 2007 | 1960 | 2019 | 60 | 0.21 |
| 23242 | до 1960 | 3.9 | 8.3 | 1936 | 1877 | 1960 | 56 | 0.28 |
| 23242 | c 1960 | 4.0 | 8.4 | 2007 | 1960 | 2019 | 60 | 0.28 |
| 23256 | до 1960 | 1.1 | 4.5 | 1932 | 1907 | 1960 | 54 | 0.15 |
| 23256 | c 1960 | 5.5 | 10.8 | 2007 | 1960 | 2019 | 60 | 0.33 |
| 24125 | до 1960 | 4.1 | 8.2 | 1950 | 1936 | 1960 | 25 | -0.28 |
| 24125 | c 1960 | 10.4 | 14.5 | 2007 | 1960 | 2019 | 60 | 0.44 |
| 24136 | до 1960 | 0.1 | 2.9 | 1950 | 1910 | 1960 | 43 | -0.05 |
| 24136 | c 1960 | 16.6 | 16.7 | 2007 | 1960 | 2019 | 60 | 0.55 |
| 24266 | до 1960 | 0.3 | 4.0 | 1950 | 1887 | 1960 | 71 | -0.08 |
| 24266 | c 1960 | 12.8 | 14.9 | 2009 | 1960 | 2019 | 60 | 0.49 |
| 24329 | до 1960 | 1.3 | 7.9 | 1950 | 1933 | 1960 | 28 | -0.16 |
| 24329 | c 1960 | 12.0 | 13.9 | 2007 | 1960 | 2019 | 60 | 0.48 |
| 24343 | до 1960 | 0.7 | 4.3 | 1950 | 1910 | 1960 | 43 | -0.11 |
| 24343 | c 1960 | 15.9 | 15.1 | 2007 | 1960 | 2019 | 60 | 0.54 |
| 25042 | до 1960 | 0.1 | 1.2 | 1938 | 1927 | 1960 | 34 | 0.05 |
| 25042 | c 1960 | 17.4 | 17.1 | 1990 | 1960 | 2019 | 60 | 0.56 |
| 25138 | до 1960 | 0.2 | 1.2 | 1912 | 1887 | 1960 | 61 | -0.07 |
| | | | | | | | | |

| 25138 | c 1960 | 13.3 | 13.9 | 2000 | 1960 | 2018 | 59 | 0.50 |
|-------|---------|------|------|------|------|------|----|-------|
| 25173 | до 1960 | 0.1 | 1.2 | 1938 | 1927 | 1960 | 34 | 0.05 |
| 25173 | c 1960 | 14.0 | 15.9 | 1988 | 1960 | 2019 | 60 | 0.51 |
| 25206 | до 1960 | 0.0 | 0.6 | 1940 | 1887 | 1960 | 64 | 0.00 |
| 25206 | c 1960 | 12.7 | 17.0 | 2009 | 1960 | 2019 | 60 | 0.49 |
| 25325 | до 1960 | 1.2 | 3.7 | 1946 | 1933 | 1960 | 28 | -0.15 |
| 25325 | c 1960 | 12.7 | 14.1 | 1990 | 1960 | 2018 | 59 | 0.49 |
| 25372 | до 1960 | 0.1 | 0.9 | 1949 | 1927 | 1960 | 34 | -0.04 |
| 25372 | c 1960 | 12.4 | 13.5 | 1988 | 1960 | 2019 | 60 | 0.48 |

| Код станц ии | Период | Δτр,% | Δст,% | Год ступенчатых изменений | Год начала измерений | Год окончания наблюден ий | Число лет | к-т корреля ции |
|--------------------|---------|-------|-------|---------------------------------|-------------------------|------------------------------------|--------------|-----------------------|
| 20046 | до 1960 | 10.0 | 11.2 | 1948 | 1917 | 1960 | 42 | 0.44 |
| 20046 | c 1960 | 0.5 | 2.1 | 1987 | 1960 | 2019 | 57 | -0.10 |
| 20069 | до 1960 | 0.3 | 0.2 | 1943 | 1931 | 1960 | 26 | 0.07 |
| 20069 | c 1960 | 0.0 | 1.1 | 2004 | 1960 | 2019 | 59 | 0.00 |
| 20087 | до 1960 | 0.0 | 0.4 | 1943 | 1931 | 1960 | 26 | 0.01 |
| 20087 | c 1960 | 0.0 | 1.0 | 1972 | 1960 | 2019 | 59 | -0.02 |
| 20107 | до 1960 | 5.6 | 8.0 | 1947 | 1931 | 1960 | 29 | -0.33 |
| 20107 | c 1960 | 12.8 | 12.5 | 1998 | 1960 | 2018 | 58 | 0.49 |
| 20289 | до 1960 | 2.5 | 1.4 | 1945 | 1933 | 1960 | 28 | 0.22 |
| 20289 | c 1960 | 0.3 | 3.0 | 1971 | 1960 | 2019 | 60 | -0.08 |
| 20292 | до 1960 | 3.0 | 2.6 | 1945 | 1933 | 1960 | 28 | 0.24 |
| 20292 | c 1960 | 0.1 | 1.5 | 1971 | 1960 | 2019 | 58 | -0.05 |
| 20667 | до 1960 | 0.9 | 2.4 | 1950 | 1917 | 1960 | 44 | 0.13 |
| 20667 | c 1960 | 10.9 | 13.4 | 2004 | 1960 | 2019 | 60 | 0.45 |
| 20674 | до 1960 | 0.2 | 1.3 | 1928 | 1917 | 1960 | 44 | 0.07 |
| 20674 | c 1960 | 8.7 | 12.3 | 2004 | 1960 | 2019 | 59 | 0.41 |
| 20744 | до 1960 | 2.2 | 3.4 | 1920 | 1879 | 1960 | 63 | 0.21 |
| 20744 | c 1960 | 0.5 | 2.8 | 2004 | 1960 | 2019 | 60 | 0.10 |
| 21432 | до 1960 | 0.8 | 1.4 | 1948 | 1933 | 1960 | 25 | -0.12 |
| 21432 | c 1960 | 1.8 | 3.2 | 1991 | 1960 | 2019 | 60 | 0.19 |
| 21647 | до 1960 | 0.6 | 7.6 | 1942 | 1929 | 1960 | 32 | -0.11 |
| 21647 | c 1960 | 0.3 | 2.0 | 1987 | 1960 | 2019 | 60 | 0.08 |
| 21802 | до 1960 | 0.2 | 0.4 | 1949 | 1935 | 1960 | 26 | -0.06 |
| 21802 | c 1960 | 0.0 | 1.2 | 1972 | 1960 | 2019 | 60 | 0.00 |
| 21824 | до 1960 | 0.9 | 2.8 | 1943 | 1933 | 1960 | 28 | -0.14 |
| 21824 | c 1960 | 2.1 | 5.4 | 1988 | 1960 | 2018 | 59 | 0.21 |
| 21908 | до 1960 | 0.4 | 1.0 | 1949 | 1935 | 1960 | 26 | -0.09 |
| 21908 | c 1960 | 0.5 | 1.9 | 1991 | 1960 | 2019 | 60 | 0.10 |
| 21921 | до 1960 | 0.8 | 3.3 | 1931 | 1887 | 1960 | 72 | 0.13 |
| 21921 | c 1960 | 0.6 | 2.5 | 1991 | 1960 | 2019 | 60 | 0.11 |
| 21946 | до 1960 | 1.4 | 4.8 | 1931 | 1887 | 1960 | 66 | 0.17 |
| 21946 | c 1960 | 0.8 | 3.8 | 1987 | 1960 | 2019 | 60 | 0.12 |
| 21982 | до 1960 | 0.5 | 4.7 | 1946 | 1927 | 1960 | 34 | -0.10 |
| 21982 | c 1960 | 19.3 | 22.0 | 1999 | 1960 | 2019 | 56 | 0.59 |
| 22003 | до 1960 | 0.6 | 2.0 | 1913 | 1890 | 1960 | 71 | 0.11 |
| 22003 | c 1960 | 0.1 | 2.0 | 2000 | 1960 | 2019 | 59 | 0.04 |
| 22028 | до 1960 | 0.5 | 2.2 | 1913 | 1890 | 1960 | 71 | 0.10 |
| 22028 | c 1960 | 0.1 | 2.3 | 2000 | 1960 | 2019 | 59 | 0.05 |
| 22095 | до 1960 | 0.3 | 3.8 | 1950 | 1862 | 1960 | 68 | 0.08 |
| 22095 | c 1960 | 1.0 | 4.7 | 2000 | 1960 | 2019 | 60 | 0.14 |
| 22101 | до 1960 | 3.8 | 7.7 | 1913 | 1876 | 1960 | 85 | 0.27 |
| 22101 | c 1960 | 0.9 | 2.6 | 1997 | 1960 | 2019 | 59 | 0.14 |
| 22113 | до 1960 | 1.2 | 4.2 | 1913 | 1890 | 1960 | 71 | 0.15 |

| 22113 | c 1960 | 0.3 | 2.4 | | | | | |
|-------|---------|-----|-----|------|------|------|-----|-------|
| | | 0.3 | 2.1 | 2000 | 1960 | 2019 | 59 | 0.08 |
| 22140 | до 1960 | 0.8 | 2.6 | 1931 | 1862 | 1960 | 75 | 0.13 |
| 22140 | c 1960 | 0.0 | 2.9 | 1976 | 1960 | 2019 | 60 | 0.02 |
| 22165 | до 1960 | 0.6 | 2.8 | 1950 | 1862 | 1960 | 69 | 0.11 |
| 22165 | c 1960 | 0.2 | 3.4 | 2000 | 1960 | 2019 | 60 | 0.06 |
| 22235 | до 1960 | 0.0 | 1.4 | 1838 | 1814 | 1960 | 146 | -0.01 |
| 22235 | c 1960 | 0.6 | 4.0 | 1998 | 1960 | 2019 | 60 | 0.11 |
| 22292 | до 1960 | 0.3 | 3.1 | 1950 | 1862 | 1960 | 68 | 0.07 |
| 22292 | c 1960 | 0.9 | 4.1 | 1998 | 1960 | 2019 | 60 | 0.13 |
| 22355 | до 1960 | 0.2 | 5.7 | 1878 | 1856 | 1960 | 97 | -0.07 |
| 22355 | c 1960 | 3.0 | 8.4 | 2000 | 1960 | 2019 | 60 | 0.24 |
| 22520 | до 1960 | 0.4 | 3.1 | 1878 | 1866 | 1960 | 95 | -0.09 |
| 22520 | c 1960 | 2.1 | 7.1 | 1999 | 1960 | 2018 | 59 | 0.21 |
| 22550 | до 1960 | 0.0 | 1.1 | 1838 | 1814 | 1960 | 146 | 0.00 |
| 22550 | c 1960 | 1.2 | 5.8 | 1998 | 1960 | 2019 | 60 | 0.15 |
| 22583 | до 1960 | 0.2 | 1.3 | 1891 | 1814 | 1960 | 146 | -0.06 |
| 22583 | c 1960 | 1.6 | 5.4 | 1998 | 1960 | 2019 | 60 | 0.18 |
| 23022 | до 1960 | 2.3 | 7.7 | 1950 | 1934 | 1960 | 27 | 0.21 |
| 23022 | c 1960 | 2.8 | 5.4 | 2008 | 1960 | 2018 | 59 | 0.24 |
| 23032 | до 1960 | 1.1 | 4.7 | 1950 | 1917 | 1960 | 43 | 0.15 |
| 23032 | c 1960 | 3.1 | 4.3 | 2004 | 1960 | 2019 | 60 | 0.25 |
| 23074 | до 1960 | 3.2 | 7.2 | 1942 | 1907 | 1960 | 46 | 0.25 |
| 23074 | c 1960 | 1.1 | 3.5 | 2004 | 1960 | 2017 | 56 | 0.15 |
| 23205 | до 1960 | 0.4 | 2.2 | 1950 | 1913 | 1960 | 48 | 0.09 |
| 23205 | c 1960 | 0.2 | 2.0 | 1998 | 1960 | 2019 | 60 | 0.07 |
| 23219 | до 1960 | 0.4 | 5.4 | 1950 | 1927 | 1960 | 34 | 0.09 |
| 23219 | c 1960 | 1.1 | 3.3 | 2004 | 1960 | 2019 | 60 | 0.15 |
| 23220 | до 1960 | 0.5 | 5.9 | 1950 | 1927 | 1960 | 34 | 0.10 |
| 23220 | c 1960 | 0.4 | 1.7 | 2004 | 1960 | 2019 | 60 | 0.09 |
| 23242 | до 1960 | 5.3 | 9.3 | 1948 | 1933 | 1960 | 22 | 0.32 |
| 23242 | c 1960 | 5.6 | 6.7 | 1982 | 1960 | 2018 | 59 | 0.33 |
| 23256 | до 1960 | 2.4 | 5.9 | 1950 | 1907 | 1960 | 47 | 0.22 |
| 23256 | c 1960 | 1.7 | 3.8 | 2005 | 1960 | 2019 | 60 | 0.19 |
| 24125 | до 1960 | 1.6 | 2.4 | 1948 | 1935 | 1960 | 26 | -0.18 |
| 24125 | c 1960 | 0.5 | 1.5 | 1996 | 1960 | 2019 | 60 | 0.10 |
| 24136 | до 1960 | 0.2 | 4.6 | 1931 | 1910 | 1960 | 40 | 0.07 |
| 24136 | c 1960 | 0.5 | 1.8 | 1991 | 1960 | 2019 | 60 | 0.10 |
| 24266 | до 1960 | 0.0 | 1.7 | 1942 | 1887 | 1960 | 72 | -0.01 |
| 24266 | c 1960 | 2.2 | 4.6 | 1991 | 1960 | 2019 | 60 | 0.21 |
| 24329 | до 1960 | 4.7 | 7.9 | 1949 | 1935 | 1960 | 26 | -0.30 |
| 24329 | c 1960 | 1.3 | 3.8 | 1991 | 1960 | 2019 | 60 | 0.16 |
| 24343 | до 1960 | 0.4 | 4.8 | 1931 | 1910 | 1960 | 40 | 0.09 |
| 24343 | c 1960 | 0.6 | 2.0 | 1997 | 1960 | 2019 | 60 | 0.11 |
| 25042 | до 1960 | 1.1 | 7.6 | 1950 | 1934 | 1960 | 27 | 0.15 |
| 25042 | c 1960 | 4.2 | 4.4 | 2003 | 1960 | 2017 | 58 | 0.29 |
| 25138 | до 1960 | 0.0 | 2.6 | 1905 | 1887 | 1960 | 66 | -0.02 |

| 25138 | c 1960 | 3.6 | 5.2 | 1987 | 1960 | 2018 | 59 | 0.27 |
|-------|---------|-----|------|------|------|------|----|-------|
| 25173 | до 1960 | 4.9 | 9.1 | 1950 | 1933 | 1960 | 28 | 0.31 |
| 25173 | c 1960 | 1.5 | 3.4 | 2002 | 1960 | 2013 | 53 | 0.17 |
| 25206 | до 1960 | 0.4 | 1.8 | 1931 | 1887 | 1960 | 66 | 0.09 |
| 25206 | c 1960 | 2.4 | 5.3 | 1987 | 1960 | 2019 | 60 | 0.22 |
| 25325 | до 1960 | 5.0 | 17.6 | 1945 | 1933 | 1960 | 27 | -0.31 |
| 25325 | c 1960 | 7.3 | 8.5 | 1971 | 1960 | 2017 | 58 | 0.38 |
| 25372 | до 1960 | 1.5 | 6.5 | 1950 | 1933 | 1960 | 28 | 0.17 |
| 25372 | c 1960 | 4.2 | 5.7 | 1972 | 1960 | 2014 | 55 | 0.29 |

| Код станц ии | Период | Δτр,% | Δст,% | Год ступенчатых изменений | Год начала измерений | Год окончания наблюден ий | Число лет | к-т корреля ции |
|--------------------|---------|-------|-------|---------------------------------|-------------------------|------------------------------------|--------------|-----------------------|
| 20046 | до 1960 | 0.7 | 0.0 | 0 | 1940 | 1960 | 16 | -0.11 |
| 20046 | c 1960 | 18.7 | 27.9 | 2007 | 1960 | 2018 | 59 | 0.58 |
| 20069 | до 1960 | 3.4 | 3.7 | 1945 | 1930 | 1960 | 31 | -0.26 |
| 20069 | c 1960 | 18.6 | 29.0 | 2007 | 1960 | 2018 | 59 | 0.58 |
| 20087 | до 1960 | 2.9 | 6.3 | 1949 | 1930 | 1960 | 31 | -0.24 |
| 20087 | c 1960 | 19.0 | 29.6 | 2005 | 1960 | 2018 | 59 | 0.59 |
| 20107 | до 1960 | 0.9 | 0.0 | 1949 | 1940 | 1960 | 15 | 0.13 |
| 20107 | c 1960 | 6.4 | 9.1 | 2007 | 1960 | 2018 | 59 | 0.35 |
| 20289 | до 1960 | 0.6 | 6.7 | 1950 | 1916 | 1960 | 36 | -0.11 |
| 20289 | c 1960 | 15.0 | 24.8 | 2005 | 1960 | 2018 | 59 | 0.53 |
| 20292 | до 1960 | 4.1 | 10.9 | 1950 | 1930 | 1960 | 31 | -0.28 |
| 20292 | c 1960 | 18.4 | 28.4 | 2005 | 1960 | 2018 | 59 | 0.58 |
| 20667 | до 1960 | 4.6 | 10.5 | 1919 | 1876 | 1960 | 67 | 0.30 |
| 20667 | c 1960 | 11.4 | 13.5 | 2007 | 1960 | 2018 | 59 | 0.46 |
| 20674 | до 1960 | 1.1 | 7.8 | 1919 | 1906 | 1960 | 55 | 0.15 |
| 20674 | c 1960 | 9.4 | 14.0 | 2007 | 1960 | 2018 | 59 | 0.42 |
| 20744 | до 1960 | 3.2 | 6.1 | 1921 | 1876 | 1960 | 75 | 0.25 |
| 20744 | c 1960 | 11.1 | 12.7 | 2000 | 1960 | 2018 | 59 | 0.46 |
| 21432 | до 1960 | 2.5 | 7.8 | 1948 | 1929 | 1960 | 32 | -0.22 |
| 21432 | c 1960 | 20.9 | 27.6 | 2005 | 1960 | 2018 | 59 | 0.61 |
| 21647 | до 1960 | 1.1 | 4.8 | 1948 | 1929 | 1960 | 31 | -0.15 |
| 21647 | c 1960 | 22.7 | 31.0 | 2005 | 1960 | 2018 | 59 | 0.63 |
| 21802 | до 1960 | 1.1 | 5.8 | 1950 | 1932 | 1960 | 29 | -0.15 |
| 21802 | c 1960 | 4.3 | 11.7 | 2007 | 1960 | 2018 | 59 | 0.29 |
| 21824 | до 1960 | 0.1 | 3.7 | 1950 | 1909 | 1960 | 44 | -0.05 |
| 21824 | c 1960 | 7.7 | 12.8 | 2005 | 1960 | 2018 | 59 | 0.38 |
| 21908 | до 1960 | 0.1 | 5.0 | 1950 | 1909 | 1960 | 44 | -0.05 |
| 21908 | c 1960 | 5.4 | 9.3 | 2007 | 1960 | 2018 | 59 | 0.32 |
| 21921 | до 1960 | 0.0 | 2.9 | 1950 | 1909 | 1960 | 44 | -0.01 |
| 21921 | c 1960 | 6.5 | 12.3 | 2007 | 1960 | 2018 | 59 | 0.36 |
| 21946 | до 1960 | 0.1 | 2.0 | 1931 | 1887 | 1960 | 68 | 0.05 |
| 21946 | c 1960 | 21.6 | 22.8 | 2005 | 1960 | 2018 | 59 | 0.62 |
| 21982 | до 1960 | 1.5 | 4.7 | 1936 | 1926 | 1960 | 35 | 0.17 |
| 21982 | c 1960 | 21.7 | 26.8 | 2002 | 1960 | 2018 | 59 | 0.62 |
| 22003 | до 1960 | 0.9 | 2.0 | 1929 | 1856 | 1960 | 105 | 0.13 |
| 22003 | c 1960 | 7.0 | 8.7 | 1999 | 1960 | 2018 | 59 | 0.37 |
| 22028 | до 1960 | 0.1 | 1.4 | 1929 | 1813 | 1960 | 147 | 0.04 |
| 22028 | c 1960 | 4.5 | 6.7 | 1999 | 1960 | 2018 | 59 | 0.30 |
| 22095 | до 1960 | 2.5 | 4.4 | 1929 | 1856 | 1960 | 105 | 0.22 |
| 22095 | c 1960 | 9.2 | 13.3 | 1999 | 1960 | 2018 | 59 | 0.42 |
| 22101 | до 1960 | 0.5 | 1.9 | 1929 | 1816 | 1960 | 144 | 0.10 |
| 22101 | c 1960 | 3.6 | 5.0 | 1996 | 1960 | 2018 | 59 | 0.27 |
| 22113 | до 1960 | 0.1 | 1.3 | 1929 | 1816 | 1960 | 144 | 0.03 |

| | | | τ | | T | Т | T | T |
|-------|---------|------|------|------|-------|------|-----|-------|
| 22113 | c 1960 | 3.2 | 5.3 | 1999 | 1960 | 2018 | 59 | 0.25 |
| 22140 | до 1960 | 0.1 | 1.7 | 1837 | 1813 | 1960 | 147 | -0.04 |
| 22140 | c 1960 | 6.7 | 9.1 | 1999 | 1960 | 2018 | 59 | 0.36 |
| 22165 | до 1960 | 0.0 | 1.4 | 1837 | 1813 | 1960 | 147 | -0.03 |
| 22165 | c 1960 | 6.0 | 11.0 | 1999 | 1960 | 2018 | 59 | 0.34 |
| 22235 | до 1960 | 0.0 | 1.4 | 1929 | 1813 | 1960 | 147 | 0.01 |
| 22235 | c 1960 | 3.3 | 5.2 | 1999 | 1960 | 2018 | 59 | 0.26 |
| 22292 | до 1960 | 0.1 | 1.6 | 1921 | 1813 | 1960 | 147 | 0.03 |
| 22292 | c 1960 | 7.2 | 10.1 | 1999 | 1960 | 2018 | 59 | 0.37 |
| 22355 | до 1960 | 0.0 | 1.6 | 1929 | 1813 | 1960 | 147 | 0.01 |
| 22355 | c 1960 | 3.8 | 6.8 | 1999 | 1960 | 2018 | 59 | 0.27 |
| 22520 | до 1960 | 0.1 | 2.0 | 1929 | 1813 | 1960 | 147 | 0.04 |
| 22520 | c 1960 | 2.7 | 4.8 | 1995 | 1960 | 2018 | 59 | 0.23 |
| 22550 | до 1960 | 0.0 | 0.8 | 1840 | 1813 | 1960 | 147 | -0.02 |
| 22550 | c 1960 | 2.7 | 5.4 | 1994 | 1960 | 2018 | 59 | 0.23 |
| 22583 | до 1960 | 0.0 | 0.9 | 1921 | 1813 | 1960 | 147 | 0.01 |
| 22583 | c 1960 | 4.9 | 7.8 | 1994 | 1960 | 2018 | 59 | 0.31 |
| 23022 | до 1960 | 3.9 | 6.9 | 1923 | 1876 | 1960 | 67 | 0.28 |
| 23022 | c 1960 | 7.8 | 9.0 | 1999 | 1960 | 2018 | 59 | 0.39 |
| 23032 | до 1960 | 4.3 | 7.9 | 1923 | 1876 | 1960 | 67 | 0.29 |
| 23032 | c 1960 | 8.3 | 8.9 | 1985 | 1960 | 2018 | 59 | 0.40 |
| 23074 | до 1960 | 1.0 | 4.6 | 1923 | 1906 | 1960 | 55 | 0.14 |
| 23074 | c 1960 | 5.3 | 6.9 | 2002 | 1960 | 2018 | 59 | 0.32 |
| 23205 | до 1960 | 0.0 | 1.1 | 1856 | 1813 | 1960 | 147 | -0.03 |
| 23205 | c 1960 | 5.6 | 7.4 | 1999 | 1960 | 2018 | 59 | 0.33 |
| 23219 | до 1960 | 2.1 | 4.5 | 1921 | 1876 | 1960 | 75 | 0.20 |
| 23219 | c 1960 | 6.3 | 9.0 | 1980 | 1960 | 2018 | 59 | 0.35 |
| 23220 | до 1960 | 2.0 | 6.4 | 1891 | 1868 | 1960 | 93 | -0.20 |
| 23220 | c 1960 | 6.7 | 9.7 | 1980 | 1960 | 2018 | 59 | 0.36 |
| 23242 | до 1960 | 0.1 | 2.2 | 1923 | 1868 | 1960 | 77 | 0.03 |
| 23242 | c 1960 | 8.4 | 8.5 | 1978 | 1960 | 2018 | 59 | 0.40 |
| 23256 | до 1960 | 1.3 | 7.0 | 1919 | 1906 | 1960 | 55 | 0.16 |
| 23256 | c 1960 | 6.8 | 7.7 | 1983 | 1960 | 2018 | 59 | 0.36 |
| 24125 | до 1960 | 1.4 | 7.9 | 1950 | 1909 | 1960 | 44 | -0.17 |
| 24125 | c 1960 | 5.3 | 9.0 | 2007 | 1960 | 2018 | 59 | 0.32 |
| 24136 | до 1960 | 0.2 | 6.0 | 1950 | 1909 | 1960 | 44 | -0.06 |
| 24136 | c 1960 | 1.8 | 6.3 | 2007 | 1960 | 2018 | 59 | 0.19 |
| 24266 | до 1960 | 0.1 | 3.2 | 1950 | 1887 | 1960 | 72 | -0.04 |
| 24266 | c 1960 | 6.9 | 9.0 | 2005 | 1960 | 2019 | 60 | 0.36 |
| 24329 | до 1960 | 0.2 | 5.3 | 1950 | 1935 | 1960 | 26 | -0.07 |
| 24329 | c 1960 | 2.2 | 5.2 | 2007 | 1960 | 2018 | 59 | 0.21 |
| 24343 | до 1960 | 0.1 | 3.5 | 1950 | 1909 | 1960 | 44 | -0.04 |
| 24343 | c 1960 | 2.0 | 7.6 | 2007 | 1960 | 2018 | 59 | 0.20 |
| 25042 | до 1960 | 1.4 | 5.2 | 1937 | 1926 | 1960 | 35 | 0.17 |
| 25042 | c 1960 | 22.4 | 28.8 | 2002 | 1960 | 2018 | 59 | 0.63 |
| 25042 | | : | | | -, -, | | | |

| 25138 | c 1960 | 14.9 | 14.6 | 2003 | 1960 | 2018 | 59 | 0.52 |
|-------|---------|------|------|------|------|------|----|-------|
| 25173 | до 1960 | 0.2 | 2.6 | 1936 | 1926 | 1960 | 35 | 0.06 |
| 25173 | c 1960 | 19.0 | 24.4 | 2002 | 1960 | 2018 | 59 | 0.59 |
| 25206 | до 1960 | 0.2 | 3.0 | 1931 | 1887 | 1960 | 68 | 0.06 |
| 25206 | c 1960 | 18.7 | 16.7 | 2002 | 1960 | 2018 | 59 | 0.58 |
| 25325 | до 1960 | 1.8 | 5.8 | 1945 | 1934 | 1960 | 27 | -0.19 |
| 25325 | c 1960 | 14.4 | 18.7 | 2002 | 1960 | 2016 | 57 | 0.52 |
| 25372 | до 1960 | 2.8 | 8.5 | 1945 | 1932 | 1960 | 29 | -0.24 |
| 25372 | c 1960 | 15.3 | 18.4 | 2002 | 1960 | 2014 | 55 | 0.53 |